

В.И. КАГАНОВ

ҚОЛДАНБАЛЫ ЭЛЕКТРОНИКА

ОҚУЛЫҚ

«Компьютерлік жүйелер мен жинақтар» мамандығы бойынша орта кәсіпік
білім беру үйімдарында білім алғатын студенттерге арналған оқулық ретіндеге «
СТАНКИН» Мәскеу мемлекеттік технологиялық университеті Жогарғы
кәсіптік білім берудің Федералды мемлекеттік ақылы білім беру үйіммен
ҰСЫНЫЛГАН

*Пікірді тіркеу нөмері 433
20 қазан 2014 ж.*



«Академия» баспа орталығы
Мәскеу, 2015

ӘОЖ 621.38(075.32)

КБЖ 32.85ші723

K129

Бұл кітап Қазақстан Республикасының Білім және ғылым министрлігі және «Қәсіпкор» холдингі» КЕАҚ арасында жасалған шартқа сәйкес «ТжКБ жүйесі үшін шетел әдебиетін сатып алуды және аударуды ұйымдастыру жөніндегі қызметтер» мемлекеттік тапсырмасын орындау аясында казак тіліне аударылды. Аталған кітаптың орыс тіліндегі нұсқасы Ресей Федерациясының білім беру үдерісіне койылатын талаптардың ескерілүүмен жасалды.

Казақстан Республикасының техникалық және қәсіптік білім беру жүйесіндегі білім беру ұйымдарының осы жағдайды ескеруі және оқу үдерісінде мазмұнды болімді (технология, материалдар және қажетті ақпарат) колдануыңынан.

Аударманы «Delta Consulting Group» ЖШС жүзеге асырды, заңды мекенжайы: Астана к., Иманов көш., 19, «Алма-Ата» БО, 809C, телефони: 8 (7172) 78 79 29, эл. поштасы: info@dgc.kz

Пікір беруші —

Мәскеу мемлекеттік индустрингала университеттінің ақпараттық қауіпсіздік кафедрасының профессоры, техника ғылымдарының докторы О. П. Новожилов Каганов В. И.

K129 Қолданбалы электроника: қәсіптік білім беру ұйымдарында білім алатын студенттерге арналған оқулық / В.И.Каганов. — М.: «Академия» баспа орталығы , 2015. — 240 б.

ISBN 978-601-333-267-3 (каз.)

ISBN 978-5-4468-0933-2 (рус.)

Оқулық «Компьютерлік жүйелер және жиынтықтар» ББ «Қолданбалы электроника» мамандықтары бойынша орта қәсіптік білім берудің Федералды мемлекеттік білім беру стандарттарына сәйкес әзірленген.

Электронды құралдардың және аналогтық, сандық, электрондық құрылғылардың негізгі түрлерінің сипаттамалары мен жұмыс жасаудың негізгі қағидалары көрсетілген. Микроэлектрониканың, оптоэлектрониканың және акустоэлектрониканың негіздері карастырылған. Техникинаң әртурлі салаларында модем контролер мен микропроцессорды колдану мысалдары көлтірілген.

Орта қәсіптік білім беру ұйымдарының студенттеріне ариналған.

ӘОЖ 621.38(075.32)

КБЖ 32.85ші723

© Каганов В.И., 2015

© «Академия оқу-баспа орталығы, 2015 ж.

© Әрлеуі «Академия» баспа орталығы, 2015 ж.

ISBN 978-601-333-267-3 (каз.)

ISBN 978-5-4468-0933-2 (рус.)

Құрметті оқырман!

Аталмыш оқулық «Компьютерлік жүйелер мен комплекстер», ББ.03 «Қолданбалы электроника» мамандығына арналған оқу-әдістемелік жиынтықтың құрамас бөлігі болып табылады.

Оқулық ББ.03 «Қолданбалы электроника» атты жалпы кәсіптік пәндерді оқытуға арналған.

Жаңа заманың оқу-әдістемелік жиынтығының құрамы, кәсіби модульдер мен жалпы білім беретін және кәсіптік оқытууды қамтуға мүмкіндік беретін дәстүрлі және инновациялық оқу әдістемелерін қамтиды. Әрбір жиынтық жалпы және кәсіби құзыреттіліктерін үйренуге қажетті оқыту, бақылау құралдарын және оқулықтарды қамтиды.

Оқу басылымдары электронды білім беру ресурстарымен толықтырылады. Электрондық ресурстар интерактивті жаттығулар мен тренажерлардың теоретикалық және тәжірибелік модульдерін, ғаламтордағы ресурстар мен қосымша ақпараттарға сілтемелерді қамтиды. Оған терминологиялық сөздік және оқу үрдісінің негізгі параметрлері белгіленетін электрондық журнал кіреді яғни: жұмыс уақыты, бақылау және тәжірибелік тапсырмалардың нәтижесі. Электронды ресурстар оқу үдерісіне оңай енеді және әртүрлі оқу бағдарламаларына бейімделуі мүмкін.

Оқулықта электровакуумды және жартылай өткізгіш құрылғылардың жұмыс істеу принциптері, микроэлектроника, оптоэлектроника және акустоэлектроника негіздері сипатталады, аналогтық, сандық және микротолқынды электронды құрылғылардың қарапайым базасы туралы ақпарат беріледі; микропроцессордың, модемнің және контроллердің жұмыс істеу принциптері және құрылымы қарастырылады; электронды аспаптарды ақпаратты беру, бақылау және ғарыштық бақылау жүйелерінде қолдану мысалдары көлтірілген.

Кітаптағы материал электронды құрылғылардың негізгі каскадтары мен одан кейін функционалды аяқталған интегралдық электронды құрылғыларға және әр түрлі мақсаттағы ірі жүйелерде оларды қолдануда элемент базасының негізін құрайтын құрылғылардың жұмысын талдаудан дайекті өту қағидасына негізделген.

Кітап 14 тараудан тұрады.

1-тарау электрониканың қалыптасуы мен даму тарихын қысқаша сипаттайты, оның негізін қалаушылардың ең ірі ғылыми жаңаңыктарын тізеді. Электрондық құрылғылардың физикалық принциптері мен класификациясы, сондай-ақ заряд тасымалдаушы ағындары өзара әрекеттесетін электр және магниттік өрістер туралы негізгі мәліметтері берілген.

2-тарауда аналогтық және цифрлық сигналдардың параметрлері мен сипаттамалары көрсетіліп, электронды құрылғылардың көмегімен генерация, күшейту және конверсиялау жүргізіледі.

3-тарау бірінші буындағы радиоэлектрондық құрылғылардың жұмыс істеуіне негіз болатын жоғары жиілікті және жоғары жиіліктең электровакуум құрылғыларының жұмысына және параметрлеріне талдау жүргізуге арналған.

Жартылай өткізгіш құрылғылардың физикалық негіздері 4-тараудың мазмұнын құрайды, ол сонымен бірге диодтар мен транзисторлардың дизайнны мен сипаттамаларына қатыстырылады. Жартылай өткізгіш электрониканың маңызды түрі микроэлектроникаға 5 – тарау арналды.

Келесі тарауларда электрондық құрылғылардың әртүрлі типтерінің құрылымы мен жұмыс істеуі зерттеледі: аналогтық (6 және 7-тараулар), микротолқынды диапазон (8-тарау) және сандық (9 және 10-тараулар).

Өздігінен дамыған электрониканың екі жаңа бағыты 11-ші тарауда – көрсетілген, оптикалық электроника, ең алдымен, лазерлерге жатады және катты электрлік акустикалық тербелістердің өзара әрекеттесуіне негізделген акустоэлектрондық құрылғыларды басқару 12 – тарауда көрсетілген.

13 және 14-тарауларда ақпаратты беру, бақылау және ғарыштық мониторинг жүйелерінде электронды құрылғыларды пайдалану мәселелерімен байланысты мәселелерді талқыланады.

Жоғарыда келтірілген мысалдардан шығарар қорытынды аталмыш окулықтың ерекшеліктеріне тәменdegілер жатады:

- заманауи электроника, соның ішінде оптоэлектроника және акустоэлектрониканы дамытудың барлық негізгі бағыттарын кешенді түрде ұсыну;
- микропроцессор, модем және бақылаушы сияқты интегралдық электронды құрылғыларды, әртүрлі техникалық құрылғыларда, таратылатын типтегі ақпараттық қолдау және басқару жүйелерін пайдалану мысалдары; сымсыз қатынау желісінде; зымырандық басқару жүйесінде; автокөлік құралдарын басқару және ұшқышсыз әуе кемелерін басқару үшін спутниктік мониторинг жүйесі;
- бірнеше негізгі электрондық схемаларды талдау кезінде компьютерлік бағдарламаларды пайдалану;
- Электровакуумдық және жартылай өткізгіш құралдардың, бір сызықтық жүйе мен бір сызықтық жүйе емес, жоғарғы және күшті жиіліктегі, аналогтық және цифрлық құрылғылардың жалпылама талдауы;
- Барлық электронды құрылғылардың жұмысына негіз болатын жалпылама заңдылықтарды көрсету.

Келесі физикалық құбылыштарды үйрететін ғылыми-техникалық пән – Электроника деп аталады:

- заряд тасымалдаушы ағынын электр, магниттік және электромагниттік өрістер;
- электрлік тербелістердің акустикалық тербелістермен өзара әрекеттесуі;

■ Жоғары қуат пен тар бағыттылықтағы жарық монохроматикалық сәулеленулерді қалыптастыру. Практикалық түрғыдан алғанда, электроника – аталған құбылыштардың негізінде физикалық зандарға негізделген әрекеттеген электрондық құрылғылар мен құрылғылардың құрылымын айналысады.

Осы анықтамаға сүйене отырып, электроника ғылыми жоспарда әртүрлі физикалық табиғатпен материяның өзара байланысын қарастырады; техникалық түрғыда – жиілікте, қуатта және пішінде әрекшеленетін әртүрлі сигналдарды генерациялауга, қүшейтуге және түрлендіруге арналған электрондық құрылғылар мен құрылғылардың алуан түрлерін жасау; қолданбалы-қолданбалы технологиялардың қөптеген салаларында оларды кеңінен қолдану.

Жалпы электроника құрылымының бір бөлігі болып табылатын негізгі бағыттарды қарастырамыз.

Электровакуалы жоғары жиілікті электроника. Оның ішінде электромагниттік өріспен электрондардың салыстырмалы түрде қыска мерзімді өзара әрекеттесуіне негізделген; оған электровакуалды құрылғылар кіреді: триод, тетрод және пентод.

Электровакуум микротолқындығы (микротолқынды) электрлік. Электромагниттік толқындардың электромагниттік өрісімен ұзак мерзімді өзара әрекеттесуі негізі болып табылады; бұл электровакуалды қондырғыларды қамтиды: қозғалыстағы толқынды тұтік, кисстрон, магнетрон, ампотрон және гиротрон.

Жартылай өткізгіш электроника. Электромагниттік өрісі бар электрондардың және оң зарядтардың (басқаша «тесіктер») өзара әрекеттесуіне негізделген; ол түрлі жартылай өткізгіш аспаптарды қамтиды: диод және транзистор. Жартылай өткізгіш электроника.

Электромагниттік өрісі бар электрондардың және он зарядтардың (басқаша «тесіктер») өзара әрекеттесуіне негізделген; ол түрлі жартылай өткізгіш аспаптарды қамтиды: диод және транзистор.

Плазма электроникасы. Газды ағызу құрылғыларының жұмысын зерттейді және шығарылған газды ағызу кезінде электр тогының өтуі кезінде физикалық процестерді зерттейді. Плазма электроникасы – газды ағызу құрылғыларының жұмысын зерттейді және шығарылған газды ағызу кезінде электр тогының өтуі кезінде физикалық процестерді зерттейді.

Микроэлектроника. Ол жартылай өткізгіш материалдың кристалы болып табылатын интегралдық микрокрассаларға (IMS) негізделген, оның үстіне және бетінде көптеген р-п-қосылыстары мен бірге байланыстырылған басқа да элементтер пайда болады, олар бірге функционалды түрде толықанды құрылғы болып табылады.

Оптоэлектроника. Басқа атап – кванттық электроника. Ол энергияның күшті және тар бағыттылығындағы ауытқулардың оптикалық диапазонында индуцирленген, үйлестірілген радиацияны зерттейді. Оптикалық сәуле шығарудың әр түрлі физикалық табиғатымен өзара әрекеттесуіне негізделген оптикалық кванттық генераторларды (лазерлерді) және электронды құрылғыларды дамыту.

Акустоэлектроника. Ол электрлі және акустикалық тербелістердің қатты күйде өзара әрекеттесуін зерттейді. Әртүрлі мақсаттарда акустоэлектронды құрылғылар әзірлеу. Жоғарыда айтылғандарды басшылыққа ала отырып, біз «Қолданбалы электроника» пәні бойынша оқытылатын мәселелер мен тақырыптардың тізімін анықтаймыз. Қабылдау және өңдеу және түрлі бақылау сигналдарды обьектілерін қалыптастыру мен беру үшін арналған құрылғылар мен В сабактарының пайдаланылатын электрондық құрылғылар. Электронды құрылғылар, бейнелеп айтқанда, «қызымет етеді» сигналдар. Сондықтан, соңғы екі маңызды нысандарын қарастыру қажет: аналогтық (үздіксіз) және сандық. жоғары жайлікті және микротолқынды және жартылай өткізгішті – биполярлы және өрістік, сондай-ақ олардың аналогтық және цифровық құрылғылардың негізінде салынған жұмысты одан әрі іс-қимыл электронды вакуумдық құрылғыларын принципі және құрылғысы төрт ең ауқымды сыныптар тексеруге тиіс.

Аналогтық сигналдарды күшету және түрлендіру кезінде электронды құрылғылардың екі режимі жұмыс істейді: сыйықты, онда толқындар іс жүзінде өзгермейді және сигнал құрылымы өзгеретін сыйықты емес. Тиісінше, электронды аналогты желілік және сыйықты емес құрылғылардың мақсаты мен жұмысын қарастырган жөн, ал басқа үлкен топ сандық электронды құрылғылардан, яғни цифрлық сигналдармен жұмыс істеуге арналған. Мұнда әртүрлі негізгі сандық элементтердің схемаларын және жалпы қолданудың функционалды аяқталған сандық құрылғыларының жұмыс істеу принципін қарастырган жөн: микропроцессор, контроллер және модем. Сондай-ақ кейбір негізгі электрондық компоненттердің жұмысын талдау үшін компьютерлік бағдарламалармен танысу маңызды. Аналогтық сигналдарды күшету және түрлендіру кезінде электронды құрылғылардың екі режимі жұмыс істейді: сыйықты, онда толқындар іс жүзінде өзгермейді және сигнал құрылымы өзгеретін сыйықты емес. Тиісінше, электронды аналогты желілік және сыйықты емес құрылғылардың мақсаты мен жұмысын қарастырган жөн, ал басқа үлкен топ сандық электронды құрылғылардан, яғни цифрлық сигналдармен жұмыс істеуге арналған. Мұнда әртүрлі негізгі сандық элементтердің схемаларын және жалпы қолданудың функционалды аяқталған сандық құрылғыларының жұмыс істеу принципін қарастырган жөн: микропроцессор, контроллер және модем. Сондай-ақ кейбір негізгі электрондық компоненттердің жұмысын талдау үшін компьютерлік бағдарламалармен танысу маңызды.

Электронды құрылғылардың жұмысын өз бетімен зерттеуге болмайтынын атап өткен жөн, оларды әртүрлі құрылғыларда қолдану қажет: өзін-өзі көздыратын генераторлар, күшеткіштер, түзеткіштер, сұзгілер және түрлі белгілердің цифрлық тізбектері. Электрониканың үш негізгі бағыттары бойынша: микроэлектроника, оптоэлектроника және акустоэлектроника, көптеген кеңінен қолданылатын электрондық құрылғылар. Олардың жұмысы мен құрылғының принципі «Электроника» курсында да зерттеледі. Компьютерлік технологиялар, космонавтика, автомобиль өнеркәсібі, машина қарастыру және т.б. сияқты салалардың дамуы олардың әртүрлі электрондық құрылғыларын пайдалану арқылы ғана мүмкін болды. Өскери техникадағы электрониканың ролі өте маңызды. Сондықтан әртүрлі техникалық өнімдер мен жүйелерде оларды қолданудың нақты мысалдарын қарастыру қажет. Жалпы қолданылған аяқталған цифрлық құрылғылар: микропроцессор, контроллер және модем. Сондай-ақ кейбір негізгі электрондық компоненттердің жұмысын талдау үшін компьютерлік бағдарламалармен танысу маңызды.

Электронды құрылғылардың жұмысын өз бетімен зерттеуге болмайтынын атап өткен жөн, әртүрлі мақсаттар үшін олардың әртүрлі құрылғылары: автогенераторлар, құшайткіштер, түзеткіштер, сұзгілер және цифрлық тізбектерді қолдануды қарастырган жөн. Электрониканың үш негізгі бағыттары бойынша: микроэлектроника, оптоэлектроника және акустоэлектроника, көптеген кеңінен қолданылатын электрондық құрылғылар. Олардың жұмысы мен құрылғының принципі «Электроника» курсында да зерттеледі. Компьютерлік технологиялар, космонавтика, автомобиль өнеркәсібі, машина құрастыру және т.б. сияқты салалардың дамуы олардың әртүрлі электрондық құрылғыларын пайдалану арқылы ғана мүмкін болды. Әскери техникадағы электрониканың рөлі өте маңызды. Сондықтан әртүрлі техникалық өнімдер мен жүйелерде оларды қолданудың нақты мысалдарын қарастыру қажет.

«ЭЛЕКТРОНИКА» ФЫЛЫМ ӘЛЕМІ

1.1.

ЭЛЕКТРОНИКА ТАРИХЫНА ҚЫСҚАША ШОЛУ

Электрониканың қазіргі заманғы көздерден дамуын мұқият талдаң, оның дамуының бес негізгі кезеңін ажыратуға болады.

1 кезең – шам. Алғаш рет әзірленген электровакуумдық құрылғылар, радиотехникалық құрылғылар, радиоқабылдағыштар және радиотаратқыштар құрылды, ал электроника радиотехникамен тығыз қарым-қатынаста радиоэлектроника ретінде белгілі болды.

Вакуумдағы ағымды алғаш рет 1883 жылы американдық Т.Э. Эдисон ойлап тапқан. Кейінірек анод деп аталатын жарықтандырығыш шамның ішіндегі суық электродты орналастыру арқылы Эдисон ағымды ағынды анодқа дейін бір жақты өтуін анықтады. Дегенмен, ғалым Эдисонның эффектісі деп аталатын ашылуына үлкен мән бермеді. Бұл нәтиже 1904 жылы вакуумдық диод деп аталатын алғашқы екі-электродты вакуумдық түтікті, құрылған ағылшын инженері Джон. А. Флеминг, мүдделі болды. Мұндай диодтың кеңінен алды жоғары жиілікті сигнал берілетін хабарды бөлуге мүмкіндік беретін, детектормен, бір бағытта Айнымалы ток ретінде Радиоқабылдағыштар қолданылған.

Екі жылдан кейін, 1906 жылы, американдық ғалым Ли Де Форд, катодты және анод арасында вакуумдық диодтың үшінші электродын басқарушы тор деп атаған, уш электродтық электровакуумды құрылғы - триодты ойлап тапты. Ушінші электродты құрылғыға енгізу арқасында тор мен катод арасындағы кернеуді өзгерту арқылы анодтың токін басқаруға мүмкіндік болды. Орман – 100 Вт күші бар, екі шамлы радиоқабылдағышты алғып, бірнеше жұз километр радиуста радиобайланысты өткізетін тұтік түріндегі радиоқабылдағышты алғаш дамытты. Неміс ғалымы А. Мейснер – бірінші вакуумды құбырлы осциллятор әзірледі. Осылайша Радиоэлектроника дамыту «тұтік» кезеңі басталды. Транзисторлар кейін екі (tetrode) және үш (pentode) торлар, сондай-ақ кеңінен құрылғыларды қабылдау және беру радио пайдаланылады электрондық құрылғылар, басқа да түрлері бар құрылғыны құру болды. Электронника дамыту 1895, 7 мамыр басынан бастап өлшенеді радио технологиясы, тығыз байланысты. Бұл күні, Санкт-Петербург университетінде өткен физикалық ресейлік қоғамның физикалық бөлу, отырысында, орыс ғалымы Александр Попов ол дауыл индикаторы деп аталатын «электр ауытқуына металл ұнтақтарын қатысты туралы» баяндама және сезімтал радио қабылдағышты алғаш көрсеткен, жасалған. Радиоқабылдағыш өзгертілген Герц генераторы шығаратын тербелістерді алды. Кезекті кездесуге қатысушылар А.Поповтың сөзін келесі сөздермен аяқтады: «Қорытындылай келе, менің құрылғым одан әрі жетілдіру арқылы жылдам электрлік тербелістер арқылы қашықтықтан сигналдарды беру үшін қолданыла алады деп үміттенемін». А.Поповтың баяндамасы мен экспериментін сипаттайтын маңызды кездесулер туралы баяндама 1895 жылдың тамызында және 1896 жылдың қаңтарында қоғамның журналында жарияланды. 1896 жылдың 24 наурызында сол қоғамның мәжілісінде А. Попов өзі құрған үшқын радиосының таратқышын көрсетті, бір ғимараттан 250 метрге дейінгі аракашықтықты басқа Морзе коды – әлемдегі бірінші радио телеграмма, ол оны жетілдірген радиоқабылдағышқа жалғанған телеграф лентасына жазады. Кейір деректерге сәйкес, алынған радио-телеграмманың мәтіні қысқаша «ГЕНРИХ ГЕРЦ» деп аталды. Бұл жеделхатпен Попов неміс ғалымына алғаш рет электромагниттік толқындарды жарық жылдамдығымен бос кеңістіктे тарату мүмкіндігін раставды. Бұл жеделхатпен Попов неміс ғалымына алғаш рет электромагниттік толқындарды жарық жылдамдығымен бос кеңістікте тарату мүмкіндігін раставды. Радионың тағы бір құруышы – итальяндық өнертапқыш Г. Маркони. 1894 жылы сымсыз сигналдарды беру бойынша эксперименттерді бастаған ол өзінің құрылғысын үнемі жетілдіріп, 1901 жылы алғаш рет Атлант мұхиты бойынша Еуропа мен Америка арасындағы радио байланысын

орнатқан. 1912 жылы Маркони құрылғылары арқасында, «SOS» сигнализациясын жіберген апатқа ұшыраған «Титаник» кемесінен жүздеген адам құтқарылды. Радио өнертабысы үшін Г. Маркони 1909 жылы физика бойынша Нобель сыйлығымен марапатталды. Электровакуалды құрылғылардың дамуы екі негізгі бағытта жүрді: жиілік диапазонын қебейту және генерацияланған сигналдардың қуатын арттыру. Ұқыт өте келе, металл-керамикалық триодтар мен тетродтар бірнеше гигахерттің сигналдар жиілігін арттыруға мүмкіндік берді. 100 МГц жиілікегі генераторлық түтіктердің қуаты алғаш рет ондағанға, одан кейін бірнеше жұз киловаттқа дейін есті.

Ресейде бірінші этапта жоғары қуатты электровакуалды қондырыларды құруға ен үлкен үлес қосқан Михаэль Бонч-Брович басқаратын Нижегород радиобағдарламасы жасалды. 2 этап – XX ғасырдың 30-шы жылдарында микротолқынды электровакуумдық құрылғылар құрылды. Радиолокациялық станцияның дамуы қуатты электровакуалды құрылғылардың микротолқынды диапазонында құруды талап етті. Кәдімгі лампалар (триодтар мен тетродтар) осы тапсырманы жеңе алмады, өйткені катодта анодқа дейінгі шамның электрондарының ұшу ұқыты ұзағырақ болғандығы. Бұл физикалық кедергілерді еңсеру электромагниттік өріспен электронды ағынның ұзақ мерзімді өзара әрекеттесуіне негізделген жаңа электровакуалды құрылғылар - клистондар, толқынды түтіктер мен магнитронды жасау арқылы қол жеткізілді.

Электрондық ағынды жылдамдықпен модуляциялау туралы және электрондардың топыраққа біріктіру туралы алғашқы идеясы 1932 жылы ірі ресейлік физик Д.А. Рожанский тарапынан көрсетілген.

Алайда 1938 жылы бұл идеяны жүзеге асырган алғашқы американцық физиктер В.Хан және Г. Меткалф, ол тікелей жұмыс істейтін тікүшақты әзірледі.

Алғашқы 1936 жылы американцық инженер А.Гаев тұзақты электромагниттік толқындардың электронды сәуленің өзара әрекет ету идеясы болып табылады. 1943 жылы алғаш рет қолданыстағы ТВТ-ны Р.Комфнер құрды және 1947 жылы оның жұмыс теориясын АҚШ азаматтары Дж.Пайстер дәлелдеді. 1921 жылы американцық физик А.Хэллом алғаш рет магнетронға қатысты теориялық және тәжірибелік зерттеулер жариялады. Ол осы құрылғыға «М» әрпін берді. 1928 жылы ол құрылғының өнеркәсіптік үлгісін жасады. Электрониканы дамытудың тағы бір қадамы 1924 жылы Чехияның физик-ғалымы А.Жачектің өнертабысына патент алған ДЦВ диапазонындағы магнетронды жасау болды.

Алайда, 1936-1937 жж. «М» типті құрал құруға шешуші үлес. ресей инженерлері Н.Ф. Алексеев және Д.Е. Малыров, олар алғашқылардың бірі

бөлшік многоренонаторлық магнетрондың күрді, ол күрылғының қуатын екі рет күштегігіне мүмкіндік берді. 1940 жылы Техникалық физика журналы ұсынған магнетрон өнертапқыштары әзірлеген уақытта, осы уақытқа дейін - 300 Вт толқын ұзындығы 9 см-дегі керемет параметрлері болған. Мұндай многогенонаторлық магнетрондың өнертабысын сантиметр ауқымында радиолокациялық станциялардың күрудың нақты мүмкіндіктері

3 кезең - жартылай өткізгіш. Осы кезеңде қарқынды дамыту үшін электрод жартылай өткізгіш күрылғы - транзистордың өнертабысымен байланысты. «Транзистор» сөзі екі ағылшын сөзінің біріктіруінің нәтижесінде пайда болды: трансфер-көшіру, беру және резистор - резистор, қарсылық. Екі электродтың жартылай өткізгіш күрылғылар - диодтар транзисторлар жасаудан бұрын белгілі болғанымен, радиоэлектроникада техникалық революция жасаған соңғы адамдар болды, өйткені олар радио сигналдарды генерациялауға, күштегігіне, радио сигналдарды түрлендіруге және радиотехникалық күрылғыларға тән басқа да көптеген функцияларды орындауға мүмкіндік берді.

Бірінші жартылай өткізгіш диодты 1906 жылы кейбір кристалдардың бірқалыпты өткізгіштігін тапқан неміс физик К.Ф. Браун ойлап тапты. Бұл ашу алғашқы радио қабылдағыштарда - көгерердің ең сенімсіз элементін алмастыратын кристалдық детекторды жасауға мүмкіндік берді. 1909 жылы Г. Марконимен бірге К. Браун физика бойынша Нобель сыйлығына ие болды.

Жартылай өткізгіш күрылымдарда жүретін физикалық процестерді зерттеуге Ресей галымы Академик А.Ф. Иоффең ерекше көңіл болінді. Транзистор өнертабысының тарихын қысқаша қарастырайық. Зерттеулердің алғашқы қадамы - басқа элементтердің атомдарын косу (допинг) арқылы жартылай өткізгіш кристалдардың - германий мен кремнийдің өткізгіштігін бакылауға мүмкіндік беретін әдістер табылды. Осылайша, допинг кезінде германийдің электрондық өткізгіштігін алу үшін, мысалы, сурьма және фосфор пайдаланылды, ал индия мен галий тесік ретінде пайдаланылды.

Ұзақ уақыт бойы түтік триосы тәрізді жоғары жиілікті сигналды күштегігіне және генерациялауға жарамды жартылай өткізгіш күрылғыдағы электрондың тесік түйіндерінің негізінде күрудың екінші қадамын жасау мүмкін емес.

1945 жылы американдық Bell Labs фирмасында Уильям Шокли бастаған жартылай өткізгіш материалдардың физикалық қасиеттерін зерделеу үшін зерттеу тобы құрылды, оның алдында ол жартылай өткізгіш күрылғыларда күштегігін жасауды тапсырды.

1947 жылы алғаш рет осы мәселе бойынша У. Брэйтайн мен Дж. Бірнеше айдан кейін оларды планерлі транзисторлар жасаған Шокли тобының басшысы басқарды.

1950 жылы Шокли «Жартылай өткізгіштердегі электрондар мен тесіктер» монографиясын шығарды, ол жартылай өткізгіш техника саласындағы зерттеушілерге арналған анықтамалық болды. 1956 жылы алғашқы транзисторды құруышылар (американдық ғалымдар В. Шокли, В.Браттейн және Дж. Барден) физика бойынша Нобель сыйлығына ие болды.

Осы сәттен бастап жартылай өткізгіш электрониканың қарқынды дамуы екі бағытқа белінді. Олардың біреуі транзисторлардың, диодтың, тиристордың, вариакаптардың және басқа жартылай өткізгіш құрылғылардың жүйелігі, күші мен мақсаттарының көп болуын қамтамасыз етті. Екінші бағыт микроэлектроникаға айналды.

4 этап – микроэлектроника. Осы кезеңді дамытудағы шешуші қадам кристалдану бетіндегі кремний диоксиді жүқа пленка түрінде сенімді изоляторды өндірудің маңызды элементі болып табылатын кремнийге қатысты пленарлы технологияны құру болды. Нәтижесінде кремний кристалының беткі қабатында өзара байланысты микроскопиялық транзисторлардың көп санын құруға және екі әдісті (фотолитография және диффузия) пайдалану арқылы интегралды схемаларды құруға болады. Алғашқы кезеңде мұндаидар схемалар ондаған электронды тесіктерді санап шықты. Қазіргі уақытта Кристалл бетіндегі бірнеше миллион миллиметрден артық емес миллионға дейінгі транзисторларға дейін үлкен (LSI) және ультра үлкен интегралды схемалар шығарылады. 3 және 4 кезеңдермен бір мезгілде радиотехникада түбекейлі өзгерістер болды, олардың көпшілігі жартылай өткізгіш құрылғыларға айналды.

5 саты – оптоэлектроника және акустелектроника. Электрониканың айырықша ерекшелігі оның басынан бастап басқа ғылыми пәндермен тығыз өзара әрекеттесуі болды: алдымен радиоэлектроника пайда болды; кейін жартылай өткізгіш құрылғылар – қатты электронды электроника, кейінрек электроника интерфейсінде оптикалық сәулелену – оптоэлектроника және электр және акустикалық сигналдардың өзара әрекеттесуі – акустелектроника.

Оптоэлектрониканы қалыптастыруға шешуші үлес қосқан ресейлік ғалымдар, академиктер А.М. Прохоров, Н.Г.Басов және американцы ғалым Х.Х. 1964 жылы Нобель сыйлығымен оптикалық кванттық генераторды (лазер) жасау үшін маралпатталды. Екіншіден, екі жақты гетероструктурасы бар жартылай өткізгіш диодқа негізделген лазердің өнертabyсы маңызды болды, оған Ресей академиктері Ж.И. Алферов пен американцы ғалым Г.Кремер, сондай-ақ Д.Килби, интегралдық микроскоптың өнертabyсы үшін Нобель сыйлығы берілді. 2000 жылы физика саласында

Акустоэлектрониканы қалыптастыру мен дамытуда, акустомагнитоэлектрлік әсерді анықтауда академик Ю.В. Гуляевтың рөлін ерекше.

1.2. ЭЛЕКТРОНДЫҚ ҚҰРЫЛҒЫЛАР ЖӘНЕ ҚҰРЫЛҒЫЛАРДЫҢ КЛАССИФИКАТЫ

Электроника өнеркәсібі көптеген электронды құрылғылар мен функционалды толық электрондық құрылғылар шығарады. Олар бірнеше негізде жіктеледі.

Бірінші белгі электрлік, магниттік немесе электромагниттік өрістермен өзара әрекеттесіп жүретін заряд тасымалдаушылардың ағымы қозғалатын ортаға қатысты.

- Әр түрлі физикалық табигат өрістерімен заряд тасымалдаушысының зарядының (электрондар, ең алдымен оларға тиесілі) зарядтарының өзара әрекеттесу түріне байланысты келесі электронды құрылғылар болінеді:
- Electrovacuum, онда электрондар терең вакуумда қозғалады;
- жартылай өткізгіш (жартылай өткізгіш), онда заряд тасымалдаушылары (электрондар және оң заряддар, абсолютті электрон зарядының теңдеуі және тесік деп аталатын оң заряд) жартылай өткізгіш материалдарда қозғалады;
- заряд тасымалдаушылардың газ тәрізді ортада қозғалатын газ шығуы немесе плазмасы деп аталады.

Жекелеген топтарда оптоэлектрондық және акустоэлектрондық құрылғыларды бөлу қажет.

Екінші ерекшелігі электрондық құрылғылардың немесе құрылғылардың электроника секцияларының біріне тиесілі: микроэлектроника, сондай-ақ қатты күй немесе жартылай өткізгіш электроника деп аталады, микроскопиялық, жартылай өткізгіш және микрометрлермен өлшенген және бір-бірімен байланысқан басқа компоненттер бір ортақ субстратта орналасқанда; оптикалық сәулеленудің өрістермен және физикалық әртүрлі сигналдармен өзара іс-қимылында оптоэлектроника;

- акустикалық өрістермен электромагниттік ауытқулардың өзара әрекеттесуінде акустеэлектроника;
- газды ағызу құрылғыларының жұмысын үйлестіретін плазмалық

электроника.

Ең алдымен интегралды схемалар қамтиды, арсенид галлий немесе басқа жартылай өткізгіш материал тиелген және P-N тораптары мен компоненттері ретінде өзара байланысты элементтердің үлкен санын қалыптасатын бетіндегі, өкілдік-кристалды кремний құрайды. Жылы интеграл фишкалар пайдалану электронды есептеуіш жүйелерді (мысалы, микропроцессорлық және контроллер) немесе толық радиоэлектрондық құрылғылардың (мысалы, қабылдағыш, таратқыш және электрмен жабдықтау жиілік синтезатор) бүкіл блоктар болып табылады. Көптеген плазмалық құрылғылардың жартылай өткізгіш электроникадағы сенімді және ұзаққа үксас аналогтары бар екенін атап өткен жөн. Осылайша, тиратронның тиристор сияқты аналогы бар.

- плазмалық қондырылғылардан тек газ лазері төменде қарастырылады.

Үшінші белгі электронды құрылғының технологиясы мен пайда болуымен анықталады. Мұнда:

- функционалдық аяқталған электрондық құрылғылардың (электр аппараттары, транзисторлар, диодтар, сондай-ақ резисторлар, конденсаторлар, индукторлар, трансформаторлар және басқа да элементтер) белгілі бір санын жалпы жобалау шеңберінде қарастыру және қосу кезінде қөлемдік типтегі электрондық құрылғылар; интеграцияланған электрондық құрылғылар – электронды және басқа компоненттер жиынтығы түрінде жасалған жалпы технология бойынша бір схемада байланысқан, олардың саны бір миллионға жетуі мүмкін;
- интеграциялық-гибридті электронды құрылғылар, онда кейбір элементтер интеграцияланған технология көмегімен жасалады, ал басқалары (мысалы, күшті транзисторлар) оларды бөлек элементтер ретінде біріктіреді.

Төртінші функция электронды құрылғы басқару және түрлендіру үшін арналған толқынды формамен байланысты. Еске сала кетейік, сигналдардың мынадай түрлері бар: аналогтық немесе үздіксіз, импульстік және сандық.

Осыған байланысты аналогты, импульстік және цифрлық электронды құрылғыларды ажыратуға болады.

Бесінші атрибут электронды құрылғының функционалды мақсаты, яғни осы құрылғыдағы сигналдың нақты түрлендірілуі мен өндөлөуіне байланысты айқындалады. Мұнда электрондық құрылғылардың мынадай түрлері бар

Автоматты генераторлар деп аталатын сигналдық генераторлар, әртүрлі жиілік ауқымында, микротолқын жиілігіне дейін;

- электрмен сигналдарды күшайтуге арналған сыртқы қозғаумен генераторлар;
- кішігірім амплитудасының сигналдарымен жұмыс істейтін шағын шуыл күшайткіштері, микроволттың фракцияларына дейін өлшенеді; сигналдардың көбейткіштері мен жиіліктік түрлендіргіштері; модуляторлар және демодуляторлар, бір сигналды басқа жерге көшіруді жүзеге асырады және сигналдар қоспасынан қажетті тербелісті белудің кері операциясы;
- логикалық операцияларды және әртүрлі математикалық есептеулерді екілік сандармен, соның ішінде жиынтықтау және азайту, дифференциациялау және біріктіруді жүзеге асыратын цифрлық құрылғылар;

Уақытша жылжу сияқты уақытша сипаттарды орындайтын құрылғылар;

сигнал құрылымын өзгертетін құрылғылар: аналогты сигналды аналогтық, кодтау және декодтауға, шифрлауға және шифрлеуге сандық және сандық түрлендіру.

Келесі тараулар осы жіктеуде ұсынылған электронды құрылғылар мен құрылғылардың жұмысын талқылайды.

1.3. ЭЛЕКТРОНИКА ҚАЗІРГІ ИНЖИНИРИНГІНІҢ КОМПОНЕНТТИК БӨЛІМІ

Тұрмыстық техникалардан микротолқынды пештерден, ғарыш аппараттарына, ұшактарға, автомобилдерге және зымырандарға қарсы жүйелерге дейінгі электрондық компоненттер мен құрылғыларсыз заманауи техникалық өнім шығарылмайды.

Радиотехника, авиация және өнеркәсіп өнімдеріндегі электронды құрылғыларды кеңінен қолдану радиоэлектроника, авионика және өнеркәсіптік электроника секілді ғылыми-техникалық салалардың қалыптасуына негіз болды. Электроника болмаса, компьютерлік техника, ғарыштық ізденис, автокөлік, машина құрылышы сияқты салаларды дамыту мүмкін емес еді.

Әскери техникадағы электрониканың рөлі өте маңызды. Мысалы, зениттік зымырандық жүйелердің жұмыс істейтін және жоғары құндылықтары – заманауи әуе шабуылына және зымыранға қарсы қорғаныстың негізі – оларда электронды құрылғыларды пайдалану арқылы ғана мүмкін. Қарудың жана түрлерін құру, дәлірек қару мен үшкышсыз әуе көліктегі сияқты, электроника жетістіктеріне негізделген.

Электроника тығыз өзара әрекеттеседі және газдардың молекулалық-кинетикалық теориясы, қатты дене физикасы және

жартылай өткізгіш материалдар, оптика және акустика секілді ғылыми дисциплинарға сүйенеді. Осы пәндермен электроника интерфейсінде микроэлектроника, оптоэлектроника және акустоэлектроника сияқты ғылыми бағыттар пайда болды және қалыптасты.

Радиотехникадағы және басқа да көптеген технологиялық салаларда, оның ішінде авиация мен гарышты зерттеуде прогресс электроникадағы қол жеткізілген нәтижелермен тікелей байланысты деп дәлелдеуге болады. Осылайша, электромагниттік құрылғылардың өнертабысы арқасында, жиілікте жоғары тұрақсыз тербелістерді тудыратын түтік шамдарына жетілмеген ұшқын радиомераторларынан көшу мүмкін болды. Соңғысының көмегімен түбекейлі жаңа радиоқабылдағыштар да пайда болды. Жартылай өткізгіш аспаптар мен интеграцияланған микросхемалар пайда болуы бізге параметрлерін түбекейлі жақсартуға мүмкіндік берді, радиотехникалық құрылғылардың құрылымын және сыртқы түрін өзгертуге, олар миниатюренген, берік және сенімді жұмыс істеді.

Сонымен қатар, радиотехниканың қажеттіліктері электронды құрылғылардың жаңа түрлерін жасау үшін қуатты ынталандыру болды, мысалы радиотехника және теледидар сияқты радиотехника сияқты үрдістердің пайда болуы микротолқынды диапазонда – магнетрондар, клистондар мен жол серіппелерінде түбекейлі жаңа микротолқынды құрылғыларды құруга әкелді. Толқын, сенімділік, ұзақ мерзімділік және радиотехникалық құрылғылардың қолемін азайту ниеті – транзисторлар жасау. Электроника мен радиотехника сияқты тығыз өзара әрекеттесудің мысалдары жалғасуы мүмкін. Бейнелеп айтқанда, электроника радиотехника және басқа да көптеген технологиялықсалалар үшін «локомотивтің» бір түрі болды.

1.4. ЭЛЕКТРЛІК ЖӘНЕ МАГНИТТІК ӨРІСТЕР

Жоғарыда айтылғандай, электроника негізі заряд тасымалдаушылардың, бірінші кезекте электрондар дың, физикалық табигаттың өрістерімен, оның ішінде электрлік және магниттік өзара әрекеттестігі. Соңдықтан осы өрістердің негізгі қасиеттері мен параметрлерін қарастырамыз. Электр өрісі стационарлық және қозғалыстағы электрлік зарядтардың, магнит өрісінің – қозғалыстағы ғана жұмыс істейді. Осы өрістердің жағында электр заряды бойынша әрекет ететін күштер бағдарлы болып табылады және соңдықтан векторлар арқылы сипатталуы мүмкін. Естерізігे сала кетейік, математикада вектор белгілі бір ұзындық пен бағытқа ие сегмент деп

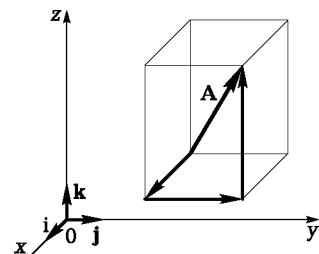
аталады. Үш өлшемді, Декарттық координат жүйесінде вектор $0x$, $0y$, $0z$ осінде 3 проекциямен сипатталады (1.1-сурет):

$$\mathbf{A}(x, y, z) = a_x \mathbf{i} + a_y \mathbf{j} + a_z \mathbf{k}, \quad (1.1)$$

\mathbf{i} , \mathbf{j} , \mathbf{k} - осьтер бойымен бірлік векторлары (бірлік); a_x , a_y , a_z - скаляр, тік бұрышты Cartesian координаты A векторлары болып табылады, олар осы вектордың проекциясы координат осіне $0x$, $0y$, $0z$.

Векторлардың жиынтығы векторлық өрісті қалыптастырады, ол графикалық түрде күш-кеңістіктік қисық сызықтары арқылы бейнеленген, әр нүктесінде вектор ауытқымалы бойымен бағытталған. Скалярлық өріс тек кейбір жазықтықтар ушін анықталған, тегіс деп аталады. Кез-келген уақыт кезіндегі кез-келген нүктесінде электр өрісі екі вектормен сипатталады \mathbf{E} - электр өрісінің кернеулігі.

Сурет. 1.1. Үшөлшемді кеңістіктегі вектор



В/м ; Д — электрлік ығысу (немесе электрлік индукция), Кл/м^2 .

Электр өрісіне үқсас магнит өрісі H сипатталады. Магниттік өрістің кернеулігі А/м , и B — магниттік индукция, Tl .

Бірліктер жүйесінде қабылданған белгілерді береміз СИ: B — вольт; m — метр; Кл — кулон, $1 \text{ Кл} = 1 \text{ А} \cdot 1 \text{ с}$; A — ампер; s — секунда; Tl — тесла, $1 \text{ Тл} = 1 \text{ В} \cdot 1 \text{ с/1 м}^2$; Гн — генри, $1 \text{ Гн} = 1 \text{ В} \cdot 1 \text{ с/1 А}$.

Электр өрісінің өзгермейтін қасиеттері бар ортадағы параметрлері өзара байланысқа байланысты

$$D = \epsilon_M \epsilon_0 E = \epsilon E, \quad (1.2)$$

ϵ_M — Ортанның салыстырмалы электрлік тұрақты, вакуумда $\epsilon_M = 1$; ϵ_0 — электрлік тұрақты, $\epsilon_0 = 8,85 \cdot 10^{-12} \text{ Кл/(В} \cdot \text{м)}$; ϵ — абсолютті электрлік тұрақты, $\epsilon = \epsilon_M \epsilon_0$.

Магнит өрісінің өзгермейтін қасиеттері бар ортадағы параметрлері келесі қатынастар арқылы бір-бірімен байланысты:

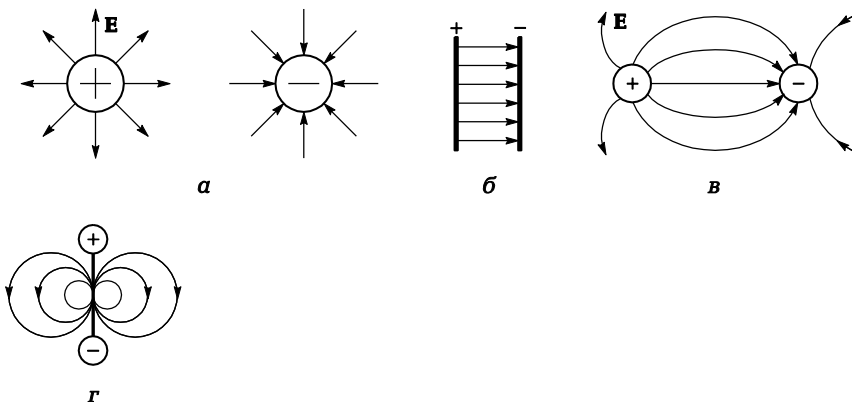
$$B = \mu_M \mu_0 H = \mu H, \quad (1.3)$$

μ_M — ортадағы салыстырмалы магниттік тұрақты, вакуумда $\mu_M = 1$; μ_0 — магнитті тұрақты, $\mu_0 = 1,257 \cdot 10^{-6} \text{ Гн/м}$; μ — абсолютті магнитті орта тұрақты, $\mu = \mu_M \mu_0$.

Төрт вектордың әрқайсысы: **D**, **E**, **B**, **H** — Өрістің еркін нүктесінде $M(x, y, z)$ үш координатпен анықталады (1.1-суретті қараңыз) және уақыт t_k . Эксперименттердің нәтижелері электрлік және магнит өрістерімен байланысты заңдылықтарды белгілеуге және олардың арасындағы жалғыз электромагниттік өріс түрінде байланыс орнатуға мүмкіндік берді. Бұл өрістерде **E** векторының сыйықтары электр күштері деп аталады, ал **H** векторының сыйықтары магнит сыйықтары деп аталады. Электрлік және магниттік өрістердің бірнеше мысалын қарастырайық.

Тұракты зарядтардың электр өрісі. Мұндай өріс электростатикалық болып табылады, яғни уақыт бойынша өзгермейді.

Бір оң және теріс зарядтың электростатикалық өрісі күріш. 1.2, а. Мұндай өрістің қарқындылығының сандық мәні мыналармен берілген:



$$E = \frac{1}{4\pi\epsilon_0} \frac{q}{r^2} \quad (1.4)$$

q — заряд, Кл; r — өрістің зерттелетін нүктесіне дейінгі қашықтық, м әр түрлі полярлықты зарядтаумен екі тегіс металл пластиналар арасындағы электростатикалық өріс. 1.2, б.

Біргекті электр өрісіндегі сыйықтар параллельді.

Әр түрлі зарядтардың $+ q$ және $-q$ теңдеуінің екі электростатикалық өрісі 1.2-суретте көрсетілген.

Эксперименттік зерттеулер көрсеткендей, электростатикалық өріс магнит өрісіне әсер етпейді, ал статикалық магнит өрісі электр өрісіне әсер етпейді.

Токпен откізілетін магнит өрісі. Эксперименттік түрде электр

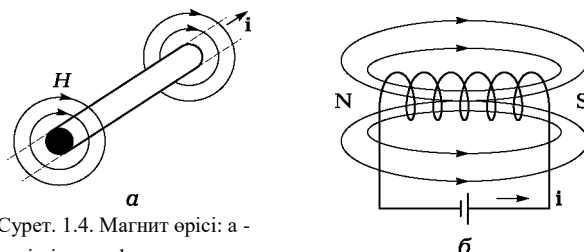
өткізгіштің ток өткізгішінің ағымдық ток деп аталатын ағымы қоршаған кеңістіктегі магнит өрісінің пайда болуымен бірге жүреді. Магнит өрісінің күш сзықтары соленоид жағдайда, яғни сымнан спиральдар, тұйық қисық сзықтар (1.4-сурет, б).

- Осылайша, тәжірибе бойынша
- Электр заряды тұрақсыз болғанда электростатикалық өріс бар (1.2 суретті қараңыз);

Электр тоғын анықтайтын бірдей зарядтардың қозғалысы әрдайым магнит өрісінің пайда болуымен бірге жүреді (1.4 суретті қараңыз).

Бірінші құбылысты даниялық физик Х.К.Эрстед анықтады.

Жоғарыда айтылғандар негізінде зарядтардың қозғалысы мен электр өрісіндегі байланысты өзгеріс магнит өрісінің пайда болуына әкелетінін ескере отырып, онда қарсы құбылыс болуы керек: магнит өрісінің өзгеруімен электр өрісінің пайда болуы. Бұл идея электр және магнит өрісінің арасындағы байланысты анықтауға арналған эксперименттерден бастаған, ұлы ағылшын физик-экспериментатор М. Фарадей (1791-1887) басшылығымен жүргізді. Міне, ол электр және магниттік құштердің өзара әрекеттесуі туралы жазған: «Олар бірдей немесе бірдей ме, жоқ па деген шешім қабылдау өте маңызды болар еді



Сурет. 1.4. Магнит өрісі: а - өткізгіш ток; б - соленоид

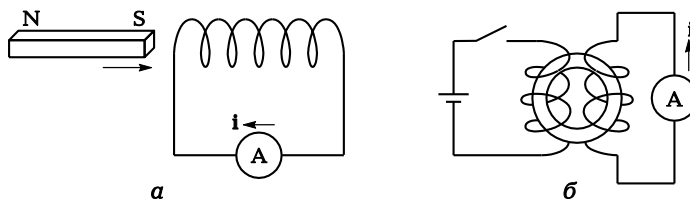
бұл екі түрдің күши жеке болып табылады және олардың шынайы қарым-қатынастарын орнатады. Бұл мәселе, әрине, оны шешүге тырысатын адамга бай тәжірибе алуға және үәде етеді ».

Фарадейдің өзі де өзінің күнделіктерінде сипатталған эксперименттер сериясын жасап, өзі ойлап тапқан мәселенің жауабын тапты. (Фарадейдің күнделіктері 1931 жылы Ұлыбританияда, ал 1947 - 1959 жылдары үш томда «Электрэнергия бойынша эксперименттік зерттеулер» деген атаумен Ресейде жарық көрді).

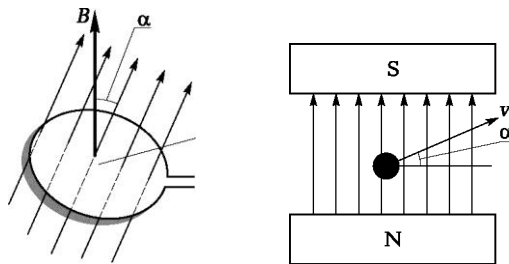
Фарадейдің күнделігін оқыған кезде оның ерекше сипатты мен

және оның толық сипаттамасымен мұқият, сөзбе-сөз филиппирлік эксперимент. Фарадейдің өзі электромагниттік индукция заңын ашуға әкелген тәжірибесі (1.5, a) «Цилиндрлік магнит жолағын (диаметрі 3/4 дюйм және ұзындығы 8 1/4 дюйм) алдын және оның бір шетін гальванометрге жалғанған мыс сымының ұзындығы 220 футқа орналастырды. Содан мен спиральдың ішіндегі магнитті тез арада толығымен итеріп, гальванометрдің көрсеткісі басылды. Содан кейін магнитті спиральдан тез арада тартып алдын, ал көрсеткі қайтадан бұрылды, бірақ керісінше. Магнит жылжыған немесе итерілген сайын, бұл бұрылыс көрсеткілері қайталанды. «Эксперименталды нәтижеге сүйене отырып, Фарадей келесі қорытындыға келді: « ... электр толқыны тек магнит қозгалады, демалу кезінде оған тән қасиеттерге байланысты емес ».

Мәселен, Фарадейдің магнит позициясының өзгеруі – оны соленоидтан енгізу немесе алу арқылы өзгерсе, онда амператор арқылы табылған түйік электр тізбегінде пайда болады (он тоғызынышы ғасырда мұндай құрылғы гальванометр деп аталады) (суретті қараңыз). Сондықтан, магнитті түрде өзгерту -



Сурет. 1.5. Фарадейдің эксперименттеріне арналған суреттер:
а - қозгалатын магнитпен; б - жабылған кезде - тізекті ашу



Сурет. 1.6. ЭКК пайда болуы: а - магнит өрісінің өзгеруі; б - өткізгіш магнит өрісінде қозгалса

Тұракты магнит өрісінде өткізгіштегі кернеу оны қозгалту арқылы ғана туындауы мүмкін (1.6-сурет, б). Өйткені L ұзындығының өткізгіштігі тұракты магнит өрісінде уақытша қозгалыс жылдамдығымен жылжиды, сол кезде $AC = IvAt$ ауданын жабады, онда (1.5) сәйкес:

$$e = -\frac{d\Phi}{dt}, \quad (1.5)$$

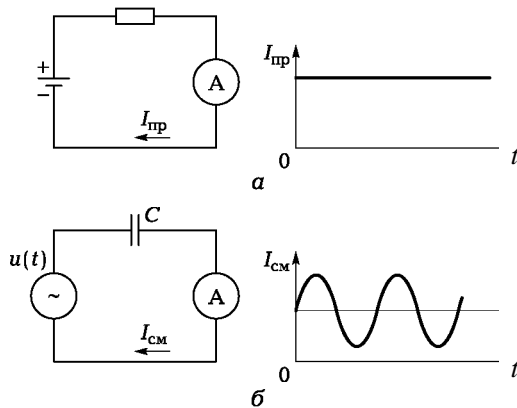
$$e = -SN \cos\alpha \frac{dB}{dt} \quad (1.6)$$

$$e = -B_h l v \cos\alpha. \quad (1.7)$$

Индукциямен қатар, Фарадей өздігінен индукция феноменін анықтады, ол электр өткізгіш кернеуді ЭМК өткізгіштегі басқа токеткізгіште өзгергенде, мысалы, тізбекті жабылып, тізбектің ашылуына байланысты (1.5, б). Кілтті бірінші схемада жабық және ашқан кезде, яғни ағымдағы өзгерген кезде, қысқа уақытты ағым екінші тізбектегі ампермердің бұрылыс көрсеткі бойынша өтеді. Тізбектер арасындағы байланыс - темір сақина айналасында екі оқшауланған сым

сегменттерінің соғұрлым күшеюі, соғұрлым екінші ток тізбегіне ағып кеткен. Бұл құбылыс бірінші электр тізбегіндегі өзгеретін магнит өрісі екінші тізбектегі кернеудің ЕМК-ны тудыратындығымен түсіндіріледі. Осылайша, бұл жағдайда электр және магнит өрісінің өзара әрекеттесу құбылыстары бар: кілтпен тізбекте, өзгеретін электр өрісі өзгерген магнит өрісін жасайды, бұл өз кезегінде электр тізбегіне айналады.

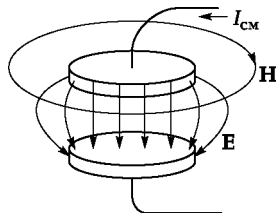
Электромагниттік өріске қатысты негізгі түсініктерді қарастырайық. Біріншіден, екі электр тізбегіндегі ток өлшеуге арналған эксперимент жүргіземіз: резистор және конденсатор арқылы (1.7-сурет).



Сурет. 1.7. Желі:

а - тікелей ток; б - айнымалы ток

Сурет. 1.8. Конденсатордың электр және магнит өрісі



Бірінші схемада (1.7, а) суреттегі электрлік зарядтардың реттелген қозғалысы болып табылатын өткізгіштік ток 1пр. Екінші схема сынған (1.7, б), сондықтан оны электр зарядтарының үзіліссіз қозғалысы болуы мүмкін емес, яғни өткізгіш ток 1пр. Дегенмен, эксперименттік белгіленуі мүмкін, бұл схема конденсатор бар, мүмкін, елі күнге дейін ағыны ток, бірақ тек айнымалы және, демек, өткізгіш токтарының айырмашылығы.

Жоғарыда айтылғандай, ток өткізгіштің ағыны магниттік өрісті қалыптастырады, ал сақина түріндегі күштің сзығы дирижер айналасында бірегей конвертті құрайды (1.4-суретті қараныз). Алайда, мұндай «қабық» конденсатордың пластиналарында тоқтамайды, бірақ конденсатордың айнымалы электр өрісін магнит өрісінің дәнгелек сзықтарымен қоршай береді (1.8-сурет).

Фарадейдің эксперименттеріне сүйене отырып, ағымдық тогынан ерекшеленетін және ағымдық ток деп аталатын ағымның болуы туралы алғашқы ойды ағылышын физигі Д.К. Максвелл (1831 - 1879) білдірді. Бұл туралы ол жазған: «Олар арқылы электр тогының агуына жол бермейтін органдар оқшаулагыштар деп аталады. Бірақ электр энергиялары олар арқылы отпесе де, электр эффектілері олар арқылы таралады және бұл әсерлердің деңгейі органдардың табигатына байланысты ...» Максвеллдің 1873 жылы жарық көрген «Электр және магнетизм туралы дәрістер» атты толық жұмысында Фарадей идеялары мен эксперименттеріне негізделген Максвеллдің теориясы электр және магниттік құбылыстардың өзара байланысын түсіндіріп, оптика мен электродинамика арасындағы байланысты анықтады.

Фаардағы ($\Phi = \text{Кл}/(\text{В} \cdot \text{м})$) сыйымдылығы бар параллельді пластиналармен (1.2-суретті қараныз) жалпақ конденсатордағы баистың тогының шамасын анықтаймыз.

$$C = \epsilon S / h, \quad (1.8)$$

М онда ϵ - абсолютті электрлік тұрақты, $\text{Кл}/(\text{В} \cdot \text{м})$; S - пластиналардың ауданы, м^2 ; h - пластиналар арасындағы қашықтық, м

конденсатордағы және Максвелл деп аталатын ауыспалы токпен тізбектегі ток,

$$i(t) = \frac{dq}{dt} = C \frac{du}{dt} = Ch \frac{dE}{dt}, \quad (1.9)$$

мұндағы q - конденсатордың, Кл; C - сыйымдылық, Φ ; u - олардың арасындағы кернеу, В; E - конденсатордың электр өрісінің беріктігі $E = u/h$, В/м.

Есептеу кезінде (1.8) және (1.9) ток тығыздығы үшін, А / м², конденсатор арқылы өтетін

$$j_{cm} = \frac{i_{cm}(t)}{S} = \frac{C}{S} \frac{du}{dt} = \varepsilon \frac{dE}{dt}. \quad (1.10)$$

$u(t) = U_m \sin \omega t$ генераторының синусоидальды толқындық формасы үшін конденсатордағы тізбектегі бұрмалану тогын анықтаңыз (1.7, б суретін қараныз). (1.9)

$$i(t) = C \frac{du}{dt} = \omega C U_m \cos \omega t = I_m \cos \omega t, \quad (1.11)$$

онда I_m - биіктік ток амплитудасы,

$$I_m = \omega C U_m.$$

Алғашқы токты өлшеуге арналған алғашқы эксперименттер сигналдың төменгі жиілігінде, С сыйымдылығының шамалы шамасында және, сәйкесінше (1.11), ток амплитудасының шамалы шамасымен сәйкес жүргізілді. Бұл электронды және магнетизмнің мән-мағынасын ашып, бір-бірімен өзара іс-қымыл жасау үшін саяхат басында XIX ғасырдың ортасында физиктер үшін қолжетімді төмен сезгіштігі бар аспаптар арқылы ток өлшеуге мүмкіндік бермеді. Соңдықтан Максвелл «ауыспалы ток» тұжырымдамасын тек қана алыштарлық жолмен құрастырган және тәжірибелік деректерге негізделмеген теңдеулерге енгізді. Кейінгі эксперименттер оның гипотезасының негізділігін толық растады.

Жалпы алғанда, магнит өрісі магнит өрісінің беріктігін қамтамасыз ететін (1.10) ток өткізгішіне де, оның тығыздығына да тәуелді $J_{\text{пр}} = I_{\text{пр}}/S$ (S - токпен өткізілетін жер беті)

$$H = \Phi_1(j_{np} + j_{cm}) = \Phi_1(j_{np} + \varepsilon \frac{\partial E}{\partial t}). \quad (1.12)$$

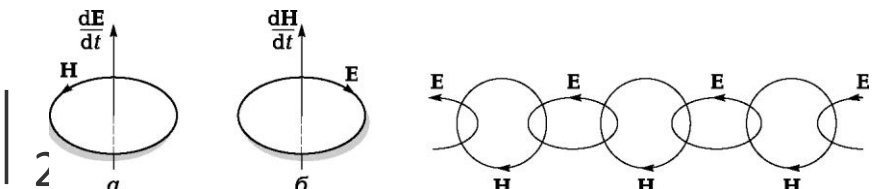
Өткізгіште өткізгіштік ток ағымдық тоттан айтарлықтай асып кетеді. Вакуумда, керісінше, магнитті құрудары басты рөл өріс ағымдық токпен ойнайды, өйткені ток өткізгісі жоқ. Бұл жағдай Максвеллдің келесі оңайлатылған түрінде жасаған теңдеулерін (1.12) және (1.5) ескере отырып, мүмкін етеді:

$$H = \Phi_1(\varepsilon \frac{\partial E}{\partial t}); \quad E = \Phi_2(-\mu \frac{\partial H}{\partial t}). \quad (1.13)$$

Теңдеулер (1.13) вакуумдағы ауыспалы электрлік және магниттік өрістердің өзара әрекеттесуіндегі симметрия принципін көрсетеді. Бірінші теңдеуден (1.13) магнит өрісінің сыйықтары электр өрісінің өзгерісін сипаттайтын векторды қамтиды, екіншіден, құйынды электр өрісінің сыйықтары магнит өрісінің өзгерісін анықтайтын векторды қамтиды (сур.1.9).

Максвеллдің биак ағымының бар екендігі туралы жорамал электр және магнит өрісі арасындағы жабық және өзара байланысқан күш сыйықтарымен тығыз, ажырамас байланыс орнатуға мүмкіндік берді. Мұндай электромагниттік өрістің сипаттын шартты түрде ұсыну күріш. 1.10, онда ол жабық электр және магниттік күш сыйықтарының сақиналарының тізбегі түрінде ұсынылған. Суретте. 1.10 өзгеретін магнит сақиналды ағынның айналасында құйынды түрінің электрлік сақиналды ағынны пайда болып, бұл өз кезегінде магниттік сақина ағыны және т.б.

Осылайша, өзгеретін электр өрісі магнит өрісінің пайда болуына, магнит өрісінің өзгеруіне, электр өрісінің құрылуына әкеледі. Екі түрлі өрістердің осы өзара әрекеттесуінің нәтижесі жарық жылдамдығымен еркін кеңістікте тарататын электромагниттік толқынның қалыптасуы және оның көзімен байланыссыз болуы. Бұл



Сурет. 1.9. Векторлары сипатталады Сурет. 1.10. Электрлік сақина изменение электр және магниттік ағындар (a) және магнит (b) өрістер

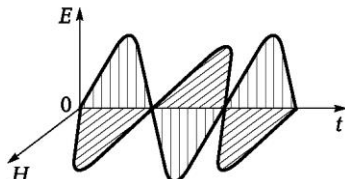
кез-келген уақытта электромагниттік өрістің құрылымын кеңістіктің кез-келген нүктесінде сипаттайтын Максвелл тендеулерінен су керек.

Максвелл өзінің «Динамикалық теория» атты мақаласында осы теориялық зерттеуді қорытындылады: «Мен ұсынған теория электромагниттік өріс теориясы деп атап алу мүмкін, өйткені ол электр және магнит органдарының айналасындағы кеңістіктің қарастырады және оны динамикалық деп те атап алу болады өйткені бұл гарышта қозғалыстағы заттар бар, оның көмегімен байқалатын электромагниттік құбылыстар пайда болады».

Осылайша, «зат» және «ауырлық өріс» іргелі санаттарында бейнеленген материалдық әлемнің сипаттамасында жаңа концепция - электромагниттік өріс қосылды.

Жылдар өтіп, электромагниттік өріс теориясы физикада берік орнатылған. Ақыр соңында барлық ірі галымдар оның әділдігін және материалдық әлемді сипаттаудағы көрнекті рөлін мойындағы. Мысалы, 1931 жылы, теорияның негізін қалаушы ғасырдың жүз жылдығына орай, электронды ашқан және оның зарядтарын анықтаган ең көрнекті британдық физиктердің бірі Джозеф Томсон: Максвелл, өзінің моделін пайдаланып, бұл модельдің келесідей екенін анықтады: электрлік күштердегі өзгерістер магниттік күшті тудырады. Бұл идеяны енгізу және дамыту - Максвеллдің физикадағы ең үлкен үлесі. Максвелл жасаған қадамның маңыздылығы электромагниттік теорияда оған дейін қабылданған, электр толқындары болмағанымен, оның теориясындағы электрлік және магниттік күштердегі кез-келген өзгерістер гарышта таратылатын толқындарды жіберді.

Электромагниттік толқындардың бір түрі - 0з осі бойынша таралатын жазықтық толқыны (1.11-сурет). Мұндай толқындардың Е және H векторлары бір-біріне перпендикуляр және таратудың бағыты бойынша, сондықтан толқын көлдененең, толқындық векторлардың әрқайсысының уақытына және координатына байланысты өрнектермен сипатталады.



1.11 сур. Жазық электромагниттік толқын

$$u(t, z) = U_0 e^{-\alpha z} \cos(\omega t - \beta z), \quad (1.14)$$

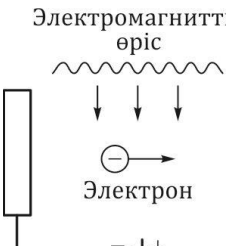
мұнда a — өшү тұрақтысы; ρ — тұрақты фаза, $\rho = 2n/X$, m^{-1} ; X — толқын ұзындығы, m ; U_0 — амплитуда, V ; t — уақыт, s ; z — координат, m .

(1.14) сәйкес, толқындар тарайды және ыдырайды. Вакуумда ұшқын электромагниттік толқын жарық жылдамдығындей таралады

$$c = \frac{1}{\sqrt{\mu_0 \epsilon_0}} = \frac{1}{\sqrt{1,257 \cdot 10^{-6} \cdot 8,85 \cdot 10^{-12}}} \approx 3 \cdot 10^8 \text{ м/с} = 300 000 \text{ км/с.}$$

Көптеген көрнекті физиктер он тоғызынышы ғасыр физикасының орталық проблемаларының бірін шешуге, электр және магнетизм табиғатын ашуға және олардың өзара әрекеттесуіне үлкен үлес қосты. Олардың ішінде екі атау айрықша: Фарадей және Максвелл. Біріншісі магнит сызықтары туралы идеяны ұсынды және электромагниттік индукция заңын тапты, екіншісі – электромагниттік өріс теориясы әзірленді.

1.5. Электронды ЖЖ құрылғылар жұмысының жалпы принципі



1 В ықтимал айырмашылығы бар еркін қозғалысы бар бір электрондың электр энергиясына тең электронды-вольтты энергияны өлшеу бірлігі енгізілді:

$$W = qU = 1,6 \cdot 10^{-19} \text{ Кл} \cdot 1 \text{ В} = 1,6 \cdot 10^{-19} \text{ Дж.}$$

(Естерінізге сала кетейік,

$$\text{бұл } 1 \text{ Дж} = 1 \text{ Вт} \cdot \text{с.})$$

3) Осылайша, екінші феномен тұрақты электр көзінің энергиясын тұрақты электр өрісі ішіндегі зарядтау тасымалдағыштарына беріліп, осылайша жеделдетуге ие болады;

4) кез келген жиіліктің тербелістерін қүшейтуге немесе генерациялауға арналған құралдардағы заряд тасымалдаушылардың қозғалысы осы тербелістердің электромагниттік өрісімен бақыланады және өзара әрекеттеседі. Бұл өрістің әсерінен заряд тасымалдаушылар бәсендейді, нәтижесінде олардың қүші электромагниттік өріске беріледі.

Осылайша, тұрақты электр өрісінің әсерінен заряд тасымалдаушылар жеделдетіліп, энергияны сатып алады, содан кейін ингибирлеу нәтижесінде белгілі бір жиіліктің электрлік тербелістерін анықтайтын электромагниттік өріс беріледі. Бұл жағдайда тербелістер жиілігі төмен жиіліктен бастап өте жоғары жиілікте болуы мүмкін.

Осылайша, электрондың құрылғылардың үлкен тобын пайдаланудың жалпы қағидаты мынада, олардағы заряд тасымалдаушылар алдымен тұрақты ток көзінен W_0 энергиясын сатып алып, оны W_3 электрлік немесе электромагниттік өрісіне жеткізеді. Бұл екі энергияның қатынасы электрондық құрылғының тиімділігін анықтайды

$$\eta = W_3/W_0.$$

Әрине, осы жалпы принциптен кейбір кетулер мүмкін. Мысалы, энергияның бастапқы көзі тұрақты емес, импульстік кернеу болуы мүмкін. Алайда бастысы өзгеріссіз қалады: зарядтардың энергиясын белгілі бір жиіліктің және пішіннің электромагниттік ауытқуларының энергиясына айналуы. Ең маңызды оптоэлектрондық құрылғының физикалық жұмысы – лазер – мәжбүрлі немесе индий феноменіне негізделген

Сыртқы энергия көзінің әрекетіне байланысты көптеген атомдар мен молекулалар арқылы электромагниттік толқындардың үйлестірілген бір мезгілде эмиссиясы нәтижесінде пайда болатын радиация.

Акустоэлектрондық құрылғылардың негізі электр және магнит өрісі бар қатты денеде таралатын акустикалық толқындардың өзара әрекеттесуімен байланысты физикалық құбылыс.

Келесі тарауларда электронды құрылғылардың әртүрлі типтерін қарастыраған кезде оларды пайдалану қағидалары тольғырақ қарастырылады.

БАҚЫЛАУ СҰРАҚТАРЫ

1. «Электроника» ғылыми бағыты бойынша қандай міндеттер шешілуде?
2. Электрониканың дамуының негізгі кезеңдерін көрсетіңіз.
3. Электрондық құрылғылардың негізгі түрлері қандай?
4. Электрондық құрылғылардағы заряд тасымалдаушылармен қандай өрістер өзара әрекеттеседі?
5. Өнеркәсіптік өнімдерде электронды құрылғыларды пайдалану мысалдарын келтіріңіз.

ХАБАРЛАМА ЖӘНЕ СИГНАЛ

2.1.

САНДЫҚ ХАБАРДЫҢ ПАРАМЕТРЛЕРИ

Аналогтық немесе сандық электр сигнал: беру кезінде алынған ақпарат телекоммуникациялық жүйелерде екі түрін қабылдай алады хабар, айналады. функциясы бекітілген құндылықтарды соңғы саны бар - аналогтық сигнал дискретті, уақыт үздіксіз функциясы сипатталады. Мысалы, микрофонды пайдалана сөйлеу беру, электр сигнал, оның шығу (сур. 2.1, а) уақыт үздіксіз функциясы сипатталады. электрондық жадтан немесе ықшам дискіден оқу арқылы өндірілетін компьютерлік ақпарат «0» екілік жүйесін (Сурет негізі сандық микросхема жиынтығы ретінде ұсынылған дәлірек дискретті жүйелі блок, кіреді «1» және. 2.1 , б). Теледидар сурет аналогтық және цифрлық нысанда де берілуі мүмкін. Екінші жағдайда теледидар сандық деп аталады. Қазіргі заманғы электрондық жүйелердің көпшілігі сандық болып табылады, яғни цифрлық түрде ұсынылған хабарды жібереді. Осылайша, аналогтық хабарды екілік сандар жүйесі негізінде сандық түрге айналдыру туралы мәселені егжей-тегжейлі қарастырамыз. Математикадан сандар жүйесі туралы ақпаратты еске түсірейік. Әдетте, ондық жүйе пайдаланылады, онда оның саны база деп аталатын 10 қуаттың жиынтығы ретінде ұсынылады:

$$N_{10} = K_p 10^p + K_{p-1} 10^{p-1} + \dots + K_2 10^2 + K_1 10^1 + K_0 10^0, \quad (2.1)$$

онда K_0, K_1, \dots, K_p - ондық мәндердің бірін қабылдайтын сандар - 0-ден 9-га дейін.

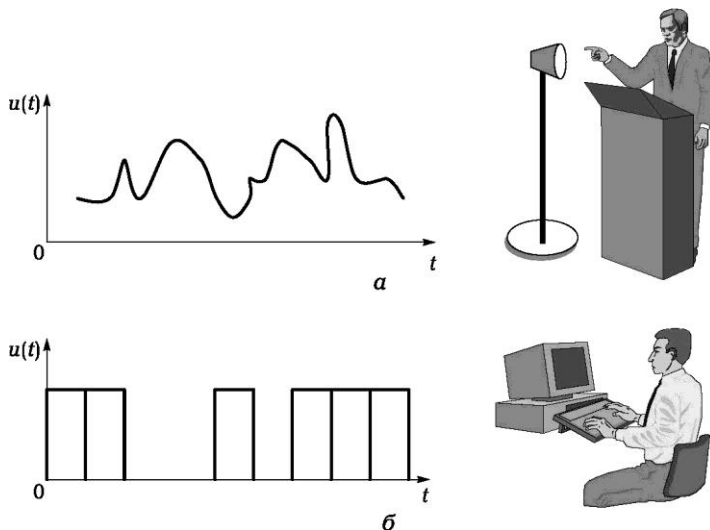
Серияның әрқайсысы (2.1) ағынды деп аталады. Соңдыктан N_{10} саны бір, екі, үш, және т.б. болуы мүмкін. бит. Мысалы, 371 саны - үш таңбалы, ал 69 025 - бес таңбалы. Әрбір кейінгі санның цифры алдыңғы санның тиісті санынан 10 есе көп.

Екілік жүйеде нөмір 2 базаның негізі ретінде қабылданады және әрбір санға тек 0 немесе 1 болуы мүмкін Әрбір келесі сан бұрынғыдан 2 есे артық болуы мүмкін. Осылайша, екілік жүйедегі сан 2:

$$N_2 = M_q 2^q + M_{q-1} 2^{q-1} + \dots + M_2 2^2 + M_1 2^1 + M_0 2^0, \quad (2.2)$$

M_0, M_1, \dots, M_q — мұндағы екі мәннің бірін қабылдайтын сандар — 0 немесе 1.

Екілік сандар жүйесін тандау, оны пайдалану кезінде тек екі күйі бар электронды құрылғылардағы сандар мен жұмыс істей үгни «қосулы» «өшірулі» «схема жабық» «схема ашық»



Сурет. 2.1. Сигналдар: аналогтық; сандық

Мұндай күйлердің біріне «1» саны бірінен «0» саны сәйкес келеді.

Сандық сигнал үш параметрлермен сипатталады негізі m , мәні n и және композиттік сигналдардың ең көп саны немесе кодтамалардың ең көп саны й N . m кодының негізі аралас сигналды қалыптастыратын әртүрлі қарапайым рәміздер саны $m = 2$ екілік жүйесінде кездеседі, себебі екі жайғана «1» немесе «0» мүмкін.

Н мәні - құрамдас сигнал немесе код комбинациясын қурайтын қарапайым рәміздер саны. Құрамдас сигналдар мен кодтық комбинациялардың максималды саны N $m = 2$ и қосындысы мен мәннінде n

$$N = 2^n, \quad (2.3)$$

Бұл жерде $n = \log_2 N$ мәні — Бір композиттік сигналда немесе бір код комбинациясында биттердің немесе разрядтардың саны.

(2.3) сәйкес, $n = 2$ үшін біз төрт кодың комбинациясын аламыз: $n = 3$ - сегіз, $n = 4$ - 16 және т.б. 2.1-кестеде келтірілген (2.2) және ондық жүйедегі сәйкес сандарға сәйкес анықталған тіркесімдер берілген. Жіберілген хабарлама көлемі, жылдамдығы, сенімділігі, жасыру дәрежесі сияқты параметрлерді пайдалана отырып есептеледі. Оларды толығырақ қарастырайық. Жіберілген хабарламаның көлемі. Сандық байланыс «1» және «0» тіркесімі түрінде берілсе, басқаша айтқанда, екілік кодты бір қарапайым бөлік деп атайды. Мәселен, суретте. 2.1, в хабарлама 9 бит тұрады және алты «1» және уш «0». Сегіз биттер (ағылшын екілік санынан - екілік сан) байт деп аталауды. Ақпаратты өлшеудің үлкен өлшемдері: килобит (Кб), мегабит (Мб), гигабит (Гбит): 1 Кбит = 2^{10} бит = 1 024 бит; 1 Мбит = 2^{20} бит = 1 024 Кбит = 1 048 576 бит; 1 Гбит = 2^{30} бит = 1 024 Мбит = 1 048 576 Кбит = 1 073 741 824 бит, или килобайт (Кбайт), мегабайт (Мбайт), гигабайт (Гбайт), соответственно равные: 1 Кбайт = 2^{10} байт = 1 024 байт; 1 Мбайт = 2^{20} байт = 1 024 Кбайт = 1 048 576 байт; 1 Гбайт = 2^{30} байт = 1 024 Мбайт = 1 048 576 Кбайт = 1 073 741 824 байт. Осылайша, хабардың цифрлық формадағы көлемі биттерде немесе байттармен, килобайтпен, мегабайтпен анықталады.

Кесте 2.1

Ондық жүйедегі сан	$n = 2$ екілік жүйедегі сан	Екілік жүйеде $n = 3$ саны бар	$n = 4$ екілік жүйедегі сан
0	00	000	0000
1	01	001	0001
2	10	010	0010
3	11	011	0011
4	—	100	0100
5	—	101	0101
6	—	110	0110
7	—	111	0111
8	—	—	1000
9	—	—	1001
10	—	—	1010
11	—	—	1011
12	—	—	1100
13	—	—	1101
14	—	—	1110
15	—	—	1111

Сол бірліктерде сакталған ақпараттардың мөлшері, оның ішінде дискеттер мен CD-ROM дискілерінде өлшенеді. Хабарларды беру жылдамдығы. Бір секундта берілетін биттердің немесе байттардың саны секундина бит (бит / сек) немесе секундина байт (байт / с) ретінде анықталған хабардың беру жылдамдығы. Секундина килобит (Кбит / с), секундина мегабит (секундина), секундина гигабит (секундина) немесе килобайтпен (Kbps), секундина мегабайтпен (МВ / с) өлшенеді), секундина гигабайт (ГБ / с). Аналогтық хабарламаларды беру кезінде (2.1 суретін қараңыз, а), электр тарату сигналының спектрінде жоғарғы жиіліктегі беру жылдамдығы анықталады. Мысалға, мысалы, сейлеу беру кезінде сіз 3,4 кГц жолда берілген хабардың спектрінде жоғарғы жиілікті шектей аласыз, және 6,5 МГц түсті

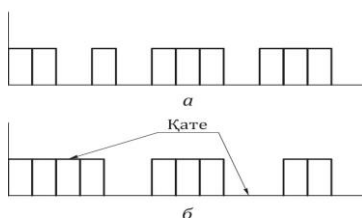
теледидар кескінің шектеуге болады.

Жылдамдықты біле отырып, берілген сандық хабардың көлемін анықтай аласыз: $A = VT$, (2.4)

мұндагы V - хабарлама жіберу жылдамдығы, бит / с (немесе Kbps, Mbps, Gbit / s); T - хабарлама жіберу уақыты, сек. Берілген аналогтық хабардың көлемін анықтау қыныңрақ. Ең қаралайым әдіс – аналогтық сигналды сандық түрлендіру және формулаға сәйкес жіберілген хабардың көлемін анықтау (2.4). Хабардың сенімділігі. Алынған хабар үшін әртүрлі себептер бойынша қателер орын алуы мүмкін, мысалы, жіберілген хабарға кедергі әсері. Нәтижесінде, сандық хабарлама алынған кезде, берілген «1» нышаны «0», және керісінше ретінде қабылдануы мүмкін. Жіберілген хабарламаны алынған біреуімен салыстыра отырып, хабардың алушыдан оның көзінен қаша қате жіберілгенін анықтауға болады. Мысалға, 2.2 суретте көрсетілген 12 символдан алынған хабарда екі қате қабылданады. Хабардың сенімділігі жіберілген A санының жалпы санына қате қабылданатын қате қабылданған X таңбалар саны арқылы анықталуы мүмкін:

$$H = X/A. \quad (2.5)$$

Мысалы, $X = 1$ және $A = 10\ 000$ болғанда, $H = 10^{-4}$ мәні, $X = 1$ және $A = 10^6$ болса, $H = 10^{-6}$ мәні. Кедергі әсері көптеген жағдайларда кездейсоқ болғандықтан, H параметрі алынған символдың қателік ықтималдығы деп аталады.



Сур. 2.2. берілген (a) және алынған (б) сигнал

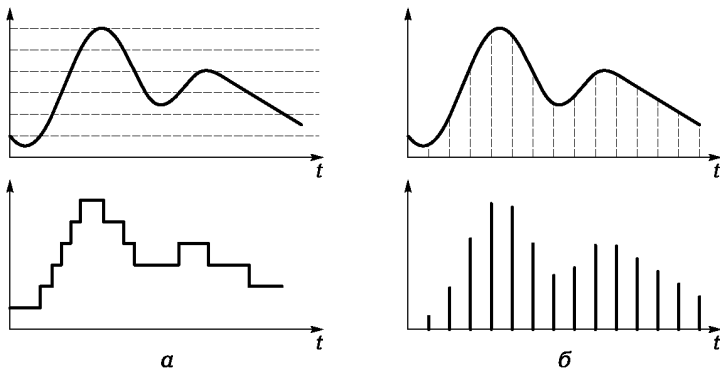
«1» және «0» әр комбинациясы тек белгілі бір санға ғана емес, алфавиттің әріптеріне де сәйкес келуі мүмкін, мысалы 00001 комбинациясы - «A» әрпі, 00010 тіркесімі - «B» әрпі, 00011 тіркесімі - «B» және т.б. Осылайша, берілген хабарды әріптердің әрбір әрпін белгілі бір санмен орналастыру және әріптердің орнына сандарды беру, яғни сандық сигнал беру арқылы кодтау мүмкін болады.

Хабарламаның кешігу дәрежесі. Көптеген жағдайларда жіберілген хабарламаның құпиялығын немесе құпиялығын қамтамасыз ету қажет, яғни оның дұрыс түсінуі тек кімге жіберілгенін біледі. Мұндай талап әскери іс-қимылдарда міндетті болып табылады: жау жіберілген ақпараттарды ұстап қалмауы керек және қайғылы салдарға әкеleу мүмкін. Бәсекелестерден өзінізді қорғау үшін экономикалық сипаттағы ақпаратты жіктеу қажет. Банк ақпаратын беру кезінде оның құпиялылығын қамтамасыз ету қажет, яғни сырттан келген адамдардан құпия. Жіберілетін хаттардың құпиялылығы шифрлеу арқылы жасалады оның ішінде хатты котдау арнайы алгоритм мен « кілтке» сәйкес жасалады.

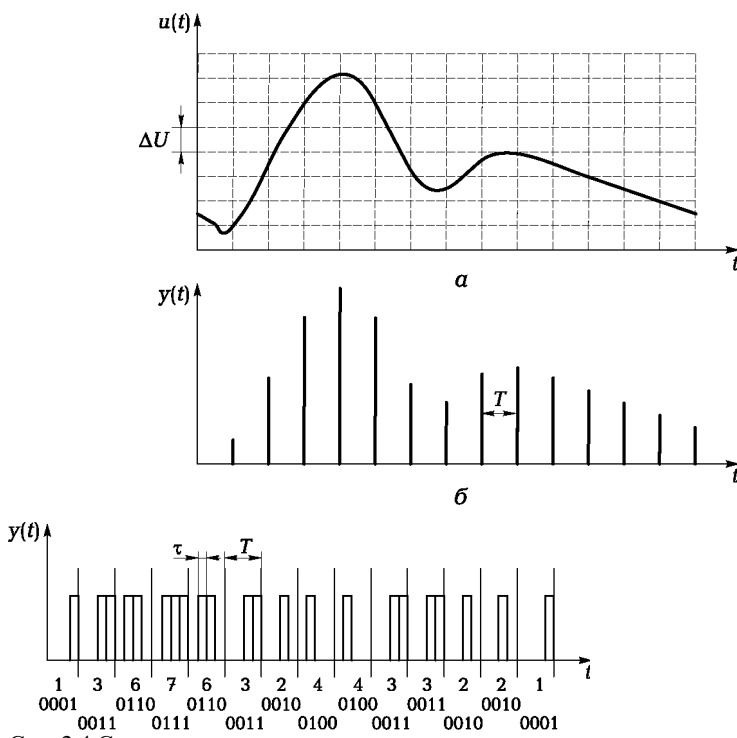
2.2. САНДЫҚ ДИАПАЗОНДАҒЫ АНАЛОГТЫҚ СИГНАЛДЫҢ КОНВЕРСИЯСЫ

Аналогтық сигналды сандық сигналға түрлендірген кезде оны дискретті түрде көрсету керек. мұндай айырбастау жүзеге асырылады қалай қарастырайық. Аналогты сигналды түрлендірудің үш түрі мүмкін: уақыт бойынша және бір мезгілде деңгей мен уақыт бойынша квантизациялау арқылы және сәйкесінше сигналдардың үш түрін: реле (сурет 2.3а), импульс (сурет 2.3b) және сандық (сур. 2.4, с). Релелік элементте кіріс сигналы белгілі бір тіркелген мәнді өткізген кезде шығыс сигналы күрт өзгереді. Сондықтан амплитудасының күрт өзгеруіне байланысты сигнал деп аталады (сур. 2.3а).

Аналогты хабардың $u(t)$ сандық $s(T)$ түрлендіруі 2.4 суретте түсіндіріледі. Біріншіден, $u(t)$ функциясының есептері бірдей іріктеу аралықтары арқылы жасалады (2.4, а). Нәтижесінде у (t) функциясы әртүрлі амплитуда импульстерінің «тарап» түрінде алынады.



Сүр. 2.3. Кванттық күш: *a* — деңгей бойынша; *б* — уақыт бойынша



Сүр. 2.4. Сандық сигналдың қалыптасуы: *б*
а — шығарылатын аналогтық сигнал; *б* — импульстық сигнал;
с — сандық сигнал

екілік санау жүйесінде өлшенетін амплитудасы әр мен ұзактығы т қысқа импульс арқылы «1» деген, және «0» -. Нәтижесінде T, орнына U (T) сандық S (T) алынған аналогтық хабарлардың сол ұзактығы әрекетсіздігіне. Ондық және екілік жүйелердегі сигнал амплитудасының өлшенген мәндері 2.4 суретте көлтірілген, с. Уақыт және амплитудасы да, бастапқы функциясын U (T) үлгілерін іріктеу ретінде, белгілі бір кате байланысты сандық түрлендіру сипатталған аналогтық хабарлар белгілі бір қадаммен өндіріледі. Бұл қадам жеткілікті шағын таңдалған Алайда, егер, онда қате шамалы болады, және абсолютті мән пек жартысын аспайды. Екілік жүйедегі кодекс комбинациясының жалпы саны және сәйкесінше, амплитудасының квантизациясының деңгейлері (2.4 суретін қараңыз b) N (2,4) сәйкес N = 2n болады, мұнда n - бір кодталған таңбадағы биттердің немесе биттердің саны. Временной шаг дискретизации устанавливается равным

$$T = 1/(2F), \quad (2.6)$$

мұнда A - берілген аналогтық хабардың спектрінде ең жоғары жиілік, Гц.

Қарапайым парцелла ұзактығы

$$\tau = T/n = 1/(2Fn). \quad (2.7)$$

(2.7) формуласынан берілетін хабардың жылдамдығына, бит / с, цифранған:

$$V = n/T = 1/\tau = 2Fn. \quad (2.8)$$

Мысалы, F = 4 кГц, сөйлеу, аналогтық хабарды сандық сигнал түрлендірудің мысалын қарастырайық. N = 8 квантования деңгейіне сәйкес, сәйкес (2.6)...(2.8) бізде бар: N = 256, T = 1/(2F) = 1/8 000 Гц = 125 мкс, τ = T/n = 125/8 = 15,625 мкс, V = 2Fn = 2-4 000 -8 = 64 000 бит/с = 64 Кбит/с = 8 Кбайт/с. Стандартты цифрлық сым байланыс арнасында дауыс пен басқа хабарларды беру жылдамдығы қандай.

Аналогты хабарламаны сандық түрге айналдыру үшін арнайы микросхемалар - аналогты-цифрлық түрлендіргіштер (ADC) және кері кері түрлендіру үшін - цифрлық сигналдарды аналогты-сандық-анalogтық түрлендіргіштерге (DAC) пайдаланыңыз (9.4 бөлімін қараңыз).

2.3.

МЕРЗІМДІК СИГНАДАРДЫҢ СПЕКТРЛІК АНАЛИЗІ

Сигналдарды зерттеудің екі әдісі бар: уақыт пен спектрлік. Бірінші жағдайда сигнал уақыт функциясымен сипатталады (2.3, 2.4-суреттерді қараңыз), екінші жағдайда ол жиілік спектрінде көрінеді. Электрондық құрылғылардағы үрдістерді зерттеу үшін екі әдіс де қолданылады.

Жиілік сигналдар келесі функциялармен сипатталады.

$$\Phi(t) = \Phi(t + nT), \quad (2.9)$$

$T = 2\pi/\omega$ — ауытқу кезеңі; n — кез келген оң және теріс сан; ω — дәңгелек жиілік.

Онын (2.9) функциясының кезеңділігі уақыт аралығына -ж < t <-ж -ге дейін созылатынын түсіндіреді. Мұндай мерзімді функция бірқатар басқа функциялардың сомасы ретінде ұсынылуы мүмкін. Бұл мақсат үшін көбінесе Фурье қатарынан тригонометриялық функциялардан және нақты нысандағы келесі формалардан тұрады:

$$\Phi(\omega t) = a_0 + \sum_{k=1}^n (a_k \cos(k\omega t) + b_k \sin(k\omega t)), \quad (2.10)$$

$$a_0 = \frac{1}{2\pi} \int_0^{2\pi} \Phi(\omega t) d\omega t; \quad a_k = \frac{1}{\pi} \int_0^{2\pi} \Phi(\omega t) \cos(k\omega t) d\omega t;$$

$$b_k = \frac{1}{\pi} \int_0^{2\pi} \Phi(\omega t) \sin(k\omega t) d\omega t.$$

Мұнда $\omega = 2\pi/T$.

Осылайша, у осі бойынша симметриялы жұп функция $\Phi(\omega t)$, коэффициенттер $b_k = 0$. Сонымен (2.10) мерзімді сигналдың тағы бір эквиваленті бар:

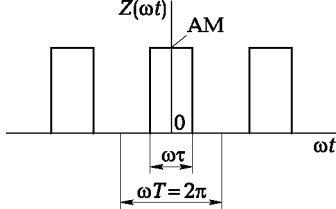
$$\Phi(\omega t) = a_0 + \sum_{k=1}^n C_k \cos(\omega t - \varphi_k), \quad (2.11)$$

Бұл жерде C_k — амплитуда, $C_k = \sqrt{a_k^2 + b_k^2}$; φ_k — фаза, $\varphi_k = \arctg(b_k/a_k)$. Сигналдың құрделі амплитудасы $C_k = C_k e^{-j\varphi_k}$.

Фурье қатарында кенейтілуі мүмкін $\Phi(\omega t)$ функциясы шектелген

булды керек, үзіліссіз және үздіксіз

Сурет. 2.5. Тік бұрышты импульстердің мерзімді дәйектілігі және экстремумның соңғы саны. Ис жүзінде бұл шарттар әрқашан орындалады.



C_k модулінің жиынтығы $\Phi(\omega)$ мерзімді функциясының амплитудалық-жүйлік спектрін құрайды және фазалар фазалық-жүйлік спектрін құрайды. Амплитудалық спектр дискретті немесе басқарылады, онда $\omega_k = k\omega$ мәндерімен анықталған жеке спектральды компоненттер $\Delta\omega = 2\pi/T$ -ге тен интервалмен жалғасады. Mathcad ортасында компьютерлік бағдарламаны колданып, мерзімді функцияны кеңейтудің екі мысалын қарастырайық.

Мысал 2.1. Мерзімді функция амплитудасы AM, ұзақтығы τ және қайталау кезеңі бар тікбұрышты нысанын импульстардан тұрады (2.5-сурет). $-\pi < \omega t \leq \pi$ секциясында бұл функцияның нысаны бар:

$$\begin{aligned} Z(\omega t) &= AM \text{ бола тұра } |\omega t| < \alpha\pi; \\ Z(\omega t) &= 0 \text{ бола тұра } \alpha\pi < |\omega t| \leq \alpha\pi, \end{aligned} \quad (2.12)$$

Мұнда $\alpha = \tau/T < 1$.

$Z(\omega t)$ (егеуқұйрық) функциясы біркелкі болғандықтан, кеңейтудегі синусын компоненттері нөлге тең. Міне, Аб тұрақты құрамдас бөлігін және гармоникалық амплитудаларды есептеу үшін Mathcad тілінде бағдарлама

A_k :

$$\begin{aligned} \alpha &:= 0.1 \quad N := 20 \quad AM := 1 \\ Z(x) &:= \begin{cases} AM & \text{if } |x| \leq \alpha \cdot \pi \\ 0 & \text{if } \alpha \cdot \pi < |x| \leq \pi \end{cases} \end{aligned}$$

$$k := 0..N$$

$$A_k := \frac{1}{\pi} \cdot \int_0^\pi Z(x) \cdot \cos(k \cdot x) dx$$

$$A_0 := \frac{1}{\pi} \cdot \int_0^\pi Z(x) dx$$

$$AD_k := 20 \cdot \log\left(\frac{|A_k|}{A_1}\right)$$

	0
0	0.1
1	0.197
2	0.187
3	0.172
4	0.151
5	0.127
6	0.109
7	0.074
8	0.047
9	0.022
10	$1.768 \cdot 10^{-8}$
11	-0.018
12	-0.031
13	-0.039
14	-0.043
15	-0.042
16	-0.038
17	-0.03
18	-0.021
19	-0.01
20	$-7.054 \cdot 10^{-8}$

	0
0	-5.877
1	0
2	-0.435
3	-1.182
4	-2.278
5	-3.779
6	-5.154
7	-8.54
8	-12.475
9	-19.084
10	-140.926
11	-20.83
12	-16.006
13	-13.946
14	-13.161
15	-13.322
16	-14.315
17	-16.241
18	-19.516
19	-25.573
20	-128.908

Бағдарламада: $x = \omega t$, N - гармоника саны, $AD_k = 20\lg (A_k / A_1)$ - сигналдың 1 гармоникасына қатысты децибелде көрсетілген гармоникалық мән.

$\alpha = 0.1$ және $N = 20$ бағдарламалары бойынша есептеу нәтижелері бұрын ұсынылған.

Бұл бағдарламада гармоника N және $\alpha < 1$ параметрінің кез-келген басқа мәндері үшін есептеуге болады.

Тікбұрышты импульстар үшін, спектральды компоненттер формула бойынша анықталуы мүмкін (2.10): A_k коэффициентінің интегралы:

$$\begin{aligned} A_k &= \frac{2}{\pi} \int_0^{\pi} \Phi(\omega t) \cos(k\omega t) d\omega t = \frac{2}{\pi} \int_0^{\alpha\pi} AM \cos(k\omega t) = \\ &= \frac{2AM}{\pi k} \sin(kt) \Big|_0^{\alpha\pi} = \frac{2AM}{\pi k} \sin(\pi k \tau / T). \end{aligned} \quad (2.13)$$

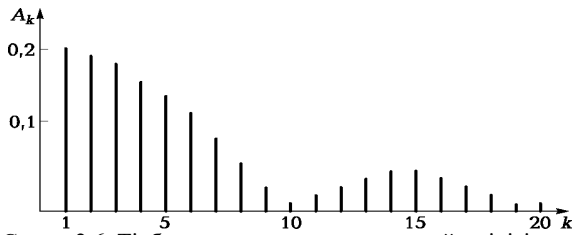
(2.13) сәйкес $k = n/a$, онда n бүтін сан болып табылады, дәнгелек жиіліктегі гармоника $A_k = 0$ амплитудасының мәніне ие.

Бағдарламадан есептелген спектрлер желілік болып табылады: олардағы спектральдық компоненттер аралықта $\omega = 2\pi/T$ немесе $F = 1/T$ аралығында болады. Бағдарламадан есептелген $\alpha = 0,1$ -ге тең тік бұрышты импульстардың осындай спектрі (2.5 суретті қараңыз) күріш. 2.6.

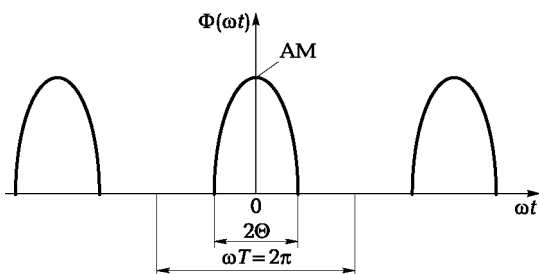
Мысал 2.2. Мерзімді функция синусоидалы пішіндегі импульстардан тұрады (2.7-сурет). Сайтта $-\pi \leq \omega t \leq \pi$

$$\begin{aligned} \Phi(\omega t) &= AM \frac{\cos(\omega t) - \cos\Theta}{1 - \cos\Theta} \text{ при } |\omega t| \leq \Theta ; \\ \Phi(\omega t) &= 0 \text{ при } \Theta < |\omega t| \leq \pi. \end{aligned} \quad (2.14)$$

Көлем Θ деп бөліндінің ткменгі бұрышы аталады. $\Phi^{^\wedge}$ функциясы жүп болғандықтан, орналасудағы синустық құраушылар нөлге тең



Сурет. 2.6. Тікбұрышты импульстардың дәйектілігі спектрі



Сурет. 2.7. Косинус импульстарының мерзімді дәйектілігі

A_0 тұрақты құрамадас бөлігін және ак гармоника амплитудасын есептейу үшін математика:

UG		π	M := 1
$\Phi(x)$	0	0.218	
	1	0.391	
	2	0.276	
	3	0.138	
	4	0.028	
	5	-0.028	
	6	-0.032	

N	0
0	-5.075
1	0
2	-3.036
3	-9.057
4	-23.036
5	-23.036
6	-21.876

$$0 \text{ if } U < |x| \leq \pi$$

$$k := 0..N \quad AM \cdot \left[\frac{(\cos(x) - \cos(U))}{1 - \cos(U)} \right] \quad \text{if} \quad |x| \leq U$$

$$A_k := \frac{1}{\pi} \cdot \int_0^x \Phi(x) \cdot \cos(k \cdot x) dx$$

$$A_0 := \frac{1}{\pi} \cdot \int_0^x \Phi(x) dx$$

$$AD_k := 20 \cdot \log\left(\frac{|A_k|}{A_1}\right)$$

7	$-9\ 845 \cdot 10^{-3}$
8	$9\ 844 \cdot 10^{-2}$
9	0.014
10	$5\ 012 \cdot 10^{-3}$
11	$-5\ 011 \cdot 10^{-3}$
12	$-7\ 711 \cdot 10^{-3}$
13	$-3\ 029 \cdot 10^{-3}$
14	$3\ 028 \cdot 10^{-3}$
15	$4\ 923 \cdot 10^{-3}$

7	-31.979
8	-31.98
9	-29.057
10	-37.844
11	-37.845
12	-34.102
13	-42.218
14	-42.22
15	-38

Бағдарламада: $x = \omega t$, N - гармоника саны, $AD_k = 20\lg (A_k / A_1)$ - сигналдың 1 гармоникасына қатысты децибелде көрсетілген гармоникалық мән, $U = \Theta$ - радианның өлшемі үшін төменгі қылышу бұрышы және UG - дәрежесі.

$\Theta = UG = 60^\circ$ және $N = 10$ болатын бағдарлама бойынша есептеу нәтижелері бұрын ұсынылған. Бағдарламаға сәйкес гармоника N және $\Theta = UG$ параметрлерінің кез келген басқа мәндері үшін есептеуге болады.

2.4. ЭЛЕКТРОНДЫҚ ҚҰРЫЛҒЫЛАР АРҚЫЛЫ СИГНАЛДЫҢ ӨЗГЕРУІ

Электрондық құрылғыларда кездесетін әртүрлі процестер сигналдардың трансформациясымен тікелей байланысты. Сигналдарды трансформациялау алты негізгі топқа бөлінеді: 1) сигналдың жиілігін және фазасын өзгертуге алып келеді; 2) билік; 3) модуляция; 4) сүзгілеу; 5) демодуляция; 6) формасы (аналогтан сандық және артқы).

Арнайы, жетінші топқа сигналды өндеге және күрделі сипатқа ие өзгерістерге тұра келеді. Осы өзгерістердің кейбірі сзықтық тізбектерде, ал басқалары сзықты емес тізбектерде жүзеге асырылады.

Белгіленген сигнал түрлендіру топтарының мазмұнын қысқаша қарастырайық және келесі бөлімдерде егжей-тегжейлі талдау жүргізіледі.

Сигналды жиілігін өзгерту. Бастапқы сигнал синусоидалы болсын:
 $u_j = U_0 \sin \omega t$.

Жиілік көбейтілсе, біз аламыз

$$u_2 = U_0 \sin(n\omega t).$$

Жиілікті бөлу кезінде бізде бар

$$u_3 = U_0 \sin(\omega t/n),$$

мұндағы n - бүтін сан.

Екі бастапқы синусоидалы сигналдар болсын:

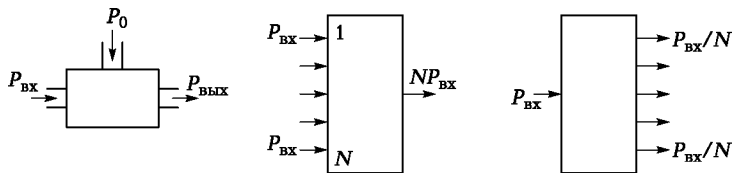
$$u_1 = U_1 \sin(\omega_1 t) \text{ и } u_2 = U_2 \sin(\omega_2 t).$$

Конверсиядан кейін жалпы немесе жиілік жиілігімен сигнал аламыз:

$$u_3 = U_3 \sin[(\omega_1 + \omega_2)t] \text{ немесе } u_4 = U_3 \sin[(\omega_1 - \omega_2)t].$$

Сигнал қуатын өзгерту. Күштепкіштерде сигнал қуаты артады. Рвх сигналының кіріс қуатымен оның шығу қуаты $P_{out} > P_{dx}$ мәніне тең. Электр энергиясының мұндай өсуі DC-ток көзінің қуатын жоғары жиілікті тербелістердің қуатына айналдыру арқылы қол жеткізіледі (2.8-сурет, а). Сонымен қатар, N бірдей сигналдардың күштерін қорытындылауға немесе N уақыт сигнал қуатын бөлуге болады (2.8-сурет, б, с).

Сигналды модуляциялау. Модуляция - берілген хабардың заңына сәйкес жоғары жиілікті тербелістердің бір немесе бірнеше параметрлерін басқарады. Сандық жүйелерде жіберілген хабарлама модуляцияға дейін сандық болып табылады.



Сурет. 2.8. Сигнал қуатын өлшеуге арналған схемалар: а - күштепкіштерде арқылы; б - қосу кезінде; с - бөлу кезінде

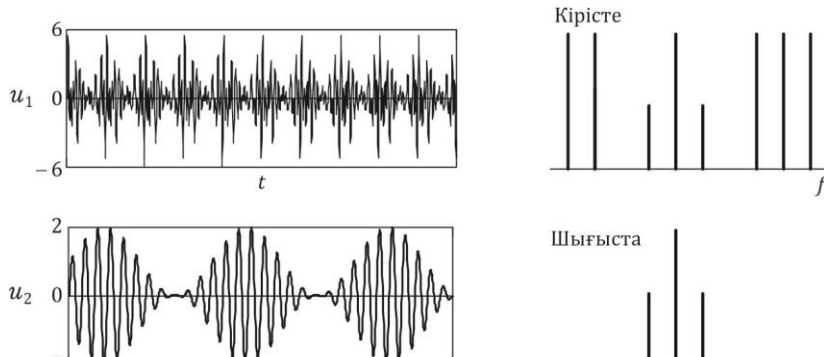
Сигналды сүзу. Көптеген жағдайларда ауытқулардың қосындысы қажетті сигналды окшаулау қажет, яғни қажетсіз тербелістерді «тазалау» үшін тізбекті немесе радиоэлектрондық құрылғыны енгізеді. Спектрлік теория тұрғысынан бұл сигнал спектрін трансформациялауды білдіреді: пайдалы спектралды компоненттерді бөлу және басқалардың сөнуі. Бұл операция сигнал сүзгісі деп аталады.

Кейбір жағдайларда спектрдің төменгі бөлігін, ал басқалары – жоғары, үшіншіде – орталық, төртіншісінде – белгілі бір спектральдық компоненттерді мүмкіндігінше басу керек. Жоғарыда көрсетілген сигнал спектрін түрлендіру бойынша операциялар сүзгілер арқылы жүзеге асырылады.

Мысал 2.3. Схеманың кірісі амплитудалық модуляциямен пайдалы сигналды және бес кедергі жасайтын синусоидальды ауытқуларды қамтитын тербелісті алайық:

$$u_{BX}(t) = U_0(1 + m \sin(\Omega t)) \sin(\omega t) + U_1 \sin(0,6\omega t) + \\ + U_2 \sin(0,7\omega t) + U_3 \sin(1,3(1,3\omega t)) + U_4 \sin(1,4\omega t) + U_5 \sin(1,5\omega t).$$

Кестенің шығуында амплитудалық модуляциямен ғана пайдалы сигнал алуға болады: $u_{\text{вых}}(t) = U_0(1 + m \sin(\Omega t)) \sin(\omega t)$ күн (шұңқыр), барлық кедергі тербелістерінің спектрін «тазарту». Бұл тапсырманың орындалуын қамтамасыз ететін сүзгінің кіріс және шығысындағы $U_0 = U_1 = U_2 = U_3 = U_4 = U_5$ үшін сигналдар және олардың спектрлері күріш. 2.9.



Сурет. 2.9. Сигналдың (a) және спектрінің (b) сүзгілері

Сигналды демодуляциялау. Сигналды демодуляция – бұл модуляцияға қарама-қайшы және модуляцияланған тербелістерден алышатын хабарды бөлуден тұратын процесс. Бұл мәселені шешу үшін модулированный сигнал алдымен анықталады, содан кейін сүзгілейді және, қажет болған жағдайда, декодталған.

Сигналды өндөу. Радиоқабылдағыш құрылғыға кедергі келтіргендіктен, берілетін және қабылданған хабарлама арасында мүлдем дәл сәйкес келу мүмкін емес. Сондықтан, радио сигналдарды қабылдаған кезде, пайдалы сигнал мен кедергі радиохабарлағышына бір мезгілде жауапты ескеру қажет және соңғы ақпаратты ықтимал сөндіруге жағдай жасай отырып, сенімді ақпарат алушы азайтады. Алынған хабардың сапасы, оның сипаттына қарай әртүрлі тәсілдермен бағаланады. Осылайша, бит ақпаратын берудің сандық жүйелерінде бұл сапа алынған символдың қателігі ықтималдылығымен анықталады. Мысалы, егер бұл ықтималдық 10-5 болса, бұл 100 мың жіберілген биттердің 1 биті қате болуы мүмкін дегенді білдіреді. Дауыс ақпаратын беру кезінде алынған хабарламаның сапасы оның анықтығы, яғни мағынасы белгісіз, дұрыс түсінілген сөздер санымен бағаланады. Телевизиялық сигнал беру кезінде, алынған өлшемдердің сапасы теледидар экранында бағаланатын бірнеше өлшемдер қолданылады. Аналогтық хабарларды берудегі осы гетерогенді крипторлар сигналдың қуатына радио қабылдағыштың шығуындағы кедергі күші (шу) - (РДРпДон).

Осылайша, аналогтық сигналды өндөу сигналдық қуат пен радиожабдықты қабылдау құрылғысының (P^Pdbx немесе басқа критерийдің қажетті мәнін кірудегі ((РДРд) бірдей сигналдардың осы коэффициентінің қатынасына қажетті интерференция алуын білдіреді. Жұмыс жағдайлары, аналогтық сигналды өндөу әдісі, ара қатынасының максималды мәнін (FDRdx, онтайлы деп аталады) береді.

Сандық сигналдарды өндөу кезінде бит ақпаратын жалған қабылдау ықтималдығын төмендетуге тырысу керек. Бұл жағдайда онтайлы әдіс - бұл бірдей шарттарда қабылданған танбаның қателік ықтималдығының минималды мәнін беретін өндөу.

Сигналды өндөу желілік және сыйыкты емес тізбектерде де, табиғатта күрделі болуы және демодуляция, сұзу, **амплитудалық шектеу, уақыт кешігіүі, интеграция және басқа да сигналдық өзгерістер**.

Белгіленген сигнал түрлендірулерінің барлық түрлері үшін электрондық компоненттер мен құрылғылар әзірленді.

ЭЛЕКТРОВАЦИЯЛЫҚ АНЫҚТАМАЛАР

3.1. ЭЛЕКТРОНДЫҚ ШАМЫ

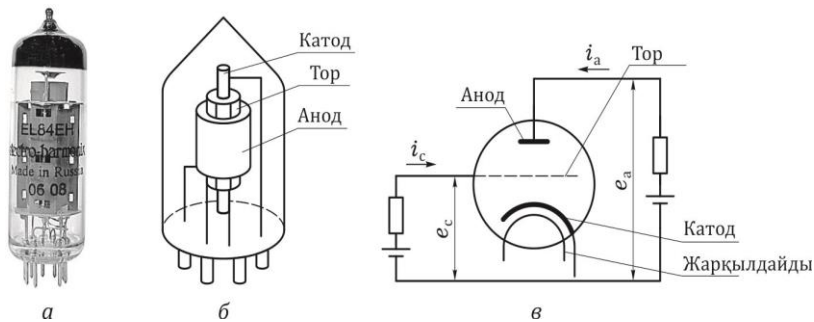
Электронды түтік – бұл терең вакуумды ($10^{-6} \dots 10^{-7}$ мм Нг дейін) айнымалы цилиндр, оның үстіне электрондардың басқарылатын ағыны бір бағытта қозғалады. Электродтар, триодтар, тетродтар мен пентодтар санына байланысты ерекшеленеді. Құралдардың барлық үш түрінде электрондардың көзі катодты болып табылады, мысалы, вильфондынан, жіппен $2\ 000\dots 2\ 500$ ° С температурага дейін қызып, термонаиялық эмиссияның феноменіне байланысты электрондардың ағымын шығарады.

Электр өрісінің әсерінен электродтар торлы, спираль немесе шыбық түрінде жасалған бақылау торынан өтетін катодтың көмегімен оң полярлық кернеу қолданылатын анодқа қарай жылжытады. Катод пен тор арасында қолданылатын кернеуді өзгерту арқылы ол арқылы өтетін электрондардың ағымы бақыланады, бұл анодты ток шамасына әсер етеді. Триодты және оның контурын жобалау сурет 3.1.

Жалпы алғанда, триодтың жұмысы анодтың және тор торының тәуелділігімен, кернеулердің анодтық ток және ток торынан токтарға байланысты анықталады. Мұндай тәуелділіктер - бұл триодтың келесі статикалық немесе ток кернеу сипаттамалары:

- әр түрлі мәндер үшін анод торы, $i_a = \Phi_1 (e_c)$ (Сурет 3.2, а);
- әр түрлі мәндер үшін анод $i_a = \Phi_2 (e_a)$ (Сурет 3.2, б);
- N әр түрлі мәндері үшін $i_c = \Phi_3 (e_c)$ торы (3.2-сурет, а).

Триодының қасиеттерін күштейту бірінші кезекте анықталады



mA / В өлшемі (3.2-сурет, а). Тордағы теріс кернеу электрон ағынының ($i_a = 0$) толығымен құлыпталатын кернеуі Е қызысының кернеуі деп аталады (3.2-суретті қараңыз, а).

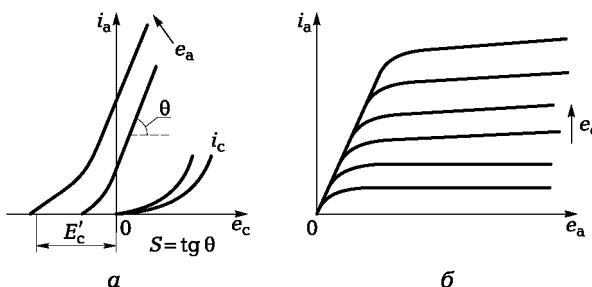
Суретте көрсетілген сипаттамаларға қосымша. 3.2, триодтар көптеген параметрлерге байланысты болады, соның ішінде: тордың өткізгіштігі; генерацияланған немесе қүшейтілген сигналдың ең жоғары жиілігі; анод және тордағы кернеулердің рұқсат етілген мәндері; құрылғыда таратылатын рұқсат етілген қуаты;

Сурет. 3.1. Лампа триоды:

және - сыртқы түрі; б - құрылғыс; с - қосылу схемасы

интереэлектродтық сыйымдылықтардың мәндері; катодтық токтың рұқсат етілген ең жоғарғы мәні; жылтыту схемасы бойынша тұтынылатын қуат; салқындату шарттары.

Тетродпен салыстырғанда электровакуалды неғұрлым жетілдірілген құрылғы – тетрод. Оnda басқару торы мен анод арасындағы экранның торы азаяды



Сурет. 3.2. Триодтың сипаттамасы: а - анод торы; және - анод

сыйымдылығы, анодты реттегіш тор, электронды жоғары жиілікті күштейткіштердің тұрақтылығын едәуір арттырады. Пентодта дионастрон деп аталатын эффекттің зиянды әсерін төмендету үшін электрондардың бомбалануы кезінде екінші анодты екінші анодты электрондардан құлатып тастанады - әдетте антидионастрон деп аталатын шамға қосылады.

Тетрод пен пентодтың сипаттамалары триодымен ұқсас, бірақ экранның торында кернеудің тағы бір параметріне байланысты.

Транзисторлар мен тетродтар арасындағы арнайы топты шыныдан жасалған цилиндр керамикамен алмастырылған қуатты металл-керамикалық шамдар алады, ал электродтардың терминалдары цилиндрлік пішінге ие, бұл шамды коаксиалды сзықтарға жалғауға мүмкіндік береді. Осы дизайн арқасында, жалпы қуаты 3 000 МГц дейін схемаға сәйкес жұмыс істейтін жоғары қуатты генератор лампаларының жиілігі айтартықтай артты.

Қазіргі кезде, төмен қуатта, соның ішінде радиоқабылдағыштар мен сигналдарды өндөу құрылғыларында, жартылай өткізгіш құрылғылар электронды түтіктерді ауыстыруды. Дегенмен, жоғары қуатты өнімдерде, мысалы, радиохабар тарату таратқыштары, бұғінгі күнге дейін ондаған киловольт анодтық кернеумен бірнеше жүзден киловаттқа дейінгі қуаты бар триодтар мен тетродтар шығарады.

3.2. ЖОҒАРЫ ЖИІЛІКТІ ЭЛЕКТРОВАКУУМДЫҚ АСПАПТАР

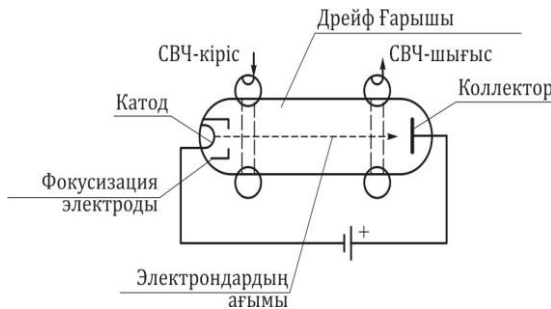
XX ғасырдың 30-шы жылдарында. радиолокациялық станцияның дамуы микротолқынды диапазондағы жоғары қуатты электровакуумдық қондырғыларды құруды талап етті. Кәдімгі шамдар (триодтар мен тетродтар) келесі себеппен бұл тапсырманы жеңе алмады. Электрондық құрылғылардың барлық түрлерінің жұмысы жалпы физикалық принципке негізделеді: электрлі магнит өрісі бар жылжымалы заряд тасымалдаушылардың қозғалысы. Осы өзара әрекеттесудің уақытын $T_{\text{пр}}$ деп белгілеп, жалпыланған параметрді $\Delta = \omega T_{\text{пр}}$, енгізіңіз, мұндағы ω - сигналдың айналмалы жиілігі ($\omega = 2\pi f$). Вакуумдық түтіктерде $T_{\text{пр}}$ - катодтан анодқа электронды қозғалыс уақыты, жалпыланған параметр үшін $\Delta < 1$ немесе $f < (1 / (2\pi T_{\text{пр}}))$ болуы керек. Олай болмаған жағдайда, яғни, егер $\Delta < 1$ қатынасы бұзылған

болса, онда триодта және дететрод, шығу қуаты, қүшету коэффициенті және тиімділігі құрт төмендейді. $T_{\text{пр}}$ белгілі бір мәннен төмен түсे алмайтын уақыттан бастап, бұл шектеулер триодтар мен тетродтардағы генерацияланған тербелістердің жиілігін ұлғайтуға мүмкіндік бермейді, яғни микротолқынды диапазонда жұмыс істейтін осцилляторларды жасайды (жоғарыда аталған лампалар, қуаты шектеулі).

Бұл кемшіліктегі жана типті вакуумдық құрылғыларда енсерді, онда Трг электрондарының соңғы транзит уақыты шектеулі фактор емес, керісінше, ол генерацияланған немесе қүшетілген сигналдардың қуатын арттыруға көмектеседі. $\Delta = \omega T_{\text{пр}} \gg 1$ жалпылама параметрі бар және, демек, f сигналының жиілігі микротолқынды диапазонға сәйкес келетін осындай құрылғылардың санына, тікелей типті Klystron, TWT және М типті құрылғылар деп аталатын магнетронды түрін қосады. және айналымнан синхрондық, келесі түрді, оның мәнін – осы құрылғыларды ортақ ерекшелігі ондағы екі байланысты электрондардың ағыны сигнал генерациялау үшін қажетті принциптерін ұстануда болып отыр. Микротолқынды тербелістерді қүшету және генерациялау процестері екі тән құбылыспен бірге жүреді. Біріншіден, заряд тасымалдаушы жылдамдығын жылдамдық пен тығыздықпен (немесе тек тығыздықпен) модуляцияға байланысты. Нәтижесінде ағынның тербелістері жиіліктерінде, электромагниттік өріс пен олардың арасындағы энергия алмасу синхронды өзгереді. Бұл тендеулерде немесе ағынның және өрістің ауытқу жиіліктерінің көптігі синхронизм принципі байкалады.

Екінші құбылыс мынада, бұл толқындардың ауытқуынан энергияны ағыннан далаға көшіруге мүмкіндік беретін микротолқынды тербелістердің генерациясы мен қүшетуі заряд тасымалдаушылары электромагниттік өріс арқылы баяулатылған кездеға мүмкін болады. Сондықтан, осы талапты орындау үшін заряд тасымалдаушылардың микротолқынды пештің әсерінен тасымалдауы тұрақты өріске байланысты олардың қозғалысына қарсы болуы тиіс. Соңғысының әрекеті бойынша электрондардың ағымы энергияны алады, содан кейін микротолқынды өріске беріледі. Бұл фазалық принциптің мәні. Сонымен қатар, тасымалдаушы ағынның электромагниттік өріспен ұзақ мерзімді өзара әрекеттесуі арқасында генерацияланған микротолқынды тербелістердің қуатын едәуір арттыруға болады.

Микротолқынды электро-вакуумдық құрылғылардың аталған үш түрінің құрылышы мен жұмыс принципін қарастырайық. Тікелей желілік кистон генераторы. Құрылғының принципі күріш. 3.3, а.



Сурет. 3.3. Тікелей қабықшаның электр схемасы

Осы құрылғының ең қарапайым түрінде екі резонатор бар - сигнал күші қолданылатын кіріс сигналы және қуатта күшейген сигнал алынып тасталған шығу. Зарядтаушы тасушылар (электрондар) катодты құрылғыдан жоғары тұрақты кернеу қолданылатын коллекторга аудысады. Резонатордың кірісінен өтіп, электрон ағыны жылдамдықта модуляцияланады - кейбір электрондар жеделдетіледі, қалғандары баяулайды. Содан кейін, резонаторлар арасында орналасқан құрылғының дрейфтік кеңістігінде ағынның модуляциясының бір түрі жылдамдығына, екіншісінде тығыздыққа айналады, яғни электрондардың бұмаларға топтасуы.

Тұрақты электр ерісі салдарынан қуаттылықпен күшейіп, электрондардың ағыны оның кинетикалық энергиясын шығарады, ол электродтардағы электромагниттік өрісті қоздырып, шығыс резонаторының аралықтан өтіп кетеді. Клистрон генераторында ағынның құбыстың ажырауы кезінде пайды болатын ерісімен өзара әрекеттесуі қысқа мерзімді сипатта болады, бірақ Катодтан Трг коллекторына тасымалдаушылардың транзиттік уақыты салыстырмалы түрде үлкен. Демек, $\Delta = \omega / T_{\text{пр}} \gg 1$ параметрінің мәні. Екі қуатты бірге қосымша, күштейткіш күшетту коэффициентіне ие көп динамикалық клистроның генераторлары шығарылады.

О типті қозғалыстағы толқын. Құрылғының принципі сурет. 3.4.

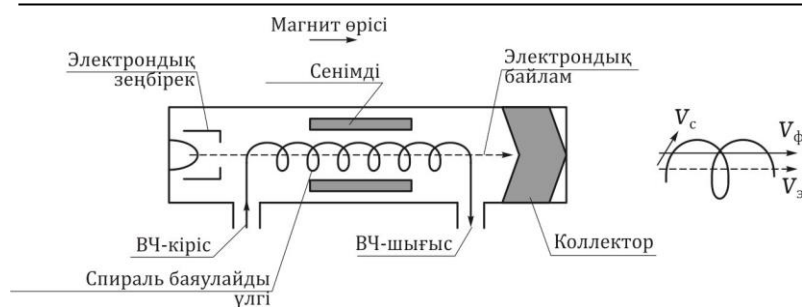
Жол жүретін толқындық түтіктे жарық жылдамдығына жақын жылдамдықпен жүретін электромагниттік толқындар арнайы металл спираль айналасында қозғалады, бір жағынан микротолқынды сигнал арқылы қозғалатын созылмалы құрылым. Спиральдың ішінде катодты коллектордан электрондардың тар ағымы жылдамдықпен қозғалады. Электромагниттік толқындардың фазалық жылдамдығы, векторы спираль бойымен бағытталған, жарық жылдамдығынан аз

Спиральдың қадамы бір айналымның ұзындығынан аз. Шамамен тендік және V_3 қанағаттандырылған кезде, электрондардың ағыны электромагниттік толқынның алға қарай жылжуымен өзара әрекеттеседі, бұл оның энергиясын электрондардың энергиясы есебінен таратылатын кезде арттырады. Микротолқынды қуаттың артуы спиральдың қарама-қарсы жағынан жойылады.

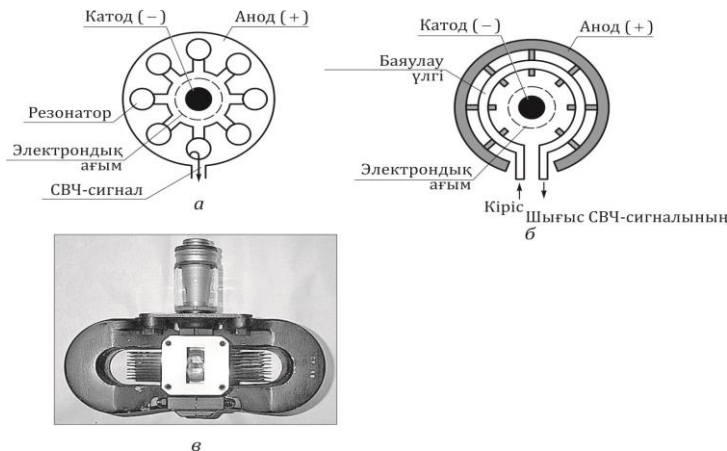
TWT-да катодты кейін бірнеше электродтан тұратын фокустаушы құрылғы орнатылды. Сонымен қатар, арнайы магниттік жүйе құрылғының сыртына орнатылып, электрондардың тар ағысына қысылуын (3.4-суретте көрсетілмеген).

TBT бірнеше сорттары бар, оның ішінде электрондық ағынның өзара әрекеті тікелей сзықпен емес, керісінше кері электромагниттік толқынмен жүзеге асырылады. Мұндай құрылғылар артқа қарай толқындық тұтіктер (BWOs) деп аталады. TWT және BWT-да өрістегі ағынның үзіліссіз, үздіксіз өзара әрекеттесуі және катодттан коллекторға Трг тасымалдаушыларының салыстырмалы ұзын транзиттік уақыты бар. Сондықтан, осы құралдар үшін клизрон сияқты, $\Delta = \omega T_{\text{пр}} \gg 1$ параметрінің мәні.

Магнетронды түрдегі немесе типті аспаптар. М типті құрылғыларда заряд тасымалдаушылардың (электрондар) циклоидтік сегменттерден тұратын күрделі траектория бойымен қиылыштың тұракты электр және магнит өрістерінде қозғалады. М типті құрылғылардың бірнеше типтері бар - автожиатқыштар мен микротолқынды қүшеткіштер, екі ерекшелігі бар: жабық немесе ашық - олардағы электронды ағын; резонаторлар жиынтығынан жабық немесе ашық сакина түрінде олардың құрылымында ұзаққа созылатын құрылымы бар. М типті құрылғылардың екі типті құрылғының принципі - магнетронды,



Сурет. 3.4. ТВТ электр схемасы



в

Сурет. 3.5. Магнетронды:

а - магнетронды магнит; б - амплитонның схемалық диаграммасы; с - магнетрон кұрылышы

микротолқынды осциллятор және амплитон, микротолқынды қуат қүшейткіші көрсетілген. 3.5, а, б және магнетронның участексіндегі құрылышы сурет. 3.5, с.

Екі құралды да тұрақты электр өрісі катодттан анодқа бағытталған және арнайы магнитпен жасалған тұрақты магниттік өріс фигураның жазықтықына перпендикуляр. Жақсы жылуды диссипациялауға арналған құрылғылардагы анод сұйықтық немесе аяу арқылы салқындастылған және жерге түйікталған арнайы массивтік корпусқа орнатылады.

Магнетронды (3.5а-суретті қараңыз) шеңберде орналастырылған резонаторлар жиынтығынан тұратын электронды пучка мен кешігу жүйесі жабылады. Құрылғыда электронды пучк катодты және бұрыштық жылдамдықпен анодпен анодтың арасындағы кеңістіктек айналдыра айналатын спицалардың пішініне топтастырылады.

Электромагниттік толқынмен катодты және анод арасындағы сақина бойымен айналатын электрондардың ағынын өзара әрекеттесу үшін, электромагниттік толқынмен біз $V_{\text{Э}} = V_{\phi}$ күйін орындауға тиіспіз, ал $V_{\text{Э}}$ - электронды тасымалдау жылдамдығы, ал V_{ϕ} - электромагниттік толқынның кеңістіктік гармоникасының фазалық жылдамдығы.

Магнетронды генерациялайтын өздігінен тербелу жиілігі үшін осы жылдамдықтардың тенденциясынан, біз келесі өрнек аламыз:

$$f = \frac{U_0 N}{4\pi R h B}, \quad (3.1)$$

мұнда U_0 - анод және катодтың арасындағы тұрақты көрсеткіш; h - олардың арасындағы қашықтық; R - электронның айналдыру шеңберінің орташа радиусы; B - тұрақты магнит өрісін индукциялау; N - резонаторлардың саны.

Шамамен нәтиже беретін формула (3.1) U_0 және B үшін кейбір маңызды мәндерден артық. Есептеу мысалында келтірілген шамалардың өлшемдері (3.1) келтірілген.

Мысал 3.1. Магнетронның жиілігін анықтаңыз $U_0 = 6\ 000$ В, $N = 16$, $R = 0,05$ м, $h = 0,01$ м, $B = 0,01$ В · с/м². Осы мәндерді (3.1) ауыстыру магнетрондағы өздігінен тербелу жиілігін аламыз $f = 1\ 530$ МГц.

Амплитонда, магнетрон сияқты, электронды сәуле жабылады, бірақ резонаторлар жиынтығынан тұратын бәсендемейтін жүйе ашық. Кіру микротолқынды сигналы резонаторлардың бірі - кіріс сигналының біріне беріледі. Айналдыратын электронды сәулені өріспен өзара әрекеттесу нәтижесінде күшеттіліктін сигнал соңғы резонатордан алынады.

М типіндегі құрылғылар 1,2 МВт-ға дейін күшеттеді және әсіресе күшті магнит өрісінде айналатын электронды пучка бар ондаған гигахерт жиілігі гиротрон деп аталады.

БАҚЫЛАУ СҮРАҚТАРЫ¹

-
1. Электровакуалды құрылғылардың негізгі түрлері қандай?
 2. Электрондық шамының статикалық сипаттамасының көлбеуі қалай анықталады?
- Қысқа толқынды электронды құрылғылардың үш түрінің жұмысын салыстыру: тікұшакты кисстрон, ТВТ және магнетрон.
2. Триоде тікелей тікенді жарқыраудан қалай жұмыс істейді?
 3. Электрондық құрылғының тиімділігі қалай анықталады?

ЖАРТЫЛАЙ ӨТКІЗГІШТІК ЭЛЕКТРОНДЫҚ АСПАПТАР

4.1. ЭЛЕКТРОНДЫҚ ӨТКІЗУ

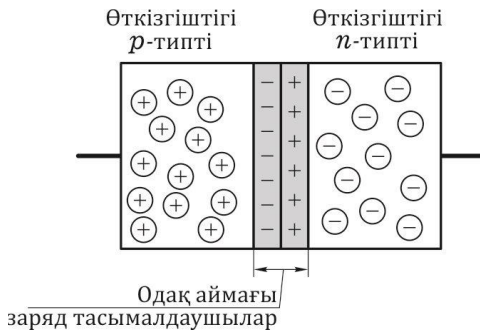
Өткізгіштігіне байланысты қатты бөлшектер өткізгіштерге (металлдар қосылады), жартылай өткізгіштер мен диэлектриктерге бөлінеді.

Жартылай өткізгіштердің негіздері германий, кремний немесе гальвий арсенидінен алғынған кристалдар болып табылады. Допингпен, яғни басқа элементтердің атомдары осы кристалдар құрылымына қосылса, жартылай өткізгіштегі теріс зарядтардың саны (электрондар) күрт артады электронды өткізгіштігі (n -түрі) немесе

он заряд (тесіктер) - тесік өткізгіштігі (p -тип). Тесік электронды қабықшаның электрон болмаған кезде қарапайым квазибөлшектер болып табылады. Тесік - бұл он заряд тасымалдаушы, абсолютті шамасында электронның $q \equiv 1.6 \cdot 10^{-19}$ Кл зарядына тең (1.5 бөлімін қараңыз).

Германтан электронды өткізгіштігін алу үшін допинг, мысалы, сурьмой және фосфор, сондай-ақ гидрия индий және галий болып табылады.

Бір облыста электроткізгіштігі бар және басқа саңылауға үқсас құрылымы бар жартылай өткізгіш құрылым электронды тесік ету немесе қыскартылған түрде $p-n$ кешу деп аталады (4.1 сурет). Әр түрлі өткізгіштігі бар екі жартылай өткізгіштердің шекаралық аймағы (қалындығы бірнеше микрометрден көп емес) блоктаушы кабат деп аталады.. Бұл аймақта мобиЛЬДІ заряд тасымалдаушылардың шектеулі саны бар. Шекара қабатының ғарыштық шығындары германийлік $p-n$ түйісуі үшін шамамен 0,3 ... 0,4 В құрайды және кремнийдің біреуі үшін 0,5 ... 0,6 В құрайды, нәтижесінде p -қосылысы меншікке ие болады бір жақты өткізгіш-



Сурет. 4.1. Электрондың тесік өтуі:

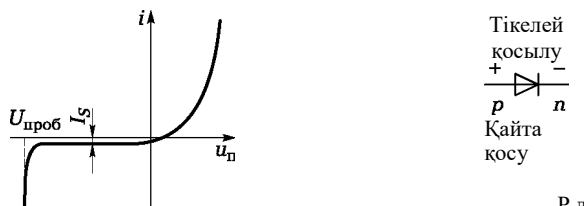
«+» Белгісі бар кернеулердің өткізгіштігі бар қабатқа тікелей, бірақ н - керісінше кернеуге ауысқанда керісінше стресстің өткізгіштігінің белгісі бар қабатқа тікелей «-»,

Pn түйінінің статикалық сипаттамасы функциямен сипатталады

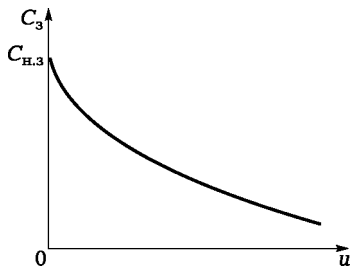
$$i(u) = I_s (e^{u/\varphi_T} - 1), \quad (4.1)$$

мұндағы u - p-n қосылысына қолданылатын кернеу, мВ; Кері ток немесе толассыз ток, А; φ_T - температура әлеуеті, $\varphi_T = 25,6$ мВ.

P-n түйінінің статикалық сипаттамасы (4.1), күріш. 4.2, екі секция бар: біреуі алдыңғы кернеу қолданылғанда ашық p-n түйісіне сәйкес келеді, екіншісі кері кернеу астында жабық p-n түйісіне сәйкес келеді. Кернеу мен кернеудің абсолюттік мәнінен асып кететін кері кернеу, pn түйінінің электр разрядына әкеледі.



Сурет. 4.2. Pn түйінінің статикалық сипаттамасы



Сурет. 4.3. Зарядтау құаттылығының сипаттамасы

модельде ағымдағы і мәні ашық рп түйісуінің белсенді шығындарының r_s қарсыласуымен шектеледі. Жабық рп түйіні тоқсауыл немесе заряд сыйымдылығымен сипатталады

Нагыз модельде ағымдағы і мәні ашық рп түйісуінің белсенді шығындарының r_s қарсыласуымен шектеледі. Жабық рп түйіні тоқсауыл немесе заряд сыйымдылығымен сипатталады

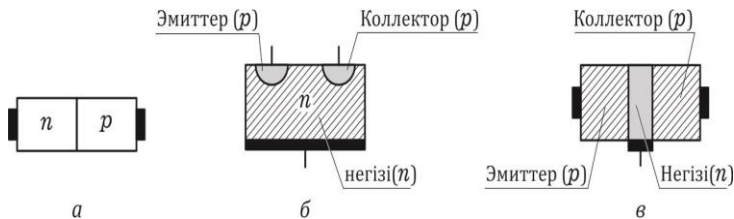
$$C_3 = \frac{C_H}{(1 + |u|/\varphi_0)^\gamma}, \quad (4.2)$$

онда C_H - р-п түйінінің бастапқы қуаты, $\pi\Phi$; және - р-п-түйісуіне қолданылатын кері кернеу, В; φ_0 - байланыс әлеуетін айырмашылығы, кремний, $\varphi_0 = 0,5 \dots 0,6$ В; γ - көшудегі қоспалардың құрамына байланысты (әдетте $\gamma = 0,5$) өтпелі коэффициент.

Зарядтау құаттылығының сипаттамасы (4.2) күріш. 4.3.

Жүргізілген зерттеулер негізінде құрылған, диодтар деп аталаған екі электродты жартылай өткізгіш құрылғылар тікелей токты алу және радиоқабылдағыштың детекторлары ретінде кернеуді кернеу түзеткіштерінде қолданылады.

Электронды тесік өтпелері негізінде құрылады (4.4а-сурет) жартылай өткізгіш құрылғы, тек бір бағытта ток өткізуға ғана емес, күштейтуге де жарамды



Сурет. 4.4. Құрылымдар:

a - жартылай өткізгіш p-n-түйіні; b - өткір транзистор; ұшак транзисторы

және түтік триосы сияқты жоғары жиілікті сигналды генерациялау ұзак уақыт бойы сәтсіздікке ұшырады.

Алғашкы транзисторлар 1947 жылы пайда болды: нүкте (4.4, б) және планар (4.4, с), содан кейін жартылай өткізгіш электрониканың қарқынды дамуы бірнеше бағытта тарапалды. Олардың біреуі транзисторлардың жиіліктік, электрлік және басқа параметрлерін әртүрлі етіп жасауға болатын, екіншісі микроэлектроникаға айналды, ол бірінші кезеңде ондаған және қазіргі уақытта миллиондаған электронды тесікшелерден тұратын кристалдардың пайда болуына байланысты болды, ірі интегралды схемаларға біркірілген. Сонымен катар, радиотехниканың дамуындағы жаңа кезең келді, олардың көпшілігі жартылай өткізгіш құрылғыларға айналды.

Қазіргі уақытта электронды өнеркәсіпте диодтар, транзисторлар, тиристорлар, вариакаптар, интегралды микросхемалар арқылы жартылай өткізгіш құрылғылардың келесі түрлері жасалады.

4.2. ЖАРТЫЛАЙ ӨТКІЗГІШ ДИОДТАР

Жартылай өткізгіш диодтың бір p-n түйіні бар. Бұл ереженің ерекшелігі - тек бірнеше p-n түйірлері бар қуатты негізгі элемент - тек тиристор. Электрондық құрылғыларда әртүрлі мақсаттар үшін пайдаланылатын диодтардың түрлі типтері пайдаланылады. Диодтар бірнеше сипаттамаларға сәйкес жіктеледі.

Bірінші белгі диодтың мақсаты бойынша анықталады. Мұнда олар ажыратқыш, импульстік, генератор, араластырығыш, кілт және детекторлық диодтарды ажыратады. Кейбір диодтардың арнағы атаулары бар: тұрақты кернеуді тұрақтандыруға арналған зенер диодтары; Сигналды жиілігін көбейтуге қызмет ететін варактерлер; сигнал жиілігін реттеу үшін пайдаланылатын вариант; жоғары токтармен схемаларды

аудиостыруға арналған тиристорлар; Жарықты электр сигналына түрлендіретін жарық диодтар. Диодтың әртүрлі түрлерінің өзеттегі бейнесі сурет. 4.5.

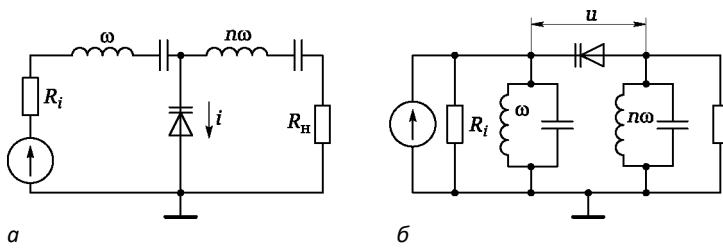
Жіктелудің екінші белгісі диодтың (төмен жиіліктегі, жоғары жиіліліктегі және ультра жоғары жиілілікте) қолдану жиілігінің диапазонымен анықталады, ал үшінші - оның қуаты.

Міне, түрлі мақсаттар үшін диодтарды пайдаланып, кейбір электронды схемалар.



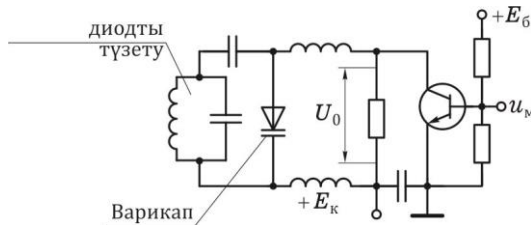
Сурет. 4.5. Схемалардағы диодтардың тағайындалуы

Мысал 4.1. Параллельді және дәйекті түрдегі микротолқынды сигнал жиілігінің варактердің мультиплікаторы (4.6-сурет). Схемада бір тізбек f сигналының f жиілігіне, ал екіншісі nf жиілігіне, п үттін санға тең болады. Варактердің p-n-p-түйісуінің сызықты емес сыйымдылығының арқасында сигналдың пішіні оның бұрышында бұзылады, бұл сигналдың жиілігін көбейту үшін n-ші гармониканы оқшаулауға мүмкіндік береді.

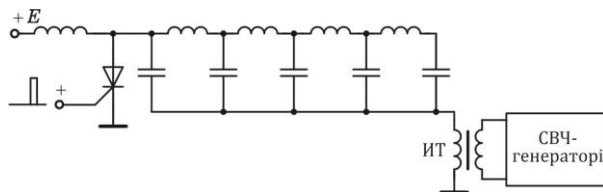


Сурет. 4.6. Варактердің жиіліктік мультиликаторы: а - параллель түрі; б - дәйекті түр

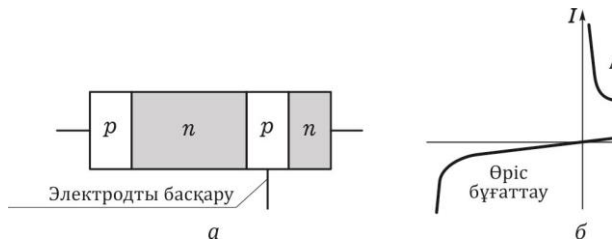
Мысал 4.2. Осциллятордың вариантының жиілігін бақылау (4.7-сурет). Р-п түйісіне қолданылатын кері кернеу өзгергенде (4.2) оның тоқсауыл сыйымдылығы өзгереді (4.3-суретті қараңыз). Р-п қосылысының бұл қасиеті оны өрнекке сәйкес варикапты (арнайы түрдегі диодтың) көмегімен тербелмелі контурдың резонанслық жиілігін өзгертетін элемент ретінде пайдалануға мүмкіндік береді



Сурет. 4.7. Параметрімен басқару элементі



Сурет. 4.8. Импульстік модулятор



Сурет. 4.9. Тиристор а - құрылымы; б - статикалық сипаттамасы

үшінші электродты басқаратын электрод деп атайды. Тиристордың бір түрінің құрылымы, сонымен қатар кремнийді басқару клапаны деп аталады. 4.9, a, статикалық сипаттамасы күріш. 4.9, b. Жоғары ток және төмен кернеудің төмендеуі бар құлпын ашу аймағында, тиристор басқару электродына оң импульс қолданылғаннан кейін ғана өтеді. Блоктау аймағында тиристор негізгі кернеуді алып тастағаннан кейін өтеді.

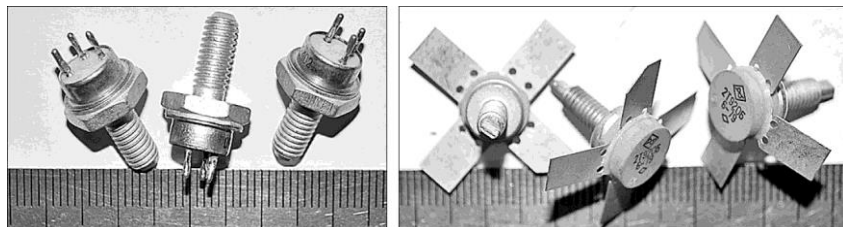
4.3.

Биполярлық транзисторлар

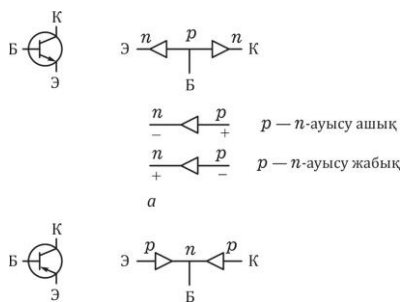
Кейбір транзисторлар түрлерінде көрсетілген. 4.10. Транзисторлардың жіктелуі, сондай-ақ диодтар бірнеше негізде мүмкін. Біріншісі жиілікті (төмен жиіліктік, жоғары жиілікті және жоғары жиілікті), екіншісі транзистордың күшімен, ал үшінші күрьылымымен анықталады.

Сонғы жағдайда транзисторлар екі үлкен сыныпқа бөлінеді - биполярлық және өріс. Биполярлық транзисторларда екі электронды тесік бар, тиісінше, үш электрод бар: коллектор, эмитент және база, олар екі үлкен топқа бөлінеді: n - p - n және p - n - p. 4.11.

P-n-өтuleрінің күрьылымы ретінде n-p типті транзистордың моделі күріш. 4.12, а. Әрбір p-n-түйіндері оған тікелей немесе кері бағытқа келетін кернеуге байланысты ашық немесе жабық қүйде болуы мүмкін. Нәтижесінде, қолданбалы кернеулердің полярлығына байланысты биполярлы транзистордың төрт жағдайы бар (4.1-кесте) және тиісінше, оның статикалық сипаттамалары жазықтықта төрт аймақ,



Сурет. 4.10. Транзисторлар

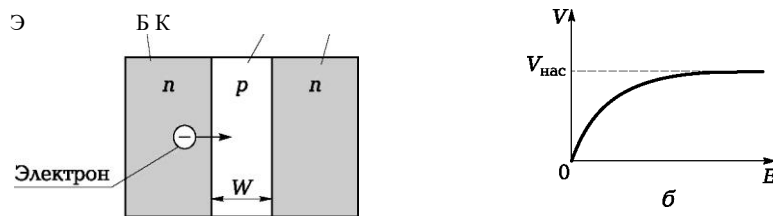


Сурет. 4.11. Схемаларда транзисторлардың бейнесі: a-n-p-n-түрі; b - p-n-p-түрі

$IK = \Phi$ (гБ, уК) коллекторының кернеуі: коллекторлық ток ток: 1, белсенді 2, қанықтыру 3, кері 4 (сурет 4.13). Қаныққан аймақ 3 (сурет 4.14) қанықтылықтың кедергісімен сипатталады:

$$r_{nac} = u_{K\Theta nac} / i_{K\Theta nac}.$$

Белсенді аймақтың i_K -дағы коллекторлық ток базасының i_B ағымдағы мәніне байланысты. Р-н түйісіне кері кернеу кернеу мен кернеуден асатын кері кернеумен заряд тасымалдаушылардың құрт ұлғаюымен бірге - электр қозғалысы бұзылады - олардың көшкін көбейтуі (4.13-сурет, 5-сурет). Осыған батуы



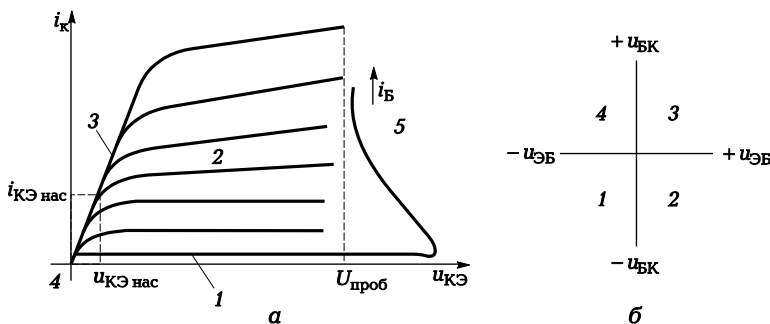
Сурет. 4.12. Биполярлы транзистор:
а - құрылымы; б - электр өрісінің
күшіне электрондардың ұшу
жылдамдығынан тәуелділігі

Кесте 4.1.

Косу коллекторлық торап	Эмиттетті ауыстыру көшу	Ауданы сипаттамалары
Кері	Кері	Кесу 1
Кері	Тікелей	Белсенді 2
Тікелей	Тікелей	Канықтылық 3
Тікелей	Кері	Кері 4

Онірғе жол берілмейді, себебі пр түйінінің бұзылуы құрылғы кайтарылмайтын құбылыс болып табылады.

Ш құбылысқа негізделген, пр түріндегі биполярлық транзисторлардың анализіне тоқталайық: эмитенттің базалық аймаққа электрондарды енгізу, олардың базалық аймақта жинақталуы (р-типті өткізгіштің бойынша, электрондар аз заряд тасымалдаушылары) электрондарды сыртқы электр өрісінің әсерінен базадан коллекторга беру (4.12-суретті қараңыз). Осындай физикалық процестерде сигнал жиілігін арттыра отырып, құрылғының қуатын арттыруға мүмкіндік бермейтін шектеулер бар. Бірінші шектеу жартылай өткізгіштегі электрондардың шекті жылдамдығына байланысты. Осылайша, кремний үшін электр өрісінің беріктігіне байланысты бұл жылдамдық 107 см / с аспайды (4.12-сурет, б). Екінші шектеу шектеу мәніне байланысты



Сурет. 4.13. Кесте бойынша биполярлы транзистордың төрт жағдайы. 4.1: а - статикалық сипаттамалар жазықтықта; б - кернеудің полярлығына байланысты

электр өрісінің кернеуі E_{np} , ол электрдің бұзылуынан асып түскен кезде. Кремниде $E_{np} = 2 \cdot 10^5$ В/с. Нәтижесінде, жиілік көбейген сайын транзисторлардың күші азаяды.

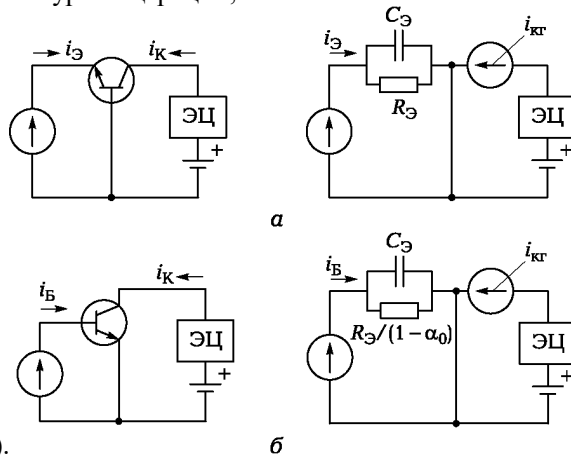
Транзистордың теориялық үлгісінде жалпы негізде тізбектегі белсенді аймақта жұмыс жасайтын процестер (сурет 4.14, а) еki тендеулермен сипатталуы мүмкін:

$$i_{\mathcal{E}} = \frac{Q_B}{\tau_s} + \frac{dQ_B}{dt}; \quad (4.4)$$

$$i_K = i_{Kr} = \frac{Q_B}{\tau_T}, \quad (4.5)$$

мұнда Q_B - базаның заряды, Кл; τ_s - базалық аймақтағы (n-p-n транзисторларында олар электрондар) минералды заряд тасымалдаушылардың орташа қызмет мерзімі; с; τ_T - базалық аумакта зарядтаушылардың ұшу уақыты; I_{Kr} коллекторлы тізбектегі баламалы

Транзистордың электродтарының қайсысының кіріс және шығыс тізбектеріне ортақ екеніне байланысты жалпы базасы бар тізбектің айырмашылығы бар (4.14-суретті қараңыз, а) және жалпы эмитент (4.14-суретті қараңыз,



Сурет. 4.14. Транзисторлық схема:

генератордың ағымы.

a - жалпы базасы бар; b - ортақ эмитентпен; EC - электр тізбегі; rk - коллекторлық тізбектегі баламалы генератордың ток

Суретте көрсетілген эквиваленттік схемаларды талдау. 4.14, ағымдағы күшейту коэффициенттері үшін келесі өрнектерді алуға мүмкіндік береді:

- ортақ-базалық тізбектегі ағымдағы пайда

$$\alpha(j\omega) = \frac{i_k(j\omega)}{i_b(j\omega)} = \frac{\alpha_0}{1 + j(f/f_\alpha)}; \quad (4.6)$$

- бірдей магнитоланың модулі

$$|\alpha(j\omega)| = \frac{\alpha_0}{\sqrt{1 + j(f/f_\alpha)^2}}; \quad (4.7)$$

- Жалпы-эмитент тізбегінің ағымдық күшейту коэффициенті

$$\beta(j\omega) = \frac{i_k(j\omega)}{i_b(j\omega)} = \frac{\beta_0}{1 + j(f/f_\beta)}; \quad (4.8)$$

- бірдей магнитоланың модулі

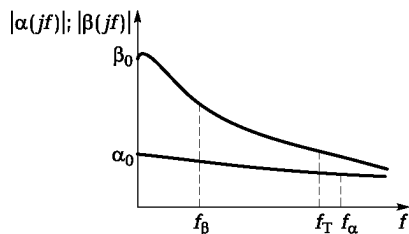
$$|\beta(j\omega)| = \frac{\beta_0}{\sqrt{1 + j(f/f_\beta)^2}}; \quad (4.9)$$

Төмен сигнал жиілігінде ағымдағы күшейту коэффициенттері өзара байланысты

$$\beta_0 = \frac{\alpha_0}{1 - \alpha_0}, \quad (4.10)$$

Мұнда $\alpha_0 < 1$.

Функциялар (4.7) және (4.9) күріш. 4.15, олар үш шекаралық жиілікті белгілейді: f_α - жалпы базасы бар схема үшін, f_β - ортақ эмитегі бар тізбек үшін,



Сурет. 4.15. Транзисторлық пайданың токқа тәуелділігі

Максималды мәнмен салыстырғанда пайда факторлары 1,47 есе азайды; f_T - транзисторлық күшетудің жоғарғы жиілігін анықтайдын шекаралық жиілік.

Транзистордың жиіліктік қасиеттерін сипаттайтын ең маңызды параметр - өшіру жиілігі:

$$f_T = |\beta|/f. \quad (4.11)$$

Оның (4.7) және (4.9) салыстырынан келіп шығатынымыздай, қазіргі кездегі пайда және, осылайша, қуат алу коэффициенті, ортақ эмитент тізбегінде ортақ негізде схемадан үлкенірек. Алайда, шекаралық жиілікке жақын жоғары жиіліктер аймагында олар аз ерекшеленеді.

f_T жиілігінің мәні эксперименталды жолмен оңай анықталуы мүмкін. Осы мақсатта, (4.11) сәйкес, біз жалпы коэффициенттің модулін өлшеу жүргізілетін жиілікте жалпы имитатормен (сурет 4.14, б) өлшеуге және алынған мәнді көбейтуге тиіспіз. Транзисторлық генератордың күшетудің максималды жиілігі, әдетте, f_T -дан аспайды. $f = f_T$ кезінде жоғары қуатты RF және микротолқынды биполярлық транзисторлардың күшету коэффициенті 6 дБ-дан аспайды, яғни 4 есе қуатта болады.

Транзистордың максималды рұқсат етілген параметрлері. Биполярлық транзисторларда токтар, п-н түйіндеріндегі кернеулер және диссипация қуаты шектеулі, бұл тәмендегі ең рұқсат етілген параметрлерді анықтайды:

- коллекторлық токтың импульстік мәні;

- үздіксіз режимде коллектор тогының тұрақты компоненті;
- кернеу мен сынаудан асып кетпейтіндей, ең жоғары коллектор-эмиттер кернеуі мен коллекторлы базасы (әдетте транзисторлардың арнайы түрлерін қоспағанда 45 ... 65 В аспайды) (4.13-суретті қараныз); базалық-эмитенттің көрі кернеуінің шекті мәні (әдетте 4,6 В-дан көп емес), осы п-ј-қосылысының бұзылу кернеуінен аспайды;
- РК, ұсақ коллектор.

Транзисторлық / Т қүштейтудің шекті немесе шекаралық жиілігі.

Бұл жиілік заряд тасымалдаушылардың тасымалдау уақытын W қалындығы базалық аймағы арқылы тікелей байланыстырады (4.12-суретті қараныз, а). Оның мәні формула бойынша есептеледі

$$f_T = \frac{1}{2\pi\tau_T} = \frac{V_{nac}}{2\pi W}. \quad (4.12)$$

Формуланың (4.12) формуласынан негізгі қабаттың қалындығы негұрлым аз болса, транзисторлы шекаралық жиілік негұрлым жоғары болса, яғни қүштейтілген сигналдың максималды жиілігі. Формуланы (4.12) пайдаланатын есептеулер микротолық диапазонда жұмыс істейтін транзисторлар үшін $W < 1$ мкм болуы керек екенін көрсетеді. Бұл талаптың орындалуы өте құрделі технологиялық тапсырма болып табылады, оны шешу үшін транзистор өнертабысынан кейін жиырма жылдан астам уақыт өтті.

Ерекше планарлы технологиилар ғана қажетті қасиеттері бар өте жіңішке жартылай өткізгіш қабаттарды алуға мүмкіндік берді.

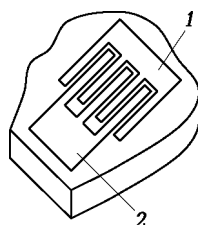
Мысал ретінде $f_T = 400$ МГц транзисторлarda базалық аймақтың қалындығы $W = 0.7$ мкм, ал $f_T = 1 \dots 2$ ГГц - $W = 0.2, 0.3$ мкм.

Көрсетілген екеуден басқа (транзистордың қуатын ұлғайту үшін шектеулі заряд тасымалдаушыны ауыстыру жылдамдығы және рұқсат етілген электр өрісінің беріктігі), екі транзистордың қуатын арттыру үшін шектеу факторы бар: рп түйісетін рұқсат етілген температурасы (кремний 150, 200 ° С аспайды) және ауыстырудың әсері. Соңғысының мәні, ағымдағы тығыздық артып келе жатқанда, заряд тасымалдаушылардың трансмиссиясы эмитенттің сыртқы жиегіне оралуға мәжбүр болады. Нәтижесінде, ағымдық мән эмитент аймағымен емес, периметрмен анықталады, бұл жиіліктегі қуатты арттыруға мүмкіндік бермейді. Соңғы шектеулер эмитенттің периметрі айтарлықтай кеңейтілмеген, көп эмитент құрылымы деп аталатын құру арқылы енсерілді.

Бір жолақ сыйығы деп аталатын осы құрылымдардың бірі Сур. 4.16. Бұл құрылымда эмитенттің 1 тарақ құрылымы бар. Сол пішінде негіздің байланыс аландары бар. Құрылғыдағы коллекторлар жи-

кездеседі. Құралдағы жолақтардың жалпы саны (эмитенттер) бірнеше ондағанға жетуі мүмкін.

Мысалға, біз типтік транзисторлық микротолқынды транзистордың параметрлерін береміз: бір эмитент жолағының өлшемі 16×240 мкм; эмитент жолақтарының саны 18; коллектордың алаңы $0,22$ мм²; барлық эмитенттердің жалпы периметрі - 8 мм; алаңы $0,065$ мм². Осыдан



Сурет. 4.16. Көп эмитенттердің жолақ құрылымы: 1

- эмитент; 2 – базасы

Мысалға, қуатты микротолқынды биполярлы транзистордың өлшемдері қаншалықты кішкентай екенін және оның өндірісінің технологиясы қаншалықты құрделі болуы керектігін көрсетті.

Жалғыз кристалдағы микротолқынды транзистордың шығу қуатын арттыру үшін бірнеше құрылымдар орналасқан және бір корпуста бірнеше кристалдар орналастырылады. Транзистордың кристалындағы ыстық жылу оның корпусына бағытталуы керек. Сонымен катар, электродтардың электр оқшаулануы құрылышының корпусына қатысты берілім керамикасы қолданылатын - жоғары жылу өткізгіштігі бар диэлектрик (Латвиядағы) бойынша берілген. Корпусы бар жоғары қуатты транзисторларда схемаға байланысты эмитент немесе база қосылады. Жоғары қуатты микротолқынды транзисторлардың бірнеше түрі суретте көрсетілген. 4.10.

Транзистордың жұмысы әртүрлі мақсаттарда каскадты құрылғыдағы жұмыс режимін есептеу және оның жұмыс істеуі үшін дұрыс жағдайларды анықтауға мүмкіндік беретін көптеген сипаттамалармен және параметрлермен сипатталады.

4.3.

ДАЛАЛЫҚ ТРАНЗИСТОРЛАР

Жұмыс принципі және балама схема. Өріс транзисторы негізгі заряд тасымалдаушы-электрондардың немесе тесіктердің бір түрі тасымалданатын біртекті жартылайкроверлік құрылғылар санатына жатады. Құрылғыда Ом шығындарды азайту және 6 барынша жиілігі пайда көтеруге мүмкіндік береді, әдетте арсенид галлий (GaAs) микротолқынды транзисторлар үшін материалдық ... 8 ГГц.

Дала-әсерлі транзисторлардың бірнеше түрлері әзірленді. олардың

арасында бұрыннан бар айырмашылықтардың бірі жартылай өткізгіш арнада қозғалмалы тасымалдаушылардың ағынының бақылау әдісімен байланысты. Осы ерекшеліктеге сәйкес, құралдың үш түрі бар:

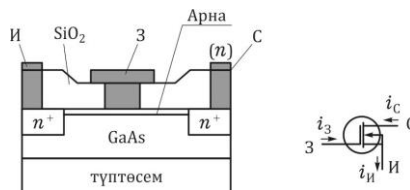
1) оқшауланған қақпасы құрылымы немесе металл-оксиді-жартылай өткізгіш, қысқаша МОП транзисторлар деп аталады;

2) р-п-түйінін басқару;

3) Металды жартылай өткізгіш Шоттканың тоқсауылымен.

4) бірінің диаграммаларындағы құрылым және шартты кескін

Далалық эффект транзисторы күріш. 4.17. Зинк қақпасына қолданылатын кернеу арқылы жасалған электр өрісі көзден су ағызуға дейінгі арнадағы зарядтардың ағынын перпендикулярға бағыттайты. USk шамасының өзгеруімен, олар ағымдық ағынмен жұмыс істейді, бұл ток шығуын көбейтеді немесе азайтады



Сурет. 4.17. Даала транзисторы: а - құрылымы; б - шартты кескін

құрылғы. Далалық эффект транзисторының жиілік сипаттараты уақытша тұрақты мәнмен анықталады

$$\tau = \tau_{3\text{кан}} + \tau_{\text{кан}}, \quad (4.13)$$

мұндағы $\tau_{3\text{кан}}$ - қақпақ каналы тізбегінің уақытша тұрақтылығы; $\tau_{\text{кан}}$ - арнадағы көзден су ағызуға дейінгі заряд тасымалдаушылардың үшү уақыты.

Баламалы генераторлық ток кернеу тікелей қақпак-арна секциясына қолданылатын анықталады. Сондықтан бірінші аппроксимациядағы ағынды ток үшін біз жаза аламыз

$$i_C = S_0 u_{3kan} = \frac{S_0}{1 + j\omega\tau_{3kan}} u_{ex}, \quad (4.14)$$

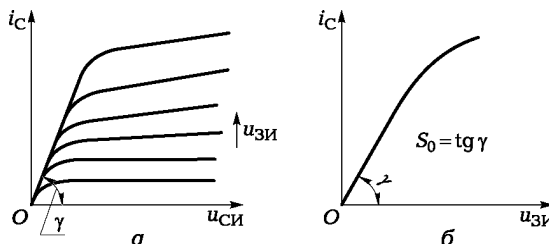
мұндағы қақпа мен арна арасындағы көрнеу; ивх - көрнеу құрылғының кірісінде; S_0 - статикалық сипаттаманың көлбеуі.

(4.14) сәйкес, ағызу ток амплитудасының сигнал жиілігіне тәуелділігі берілген

$$i_C = \frac{S_0}{\sqrt{1 + (\omega\tau_{3kan})^2}} U_{ex}, \quad (4.15)$$

Формуланың (4.15) формуласы бойынша, өріс әсеріндегі транзисторларда, биполярлы түрде, құралдың қуатының артуы жиіліктегі азаяды.

Вольт-ампер немесе далалық әсер транзисторының статикалық сипаттамалары. Жалпы көзден транзисторлық тізбектегі сипаттамалардың отбасыларының екі типі бөлінеді: ағызу ток көзінен көрнеудің ағызына және қақпақ көзі $i_C = \Phi(U_{CI}, U_{3H})$



Сурет. 4.18. Дала-әсерлі транзистордың ағынының көрнеуінің сипаттамасы: а - ағызу көзі; б - қақпа көзі

Сурет. 4.18, а және ағызу токының $i_C = \Phi(U_{3H})$ қақпағының көрнеуіне тәуелділігі (4.18, б).

Сызықтық секцияның бейненің беткейлері $i_C = \Phi(U_{3H})$ (бұр. Сур. 4.18, б) статикалық көлбеу көлбеуін анықтайды. Сыртқы транзистордың статикалық сипаттамалары биполярлық транзисторларға жақын (сур. 4.13, а). Алайда, биполярлық транзистордың кіріс тогы (ортак эмітент схемасы бойынша - базаның ағымы), өріс біреуі қақпақ көзінің кіріс көрнеулері арқылы бақыланады.

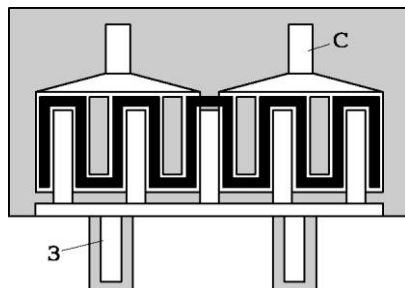
Транзистордың ең рұқсат етілген параметрлері. Күшті өріс әсерін беретін транзистор токтар, электродтар мен диссипация күші арасындағы көрнеумен шектеледі, соның ішінде: импульсное (пиковое)

значение тока стока;

- Уздіксіз режимде ағызы токының тұрақты компоненті;
- үздіксіз режимде тұрақты ток тізбегінің компоненті;
- ағызы көзі кернеуінің, қақпақ көзі мен қақпа ағынын тұрақты және ең жоғары мәндері;
- құрылғының қуаты азайған.

Дала-эсерлі транзистордың қуатын арттыру үшін көп арналы құрылымдар пайдаланылады, кейбір жағдайларда кейбір кристалдар орналастырылады. Жоғары қуатты далалық эсерлі транзистордың осындай көп арналы құрылымының мысалы келтірілген. 4.19. BLF278 улгісіндегі арсенида галлий транзисторларының күшті өріс схемасында шартты бейнесі және 108 МГц жиіліктең динамикалық сипаттамалары ($P_{mv} = \Phi(P_{bx})$) кіріс қуатына тәуелділігі) көрсетілген. 4.20. BLF278 транзисторлы түрлендіргіштің тиімділігі 60% құрайды, бұл кіріс 16 дБ-ден артық.

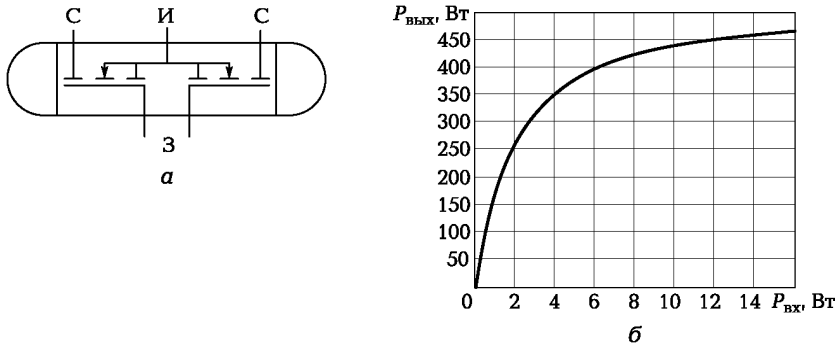
Биполярлық транзистордың далалық транзистормен салыстыру. Құрылғыларда орын алғатын физикалық процестердің арасындағы айырмашылық мыналар болып табылады:



Сурет. 4.19. Көп арналы жолақ құрылымы

Биполярлық транзисторларда жартылай өткізгіш негізгі заряд тасымалдаушыларды да, негізгі емес тасымалдаушыларды да қамтиды; далада - тек негізгі. Биполярлық транзисторлардағы құрылғының ағымдағы бақылауы базалық аймақта жинақталған шикізаттық емес тасымалдаушылардың заряды есебінен жүзеге асырылады; өрісте - жартылай өткізгіш арнада жүретін заряд тасымалдаушылардың ағысында электр өрісінің әсерінен, бұл ағынга перпендикуляр бағытталды.

Биполярлық транзисторлардағы құрылғының қуатын арттыру үшін көп ретті эмитент құрылымын, ерісте - көп арналы арнаны пайдаланысыз. Екі түрдегі жоғары қуатты RF транзисторлары үшін материал кремний; Микротолқынды қондырғыларда кремнийден басқа, галий арсениті де қолданылады.



Сурет. 4.20. BLF278 транзисторлық түрі:
а - шартты сурет; б - динамикалық сипаттамасы

Шығу сигналының қуатын және максималды көбейту жиілігін арттыру радио генераторлардың генераторлық каскадтарында пайдаланылатын транзисторлардың екі түрін дамытудың негізгі бағыттарының бірі болып табылады. Жартылай өткізгіш құрылғыдағы осы екі қасиеттің комбинациясы кремний және арсенидті галлий транзисторларын жасау арқылы белгілі бір дәрежеде көп эмитентті және көп арналы құрылыммен шешілді.

Генерацияланатын транзисторлардың дамуындағы басқа бағыт олардың күштейтілген сигналдарын күштейте отырып, олардың сыйықтық қасиеттерінің артуымен байланысты.

Күрделі кестеде негізгі жиілік диапазонындағы күшті биполярлық және далалық тиімді транзисторлардың бірнеше түрінің негізгі параметрлері (f күштейту f , жиіліктік күші P_1 , Raman күштейткіштің күштейту коэффициенті және тиімділік коэффициенті) берілген. 4.2.

Түтік триодтарынан транзисторлардың екі түрінің арасындағы айырмашылық заряд тасымалдаушылар (электрондар мен тесіктер) жартылай өткізгіш материалда, ал шамдағы вакуумдағы заряд тасымалдаушылары (электрондар) қозғалады. Сонымен катар заряд тасымалдаушыларын бақылау механизмі әртүрлі. Электрондық құрылғылардың екі түрін де олардың мақсатына жақындуату - сигналдың генерациялау және күштейту, сондай-ақ статикалық сипаттамалардың

пайда болуы.

Айта кету керек, транзисторлар, кейіннен микроэлектроника интегралдық схемалармен түбөгейлі өзгерді

Кесте 4.2.

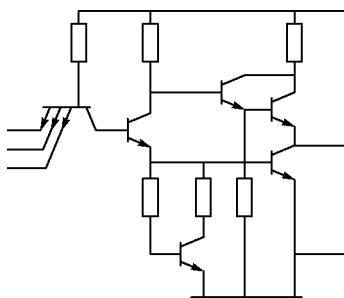
Транзистор түрі	Жиілік, МГц	Энергияны тұтыну P_1 , Вт	Kipс, дБ	КПД, %
KT-9133А — биполярлық	200	50	6	50
BLF278 — далалы	225	250	16	60
KT-931А — биполярлық	175	80	7	60
KT-930Б — биполярлық	400	75	7	50
MX0912B51Y — далалы	1 200	325	7	40
2П983Б — далалы	2 000	105	8	32
BLS3135-65 — далалы	3 000	65	7	40

радиотехникалық қондырғылар, оларды электрқұмар санатынан жартылай еткізгіш категориясына ауыстыру. Дегенмен, радиотехникиның дамуы үрдісі транзисторлар мен ірі интегралды схемалар энергетикасын ынталандыру үшін компьютерлер сияқты көптеген электронды құрылғыларда қолданылатын миниатюралық, сенімді және ұзақ мерзімді құрылғылар жасау болып табылады.

5 тарау

МИКРОЭЛЕКТРОНИКА

5.1. ИНТЕГРАЦИЯЛЫҚ МИКРОСХЕМА



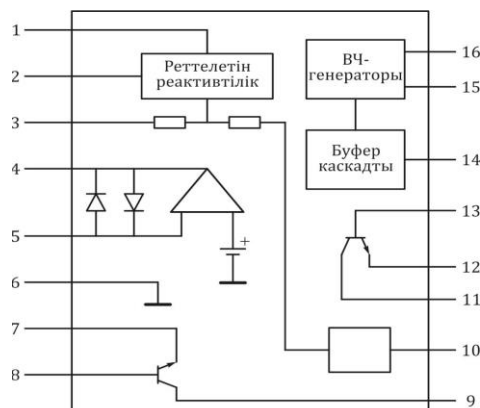
Сурет. 5.1. И—НЕ түріндегі интегралдық чип

қосылу. Гибридті АЖ екі технологиямен - жартылай өткізгіш және пленкамен өндіріледі.

Интеграция дәрежесі бойынша, яғни IMS құрамына кіретін N элементтері мен компоненттерінің саны бойынша IMS бөлімі қарапайым — $N \leq 10$; орташа — $10 \leq N \leq 100$, үлкен (БИС) — $100 \leq N \leq 10\,000$ және супер-үлкен (СБИС) — $N \geq 10\,000$.

Модельді козғалтқыштың жиілігі 50 ... 150 МГц негізіндегі және 20 ... 30 мВт күші бар, Motorola компаниясы шығарған MC2833 интегралдық интегралдау дәрежесінің интегралды схемасының мысалы мысалға келтірілген. 5.2. Чипке жоғары жиілікті сигнал қүшшайтетін автогератор, жиіліктегі модулятор және екі жоғары жиілікті транзистор кірді (қорытындылар 7 — 8 — 9 и 11 — 12 — 13).

Схемаға сыртқы элементтер - кварц,



Сурет. 5.2. Төмен қуатты радио таратқыш

тізбектер мен бірнеше резисторлар мен конденсаторлар, бұл IMS көмегімен сіз төмен қуатты радио таратқышты жасай аласыз.

Акпаратты өндедеуді жүзеге асыратын микропроцессорлық-программалық-басқару құрылғыларында пайдаланылатын LSI-тің және жоғары сапалы VLSI-дің рөлі ерекше. Онда қолданылған АЖ-ны ондаған, тіпті жүздеген мың транзисторлар және басқа жартылай өткізгіш элементтер бар.

Жыл сайын интегралды схемалар электронды құрылғыларда жиі қолданылады және басқа технологияларды ауыстырады. Кәдімгі тізбектермен салыстырганда, АЖ-лар аз талап етілетін орталарда, жылдамырақ және сенімдірек болады.

5.2. ИНТЕГРАЦИЯЛЫҚ МИКРОКРИУЛАРДЫ ӨНДІРУ ТЕХНОЛОГИЯСЫ

Жартылай өткізгіш – диэлектрикке қарағанда электроткізгіштігі өлдекайда көп, мысалы, әйнек, бірақ мыс секілді өткізгіштерден өлдекайда аз болатындығын ескеру қажет. Кремний сияқты жартылай өткізгіш материалдың кристалдық торында бөлме температурасында тым аз еркін электрондар бар, сондыктan таза жартылай өткізгіштерде төмен өткізгіштігі бар. Кремнийге тиісті қоспаны енгізу электр өткізгіштігін арттырады.

Микроэлектрониканы дамытудағы шешуші қадам кремнийге негізделген планарлы технологиины құру болды, ол екі негізгі операцияларды қамтиды: фотолитография және диффузия. Біріншіден, қалындығы 10 ... 20 мкм болатын жұқа эпитаксиалды пленка (SiO_2) қоспалардың енуіне сенімді кедергі болатын арнайы кремний бетінде алынады. Бұдан басқа, арнайы фотомета - мөлдір материалдан жасалған пластина шығарылады, онда эпитаксиалды пленкадағы жартылай өткізгіш пластинаға берілетін улғі жоғары дәлдікпен жасалады. Фотолитография көмегімен, жасалынған микросхеманың конфигурациясын анықтайтын фототүсктен алынған сурет 2,3 мкм мөлшеріндегі «терезелер» пайда болған фильмге көшіріледі.

Келесі кезең диффузия деп аталады, «терезелерге» қажетті өткізгіштіктер алу үшін қажетті қатаң өлшемен қоспаларды енгізу болып табылады. Осылайша, мысалы, фосфор немесе мышьяк кремнийге электронды өткізгішті (n-тиptі) бар секцияны енгізеді және кремнийге бор өткізгішті (p-тип) енгізіледі.

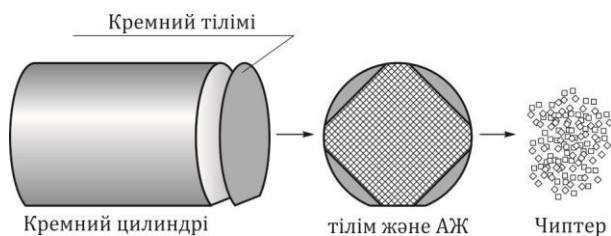
IC дайындау процесінде, осындаі диффузиялар мен эпитаксиалды

өсімге дейін, н-типті кремний алу үшін, топырақтағы қоспаларды біркелкі бөлу арқылы жүзеге асырылады. Эр диффузиядан бұрын пластинаның беті тотықтандырылады және «терезелер» фотолитография әдісімен ашылады. Эр түрлі қоспаларды сол аймақтарға баламалы енгізу бір-бірінен әртүрлі қашықтығы бар бірнеше нұктелерді жасауға мүмкіндік береді және осылайша қажетті параметрлермен транзисторларға «еседі». ИС-ның барлық басқа элементтері де осындай технологияны қолданып, бірнеше кезенде жасалады. Бұл жағдайда транзисторлардың базалық аудандары резистор ретінде пайдаланылады, ал конденсаторлар коллектор немесе эмитент рр түйіні болып табылады.

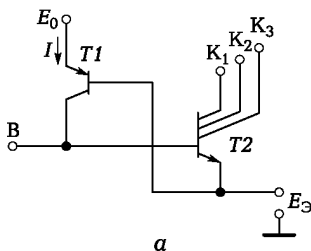
Бір кремнийдің вафтерінде бір уақытта бірнеше жүз фишкалар (фишкалар) дайындалады, олардың әрқайсысы өлшемі бірнеше миллиметрден аспайды (5.3-сурет).

Сызықты LSI үлгісі, оның ішінде екі биполярлық транзисторлар және оның құрылымы планарлы технологияны қолданумен жасалған. 5.4. Схемада L-p-1 түріндегі транзисторлық T1 ток генератордың рөлін атқарады, үш коллекторлы транзисторлық T2 - түрлендіргіш рөлі, яғни фазалық айналдыру сигналы. Осы үш коллектор басқа транзисторлардың жинағыштарына қосылған, NON-OR типті логикалық схемасын құруға мүмкіндік береді. Суретте көрсетілген тізбектің ерекшелігі. 5.4, а, кремний диафрагасындағы салыстырмалы үлкен аймақты алатын жоғары төзімді резистордың қажеті жоқ.

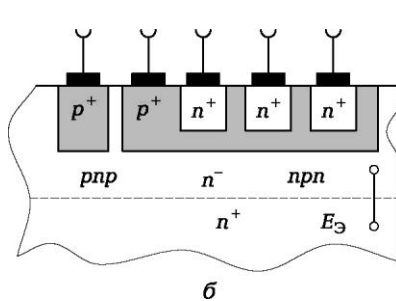
Бірінші кезенде ИМС ондаған электронды тесіктерді есептеді. Қазіргі уақытта БИС және



Сурет. 5.3. Силиконның вафли



Сүрет. 5.4. Карапайым
LSI: а - схема; б -
құрылымы



АНАЛОГТЫҚ СЫЗЫҚТЫҚ ЭЛЕКТРОНДЫҚ ҚҰРЫЛҒЫЛАР

6.1.

АНАЛОГТЫҚ ҚҰРЫЛҒЫЛАРДЫҢ ЖІКТЕЛУІ

Электрондық құрылғылардың әр түрлілігімен, сигнал түріне байланысты оларды келесі үлкен топтарға бөлуге болады: аналогтық, импульстік және сандық (1.2-бөлімін қараңыз).

Өз кезегінде үздіксіз сигналдармен жұмыс істеуге арналған аналогтық электрондық құрылғылар төмендегілерге сәйкес жіктелуі мүмкін:

- белгілеу бойынша – күшейту, генерациялау, модуляциялау, сұзу және сигналдарды өндеу үшін;
- жиілік диапазоны – төмен жиілікті, жоғары жиілікті және өте жоғары жиілікті;
- олардағы процестердің түрі бойынша – сыйықты және сыйықты емес.

Соңғы ерекшелікті егжей-тегжейлі қарастырайық. Электрондық құрылғылардың сыйықты емес себебі – заряд тасымалдаушылардың электр немесе электромагниттік өрістермен электронды құрылғыдағы өзара әрекеттесуінің курделі сипаты, олардың негізінде жұмыс негіздері (1.5 бөлімін қараңыз). Бұл өзара әрекеттесу процесінің сыйықтық емес сипатының сыртқы сипаттамасы амплитуда болып табылады

электрондық құрылғының сипаттамасы, яғни шығыс сигналының амплитудасының амплитудасы бойынша $u = 0$ (u_{xx}) амплитудасының тәуелділігі, мысалы, сурет . 6.1.

Сыйықтық тізбектің сыйықты емес қалай ерекшеленетінін қарапайым мысалмен көрсетейік. Сыйықтық тізбекті тәуелділікте сипаттаңыз: $y = kx$, ал сыйықты емес - $y = x^2$.

Біз x_1 (f) және x_2 (t) сигналдарын алдымен екі тізбектің кірісіне, ал содан кейін x (t) = x_1 (t) + x_2 (t) бірге береміз. Нәтижесінде сыйықтық схемада шығыс сигналы келесі өрнектермен сипатталады:

$$y_1(t) = kx_1(t); y_2(t) = kx_2(t);$$

$$y(t) = kx(t) = k[x_1(t) + x_2(t)] = kx_1(t) + kx_2(t) = y_1(t) + y_2(t).$$

Бұл өрнекке сәйкес сыйықтық тізбектегі сигналдардың әсері тәуелсіз: нәтиже, біріктірілген кезде, бөлек күшету арқылы нәтижелердің сомасы. Мұндай сигналдардың тәуелсіз әрекеті суперпозициялар принципін сақтау деп аталады.

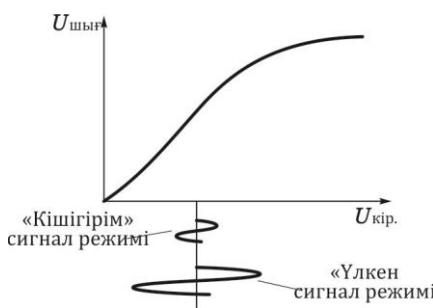
Сыйықсыз тізбектің шығу сигналы үшін

$$y_1(t) = [x_1(t)]^2; y_2(t) = [x_2(t)]^2;$$

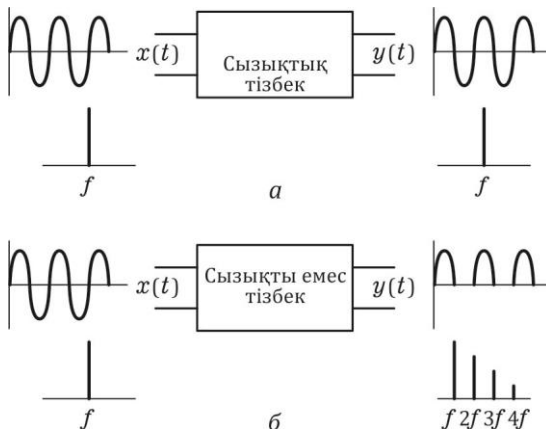
$$\begin{aligned} [x(t)]^2 &= [x_1(t) + x_2(t)]^2 = [x_1(t)]^2 + [x_2(t)]^2 + 2x_1(t)x_2(t) = \\ &= y_1(t) + y_2(t) + 2\sqrt{y_1(t)y_2(t)}. \end{aligned}$$

Сонғы өрнекке сәйкес сигналдардың сыйықты емес тізбектегі әсері бір-біріне тәуелді болады: нәтиже, біріктірілген кезде, бөлек амплификациясы мен нәтижелерінің жиынтығынан ерекшеленеді. Осылайша, сыйықты емес тізбек сыйықтық тізбектен айырмашылығы бар белгілердің бірі болып табылатын суперпозициялар принципіне бағынбайды. Нәтижесінде, сыйықты емес тізбекті зерттеу күрделене түседі, өйткені әрбір жаңа кіріс сигналы тәуелсіз талдауды талап етеді, өйткені сигналдың кейбір сигналдары схемаға қолданылған кезде шығыс сигналы ауытқулардың жиынтығы ретінде ұсынылмайды.

Сыйықтық аналогты құрылғының тағы бір ерекшелігі – синусоидаль формасының инвариантты



Сурет. 6.1. Аналогтық құрылғылардың амплитудалық сипаттамасы



6.2. Желілік: а - сызықты; және - сызықты емес

схеманың кірісінде және шығуында тұрақты күйдегі сигнал. Кіріс сигналын қолдану арқылы

$$x(t) = U_{\text{вх}} \sin(\omega t + \Theta_{\text{вх}}),$$

шығу кезінде біз аламыз

$$y(t) = U_{\text{вых}} \sin(\omega t + \Theta_{\text{вых}}).$$

Осы өрнектерге сәйкес сигналдар амплитуда және бастапқы фазада ғана ерекшеленеді, бірақ олардың жиілігі мен формасы (синусоиды) бірдей (Сурет 6.2, а). Синусоидалы сигналдардың көптігімен қатар сызықты тізбектің қасиеті сақталады – құрылғының кірісінде және шығуында ауытқу формасының инвариантты. Керінше, сызықты емес аналогты құрылғының белгісі кіріс синусоидалы сигналының нысанын шығарудың өзгеруі және кейбір жағдайларда өте маңызды (6.2, б). Тағы бір белгі – сызықты емес құрылғының шығуна сигнал спектрінің өзгеруі.

Осылайша, аналогтық сызықты емес құрылғы мен сызықты құрылғы арасындағы айырмашылық белгілері:

- амплитудалық сипаттаманың сызықты емес (6.1 суретті қараңыз);
- суперпозициялар белгісінің сақталмауы;
- input x (t) түрінде сәйкес келмеуі және шығу y (t) сигналдары (6.2 суретті қараңыз);

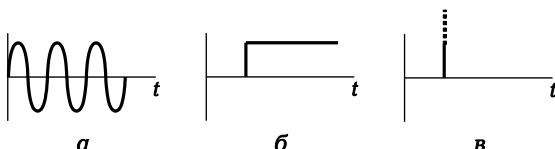
- демалыс сигналының спектрінде жаңа компоненттерді құрайтын кіріс сигналының жиілік спектрін түрлендіру (6.2 суретті қараңыз).

Барлық электронды құрылғылардың барлығы сыйықты емес. Дегенмен, құрылғы сипаттамаларының сыйықтық бөліктерінен тыс шығып кетпейтін кіріс сигналының салыстырмалы «кішкентай» амплитудасы бар болса, соғы сыйықты құрылғы ретінде қарастыруға болады және оны есептеу желілік құрылғыларды талдау әдістеріне негізделуі мүмкін, олардың қасиеттері сигналдың амплитудасына байланысты.

6.2. ЕКІ ТҮРІН ЖӘНЕ ЕКІ ТИПТІ ЖЕЛІЛІК ҚҰРЫЛҒЫЛАР СИПАТТАМАЛАРЫН ТАЛДАУ

Сыйықтық құрылғыларды талдаудың математикалық негізі сыйықтық дифференциалдық теңдеулер жүйесі болып табылады, ол үшін бастапқы жағдайды орнату кезінде шешімді әрқашан табуға болады. Бұл шешімдерді іздестіру Лаплас түрлендіруіне (уақыттық тәсіл) немесе Фурье (спектральды талдау) негізделген. Тиісінше, желілік құрылғыларды зерттеу кезінде екі түрдегі талдау - уақыт пен спектральды (басқа атап жиілігі) – сыйықты құрылғының жұмысын анықтайтын екі түрі – уақыт пен жиілікте пайдаланылады.

Уақытты зерттеудің негізі – тікелей және кері Лаплас түрлендіруі, ал спектрлік тікелей және кері Фурье түрленуі [4]. Лаплас түрлендіргішіне сәйкес, $K(j\omega)$ құрылғысының ауыстыру функциясы (оператор) анықталады, бұл уақыттың сипаттамаларын табуға мүмкіндік береді. Фурье түрлендіруіне сәйкес, $K(j\omega)$ беру коэффициенті бар, ол объектінің жиілік қасиеттерін анықтайды. Фуриердің интегралы Лаплас түрлендіргішінің жеке жағдайы болғандықтан, $K(j\omega)$ және $K(j\omega)$ арасындағы тікелей байланыс бар, ол жиілік сипаттамаларынан жиілікке және керісінше ауыстыруға мүмкіндік береді. Сыйықтық жүйенің (төрт терминалдық желі) қарапайым байланысын қарастырайық және оған арналған үш сынап кіріс сигналдары $x(t)$: синусоидалы, бірлік секіріс және бірлік импульсімен берілген атрибуттарды анықтаймыз (6.3-сурет).



Сурет. 6.3. Сынақ сигналдары:

а - синусоиды толқыны; б - бірлік секіруі; с - бірлік импульсі

Трансфер функциясы $K(p)$. Сызықтық төрт түпкі желі сипаттары nth қуатының сызықты дифференциалдық теңдеуі арқылы сипатталуы мүмкін

$$\begin{aligned} a_0 y(t) + a_1 \frac{dy(t)}{dt} + a_2 \frac{d^2 y(t)}{dt^2} + \dots + a_m \frac{d^m y(t)}{dt^m} = \\ = b_0 x(t) + b_1 \frac{dx(t)}{dt} + b_2 \frac{d^2 x(t)}{dt^2} + \dots + b_n \frac{d^n x(t)}{dt^n}, \end{aligned} \quad (6.1)$$

мұнда емес) - шығу сигналы; $x(t)$ - кіріс сигналы.

Сызықтық байланыстарды талдау кезінде, Лаплас-Карсон түрлендіру операциялық әдіспен қолданылады [1]. Осы түрлендіруге сәйкес бастапқы функциялар мен оның туындыларының мынадай өзгерістері бейнеленген:

$$x(t) \Rightarrow x(p); \frac{dx(t)}{dt} \Rightarrow px(p); \frac{d^2 x(t)}{dt^2} \Rightarrow p^2 x(p); \frac{d^n x(t)}{dt^n} \Rightarrow p^n x(p).$$

Осы ережелерге сәйкес оператор формасындағы теңдеу (6.1) келесі форманы алады:

$$\begin{aligned} (a_0 + a_1 p + a_2 p^2 + \dots + a_m p^m) y(p) = \\ = (b_0 + b_1 p + b_2 p^2 + \dots + b_n p^n) x(p). \end{aligned} \quad (6.2)$$

Теңдеуде (6.2) сигналдың бейне сигналының сурет сигналының суреттіне қатынасына тән болатын құрылғының берілу функциясы үшін:

(6.3)

$$K(p) = \frac{y(p)}{x(p)} = \frac{b_0 + b_1 p + b_2 p^2 + \dots + b_n p^n}{a_0 + a_1 p + a_2 p^2 + \dots + a_m p^m},$$

немесе номератор және бөлгіш ($n \leq m$) болғанда:

$$K(p) = \frac{b_n(p - p_{b1})(p - p_{b2}) \dots (p - p_{bn})}{a_n(p - p_{a1})(p - p_{a2}) \dots (p - p_{am})}, \quad (6.4)$$

онда $p_{b1}, p_{b2}, \dots, p_{bn}$ теңдеу $B(p) = b_0 + b_1 p + b_2 p^2 + \dots + b_n p^n = 0$, трансфер функциясының (оператор) $K(p)$ нүлдері деп аталады; $p_{a1} p_{a2}, \dots, p_{am} - A(p) = a_0 + a_1 p + a_2 p^2 + \dots + a_m p^m = 0$ теңдеуінің тамырлары, трансфер функциясының полюсі деп аталады).

Беру коэффициенті $K(j\omega)$. Тікелей Fourier түрлендіруіне сәйкес, $x(t) \Rightarrow S_{bx}(j\omega)$ кіру спектрлік тығыздығы және $y(t) \rightarrow S_{byx}(j\omega)$ сигналдарының шығу сигналдарын анықтаңыз. Бұл спектрлік тығыздықтардың катынасы сілтеме беру коэффициенті болып табылады:

$$K(j\omega) = S_{byx}(j\omega)/S_{bx}(j\omega). \quad (6.5)$$

$K(j\omega)$ беру коэффициенті, Fourier интегралының $p = j\omega$ үшін Лаплас түрлендіруінің жеке жағдайы болып табылатын ұсыныстың негізінде қаралайым түрде анықталуы мүмкін. Сондықтан, ауыстыру функциясынан (6.3) күрделік беру коэффициенті үшін $p = j\omega$ ауыстыру арқылы

$$K(j\omega) = \frac{y(j\omega)}{x(j\omega)} = \frac{b_0 + jb_1\omega - b_2\omega^2 - jb_3\omega^3 + \dots + b_n(j\omega)^n}{a_0 + ja_1\omega - a_2\omega^2 - ja_3\omega^3 + \dots + a_m(j\omega)^m}, \quad (6.6)$$

Форматтағы (6.6) өрнегін білдіреміз

$$K(j\omega) = |K(\omega)| e^{j\varphi(\omega)} = D(\omega) + jM(\omega), \quad (6.7)$$

мұнда $|K(j\omega)|$ - беру коэффициентінің модулі; $D(\omega)$, $M(\omega)$ - бұл беру коэффициентінің нақты және мнимые бөліктері; $\varphi(\omega)$ - беру коэффициентінің фазасы;

$$|K(j\omega)| = \sqrt{D^2(\omega) + M^2(\omega)} \quad (6.8)$$

$$\varphi(\omega) = \varphi_{\text{вых}}(\omega) - \varphi_{\text{вх}}(\omega) = \arg[K(j\omega)] \quad (6.9)$$

Беріліс коэффициентінің көмегімен сзықтық байланысдың жиіліктік және уақыттық сипаттамаларын анықтауға болады.

Амплитудалық-жиілік реакциясы (AFC). AFC - шығыс сигналының амплитудасының $U(t)$ тәуелділігі тұрақты амплитудасының сигналды синусоидалы сигналының $x(t)$ жиілігіне. АФК – бұл (6.8) сәйкес кешенді беру коэффициентінің модулі.

$$K(\omega) = U_{\text{вых}}(\omega)/U_{\text{вх}}(\omega). \quad (6.10)$$

Фазалық-жиілікке жауап беру (PFC). PFC – шығыс сигналының фазасының тұрақты амплитудасының кіріс сигналының жиілігіне тәуелділігі. PFC – бұл (6.9) сәйкес анықталған кешенді тасымалдау коэффициентінің дәлелі.

Амплитудалық-жиілік сипаттамасын және PFC эксперименттік анықтау гармоникалық кіріс сигналымен орындалады.

Уақытша сипаттамасы $\Phi(t)$. $\Phi(t)$ - $y(t)$ шығыс сигналының $x(t)$ сигналының бірлік функциясы - кернеу секіріci (6.3b-суретті қараңыз) түріне тәуелділігі:

$$\Phi(t) = \begin{cases} 1 \text{ бола тұра } t \geq 0; \\ 0 \text{ бола тұра } t \leq 0. \end{cases} \quad (6.11)$$

$\psi(p) = 1$ $S(p) = 1 // w$ басқа барлық жиіліктер үшін спектрлік функция $\omega = 0$, $S(\omega) = 1/\omega$, $S(0)=\delta(t)$ - бұл delta функциясы.

Уақыт тән тәуелділігі шығу сигналы суретінен табылуы мүмкін: $y(p) = x(p) K(p)$. $X(p) = 1$ үнитарлық функциясының кескіні Laplace-Carson түрлендіруіне сәйкес болғандықтан, өтпелі сипаттамасы трансфер функциясының түпнұсқасы болып табылады: $\Phi(t) \rightarrow K(p)$, бастапқы функция операциялық есептеу ережелеріне сәйкес оның кескінінен табылуы мүмкін немесе арнайы анықтамалық кестелерді қолдану [1].

Уақытша жауапты есептеудің тағы бір тәсілі трансфер функциясының өрнегіне негізделген (6.3). Фурье интегралының Лаплас трансформациясымен және интегралдардың интеграциялану

жағдайымен байланысына негізделе отырып, $K(j\omega)$ (6.7) беру коэффициентінің нақты $D(\omega)$ бөлігімен көрсетілген тізбектің өтпелі сипаттамасы үшін келесі формуланы алуға болады объект:

$$\Phi(t) = \frac{2}{\pi} \int_0^{\infty} \frac{D(f)}{f} \sin(2\pi ft) df. \quad (6.12)$$

Импульстік жауап $h(t)$. Импульстік жауап – нысандың жалғыз түрінде $x(t)$ енгізу әрекетіне жауап серпін немесе Delta функциясы $S(f)$ – бұл функцияның туындысы (6.11) (6.3 суретті қараңыз):

$$\delta(t) = \frac{d1(t)}{dt}. \quad (6.13)$$

Импульстің амплитудасы $A = \infty$, ұзақтығы $\tau \rightarrow 0$, импульстік облысы $S = A \cdot \tau = 1$ болады. Лаплас-Карсон түрлендіруіне сәйкес импульстік импульстің бейнесі мына формага ие:

$$\psi(p) = p.$$

Бірліктердің импульстік және бірлік функциясының суреттері $\delta(p) = 1(p)$ қатынасына байланысты. Тік бұрышты импульстің спектральды функциясының талдауынан $\tau \rightarrow 0$ ұзақтығында спектрдің ені $\Delta f \rightarrow \infty$ болып табылады.

Демек, (6.5) тендеуі бар барлық жиіліктерде $S(j\omega) = 1$ модулінің импульстік спектрлік функциясы $S_{\text{вых}}(j\omega) = K(j\omega)$ жазуға мүмкіндік береді.

Бұл жағдайда интеграл интеграциялануы жағдайында кері Фурье түрлендіруіне сәйкес импульстік жауап

$$h(t) = \frac{1}{2\pi} \int_{-\infty}^{\infty} K(j\omega) e^{j\omega t} d\omega = 2 \int_{-\infty}^{\infty} |K(f)| \cos(2\pi ft + \varphi(f)) df, \quad (6.14)$$

онда интеграл

$$\int_0^{\infty} |K(j\omega)| d\omega < \infty.$$

Интегратор түріндегі тізбектерге импульстік жауапты $K(j\omega)$ (6.7) беру коэффициентінің нақты бөлігіне есептеуге болады.

Трансформация функциясының (6.3) деноминаторында полиномның дәрежесі нөлдердегі полиномның дәрежесінен кем емес,

жоғары жиілікті аймақта нөлге дейін төмендейді деп аталады.

Мұндай тізбектер үшін

$$h(t) = 4 \int_0^{\infty} D(f) \cos(2\pi f t) df. \quad (6.15)$$

6.3.

БҮҮНДАРЫ ЖУЗЕГЕ АСЫРАТЫН САРАЛАУ ЖӘНЕ ИНТЕГРАЛДАУ СИГНАЛДАРЫ

Аналогтық сигналдарды дифференциациялау мен интеграциялауды жүзеге асыратын екі типтік сызықтық байланыстың параметрлері мен сипаттамаларын анықтаңыз, сәйкесінше дифференциациялау және интеграциялау және көптеген электрондық күрылғыларға енгізу. Біз бұл сілтемелерді келесі тәртіпте талдаймыз: электрическая схема модели звена;

- $x(t)$ кіріс сигналына қатысты $y(t)$ шығуына қатысты дифференциалдық теңдеу;
- $K(j\omega)$ байланыс коэффициенті;
- Жиілікті жауапты анықтайтын $A(\omega) = I K(j\omega) \setminus (6.8)$ модулін беру коэффициенті;
 - РСФ анықтайтын $\Theta(\omega) = \arg [K(j\omega)] \quad (6.9)$ трансферлік коэффициентінің фазасы;
 - трансфер функциясы $K(p) \quad (6.3)$, шығыс сигналының бейненің кіріс сигналына қатынасына тең, оператор деп те аталады;
- Идеал дифференциалды байланыс: (6.12) функциясының (6.11) түріндегі кіріс әрекеті бар (6.3, b суреттерін қараңыз);
 - импульстік реакция $h(t) \quad (6.15)$ кіріс әрекеті бір импульс түрінде (6.13) (6.3, c-суретті қараңыз).

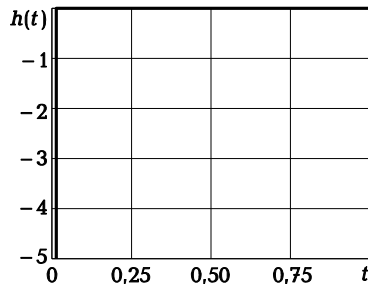
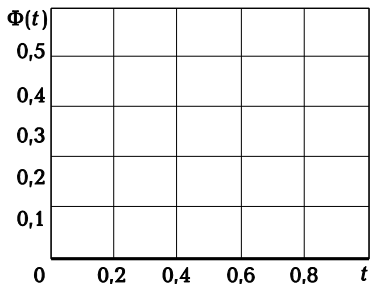
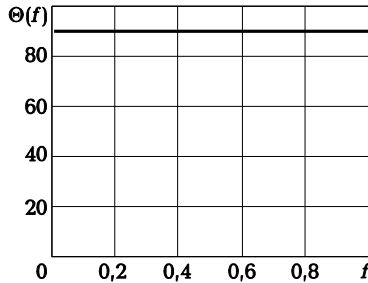
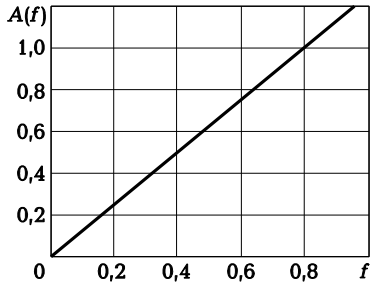
Идеал дифференциалды байланыс:

$$y = T \frac{dx}{dt},$$

мұнда T уақытша тұрақты;

$$K(j\omega) = j\omega T; A(\omega) = \omega T; \varphi(\omega) = \pi / 2;$$

$K(p) = pT$;
 $\Phi(t) = 0$ при $t > 0$, $h(t) = -\delta(t)$ — бірлік импульсі.



Сурет. 6.4. Идеалды дифференциалды байланыс сыйбасы

Инерциалды дифференциалды байланыс (сурет 6.5, а):

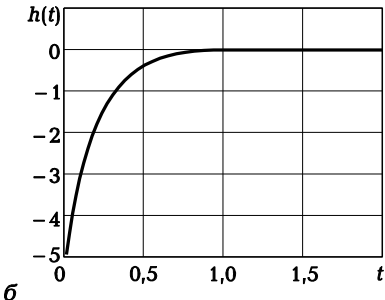
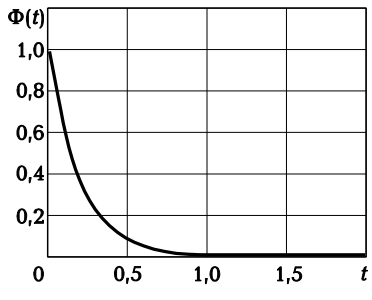
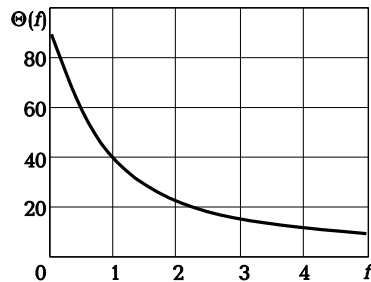
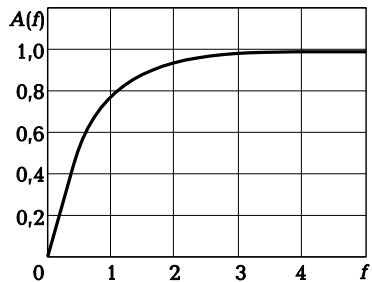
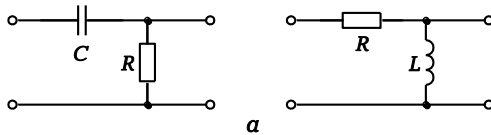
$$T \frac{dy}{dt} + y = T \frac{dx}{dt},$$

мұнда $T = RC$ или $T = L/R$ — уақытты түрақты:

$$K(j\omega) = \frac{j\omega T}{1 + j\omega T}; A(\omega) = \frac{\omega T}{\sqrt{1 + \omega^2 T^2}}; \varphi(\omega) = \operatorname{arctg}\left(\frac{1}{\omega T}\right);$$

$$K(p) = \frac{pT}{1 + pT};$$

$$\Phi(t) = \exp(-t/T); h(t) = -\frac{1}{T} \exp(-t/T).$$



Бірінші ретті интегралдау бірлігі (6.7, сүр.):

$$T \frac{dy}{dt} = x \text{ немесе}$$

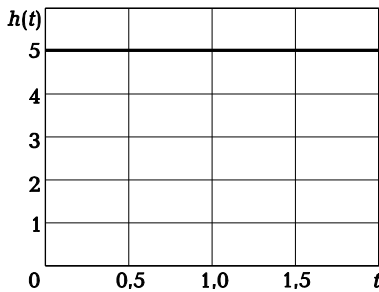
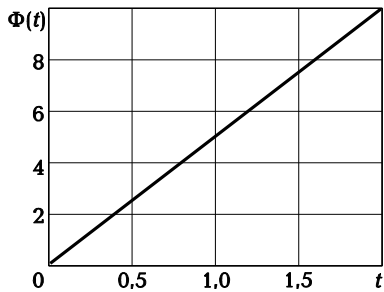
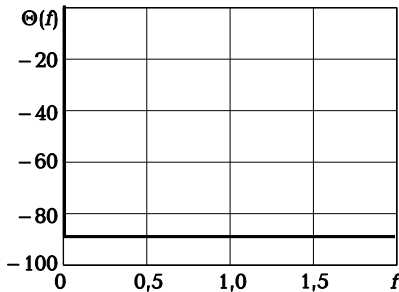
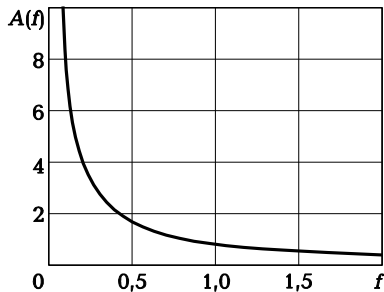
$$y = \frac{1}{T} \int x dt,$$

Мұнда $T = RC$, или $T = L/R$ — уақытты тұрақты;

$$K(j\omega) = \frac{1}{j\omega T}; A(\omega) = \frac{1}{\omega T}; \varphi(\omega) = -\frac{\pi}{2}.$$

$$K(p) = \frac{1}{pT}; \Phi(t) = \frac{t}{T}; h(t) = \frac{1}{T}.$$

Осы өрнектермен анықталған сипаттамалар $T = 0,2$ мс-та күріш көрсетілген. 6.7, b.

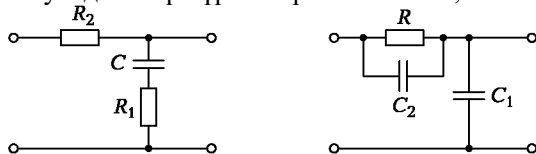


Сурет. 6.6. Мінсіз
интегралданған байланыстың
тәуелділігі

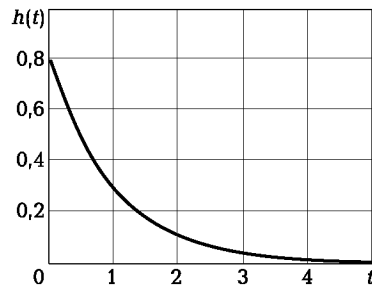
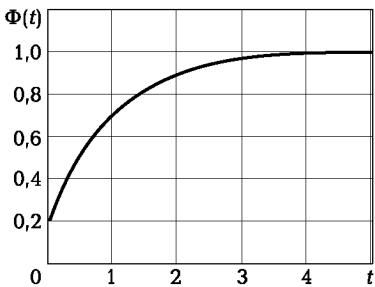
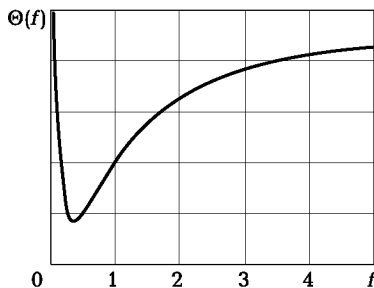
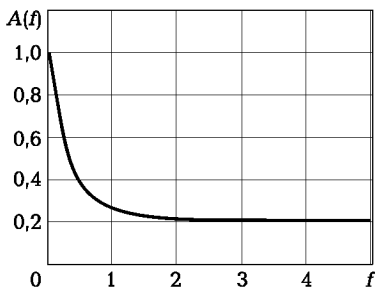
$$K(j\omega) = \frac{1 + j\omega T_1}{1 + j\omega T_2}; A(\omega) = \sqrt{\frac{1 + \omega^2 T_1^2}{1 + \omega^2 T_2^2}}; \varphi(\omega) = -\arctg\left(\frac{(T_2 - T_1)\omega}{1 + T_1 T_2 \omega^2}\right);$$

$$K(p) = \frac{1 + pT_1}{1 + pT_2};$$

$T_1 = 0,2$ мс және $T_2 = 1$ мс кезінде осы өрнектермен анықталған тәуелділіктер күріш көрсетілген. 6.8, с.

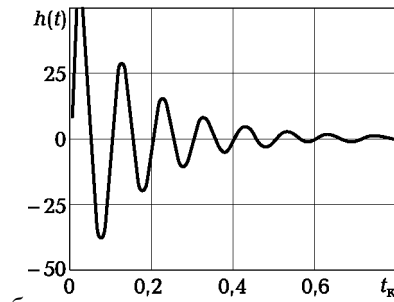
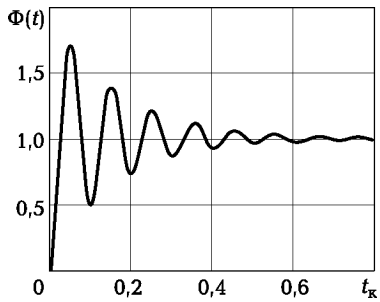
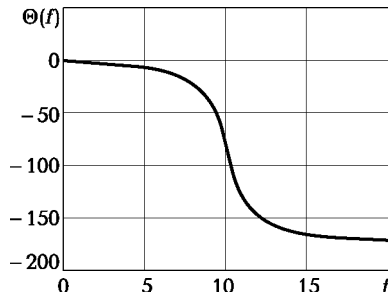
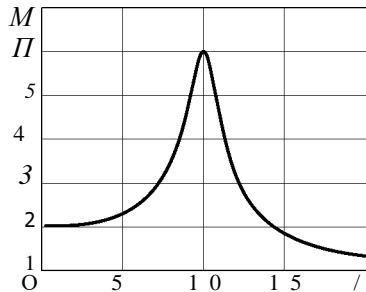
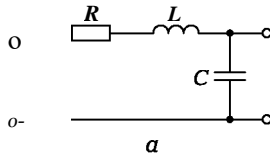


a



b

Сурет. 6.8. Пропорционалды интеграцияланатын байланыс: а - схема; және - графика



Сурет. 6.9. Екінші ретті байланыстыру: а - схема; б - графика

Екінші ретті интегралдау бірлігі (сурет 6.9, а):

$$K(j\omega) = \frac{b_0}{a_0 + j\omega a_1 + (j\omega)^2 a_2};$$

$$K(p) = \frac{b_0}{a_0 + a_1 p + a_2 p^2}.$$

Суретте көрсетілген схема бойынша. 6.9, коэффициенттер тиісінше:

$$a_0 = b_0 = \omega_p^2 = (2\pi)^2 f_p^2; a_1 = 2\omega f_p / Q; a_2 = 1.$$

онда f_p - резонанстық жиілік; $f_p = 1/2 \pi \sqrt{LC}$; $Q = L\omega_p / R$.

Осы тізбектің жұмысын анықтайдын тәуелділіктер $f_p = 10$ кГц, $Q = 5$ сур. 6.9, б.

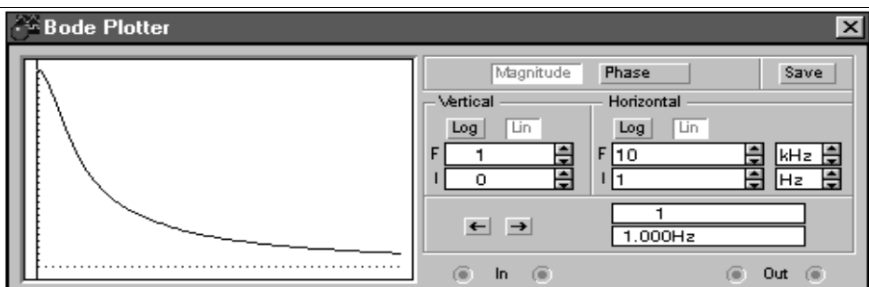
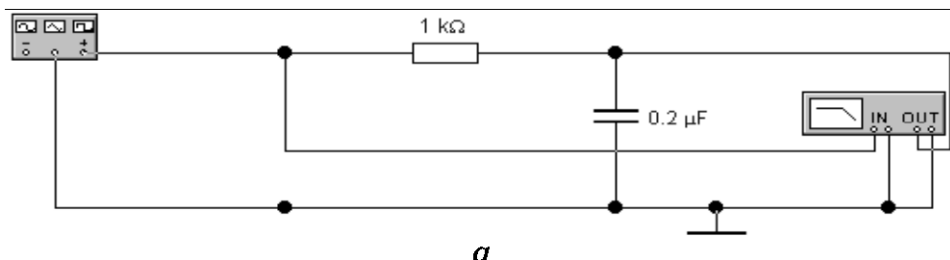
Электронды тізбектерді одан әрі модельдеу мен талдауды жалғастырmas бүрын, осы мәселе жөнінде толығырақ тоқталайық.

Мұндай модельдеудің бірінші кезеңі электронды тізбектердегі процестерді математикалық талдаудан тұрады, бұл арнайы өзірленген программалық пакеттердің колдана отырып, компьютердің көмегімен тиімдірек жүзеге асырылады.

Келтірілген екі пакетке: Mathcad [7] және Electronics Workbench [9] туралы қысқаша тоқталайық.

Формула, мәтіндік және графикалық формула бойынша үш редакторлардан тұратын «Mathcad» бағдарламалық пакеті функцияларды және өрнектерді жазудың математикалық әдістерін және кестелер мен графиктер түрінде компьютермен жасалған есептеу нәтижелерін алуға мүмкіндік береді.

- Пайдалануышы компьютермен ыңғайлы графикалық интерфейстің колдана отырып, өзара әрекеттеседі:
- пиктограммалар;
- тілқатысу терезелері;
- мәзір;



Сурет. 6.10. Біріктіру тізбегінің тізбегі (а) және амплитудалық жиілік

сипаттамасы (b)

- опциялар;
- дисплей экранындағы басқа «құралдар». «Mathcad» құрамына көптеген операторлар, кіріктірілген функциялар мен «Электроника» курсында талқыланған барлық сұрақтарға тікелей қолданылатын математикалық мәселелердің әртүрлі шешімдерін шешу алгоритмдері кіреді. «Mathcad» 32-биттік жадты пайдаланып, құрделіліктің құрделілігін есептеудің дәлдігі мен жылдамдығын арттыруды.

«Mathcad» пакетін пайдалану арқылы келесі математикалық мәселелерді шешуге болады:

- нақты және құрделі мөлшерде және сандармен жұмыс жасайды;
- алгебралық мәселелердің барлық түрлерін шешуге;
- Taylor және Fourier серияларындағы функцияларды кеңейту;
- векторлармен және матриналармен әрекеттерді орындау;
- логикалық операцияларды орындау;
- функцияны сараплау және біріктіру;
- Фурье және Лаплас түрлендіруін енгізу;
- дифференциалдық теңдеулер жүйесін шешу.

Электрондық Workbench бағдарламасының пакеті: транзисторлар, диодтар, резисторлар, конденсаторлар, трансформаторлар, индукторлар және басқа да элементтерді қамтитын құрылғының схемалық схемасын жасауға мүмкіндік береді;

электронды тізбектің жиілігі мен уақыттық сипаттамаларын есептеу және құру; исследовать переходные процессы в устройстве.

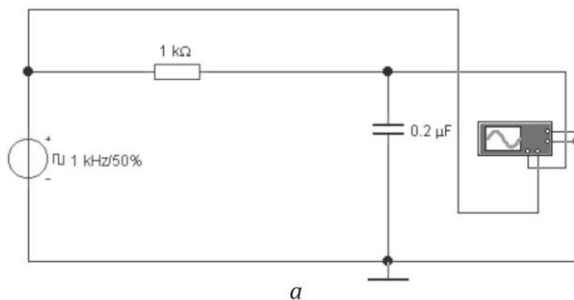
Бағдарламаның айрықша ерекшелігі – индустримальды әріптестеріне үқсас сыртқы түрлер мен сипаттамаларда құрал-саймандардың және сигналдардың әртүрлі көздерінің болуы.

Осындай виртуалды генераторларды және өлшеу құралдарын, соның ішінде осцилографтарды құрылғыға қосу арқылы электрондық тізбектегі процестерді зерттеуге болады.

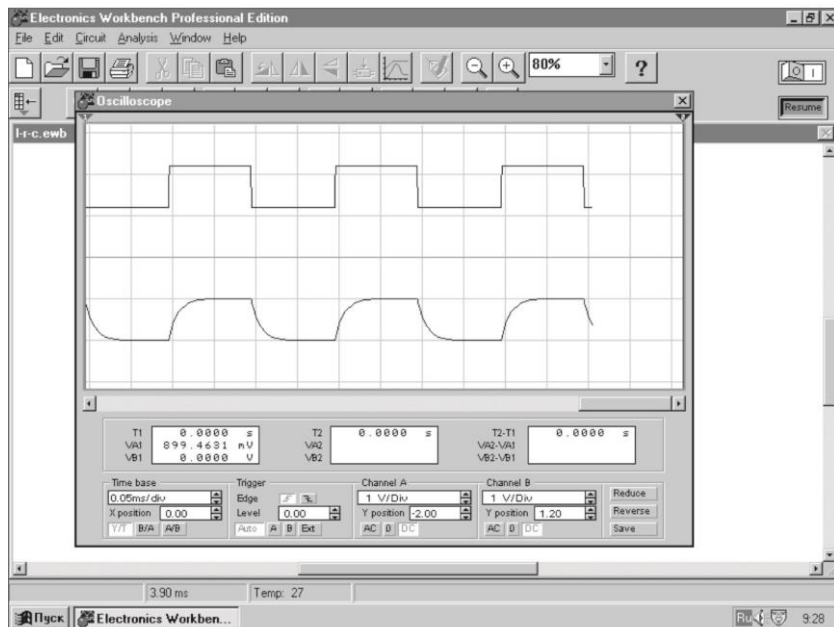
Схеманың құрылымын өзгерту, оның жеке элементтерінің параметрлері мен қосылыстары, жобаланған электронды құрылғының қажетті онтайлы жиілігі мен уақыттық сипаттамаларына жетуге болады.

Электрондық Workbench бағдарламалық пакетін пайдаланып қарастырылған негізгі тізбектерді қарастырамыз.

Интегралды DS-тізбегі. Схеманы жаңғырту, онымен байланысты құрылғылар және процестерді талдау ережелермен, сипатталғандай [9]. Схеманың жиіліктік қасиеттерін талдау үшін мұнданың схема күріш. 6.10, а. Қарастырылған мысалда $R = 103 \Omega$, $C = 0,2 \times 10^{-6} \text{ ф}$, $T = RC = 103 \Omega \cdot 0,2 \cdot 10^{-6} \text{ Ф} = 0,2 \cdot 10^{-3} \text{ с} = 0,2 \text{ мс}$. Осы параметрлерде алғынған жауап, күріш. 6.10, б.

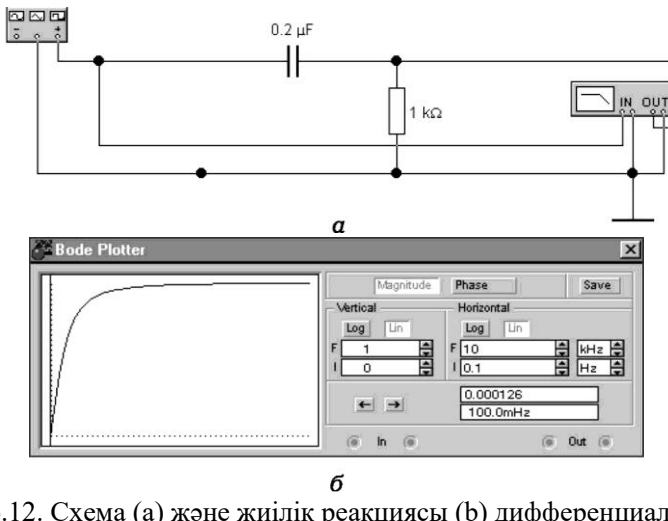


a



b

Сурет. 6.11. Интегралдау тізбегі: а - схемасы; б - кіріс және шығыс сигналдары



Сурет. 6.12. Схема (а) және жиілік реакциясы (б) дифференциалдық тізбектің

Кіріс сигналының тізбектегі жиілігін өзгерту виртуалды осциллоскоптың жиіліктік жауп экранында алуға мүмкіндік беретін реттелетін жиілік генераторы арқылы жүзеге асырылады.

Схеманың уақыттық қасиеттерін талдауға мүмкіндік беретін схема күріш. 6.11, а, оның көмегі арқылы алынған, виртуалды осциллографтың (тәменгі осциллограмма) экраны бойынша өтпелі жауп - сур. 6.11, б. Өтпелі реакцияны құру үшін қажетті кіріс кернеуінің тоғысы тік бұрышты импульстік генераторды қолдану арқылы тізбекте жүзеге асырылады.

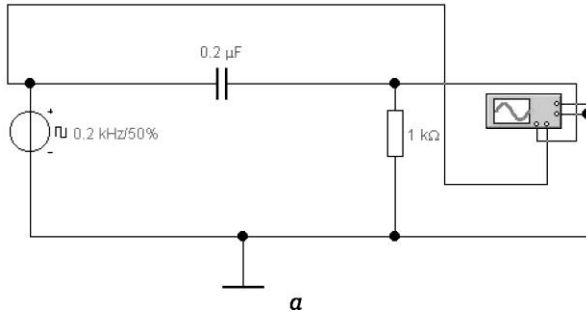
DS-тізбегін дифференцирлеу. Сол процедуралы [9] қолданып, RC дифференциациялау тізбегін зерттейік (6.12, а). Жоғарыда қарастырылған мысалда көрсетілгендей, $R = 103 \text{ Ом}$, $C = 0,2 \times 10^{-6} \text{ Ф}$, $T = PC = 103 \text{ Ом} \cdot 0,2 \cdot 10^{-6} \text{ Ф} = 0,2 \cdot 10^{-3} \text{ с} = 0,2 \text{ мс}$. Осы параметрлерде алынған жауапсурет. 6.12, б.

Сигналдағы кіріс сигналының жиілігі экранда «виртуальды» осциллографты AFC алуға мүмкіндік беретін жиілікте реттелетін осциллятор арқылы өзгертиледі.

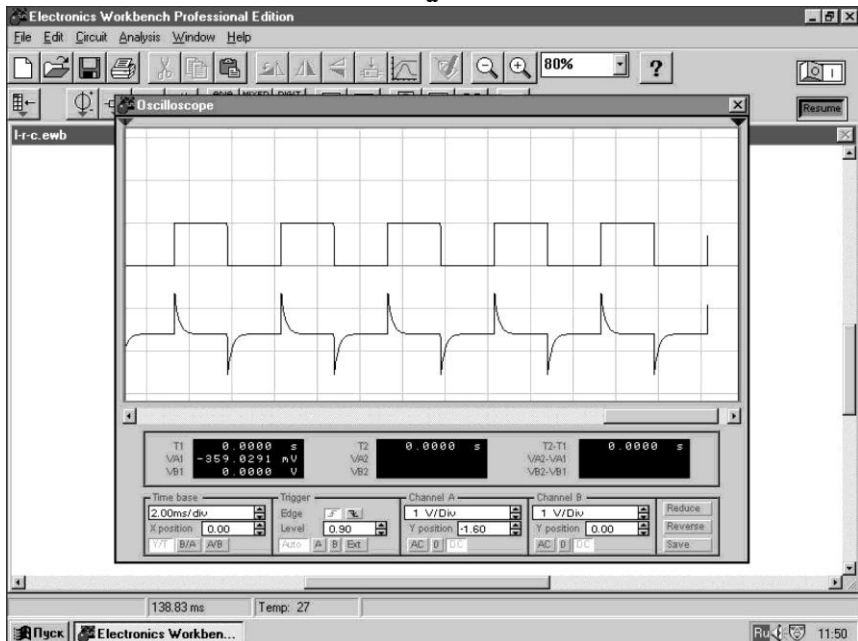
Осы сарапанған тізбектің уақыттық қасиеттерін талдауға мүмкіндік беретін схема күріш. 6.13, а. Оның көмегімен алынған «виртуальды» осциллографтың (тәменгі осциллограмма) экраны бойынша өтпелі сипаттамасы күріш. 6.13, б. Өтпелі реакцияны құру үшін қажет кіріс кернеуіндегі секіріс тік бұрышты импульстардың генераторы арқылы

тізбекте жүзеге асырылады.

Екінші ретті электр тізбегін біріктіру. Сол процедураны [9] колданып, екінші интегралды электр тізбегін зерттейміз



a



б

Сурет. 6.13. Дифференцирленетін тізбек: а - схема; б - кіріс және шығыс сигналдары

тапсырыс. Схеманың жиілік қасиеттерін талдау үшін схема күріш

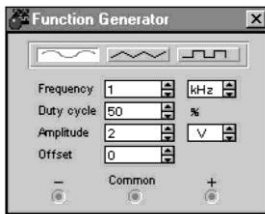
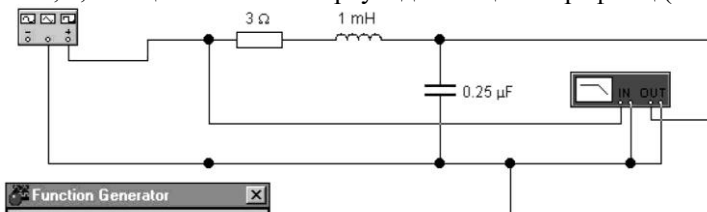
көрсетілген. 6.14, а және онымен алынған жиілік реакциясы күріш. 6.14, б. Суретте көрсетілген элементтердің параметрлері көрсетілген. 6.14, а, резонанстық жиілік және Q факторы тиісінше

$$f_p = \frac{1}{2\pi\sqrt{1 \cdot 10^{-3} \cdot 0,25 \cdot 10^{-6}}} = 10,06 \text{ кГц};$$

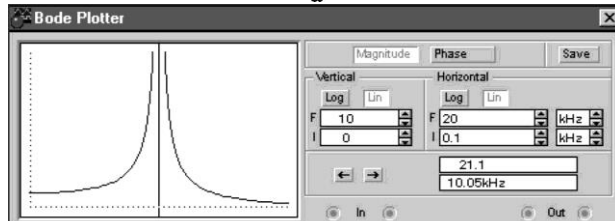
$$Q = 2\pi f L / R = 2\pi \cdot 10,06 \cdot 10^3 \cdot 1 \cdot 10^{-3} / 3 = 21.$$

Kipic сигналының тізбектегі жиілігін өзгерту жиілікте реттелетін осциллятор көмегімен жүзеге асырылады, бұл экранда «виртуалды» осциллографты AFC алуға мүмкіндік береді (6.14, б-суретті қараңыз).

Схеманың уақыттық қасиеттерін талдауға мүмкіндік беретін схема сурет 6.15, а, оның көмегімен «виртуалды» осциллографтың (төменгі

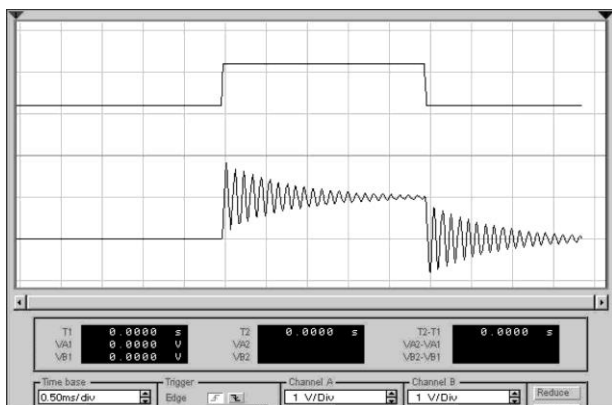


a

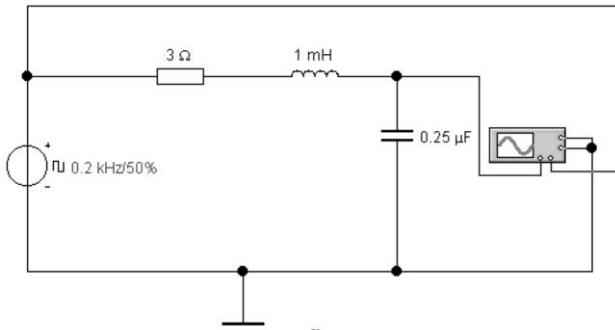


b

Сурет. 6.14. Екінші ретті интегралды схеманың схемасы (а) және амплитудалық-жүйлік сипаттамасы (б)

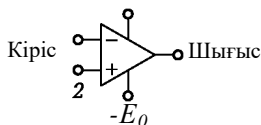


Сурет. 6.15. Екінші ретті тізбектің интегралдау: а - тізбегі; б - кіріс және шығыс сигналдары



Oscillogram) суретте көрсетілген. 6.15, б. Отпелі реакцияны құру үшін қажетті кіріс кернеуінің тоғысы тік бұрышты импульстік генераторды колдану арқылы тізбекте жүзеге асырылады

6.4. ОПЕРАЦИЯЛЫҚ КУШЕЙТКІШТЕР



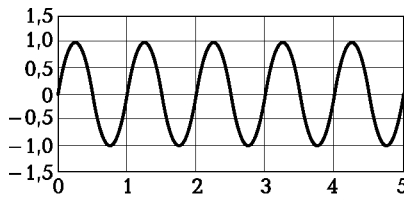
ОУСурет. 6.16. ОС функционалдық схемасы

Аналогтық сигналдармен жұмыс: сигналды күшейту, екі сигналды жинақтау және алу, сигналдың дифференциациясы және интеграциясы, сигналды сұзу. 2 кіріс және бір шығуды қамтитын жедел күшейткіштің тізбектеріндегі әдеттегі суретте көрсетілген. 6.16. Суреттегі 1 кіріс шығыс сигналына қатысты, яғни сигналдың фазасын 180° айналдырып, кіріс 2 - төңкерілетін, яғни турақты сигнал фазасын қалдырады. Сигналды фазалық айналдыру 180° айналдыруға сәйкес келеді, яғни кері.

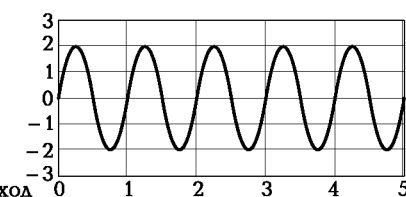
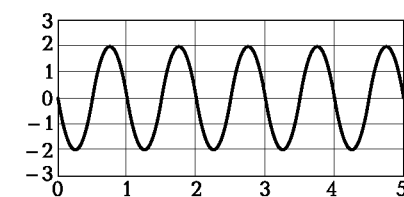
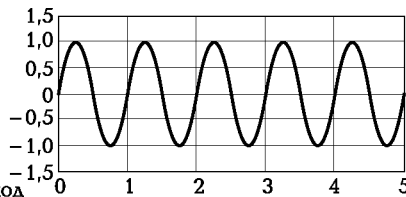
Күшейткіштің 1 төңкерілген сигналына синусоидалы сигналды колдану арқылы шығу кезінде күшейткіш сигнал алынады, фазада 180° ауысады (6.17, а). Бірдей сигнал төңкерілетін 2 кірісіне қолданылғанда, күшейткіштің шығыс сигналы кіріс сигналымен фазада болады (6.17, б. сурет).

Интегралды нұсқадағы OU тізбегі көптеген транзисторлар мен он және кері байланыстың бірнеше ішкі тізбектерін қамтиды. Алайда ортамптың кіріс сатысы әдетте схемага сәйкес жасалған

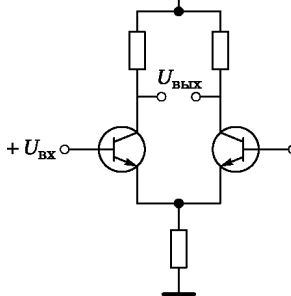
a



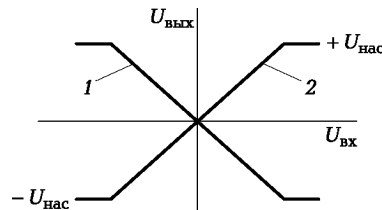
b



Сурет. 6.17. Сигналды қолданған кезде оп-амптың кіріс және шығысындағы сигналдар: а - инверттелген кіруге; б - инвертириленбеген кіріс



Сурет. 6.18. Дифференциалдық қүшшайткіш тізбегі



Сурет. 6.19. Опаманың амплитудалық сипаттамалары:
1 - төңкерілгенде енгізу; 2 - төңкерілетінді енгізу арқылы

$$U_{\text{вых}} = K_y (U_{\alpha x2} - U_{\alpha x1}), \quad (6.16)$$

- төңкерілетінді енгізу қатысты 1

$$U_{\text{вых}} = -K U_{\alpha x1};$$

- кірісіне қатысты 2

$$U_{\text{вых}} = K U_{\alpha x2};$$

Оп-амптың жұмысының тұрақтылығын арттыру және әртүрлі операцияларды орындау үшін қүшшайткіштің шығысын 1 төңкерілетін кіруге қосылу арқылы теріс кері байланыс қолданылады. Нәтижесінде тізбектің қүшшайту коэффициенті едәуір төмендейді және бұл кері байланыс циклінің параметрлеріне көп тәуелді болады. Кері байланыс кері байланысты төңкерілетін 1 (сурет 6.20), амп

$$K_{y1} = -\frac{U_{\text{вых}}}{U_{\alpha x1}} = -\frac{Z_2}{Z_1}. \quad (6.17)$$

2-суретке сәйкес, төңкерілетін 2 кірісіне байланысты кері байланыспен.

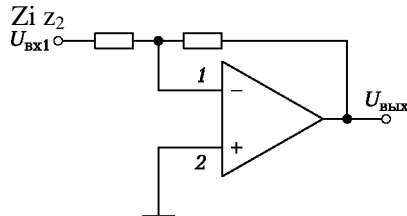
6.21

$$K_{y2} = -\frac{U_{\text{вых}}}{U_{\alpha x2}} = 1 + \frac{Z_3}{Z_4}. \quad (6.18)$$

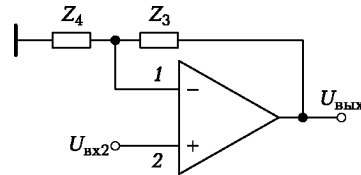
Әр түрлі операцияларды орындау үшін оған қосылған қосымша

элементтермен (резисторлар мен конденсаторлар) оп-амптың бес сұлбасын қарастырайық.

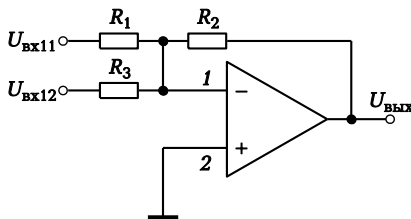
Мысал 6.1. Екі кернеудің жиынтығы фиг-суретте көрсетілген схема бойынша жүзеге асырылады. 6.22. Бұл жағдайда (6.17) шығу кернеуі



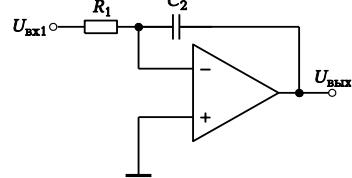
Сурет. 6.20. ОС схемасы кіріс сигналының 1 жағынан



Сурет. 6.21. Опама схемасы кіреберіс осінен ось 2



Сурет. 6.22. Оп-амп көмегімен сигналдарды жинақтау



Сурет. 6.23. Оп-амп көмегімен сигналды біріктіру

$$U_{\text{вых}} = -\frac{R_2}{R_1} U_{\text{ex}11} - \frac{R_2}{R_3} U_{\text{ex}12}. \quad (6.19)$$

Мысал 6.2. Кернеуді біріктіру, яғни операцияны орындау схема бойынша жүзеге асырылады.

$$U_{\text{вых}}(t) = \frac{1}{T} \int_{t_1}^{t_2} U_{\text{ex}_1}(t) dt \quad (6.20)$$

6.23. (6.17) тармағына сәйкес, тізбекті беру коэффициенті

$$K_{y1}(j\omega) = -\frac{Z_2}{Z_1} = -\frac{1}{j\omega T}, \quad (6.21)$$

онда T - уақытша тұрақты, $T = R_1 C_2$.

Трансмиссия коэффициенті (6.21) күріштің сипаттамалары көрсетілген мінсіз интеграторға сәйкес келеді. 6.6.

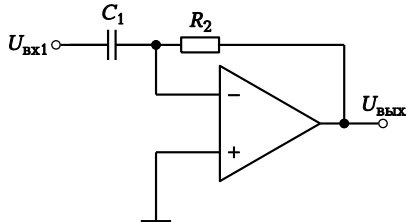
Мысал 6.3. Кернеудің дифференциациясы, яғни операция

$$U_{\text{вых}}(t) = -T \frac{dU_{\text{ex}_1}}{dt}, \quad (6.22)$$

схемаға сәйкес жүзеге асырылады. 6.24. Бұл жағдайда, (6.17) тармағына сәйкес, тізбекті беру коэффициенті

$$K_{y1}(j\omega) = -\frac{Z_2}{Z_1} = -j\omega T, \quad (6.23)$$

онда T - уақытша тұрақты, $T = R_2 C_1$.



Беріліс коэффициенті (6.23) күріштің сипаттамалары көрсетілген мінсіз дифференциациялаушы элементке сәйкес келеді. 6.4.

Мысал 6.4. Белсенді төмен өту сүзгісі. Белсенді сүзгілер теріс кері байланыс схемасына байланысты қажетті жиіліктік жауап қалыптасқан озық күшеткіштерге негізделген белсенді деп аталады. Оп кері байланыс схемасына әртүрлі элементтерді қосу арқылы белсенді сүзгінің белсенді жиіліктік белсенділігін қалыптастыруға болады.

Электрондық Workbench бағдарламалық пакетін пайдаланып, төмен өткізгіштің сүзгінің (LPF) жұмысының талдайық (6.25-график). Сәйкес (6.17) және сурет . 6.25 және сүзгі беру коэффициенті

$$K_1(j\omega) = -\frac{Z_2}{Z_1} = -\frac{X_C R_2 / (X_C + R_2)}{R_1} = -\frac{R_2 / R_1}{1 + j\omega R_2 C_2}. \quad (6.24)$$

Оның (6.24) сүзгіштің жиіліктік коэффициентінің модулі немесе модулі үшін бізде бар

$$|K_1(j\omega)| = \frac{R_2 / R_1}{\sqrt{1 + \omega^2 T^2}}, \quad (6.25)$$

онда T - уақытша тұрақты, $T = R_2 C_2$.

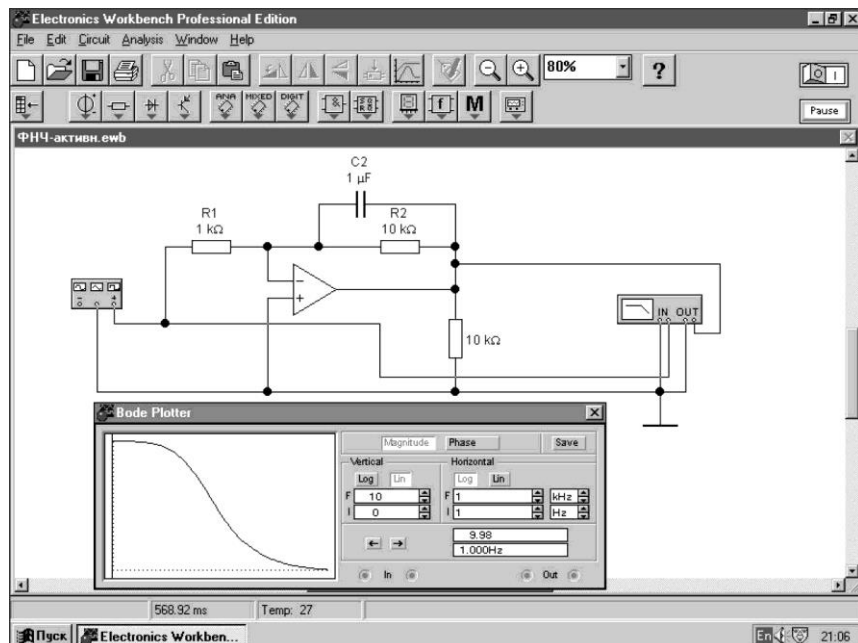
Функция (6.25) $C_2 = 1 \text{ мкФ}$, $R_1 = 1 \text{ кОм}$ және $R_2 = 10 \text{ кОм}$, бұл (6.25) LPF фр. 6.25, b.

6.5. Белсенді жоғары сүзгі сүзгісі. Оп-амптың теріс кері байланыс схемасындағы басқа элементтерді қосқанда, сүзгінің басқа түрі алынуы

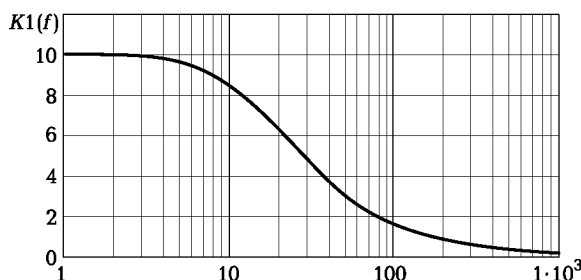
мүмкін. Осылайша, күріш. 6.26, а, жоғары өткізгіштік сұзгіге (HPF) сәйкес келеді, ол бойынша (6.17) сәйкес кешенді беру коэффициенті

$$|K(j\omega)| = -\frac{Z_2}{Z_1} = -\frac{R_2}{R_1} \frac{j\omega R_1 C_1}{1 + \omega R_1 C_1}, \quad (6.26)$$

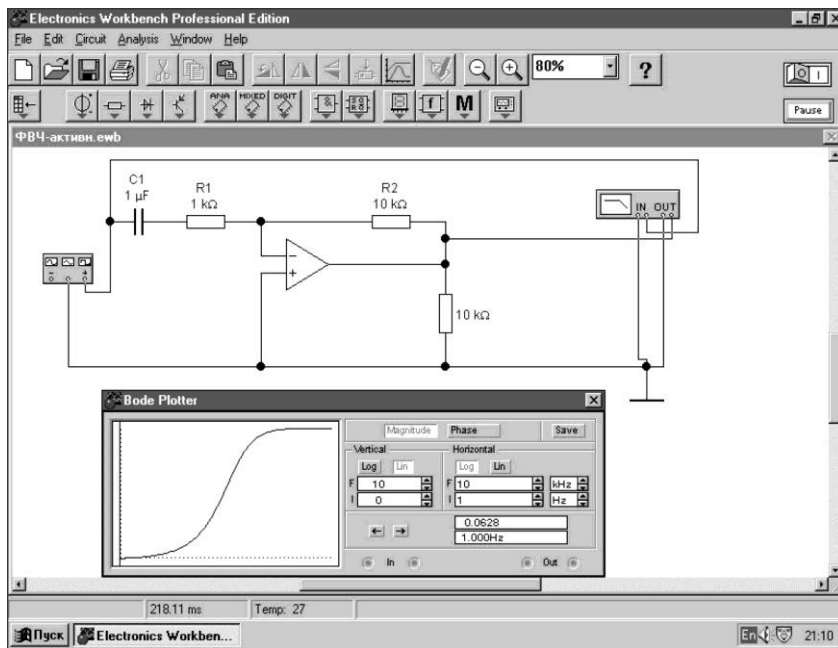
мұнда T - уақытша тұрақты, $T = R_1 C_1$. Оның (6.26) модулін беру коэффициенті және сұзгінің жиілік реакциясы үшін біз аламыз



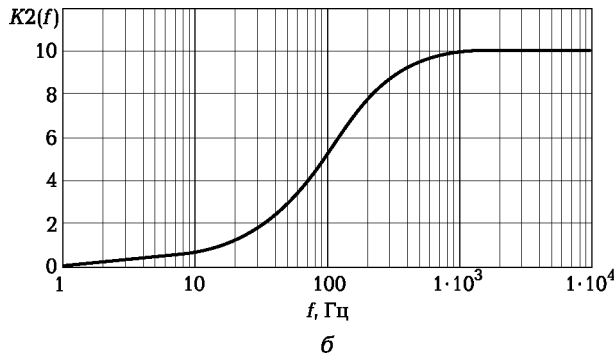
a



Сурет. 6.25. Оп-амптер негізінде LPF: а - схемасы; б - тән
110



a



b

Сурет. 6.26. ОЖ жүйесіндегі HPF: а - схемасы; б - тән

$$|K_2(j\omega)| = \frac{R_2}{R_1} \frac{\omega T}{\sqrt{1 + \omega^2 T^2}}, \quad (6.27)$$

онда T - уақытша тұрақты, $T = R_1 C_1$.

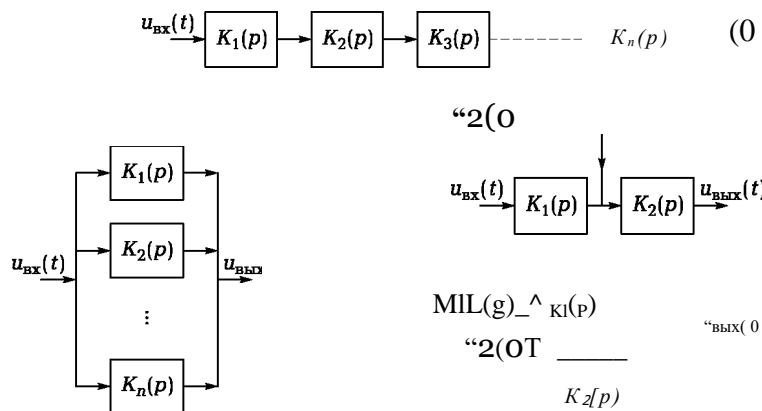
$C_1 = 1 \text{ мкФ}$, $R_1 = 1 \text{ кОм}$ және $R_2 = 10 \text{ кОм}$ болатын функциялары (6.27) күріш. 6.26, a, HPF, күріш. 6.26, b.

ОС күшейткіштің көмегімен электрондық құрылғыларды қалыптастырудың бес мысалынан басқа, басқа да жағдайлар мүмкін.

6.5. КӨП-КАСКАД СЫЗЫҚТЫ ЭЛЕКТРОНИКАЛЫҚ ҚҰРЫЛҒЫЛАРДЫ ТАЛДАУ

Көптеген электрондық құрылғылар әртүрлі сілтемелер – төрт порты болып табылады. Бұл каскадты (төртбұрышты жеңіл) қосылым - жүйел (каскадты), параллель, екі кіріс және теріс кері байланыспен төрт ең кең таралған түрі. 6.27. Бұл құрылғылар жалпы оператордың көмегімен сипатталуы мүмкін.

Бір-бірімен байланысқан каскадтардың жалпы құрылыштық операторы (6.27, а-сурет), өзара әсер етпеген кезде, жеке операторлардың өнімі болып табылады:



6

Сурет. 6.27. Схемаға қосылу сілтемелері:

a — дәйекті; және - параллель; c - екі кірісімен; g - кері байланыспен

$$K(p) = \prod_{i=1}^n K_i(p). \quad (6.28)$$

Құрылғының жалпы операторы параллельді байланысқан каскадтардан (сурет 6.27, б) өзара әсер етпеген кезде жеке операторлардың сомасы ретінде анықталады:

$$K(p) = \sum_{i=1}^n K_i(p). \quad (6.29)$$

Құрылғының жалпы пайдаланушысы екі кірісімен (Сурет 6.27, с):

$$K(p) = K_1(p)K_2(p) + K_2(p)K_U(p), \quad (6.30)$$

где $K_U(p) = u_2(p)/u_{bx}(p)$.

Кері байланыс тізбегі үшін (6.27-график, г)

$$u_{bx}(p) = K_1(p)[u_{ax}(p) - K_2(p)u_{bx}(p)].$$

Демек, теріс кері байланысқа ие құрылғының жалпы операторы үшін (Сурет 6.27, д)

$$K(p) = \frac{K_1(p)}{1 + K_1(p)K_2(p)}. \quad (6.31)$$

Барлық нысандың белгілі бір операторымен бірге берілген әдістеме бойынша. 6.2 желілік электронды құрылғының жиілігін және уақыттық сипаттамаларын тұтастай есептеуге болады

БАҚЫЛАУ СҮРАҚТАРЫ²

2. Сызықтық және сызықты емес арасындағы айырмашылық неде?
3. 2. Қандай сипаттамалар жиілік деп аталады?
4. 3. Қандай сипаттамалар уақытша деп аталады?
5. 4. ОЖ қандай мақсатта пайдаланылады?
6. 5. Теріс кері байланыспен қүшейткіштің ерекшеліктері қандай?

ЭЛЕКТРОНДЫҚ ҚҰРЫЛҒЫЛАРДЫҢ АНАЛОГЫ

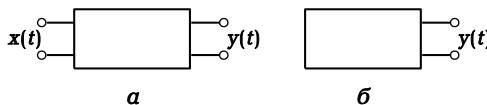
7.1. ЖАЛПЫ ҚҰРЫЛҒЫЛАРДЫҢ СИПАТТАМАСЫ

Сызықты емес аналогтық құрылғылар желілік сипаттамаларға, яғни мақсаттарға және жиілік диапазондарына сойкес жіктеледі (6.1-бөлімін караңыз). Электрондық элементтер инерциялық электр тізбектерімен үйлесімде сызықты емес динамикалық байланыстар мен құрылғыны қалыптастырады. Соңғысы мыналарды қамтиды: төмен жиіліктік және жоғары жиілікті сигнал күштейткіштері, мультиплексорлар және жиілік бөлгіштер, жиілік түрлендіргіштері және автоматты генераторлар.

Осы құрылғылардың әр түрлілігін ескере отырып, оларды екі үлкен класқа бөлуге болады: автономды емес және оқшауланбаған (7.1-сурет).

Автономдық емес құрылғылардың белгілері (сурет 7.1, а) мыналар:

- $y(t)$ шығыс сигналының $x(t)$ және $x(t) = 0$ сигналдарына тәуелділігі, әдетте, $y(t) = 0$;
- құрылғы арқылы өтетін кіріс сигналының бір немесе бірнеше параметріне, мысалы, күштейткіштерде – сигнал қуатында, түрлендіргіштерде – жиілікте әсер ету.



Автономды құрылғылардың белгісі (7.1, b) – бұл сыртқы әсердің болмауы, оларда $y(t)$ шығу сигналы құрылғының өзі ғана анықталады. Мысалы, өзін-өзі тербелу жиілігі тербеліс жүйесінің параметріне байланысты және сигнал күші электронды құрылғыдан және оның жұмыс режимінен тұрады.

Жоғарыда айтылғандай, электронды құрылғылардың сызықтығы электр қозғалтқыштың электр және магнит өрістерімен олардың жұмысына негізделген электронды құрылғыдағы өзара әрекеттесудің күрделі сипаты болып табылады. Бұл процестің мұндай сызықты емес сипатының сыртқы сипаттамасы электрондық құрылғы амплитудалық

сипаты болуы мүмкін, яғни тәуелділік $U_{\text{вых}} = \Phi_1 (U_{\text{вх}})$ және фазалық-амплитудалық сипаттамасы $\Delta\phi = \Phi_2 (U_{\text{вх}})$, яғни, күшетілген сигнал фазасының амплитудасының тәуелділігі.

Осы сипаттамаларды алу тәртібін қарастырыңыз. Біз құрылғының (төрт терминалы) сигналын (7.1а суретін қараңыз) енгіземіз

$$x(t) = U_{\text{вх}} \sin(\omega t + \phi_{\text{вх}}). \quad (7.1)$$

Оның шығарылымы бойынша біз азламыз

$$y(t) = U_{\text{вых}} \sin(\omega t + \phi_{\text{вых}}). \quad (7.2)$$

Кіріс сигналының амплитудасын біртіндеп өзгертіп, құрылғының амплитудасы мен фазалық-амплитудалық сипаттамаларын алғып тастаймыз:

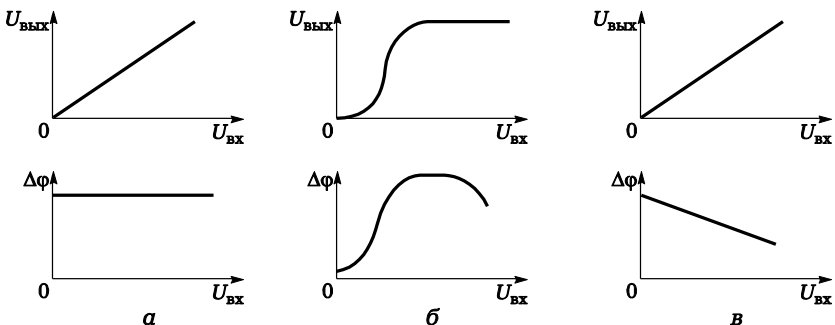
$$U_{\text{вых}} = \Phi_1 U_{\text{вх}} \quad \text{и} \quad \Delta\phi = \phi_{\text{вых}} - \phi_{\text{вх}} = \Phi_2(U_{\text{вх}}). \quad (7.3)$$

$\Phi_2 (U_{\text{вх}}) = \text{const}$ кіріс сигналының амплитудасының фазалық айырмашылығының сыйықтық амплитудасы $\Phi_1 (U_{\text{вх}})$ тәуелділігі және сыйықтық (сурет 7.2, а). Егер осы екі жағдайдың біреуі сәтсіз болса, тізбек сыйықсыз болады (7.2-сурет, б, с). Сыйықтық құрылғы мен сыйықты емес құрылғы арасындағы айырмашылықтың тағы бір белгісі демалыс сигналы спектрінің нысаны болып табылады (6.1 бөлімін қараңыз).

Осылайша, екі сипаттаманың (7.3) формасы мен спектрдің құрылымы электронды құрылғының сыйықты немесе сыйықты емес екенін анықтауға болады.

- Сыйықсыз тізбектерді талдаудың келесі әдістері бар:
 - аналитикалық, әдетте, құрылғының жұмысын сипаттайтын сыйықты емес тендеулер жүйесін шешудің жуықтап әдісі;
 - компьютерді колданатын бағдарламалар бойынша бірдей сыйыкты емес тендеулер жүйесін шешудің сандық жолдары;
 - инерциалды емес сыйықтық емес элементпен графикалық;
 - құрылғының шығуындағы сигналдардың жоғары гармоникасын сүзгілеу кезінде гармоникалық сыйықтандыру;
 - спектрлік, шығыс сигналының спектрінен тізбектің сыйықты емес қасиеттерін бағалау.

Келтірілген мысалдардың көмегімен сзықты емес тізбектерді талдаудың осы үш әдісін қарастырайық.



Сур. 7.2. Электронды құрылғылардың амплитудасы мен фазалық-амплитудалық сипаттамалары:

7.2. ГРАФИКАЛЫҚ ТАЛДАУ ӘДІСІ

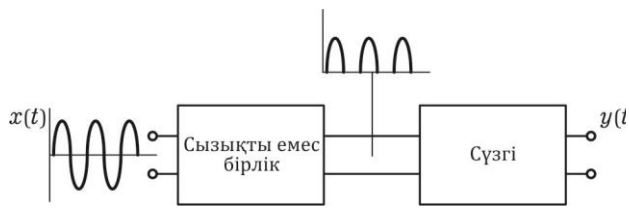
Кіріс сигналы синусоидальды кернеудің әсеріне байланысты конструкцияларға сәйкес демалыс токі амплитудасы бар импульстік түрін қабылдайды. Сурет. 7.3. Импульстік сипаттамасын графикалық анықтау

7.3. МЕТОД ГАРМОНИЧЕСКОЙ ЛИНЕАРИЗАЦИИ

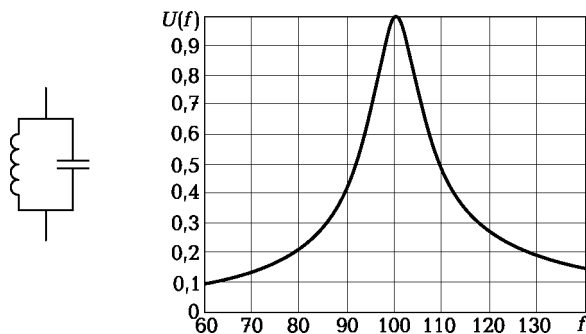
Екі байланыстың: сзықты және желілік сүзгі болып табылатын және сигналдың алғашқы гармоникасын ғана өтетін құралды қарастырайық (7.4-сурет).

Сзықты сигналды сзықты емес сілтеменің шығуындағы импульстардың пішінін қабылдайтын құрылғының кірісіне береміз. Фурье қатарлары мерзімді дәйектілікке бөлінеді (2.3 бөлімін қараңыз). Төменгі бұрыштық бұрышпен $\Theta = 90^\circ$ (7.3а-суретті қараңыз) косинол толқындық импульстердің мерзімді реттілігі үшін бағдарламаға сәйкес (2.2.3-суретті қараңыз)

$$i(t) = I_m[0,318 + 0,5\cos(\omega t) + 0,212\cos(2\omega t) - 0,042\cos(4\omega t)]. \quad (7.4)$$



Сурет. 7.4. Сүзгісі бар сзыбыкты емес құрылғы



Көптеген жағдайларда синусоидалы сигналдың пішінін оның шығуындағы бұрмалау арқылы тізбектің сыйықты емес қасиеттеріне қарап, ете қиын. Осындағанда сигналдың амплитудасы спектрін салыстыру негізінде спектральды әдіс. Бұл әдіспен сынақ сигналы шығу сигналы комбинациялық спектрін алуға мүмкіндік беретін және талданатын құрылғының сыйықты емес қасиеттерін сандық бағалауға мүмкіндік беретін екі жиілікті сигнал болуы мүмкін. Талдау әдісі қазіргі заманғы электроникада кеңінен қолданылғандықтан, алдымен екі жиілікті сигналдың құрылышын толығырақ карастырамыз, ол жиілікте орналасқан екі синусоидалы сигналдардың сомасы ретінде ұсынылады:

$$u_{BX}(t) = U_1 \sin(2\pi f_1 t) + U_2 \sin[2\pi(f_1 + F)t] = A(t) \sin[2\pi f_1 t + \Theta(t)], \quad (7.5)$$

Мұнда $A(t)$ - сигнал амплитудасы; $\Theta(t)$ - жалпы сигналдың фазасы,

$$A(t) = U_0 \sqrt{1 + p^2 + 2p \cos(2\pi F t)}; \quad (7.6)$$

$$\Theta(t) = \arctg \frac{p \sin(2\pi F t)}{1 + \cos(2\pi F t)}. \quad (7.7)$$

Мұнда p - сигнал амплитудасының қатынасы, $p = U_2/U_1$. $P = 1$ үшін өрнек (7.5) пішінді қабылдайды

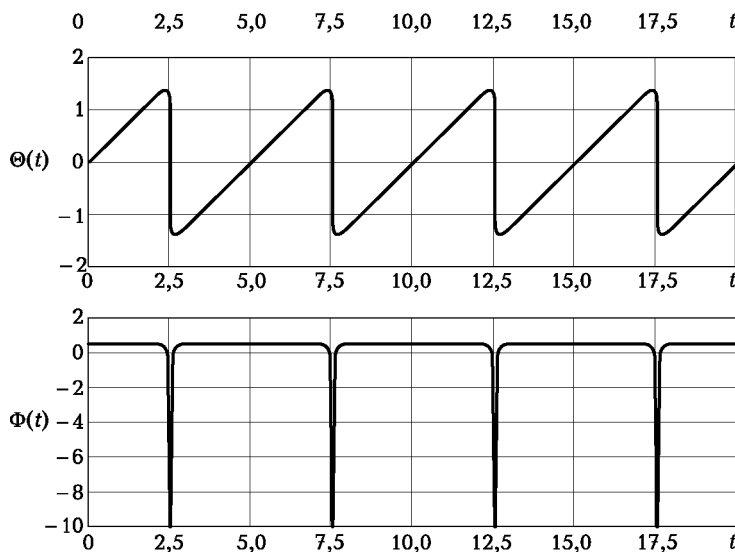
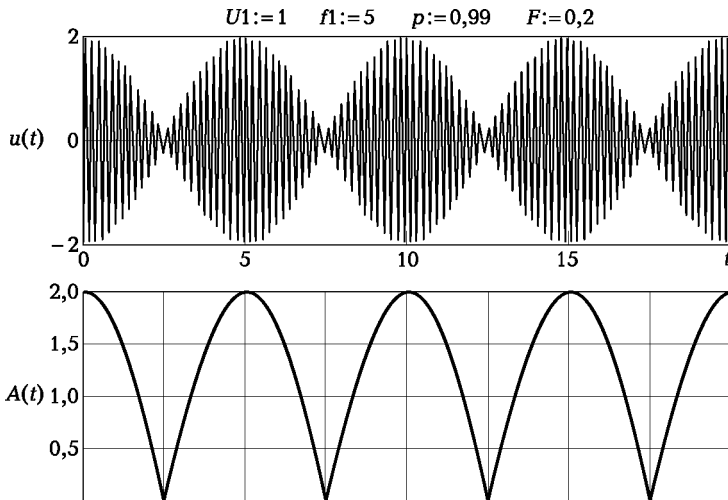
$$u_{BX}(t) = 2U_1 \cos(\pi F t) \sin[2\pi(f_1 + 0,5F)t]. \quad (7.8)$$

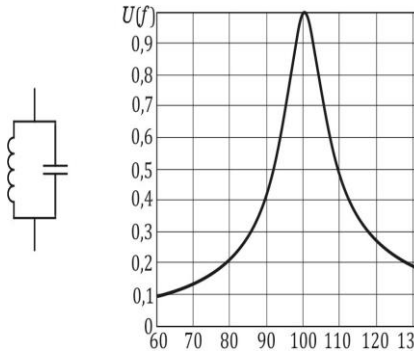
(7.6) ... (7.8) сәйкес, екі жиілікті сигнал амплитудасы мен фазалық модуляциясы бар сигнал болып табылады, сондықтан оны бір жиілікті режимде алынған және суретте көрсетілгендей құрылғыларға талдау жасау үшін қолдануга болады. 7.2. Біз екі жиілікті сигналдың (t) амплитудасының (t) , фазаның (t) және уақытша жиілігін (t) есептеуге арналған бағдарламаны ұсынамыз:

$$\begin{aligned} U1 &:= 1 \\ f1 &:= 5 \\ p &:= 0.99 \\ F &:= 0.2 \\ u(t) &:= U1 \cdot \sin(2 \cdot \pi \cdot f1 \cdot t) + p \cdot U1 \cdot \sin[2 \cdot \pi \cdot (f1 + F) \cdot t] \\ s(t) &:= \sin(2 \cdot \pi \cdot F \cdot t) \\ c(t) &:= \cos(2 \cdot \pi \cdot F \cdot t) \\ A(t) &:= U1 \cdot \sqrt{1 + p^2 + 2 \cdot p \cdot c(t)} \end{aligned}$$

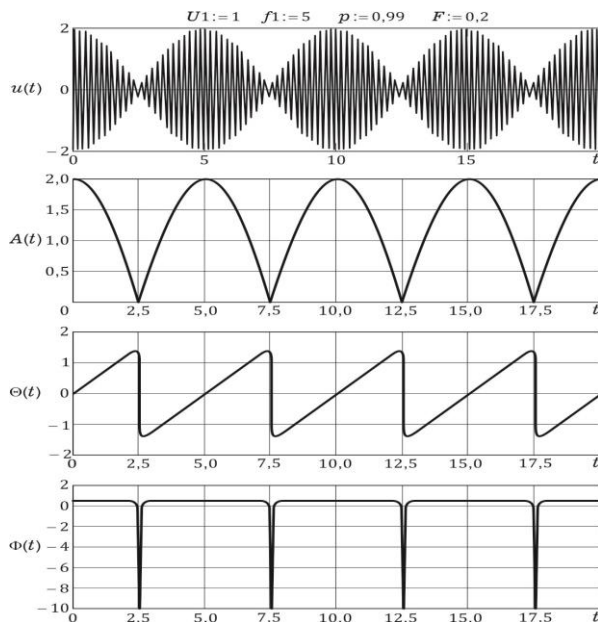
$$\Theta(t) := \arctan(p \cdot \frac{s(t)}{1 + p \cdot c(t)})$$

$$\Phi(t) := \frac{p^2 + p \cdot c(t)}{1 + p^2 + 2 \cdot p \cdot c(t)}$$

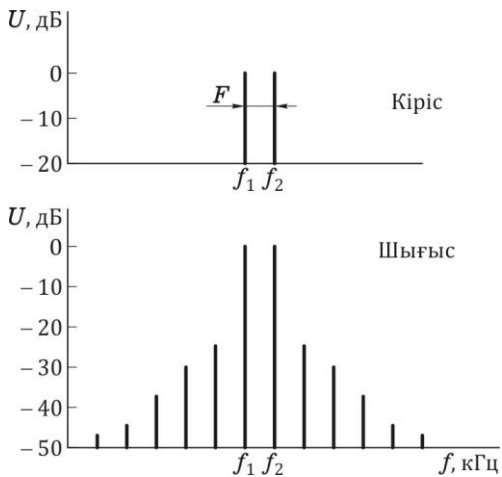




Сурет. 7.5. Параллельді осцилляторлық схема



7.6. Суретте көрсетілгендей, тербеліс фазасы (f) бір тербеліс кезеңінде F айрыымдық жиілігімен өзгереді. $P = 1$ кезінде фаза артқы әйнек заңына сәйкес секіріп, амплитудасы модулінің терендігі 100% -ға өзгереді



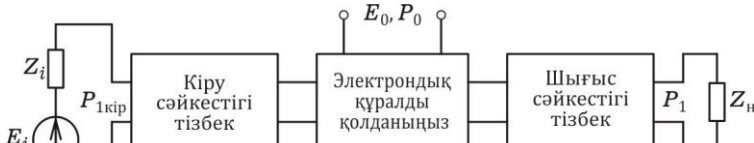
Сурет. 7.7. Аralас спектрі
Бағдарламаны $p = 0.99$ -да графиктер
түрінде есептеу нәтижелерін күріш.

Белгілі амплитудасы мен фазалық-амплитудалық сипаттамалары бар сызықтық емес тізбектің шығу комбинациялық спектрі (7.2 суретті қараңыз) бағдарламадан есептелуі немесе схеманың немесе құрылғылардың кіруіне екі жақты сигнал қолдану арқылы алынуы мүмкін (7.5). Раман спектрінің мысалы мысалда көрсетілген. 7.7. Бұл спектрдегі спектральды компоненттер F айырмашылық жиілігінің аралықпен жүреді. Комбинация құрамдас бөліктерінің деңгейінде тізбектің сызықты емес қасиеттерін бағалауға болады: жоғары деңгейде үлкен сызықтық емес сызба көрсетіледі.

7.5.

СЫРТҚЫ ҚОЗҒАЛЫСТАҒЫ ГЕНЕРАТОР

Сыртқы қозғаумен генератордың мақсаты жоғары жиілікті тербелістердің қуатын күшету болып табылады. Функционалдық сұлбасы, күріш. 7.8, үш каскадты төрт порттан тұрады: кіріс және шығыс электр тізбектеріне және электронды құрылғыға сәйкес - транзистор немесе шам



Сурет. 7.8. Сыртқы қозғаумен генератордың функционалдық схемасы

Электр тізбектерінің мақсаты электронды құрылғының кіріс және шығыс кедегілеріне, сәйкесінше, қозғау көзі мен жүктемемен, сондай-ақ сигналдың жоғары гармоникасын сұзгілеу болып табылады.

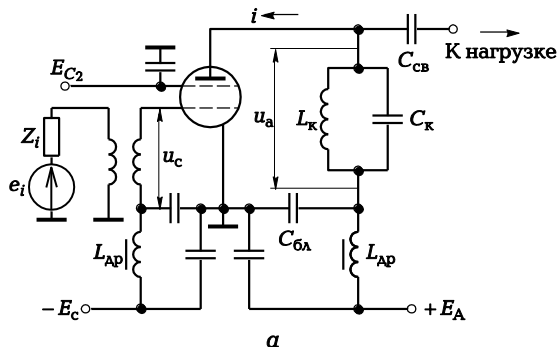
Жоғары жиілікті генератордың үш типтік схемасы (лампетр тетрода, биопарлы және далалық әсерлі транзисторлармен) күріш. 7.9. Осы сыйбалардың ұқсастығы гармоникалық линеаризация әдісіне сәйкес жүзеге асырылады (7.3 белімін қараңыз). Процестердің түрлі физикалық табиғаты қарамастан генератордың шығыс тізбегінің олардың ағымдағы вольтты мінездемесін талдау ресми ұқсастық ескере отырып, басқа электрондық құрылғылар, биполярлы және ерістік транзисторлардың жылу өткізгіштігі жалпы түрғысынан, барлық жағдайларда бірдей. Жоғары тиімділігі генераторын алу үшін барлық ток импульсінің демалыс (анод, жинаушы немесе су төгетін) сур құрылыштардың орындалуы тиіс қысқартылған косинусын жақын форумы бар онда сызықтық емес режимінде жұмыс істейді. 7.3, а, мұнда i - электрондық құрылғыдағы демалыс ток, I_h - кіріс кернеуі.

Төмендегі негізгі параметрлер генераторлардың барлық түрлерінің сыртқы қозғаумен жұмыс істейін анықтайды: жүктеме кіретін РЖ сигналының тербеліс қуатын, P_p қуат көзінен Р0-дан DC тұтыну қуаты; тиімділігі (тиімділігі) коэффициенті $\eta = P_1/P_0$; $K_p = P_1 / P_{1_{bx}}$ қуатының күшейту коэффициенті, мұнда $P_{1_{bx}}$ - кіріс сигнал көзінің қуаты; жиіліктер белдеуінің ені.

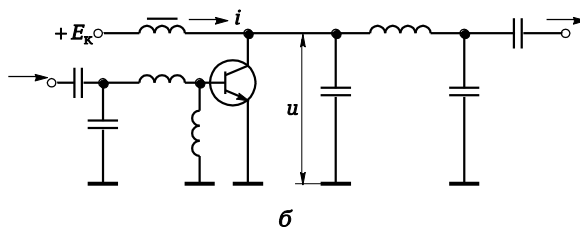
Генератордың электронды құрылғысында Р0 қуаты бар тұрақты ток көзінің энергиясын Р1 қуаты бар жоғары жиілікті тербелістердің энергиясына түрлендіреді. Бұл қуаттар үшін

$$P_o = P_1 + P_p, \quad (7.9)$$

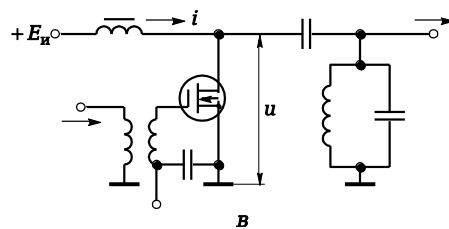
онда P_p - электрондық құрылғыдағы жылу түрінде таратылған қуат (шамда - анодта, биполярлық транзисторда - коллекторда, ерісте - су ағызганда).



a



b



c

Диссипация қуатын белгілі бір интегралдың көмегімен есептеуге болады:

$$P_p = \frac{1}{2\pi} \int_0^{2\pi} i(\omega t)u(\omega t)d\omega t, \quad (7.10)$$

мұндағы $i(\omega t)$, $u(\omega t)$ - электронды құрылғының шығуындағы ток және кернеу.

Сигналдың бірінші гармоникасының шығу қуаты

$$P_I = 0,5I_1U_m. \quad (7.11)$$

Тікелей ток көзінен тұтынылатын қуат

$$P_0 = I_0 U_0 \quad (7.12)$$

Генератордың шығу тізбегінің тиімділігі

$$\eta = P_1 / P_0. \quad (7.13)$$

Әдетте, генератордың жиілігі неғұрлым жоғары болса, соғұрлым аз тиімділік. Орташа алғанда, жоғары дәрежелі генераторлардың дұрыс жұмыс режимімен жұмыс тиімділігі 50% -дан төмен емес.

7.6.

АВТОГЕНЕРАТОРЛАР

Жоғары жиілікті тербелістерді қалыптастыру қағидасы.
Суреттегі параллельді осцилляторлық схемада тербелістердің демалу процесін қарастырайық. 7.10, белсенді қарсыласуымен анықталатын энергия шығыны.

Конденсатордың сыртқы көзінен зарядталғанға дейін зарядталғаннан кейін тізбектегі тербелмелі тербелістер пайда болады

$$y(t) = E e^{-\alpha t} \cos(\omega_1 t), \quad (7.14)$$

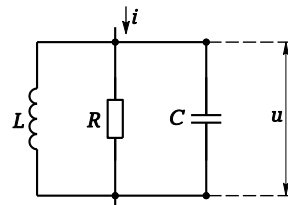
$$\text{где } \omega_1 = \sqrt{\omega_0^2 - \alpha^2}; \quad \omega_0 = \frac{1}{\sqrt{LC}}; \quad \alpha = \frac{1}{2RC} = \frac{\omega_0}{2Q};$$

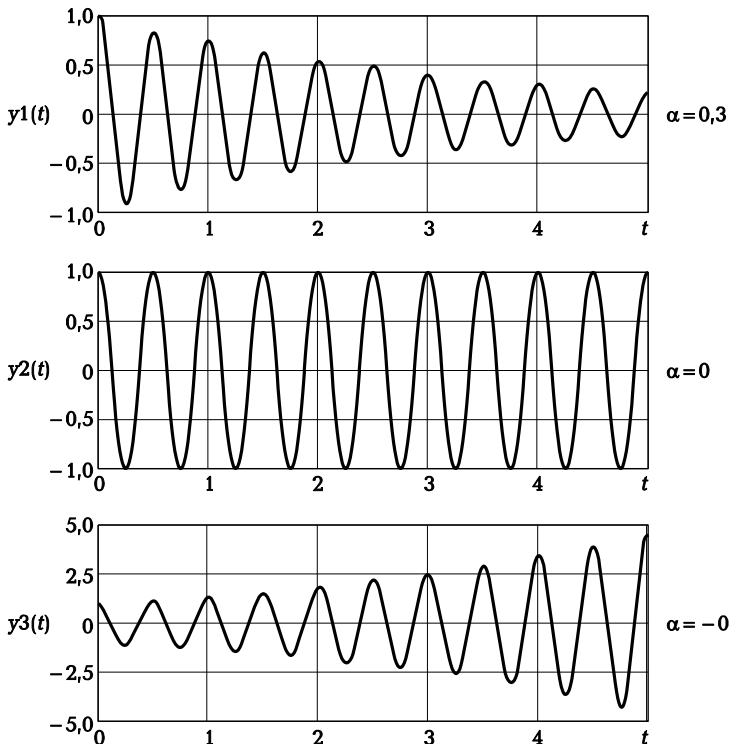
Q — контурдың сапа факторы, $Q = \omega_0 RC$.

(7.14) сәйкес тербелістердің демпферлік жылдамдығы а немесе Q -фактор коэффициентімен анықталады, $\alpha = 0$ үшін функция (7.14) күріш. 7.11, а.

Демптирленген тербелістерді, яғни тұрақты амплитудасы бар тербелістерді алу үшін, $\alpha = 0$ немесе $Q = \infty$ коэффициенті болуы керек. Бұл жағдайда тербеліс контурының резонанстық жиілігімен дәл осцилляция жиілігі $\omega_1 = \omega_0$ болып табылады. Екінші жағынан, (7.14) - дан келген кез-келген кішігірім теріс мәндер үшін $\alpha < 0$ болса, тербелістердің амплитудасының шексіз ұлғаюы орын алады (сур. 7.11, в), ол сайып келгенде әкеледі

конденсатордың электр бөліктеріне және, демек, жол берілмейді.

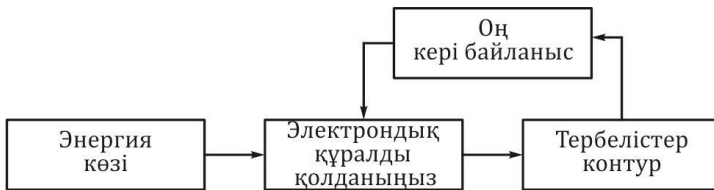




Сурет. 7.11. Ауытқу түрлери

Демек, өздігінен тербелу режимін қамтамасыз ету үшін $\alpha = 0$ тұрақты, өзгермейтін мәніне ие болу керек. Керісінше, $\alpha > 0$ кезінде тербелістер ыдырайтын болады, ал $\alpha < 0$ үшін ол шексіз артады. Осындағы тұрақты, тұрақтылық ауытқу режимі ұсынылған құрылғы автоматты генератор деп аталады, ол өздігінен осциллятордың жалпыланған блок-схемасы көрсетілген. 7.12.

Бұл схемада тербеліс тізбегіндегі сигналдың бөлігі электронды құрылғыны оң кері байланыс тізбегі арқылы енгізіледі, ал қүшеткіш кейін қайтадан схемаға қайта оралады. Бұл жағдайда екі шартты орындау қажет. Біріншіден, тізбеке кіретін қосымша қуаттың мөлшері оның жоғалтқан энергиясына тең болуы керек, себебі оның R кедеріне белсенді қарсылықтары бар (7.10-суретті қараңыз). Екіншіден, қосымша тербелістер негізгі тербелістермен фазада сәйкес келуі керек. Транзисторлы авто-



Сурет. 7.12. Автогенератордың блок-схемасы

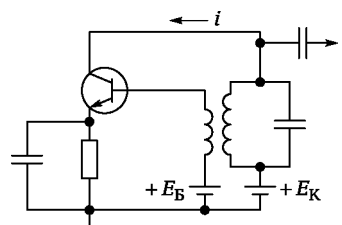
генератор, осы талаптарды қанағаттандыратын, күріш. 7.13. Басқа схемалар [3].

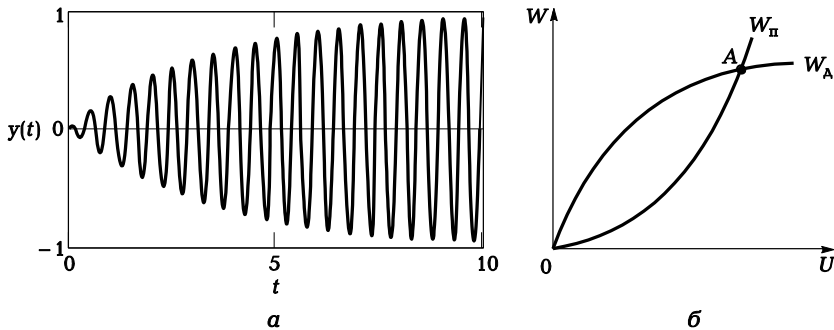
Өздік осциллятордың негізгі тендеуі. Екі энергиялардың тенгерімі негізінде өздігінен тербелістің тұрақтылығын қарастырайық: тізбекте сақталатын және кері байланыс циклі арқылы қосымша оған жеткізілетін энергия. W_m -нің қосымша энергиясын жоғалту энергиясын білдіреді. Автогенераторды қосқаннан кейін, өздігінен тербелу амплитудасының ұлғаюын қамтамасыз ететін $W_A > W_n$ болуы керек (7.14-сурет, а).

Жүйесін жеткеннен кейін $W_A = W_n$ тендік одан әрі ұлғайту ауытқуына коэффициенті $\alpha = 0$. аузы-жаңашыл өзін-өзі тербеліс режимін орын амплитудасы тұрақты азайту және жұмыс режиміне оралады, ол $W_A < W_n$ болуы тиіс. Жоғарыда айтылған суретте көрсетілгендей, байланысты $W_A > W_n$ және $W_A(U)$ суреттейді. 7.14, б, У - амплитудасы автоматты жылжу нұктесі А - тұрақты тепе-тендікке мемлекет сәйкес келеді. Осылайша, дұрыс таңдау кезінде генератор күріш тиісті, өз жұмысын режимінде. автоматты түрде 7.14, б, тербеліс постоянство амплитудасын қамтамасыз динамикалық тепе-тендікти орнату (қараңыз. сур. 7.14, а).

Автогенераторды гармоникалық линеаризацияция әдісімен талдауга болады, өйткені осы әдісті қолдануға арналған шарт - осцилляторлық схеманың көмегімен сигналдың бірінші гармоникасын таңдау ғана орындалады (7.3-бөлімін қараңыз).

Озін-өзі генератордағы $i(t)$ электронды құрылғының ағымы синусоидальдықтан айтарлықтай ерекшеленеді және косинус пен басқа да курделі импульстік пішіндерден тұратын мерзімді ауытқуды білдіреді. Кеңейтеді





Сурет. 7.14. Тербелістің кез-келгеніне арналған осцилляторлар: а - осцилограмма; және б - диаграмма

Фурье қатарындағы мерзімді тербелістерге (2.10) сәйкес сигналдың алғашқы гармоникасын бөліп шығарамыз, ол үшін біз жазады: $I_1 = I_m$, мұнда I_m - импульстік амплитудасы; $a_1 = 0,5$ қисығы бұрышында $\phi = 90^\circ$ (7.3а-суретті қараңыз). Төмендегі параметрді енгізіңіз: сигналдың алғашқы гармоникасына қатысты электронды құрылғылардың сипаты: $B_u = 11 / u_y = 1\text{max} / \omega_{0m}$, онда U_y - құрылғының кірісіндегі басқару кернеуінің амплитудасы және сигналдың бірінші гармоникасының күрделі амплитудасы үшін келесі теңдеулер жүйесін жазыңыз:

$$\begin{aligned} I_1 &= S_y \underset{*}{U_y}; \\ U_m &= I_1 \underset{*}{Z_{\text{ЭКВ}}}; \\ U_y &= K U_m. \end{aligned} \tag{7.15}$$

Мұнда U_m - тербелістердегі гармоникалық стрестік амплитудасы, цикл;

*

$Z_{\text{ЭКВ}}$ - айналдыруға төзімділік

*

сигналдың алғашқы гармониясы жиілігінде K - бұл кері байланыс коэффициенті.

Біртекті теңдеулерді шешу (7.15) біз өздігінен осциллятордың негізгі теңдеуін сигналдың бірінші гармоникасына қатысты кешенді түрде аладыз: $S_y Z_{\text{ЭКВ}} K = 1$. (7.16)

Бұл теңдеу модульдің өнімі мен амплитудасы мен фазалардың тепе-тендігінің теңдеуі деп аталатын фазалардың сомасы үшін теңдеулерге бөлінеді:

$$S_y Z_{\varphi_{KB}} K = 1. \quad (7.17)$$

$$\varphi_y + \varphi_{KB} + \varphi_K = 2\pi\eta. \quad (7.18)$$

Амплитудалық баланстың тендеуінен (7.17) шығатын тізбектегі энергияны толығымен толтыру керек, яғни екі энергияның тендігі үшін жоғарыда аталған шарт - W контурында жоғалтылған және қосымша WA .

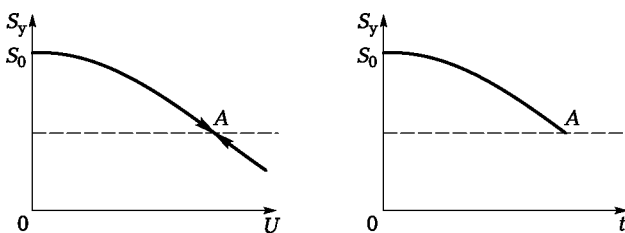
Фазалық баланс тендеуінен (7.18) келесі шартты сақтау қажет: схемаға енгізілген қосымша тербелістер қазірдің өзінде қолданыстағы фазамен сәйкес келуі керек.

Косымша энергияның мөлшері K коэффициентінің көрінісінде арқылы реттелуі мүмкін және оның сатысы оның фазасына байланысты болады. Электрондық құрылғының сигналдың фазасын n-ға жақын сомага айналдырғандықтан, онда (7.18) сәйкес сигнал фазасы көрінісінде циклінің арқасында бірдей мөлшерде өзгеруі керек.

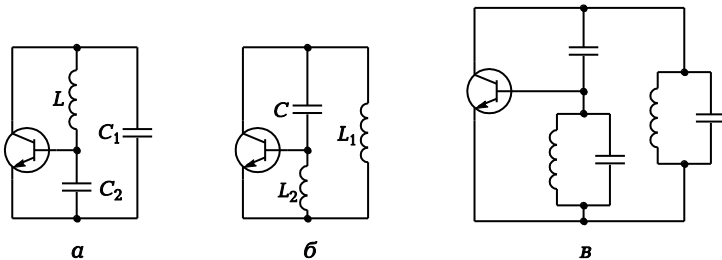
$T = 0$ кезінде тербеліс амплитудасы аз болғандықтан, басқару элементтінің $B_0 = S_0$, яғни электрондық құрылғының сипаттамасының статикалық көлбеуі. Бұл жағдайда өзін-өзі қоздырыштың келесі өзін-өзі қоздыру шарты орындалуы туиі:

$$S_o Z_{\varphi_{KB}} K > 1. \quad (7.19)$$

U-ның өзін-өзі тербелуінің амплитудасы арта түскен сайын, Будың мәні белгіленген режимге сәйкес келетін мәнге дейін азаяды. В0о (u) және S (t) тәуелділіктері күріш. 7.15. Графиктегі A нүктесі өзін-осциллятордағы динамикалық тепе-тендік жағдайына, яғни энергетикалық тендік $W_A = W_n$ немесе баламалы амплитудалық баланстың тендеуіне сәйкес келеді (7.17).



Сурет. 7.15. Тұрақты қүйдегі осциллятор режимінің схемасы



Сурет. 7.16. Өздігінен қозғалтқыштың үш тізбегі

Өздігінен қозғалатын генераторлар сұлбасы. Ең жиі қолданылатын үш нүктелі автоматты генераторлы схема - суреттегі екі нұсқада ұсынылған. 7.16, а, б. Алғашқы схемалар сыйымдылық деп аталады, онда кері байланыс коэффициентінің модулі - $K = C_1 / C_2$; екіншісі индуктивті, онда $K = L_2 / L_1$ модулі. Екі схеманы екі цикле теңестіруге болады (7.17, с) және өздігінен генератордың басқа схемалары.

Арнайы топ кварцтық осцилляторлардан тұрады, мұнда генерацияланған ауытқулар жиілігінің жоғары дәлдігі мен тұрақтылығы кварц резонаторымен қамтамасыз етіледі.

Электрондық Workbench бағдарламалық жасақтамасын пайдаланып, өзін-осцилляторлардың бірнеше типтік схемаларын талдаймыз.

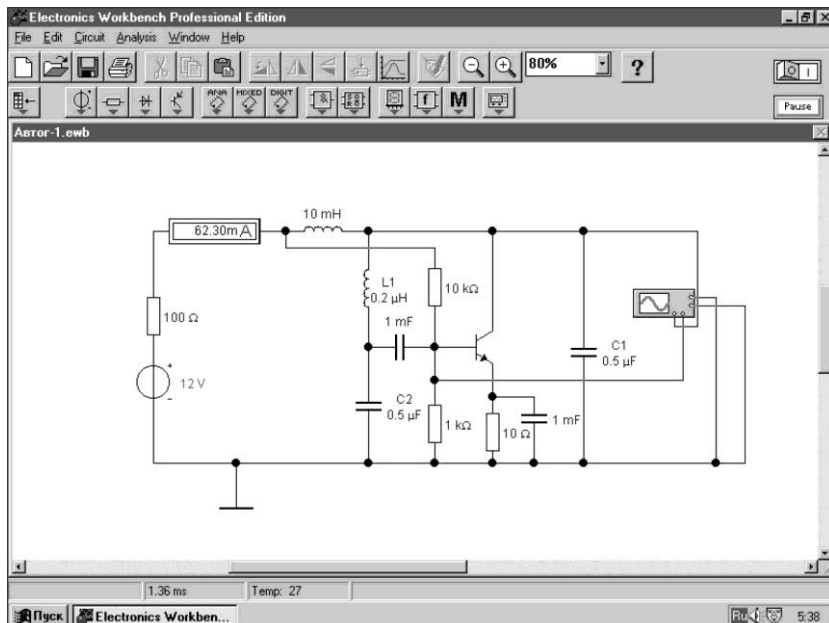
Параметрлік тұрақтандырумен автожаздырығыш.

Параметрлік жиілікті тұрақтандыруға ие генераторлардың схемалары кварцты емес дәп те аталады. 3-диаграммада сыйымдылықты қосылыстары бар автогенератор схемасы күріш. 7.17. Электр тізбегінің жұмысын бақылау тікелей ток амперметрі мен екі сәулелі осциллографты пайдалана отырып жүзеге асырылады. Өзін-өзі генератордың кері байланыс коэффициенті $K = C_1 / C_2 = 0,5 \text{ мкФ} / 0,5 \text{ мкФ} = 1$, өзін-өзі тербелу жиілігі

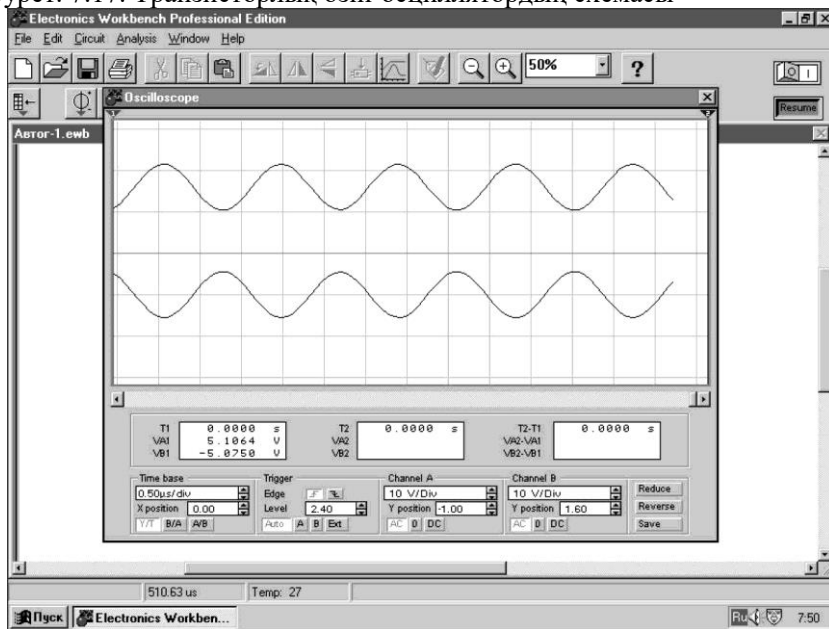
$$f = \frac{1}{2\pi\sqrt{L_1 C_1 C_2 / (C_1 + C_2)}} = \\ = \frac{1}{2\pi\sqrt{0,2 \cdot 10^{-6} \cdot 0,5 \cdot 10^{-6} \cdot 0,5 \cdot 10^{-6} / (0,5 \cdot 10^{-6} + 0,5 \cdot 10^{-6})}} = 712 \text{ Гц.}$$

Мұнда L Генриде өлшенеді, ал С - Фарададағы сыйымдылық. Өздігінен осциллятордың екі нүктесінде алынған осцилограммалар

күріш. 7.18. Осцилограммалар транзистордың негізіндегі және коллекторындағы тербелістердің антфазда екендігін көрсетеді.



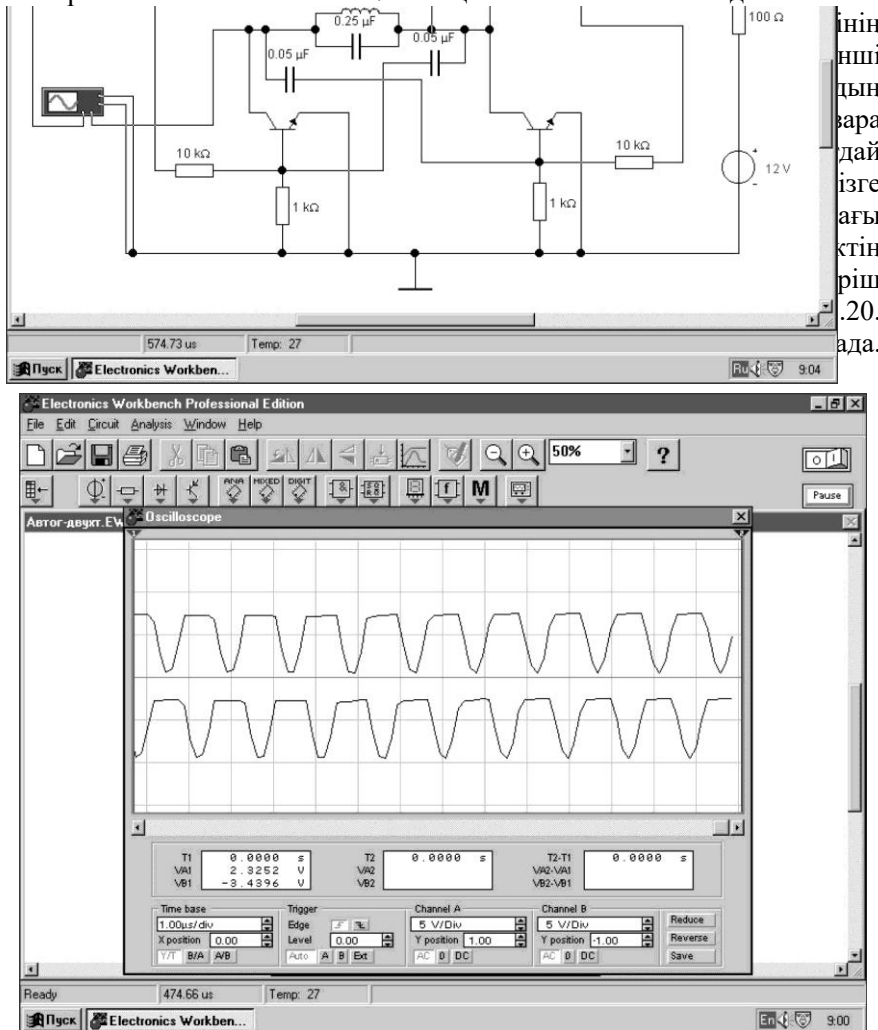
Сурет. 7.17. Транзисторлық өзін-осциллятордың схемасы



Осцилограммалардың көмегімен генерациялайтын тербелістер жиілігін анықтаймыз. 0,5 микросекундтың бір бөлігінің бағасы кезінде тербелу кезеңінің ұзақтығы

$$T = 0,5 \cdot 2,8 = 1,4 \text{ мкс},$$

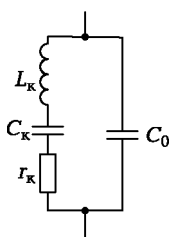
бұл жиілік $f = 1 / 1.4 \text{ мкс} = 714 \text{ кГц}$ жиілігіне сәйкес келеді.



Сурет. 7.20. Екі кезеңді автогенератордағы ауытқулардың осцилограммасы
Кварц генераторы. Жоғары дәлдікті алу үшін

осцилляторлардағы генерацияланған тербелістердің жиілігінің тұрақтылығы Кварц тербеліс жүйесі ретінде қолданылады. Мұндай өзін-өзі генераторлар кварц деп аталады. Кварц тікелей және кері пьезоэлектрлік әсердің қасиеттеріне ие кристалдардың санын білдіреді. Жоғары жиіліктегі электр өрісінде орналасқан кварц мерзімді механикалық деформацияларға (кері пьезоэффекттің феномені) ұшырайды, бұл өз кезегінде электр зарядының пайды болуына әкеледі (тікелей пьезоэлектрлік әсер феномені).

Пьезоэлектрлік әсердің қасиеті 100-ден астам заттардың кристалдары. Олардың ішінде кварц параметрлері ең тұрақты болып табылады, ол оның радиоэлектрондық жабдықта кең қолданылуын түсіндіреді. Кварцты бөлінген параметрлермен байланыстыру керек. Дегенмен, резонанстық жиіліктердің жағында ол біріктірілген параметрлермен баламалы электр тізбегімен ауыстырылуы мүмкін (7.21-сурет). Кварц пластинасында механикалық тербелістердің әртүрлі түрлері негізгі жиілікте немесе біркелкі гармоникада орын алуы мүмкін. Кристалды кварцқа

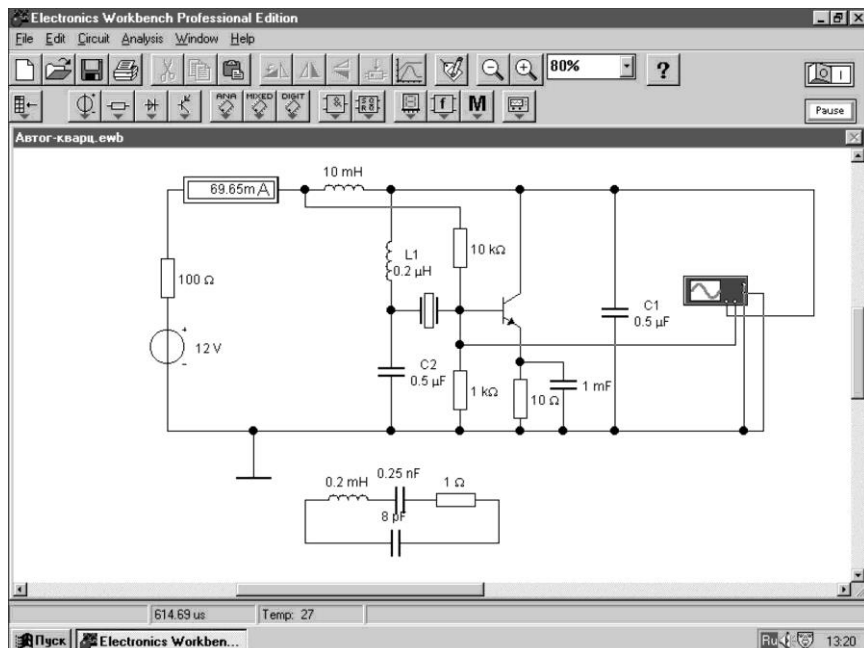


Сурет. 7.21. Кварцтың баламалы тізбегі

симметрияның үш осі бар - оптикалық, электрлік және механикалық. Пластина осы осьтерге кесілген бұрышқа байланысты шамамен 10 кварцтық кескін бөлінеді.

Геометриялық өлшемдер, тербелістер түрі және плитаның қимасының түрі кварц резонаторының негізгі электрлік параметрлерін анықтайды: дәйекті резонанс жиілігі ω_1 , Q-факторы, C_k / C_0 сыйымдылықтарының коэффициенті, TFC жиілігінің температуралық коэффициенті және шашыраудың рұқсат етілген күші. Кварц резонаторларының максималды жиілігі 150 МГц немесе одан жоғары. Кварц 60,70 МГц-ге дейінгі жиілігі бар 3-ші, 7-ші механикалық гармоникаға әсер етіп, практикада кеңінен қолданылады.

Кварцты сериялы жиілікте немесе параллель резонанс қозғауға болады. 7.21 тиісінші



Сурет. 7.22. Кварц осцилляторы

$$\omega_1 = 1/\sqrt{L_K C_K}, \omega_2 = 1/\sqrt{L_K \frac{C_K C_0}{C_K C_0}} \approx \omega_1 \left(1 + \frac{C_K}{2C_0}\right)$$

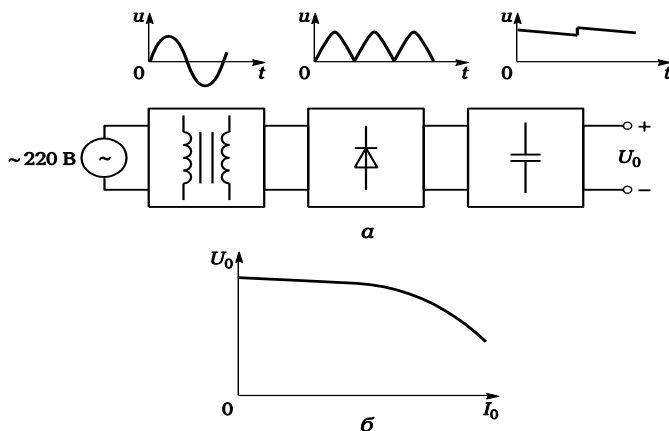
Кварц резонаторының Q-факторы

$$Q_K = \frac{\omega_1 L_K}{r_K} = \frac{\sqrt{L_K / C_K}}{r_K}. \quad (7.21)$$

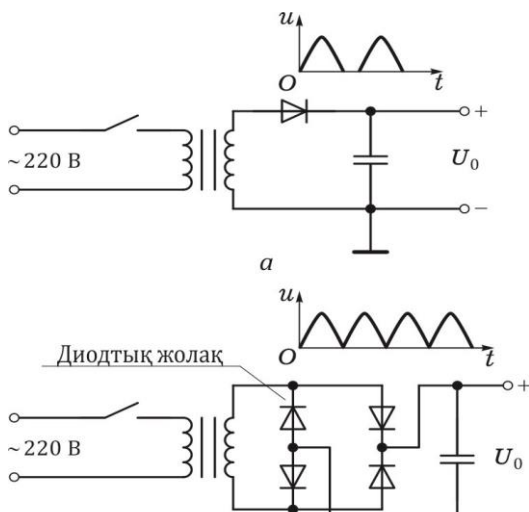
Кварц осцилляторының сұлбасы күріш. 7.22. Бұл схемада өздігінен қозғалатын тербелістер w1-нің дәйекті резонансы жиілігімен жүреді, өйткені тек қана кварцтың шағын қарсыласуына ие болады және кері байланыс схемасы жабылады. W1-ден басқа жиілікте өзін-өзі қозғалатын тербелістер пайдада болмайды, өйткені оларда кварцтың қарсылығы жоғары. L1 индуктивтілігін және C1 және C2 сыйымдылығын қамтитын автожаңағыш тізбектің резонанстық жиілігі ω_1 жиілігіне жақын болуы керек, яғни 712 кГц жағдайда.

Максаты және жіктелуі. Қуат көздері (екінші қуат көздері деп те аталауды) электрондық тізбектерге тұрақты кернеуді қамтамасыз етуге арналған. Құрылғыны электрқұрылғылармен қамтамасыз ету үшін жоғары вольтты қоректендіру көздері талап етіледі, және төмен кернеулі қуат көздері жартылай өткізгіш қуат қажет. Мысалы, микротолқынды электрвакуумдық қондырғыларды және қуатты генераторлық шамдарды жеткізу үшін (3.2 бөлімін қараңыз) бұл кернеу кейде ондаған киловольтке жетеді. Жартылай өткізгіш құрылғылардың кернеуі, тіпті салыстырмалы түрде жоғары, әдетте 100 В-дан аспайды. Төмен кернеудегі қуат көздерін 220 В кернеумен 50 Гц жиіліктегі өнеркәсіптік жиіліктің бастапкы көзімен реттеп, пайдалануды қарастырыңыз. Осындай көздің функционалды семесі күріш. 7.23, а. Оның кіріс кернеуі 220 В айнымалы кернеумен қамтамасыз етіледі және шығыс U_0 шамасында тұрақты ток кернеуі болуы керек. Электрондық схеманың тікелей тұрақты кернеу көзінен, мысалы, аккумулятордан қуат алатынына назар аударыңыз, мұндай түзеткіш қажет емес.

Электрмен жабдықтаудың негізгі параметрлері: шығыс кернеуінің мәні, осы кернеу тұрақтылығы кіріс айнымалы мәнінің белгілі бір шектерінде өзгеруімен, U_A



Сурет. 7.23. Түзеткіштің (а) функционалдық диаграммасы және оның жүктеме сипаттамасы (б)



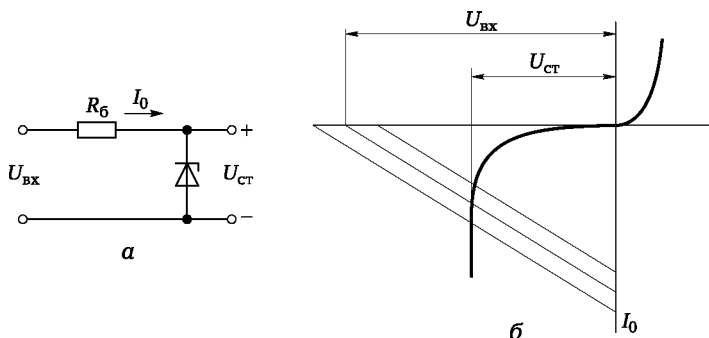
бүрет. 7.24. Түзеткіштің тізбегі: а - бір үзіл; б - көпір

$U_{2\phi}$ — трансформатордың шығыс орамасындағы кернеудің тиімді мәні. Ректификатор диодтары оларға қолданылатын кернеудің кернеуіне және жүктемедегі қажетті токқа байланысты таңдалады.

Түзеткіштің кірісінде кернеу өзгерген кезде шығыс кернеуін тұрақтандыру және салыстырмалы түрде төмен жүктеме токтарында жүктеме кедергісі тұрақтандырығыш пайдаланылады - арналы диод, коммутациялық схемасы мен вольт-ампер сипаттамасы күріш. 7.25. Жүктемеге параллель қосылған зентердің диоды кері кернеудің тұрақты мәніне ие және шығыс кернеуін тұрақтандыру режимін қамтамасыз етеді. Статикалық режимде тізбектің жұмысы теңдеу арқылы анықталады

$$U_{ex} = U_{ct} + I_0 R_B.$$

Осы теңдеудің графигін зентердің диодтың тән кисық сызығымен біріктіру арқылы U_{ex} өзгергенде, зентердің диод арқылы шығатын ток өзгереді, бірақ шығыс кернеуі іс жүзінде өзгермейді. Жоғары жүктеме кезінде



Сурет. 7.25. Кернеу тұрақтандырығышы: а - схемасы; б - диаграмма

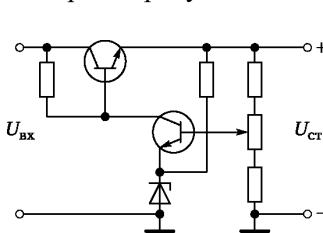
Шығыс кернеуін және ток жүктемесінің тұрақтандырылуына мүмкіндік беретін әмитент селекторлық схемасы қолданылады (7.26-сурет).

Куат көзін ауыстыру. Осы түрдегі қуат көзінің функционалдық диаграммасы күріш. 7.27. Схемада кернеу трансформаторын қамтамасыз ететін желілік трансформаторды түзеткіш (VN-1) бар, оның ішінде: импульстік генератор; осы импульстардың енін бақылайтын модулятор, екінші түзеткіш (ВН-2) және төмен өту сүзгісі (LPF). Схема салыстыру блоктарын (BS) және серпін енін (EI)

бақылауды қамтиды.

Осы импульстардың енін бақылайтын модулятор, екінші түзеткіш (BH-2) және төмән өту сұзгісі (LPF). Схемаға салыстыру блоктары кіреді, схема теріс кері байланыспен автоматтарты басқару құрылғысы ретінде жұмыс істейді. Жасалынған импульстар ВН-2 блогының көмегімен, өріс (BS) және импульстік енін бақылау (UWI) арқылы түзіледі.

Рис. 7.26. Эмиттерлі Нәтижесінде, LPF сұзгісіндегі кернеу U_0 күші бойынша түрақты кернеу болып табылады. BS блогындағы бұл кернеу U_{op} тірек кернеумен салыстырылады, нәтижесінде ESR блогына $\Delta U =$



$U_0 - U_{op}$ қателік сигналы шығады. Соңғысы генерацияланған импульстардың еніне әсер ететін модуляторды басқарады. Осылайша, автобус арқылы импульстарды модуляциялау PWM ретінде қысқартылады. Өтпелі режимнің процесі $U = 0$ кезде аяқталады, яғни,

Рис. 7.26. Эмиттерлі қайталағыш



Сурет. 7.27. Ауыспалы электрмен жабдықтаудың функционалдық диаграммасы

шығыс кернеуі қажетті кернеуге тең болады. Кіріс кернеуі немесе жүктеме кедергісі өзгергенде, процесс қайта іске қосылады. Осылайша, түзілетін тұрақты кернеу импульстік қуат көзінде тұрақтандырылады. Осындай құрылғыларда автоматты реттеу процесін жүзеге асыратын арнайы микросхемалар бар.

БАҚЫЛАУ СҮРАҚТАРЫ

1. Қандай аналогтық құрылғылар сыйықты деп аталады?
2. Сыйықты және сыйықты емес аналогты құрылғының кірісінде және шығуында екі жиілікті сигналдың спектрі қандай?
3. Өздігінен генератордың қандай екі схемасы үш нүктелі деп аталады?
4. Авто тербелістер жиілігі қалай тұрақты?
5. Түзеткіш көпір тізбегінің артықшылықтары қандай?

ЖОЖК- ЭЛЕКТРОНДЫҚ ҚҰРЫЛҒЫЛАР

8.1.

СЫЗЫҚТЫҚ АЖЖ ҚҰРЫЛҒЫЛАРЫ ӘДІСІНТАЛДАУ

Жекелеген электронды құрылғыларды жалғастыратын желілерде екі толқын тарапады: сигнал көзінен жүктеуге дейінгі толқын, қарсы бағытта көрінеді (8.1-сурет). Бұл кернеу уақытына және x координатына байланысты жазуға мүмкіндік береді:

$$u(t,x) = u_{\text{пад}}(t,x) + u_{\text{отр}}(t,x) \quad (8.1)$$

Мұндағы $u_{\text{пад}}(t,x)$ - бұл толқындар; және $u_{\text{отр}}(t,x)$ - жүктемесінің толқыны.

Кеңейтілген түрде толқындарға арналған өрнек нысанға ие

$$u(t,x) = U_{\text{пад}0} e^{-ax} \cos(2\pi f t - \beta x) \quad (8.2)$$

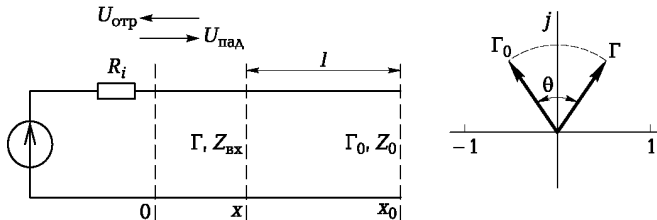
онда $U_{\text{пад}0}$ - желінің басында толқын кернеуінің амплитудасы; t - уақыт; x кеңістіктік координат; f - генератордың жиілігі; a - демпфирлік тұрақты; β - фазалық тұрақты, $\beta = 2\pi / X$; X - сыйықта таралатын толқын ұзындығы.

Шағылысқан толқын ұқсас көрініспен ерекшеленеді, ол тек қарсы бағытта қозғалады - жүктемеден генераторға дейін.

Кернеудің күрделі амплитудасы, трансляция сыйығының x-бөлігінде (8.1-суретті қараңыз), бұл оқиға мен толқындардың көрінген әсеріне байланысты, $U(X) = U_{\text{пад}0} \exp(-\beta X) +$

$$U(x) = U_{\text{пад}0} \exp(\gamma x) + U_{\text{отр},n} \exp[\gamma(x - l_0)], \quad (8.3)$$

мұнда U - тарату константасы, y - $a + j P$; l_0 - желінің ұзындығы; $i_{\text{отр},n}$ - сыйықтың басынан бастап 10 қашықтықта қосылатын ZK жүктемесінен



Сурет. 8.1. Тұтынушылар желісі мен көрсететін коэффициенті көрінетін толқынның кернеуінің күрделі амплитудасы.

Шағылысан және толқындық толқындардың арасындағы қатынас кері әсер коэффициентімен анықталады

$$\Gamma_H = \frac{U_{omp}}{U_{nad}} = \frac{Z_H - \rho}{Z_H + \rho}, \quad (8.4)$$

мұндағы ρ - сзызықтық импеданс.

Оның (8.4) көрсететін коэффициенті түрғысынан көрсетілген жүктеме қарсылығы үшін аламыз

$$Z_H = \rho \frac{\Gamma_H + 1}{\Gamma_H - 1}, \quad (8.5)$$

Х сзызығының еркін бөлігінде 1 қашыктықта жоғалту коэффициенті $0 = 0$ болатын жүктемеден бастап, көрсету коэффициенті

$$\Gamma_x = \Gamma_h \exp(-j4\pi l/\lambda). \quad (8.6)$$

Жолдың кез-келген қолденең қимасы үшін біртектіліктер мен жоғалтулар болмаған кезде $|\Gamma_x| = |\Gamma_h|$, ал Γ_x векторы Γ_h $\theta = 4\pi l/\lambda$ бұрышымен салыстырылады.

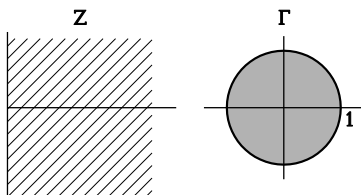
(Х) секциядағы сзызықтық кіріс кедергісі үшін (8.5) үкസ,

$$Z_x = \frac{U(x)}{I(x)} = \rho \frac{1 + \Gamma_x}{1 - \Gamma_x}, \quad (8.7)$$

или для того же сопротивления при отсутствии потерь в линии

$$Z_x = \frac{U(x)}{I(x)} = \rho \frac{Z_H + j\rho \operatorname{tg}(2\pi l/\lambda)}{\rho + jZ_H \operatorname{tg}(2\pi l/\lambda)}, \quad (8.8)$$

(8.8) сәйкес, ZK кешенді қарсылық катушкасымен жүктелген желі кіріс кедергісі ретінде де, көрініс коэффициенті де сипатталуы мүмкін. Сонымен қатар, $Re(Z) > 0$ кезде, нақты жиіліктер аймағында Z кедергісі күрделі айнымалы жазықтықтың жартысын алады және Γ (8.4) сәйкес көрсететін коэффициент бірлік радиусының шенбері болып табылады (сур.8.2)



Сурет. 8.2. Күрделі қарсылық және рефлексия коэффициенті

Оқиғаның және толқындардың көріністері келесі формулалар бойынша есептеледі:

$$P_{nad} = |U_{nad}|^2 / (2\rho); \quad (8.9)$$

$$P_{omp} = |U_{omp}|^2 / (2\rho). \quad (8.10)$$

Бұл өкілеттіктердің айырмашылығы - (8.9) және (8.10) ескере отырып, өтетін күш

$$P_{np} = \frac{1}{2\rho} (|U_{nad}|^2 - |U_{omp}|^2) = P_{nad} - P_{omp}. \quad (8.11)$$

Микротолқынды пештердің әртүрлі типтерін олармен байланысқан электр беру желілерінде таратылатын толқындардың құлдырауы мен көрінуі арқылы сипаттауга болады. Талдауды жеңілдету үшін, барлық жеткізу желілерінің толқындық импедансы ρ 0-ге тең және тең, деп түсінеміз, бұл қалыпта келтіру операциясын жояды. Әдетте ρ_0 толқынды импеданс стандартты мәніне тең, яғни $\rho_0 = 50$ Ом.

8.2. МИКРОСЫЗЫҚТЫ БЕРУ ЖЕЛІСІ МЕН ГИБРИД - ИНТЕГРАЛДЫ АЖЖ ҚҰРЫЛҒЫСЫ

Белсенді типті қазіргі заманғы микротолқынды құрылғылардың

көпшілігі, яғни жартылай өткізгіш құрылғылардың көмегімен және пассивті түрдегі (сүзгілер, көпір құрылғылар, бағыттағыш қосқыштар, қосалқы байланыстырғыштар және т.б.) интеграцияланған технология бойынша дайындалады. Интегралды микротолқынды пештер үш негізгі түрге бөлінеді: жартылай өткізгіш, пленка және гибрид. Жартылай өткізгіш интегралды схемаларда (ЖС) белсенді және пассивті элементтер жартылай өткізгіш құрылымда немесе оның бетінде қалыптасады, ал жекелеген элементтер мен байланыс алаңдары арасындағы байланыстар жұқа өткізгіш қабыршақтар арқылы жүзеге асырылады. Мұндай IC негізі оның бетінде өсірілген жұқа эпитаксиалды қабаты бар жартылай өткізгіш субстрат (әдетте кремний немесе галий арсенит) болып табылады. Элементтер жартылай өткізгіш субстратта планарлы диффузия процесі арқылы қалыптасады (5-тарауды қарандыз).

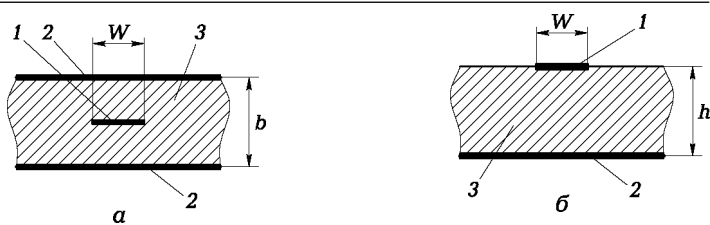
Пленкада белсенділік (өріс эффектісінің транзисторлары) және пассивті элементтері, сондай-ақ олардың арасындағы байланыстар диэлектрлік субстратта белгілі бір дәйектілікпен қолданылатын түрлі материалдардың жұқа қабыршақтары түрінде орындалады. Жоғары қуатты микротолқынды пештер әдетте гибридті-интеграцияланған технология бойынша жасалады. Мұндай АЖ-да кейбір элементтер мен олардың арасындағы байланыстар диэлектрлік субстратта сақталған фильмдер түрінде, ал екіншісі - корпустың негізгі бейнесі немесе ашық рамалық транзисторлар арнайы розеткаларға салынған және схема. Гибридті IC негізі болып табылатын диэлектрлік субстрат материалы төмен шығындармен және жоғары диэлектрлік өткізгіштің бар арнайы керамика болып табылады. Атап айтқанда, поликор (Al₂O₃ негізіндегі керамика) және сапфира қолданылады. Бұл жағдайда бірінші жақындаған микротолқынды схемалардың барлық геометриялық өлшемдері e² квадрат түбіріне дейін төмендейді.

Микротолқынды интегралдық тізбектерде электр тізбектері микросприттік сызықтар (MPL): симметриялық (8.3, а) және асимметриялық (8.3, б) микрофонды берілісте, сондай-ақ олардың модификациялары негізінде орындалады.

Микротолқынды интегралдық тізбектерде электр тізбектері микросприттік сызықтар (MPL): симметриялық (8.3, а) және асимметриялық (8.3, б) микрофонды берілісте, сондай-ақ олардың модификациялары негізінде орындалады.

$$\varepsilon_{\phi} = (\lambda / \lambda_{\Delta})^2, \quad (8.12)$$

мұнда λ - бос кеңістіктегі толқын ұзындығы; λ_d - диэлектриктең сыйықтағы толқын ұзындығы.



Сурет. 8.3. Микрософ жолағы

а симметриялық; б - асимметриялық; 1 - орталық дирижер; 2 - екінші дирижер; 3 - диэлектрик субстрат.

<Симметриялы MPL (8.3, a суреттің қаралызы), диэлектриктең барлық кеңістігін толық толтырумен: $\varepsilon_{\phi,h} = \varepsilon_r$ асимметриялық: $\varepsilon_{\phi,h} < \varepsilon_r$. Симметриялы MPL (8.3, a суреттің қаралызы), диэлектриктең барлық кеңістігін толық толтырумен: $\varepsilon_{\phi,h} = \varepsilon_r$ асимметриялық: $\varepsilon_{\phi,h} < \varepsilon_r$. Өйткені, электр өрісінің күші тек диэлектриктеғанда емес, сонымен қатар оның сыртына өтеді. МПЛ геометриялық өлшемдеріне және диэлектрик материалға тәуелділігі электродинамикалық есептеу арқылы анықталады, содан кейін аналитикалық функциялармен жуықталады.

Симметриялық MPL үшін

$$\rho = \frac{94}{(0,44 + (W/b))\sqrt{\varepsilon_r}}, \quad (8.13)$$

МПЛ мұнда W - микрострип сыйығының ені; b - симметриялық жол

$$\rho = \frac{300}{(1 + W/h)\sqrt{\varepsilon_r}}, \quad (8.14)$$

$$\varepsilon_{\phi,\phi} = 0,5(\varepsilon_r + 1) + \frac{0,5(\varepsilon_r - 1)}{\sqrt{1 + 10/(W/h)}}, \quad (8.15)$$

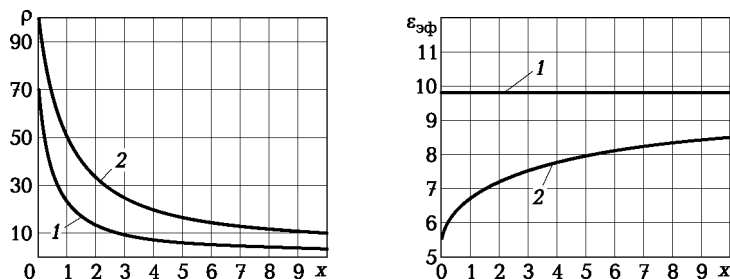
сызықтары арасындағы қашықтық.

Асимметриялық MPL үшін

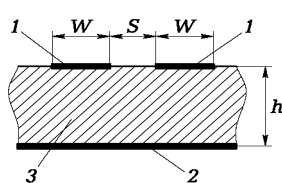
мұнда x - сыйық сыйықтары арасындағы қашықтық.

Бұл функцияларды симметриялы микрострип сыйығына (1) және $\varepsilon = 9.8$ болатын поликорптың диэлектрик субстрат үшін асимметриялық (2) диаграммалары көрсетілген. 8.4, мұндағы x = W / b симметриялы сыйық үшін және x = W / h асимметриялық үшін.

Біріктірілген микротолқынды пештерде бірыңғай MPL-ге қоса, сонымен қатар, MPL-лар қолданылады. Мұндай MPL-дің бүйірлік қосылыстары пайда болуы сурет . 8.5

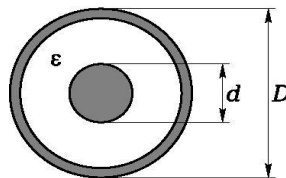


Сурет. 8.4. Функциялар:a толқындардың кедергісі; b - тиімді диэлектрик тұрақты



Сурет. 8.5. Бүйірлік жолактармен байланыстырылған микрострипптер желілері:

1 - орталық дирижер; 2 - жерге қосу; 3 - материалдардың өткізгіштігі бар диэлектрик сублейер



Сурет. 8.6. Коаксиалдысызық

Аралық электронды құрылғыларды қосу үшін коаксиалды фидер желісі пайдаланылады (8.6-сурет), толқын кедергісі 1 D

$$\rho = \frac{1}{\sqrt{\epsilon_r}} 138 \lg \frac{D}{d}, \quad (8.16)$$

где D, d - суреттегі диаметрлердің өлшемдері. 8.6.

8.3. ЖЖҚ СЫРТҚЫ ҚОЗДЫРУШЫ ГЕНЕРАТОР ТРАНЗИСТОРЫ

Куатты микротолқынды генераторлар. Жоғары қуатты микротолқынды генераторларды жіктеу мынадай сипаттамаларға сәйкес жүзеге асырылады: оларда пайдаланылатын транзисторлардың түрі, жиілік диапазоны, қуаты және қолданудың қолайлышы.

Биполярлы (әдетте жалпы базамен) және далалық əсер транзисторларын пайдаланатын салыстырмалы қуатты микротолқынды күшейткіш модульдерді қарастырыныз. Кестеде. 8.1 базалық параметрлердің санын - күшейту f-ның максималды жиілігін, P₁ шығыс қуатын, Raman күшейткішінің пайда болуын және жоғары жиілікті диапазондағы күшті биполярлы және далалық-транзисторлардың бірнеше түрлерінің тиімділігін көрсетеді.

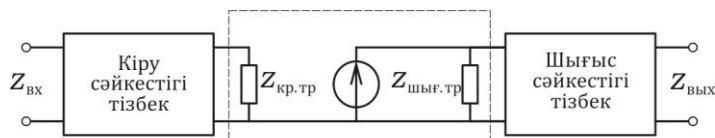
Микротолқынды транзисторлық генераторлардың əр түрлі схемалары - сигнал күшейткіштері - үш каскадты қосылған

8.1кесте

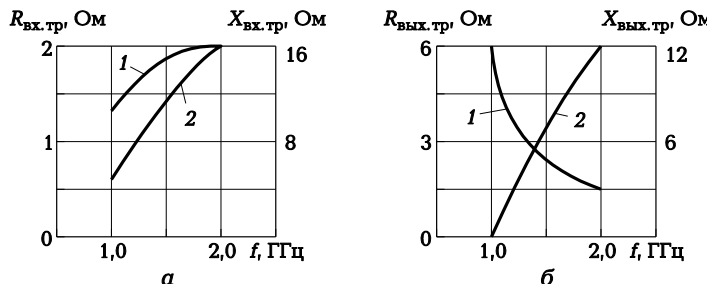
Транзистор түрі	κ , Жиілік, МГц	Энергияны тұтыну P_1 , Вт	Пайда факторы K_P , дБ	Тиімділ ігі, %
KT-930A — биполярлы	400	40	5	50
KT-916В — биполярлы	1 000	10	4	55
KT-942 — биполярлы	2 000	10	4	35
MSC3005 — биполярлы	3 000	5	5	30
MSC4005 — биполярлы	4 000	5	5	30
MRF 183 — далалы	1 000	45	10	50
MSC88020 — далалы	4 000	5	6	30
MSC88010 — далалы	6 000	3	6	30
MSC88110 — далалы	12 000	2	5	30

Уш терминалды желі: электр тізбектері мен транзисторға сәйкес келетін кіріс және шығыс (8.7-сурет).

Транзисторлық генератордың оңтайлы дизайны - берілген жиілік диапазонында f_2 - f_1 аудың максималды тиімділігімен, пайда коэффициентімен, сондай-ақ құрылғы мақсаттарына қарай басқа параметрлер мен сипаттамалармен қамтамасыз ету. Транзистордың кіріс схемасы кіріс транзисторларына оңтайлы түрде сәйкес келеді



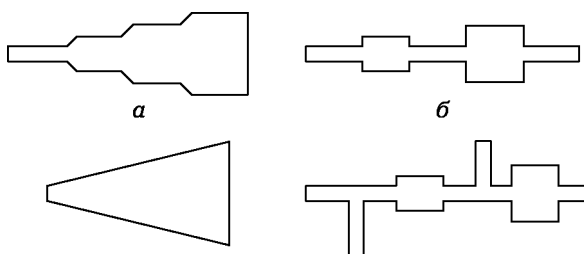
Сурет. 8.7. Микротолқынды транзисторлық күшейткіштің функционалдық схемасы



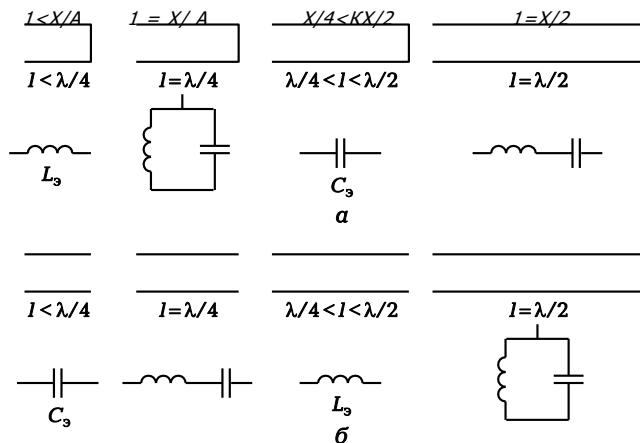
Сурет. 8.8. Жоғары қуатты микротолқынды транзисторлардың кедергілерінің (а) және шығуының (б) қисықтардың мысалы: 1 - белсенді қарсылық; 2 - реактивті қоздыру лақап, шығу тізбегі - транзистордың шығыс кедергесін оңтайтын сәйкестендіру үшін Z^{\wedge} .

Микротолқынды транзистордың осы кедергісі сигналдың күші мен жиілігіне және биполярлы транзисторға арналған схемага байланысты - жалпы негіз немесе эмитент. Егер мұндай ақпарат каталогта болмаса, онда бұл параметрлер арнағы қондырығыда өлшеннеді. Резистенттердің белсенді және реактивті компоненттерінің сигнал жиілігіндегі Z^{\wedge} және $Z^{\wedge\wedge}$ тәуелділігінің мысалы мысалда көрсетілген. 8.8..

Микротолқынды күштейткіштер микростриптік желілерге негізделген бөлінген үздіксіз схемалары бар тізбектерді пайдаланады. Сызықтық сегменттерден тұратын осындағы тізбектердің көптеген нұсқалары мүмкін. Осы тізбектердің мысалдары күріш. 8.9.



Сурет. 8.9. MPL топологиясының мысалдары:
а - толқындардың кедергісінде біртұтас өзгерістермен қадамдық көшу; б - толқындық қарсылыкта немонотоникалық өзгеріспен кезендік өту; с - тегіс өту; д - циклдармен қадамдық көшу



Сурет. 8.10. Фидер жолының баламалы параметрлері: а - соңында жабық; б - аяғында ашық

Бөлінген түрдің әртүрлі желілерін есептеудің негізі MPL-қысқа тұйықталудың сегіз нұсқасы болып табылады және оның соңында ашық, күріш. 8.10. Желінің ұзындығына байланысты ол индуктивтілік, сыйымдылық, серия немесе параллельді осцилляторлық тізбеге тең. Суреттегі барлық нұсқалар 8.10 формуласын талдаудан кейінгі (8.8).

Кіріс және шығыс схемаларының мақсаты - транзистордың кіріс және шығыс кедергілерін қажетті шамага қарсылыққа айналдыру. Мысалы, микротолқын трансформаторы (8.8) сәйкес, мысалы, $I = X / 4$ кезінде кіріс кедергісі, ширек толқынды бергіш желісін қолдануға болады (8.11-сурет)

$$R_{bx} = P^2 / R_h, \quad (8.17)$$

онда R_h - белсенді жүктеме кедергісі, Ом.

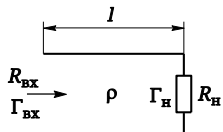


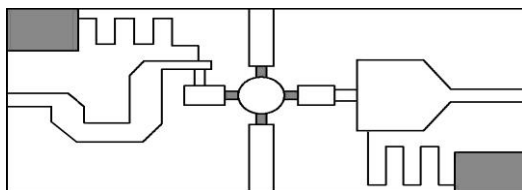
Рис. 8.11.
Ширек толқынды беруші сзығы

Сәйкес тізбектердің басқа түрлерін есептеу [3].

Куатты микротолқынды күшейткіштің дизайны. Бұл күшейткіштер гибридті интеграцияланған технологиядан жасалады. Осындағы күшейткіштерде транзисторлар, әсіресе күшейтілген күш, тәуелсіз элемент болып табылады және кіріс және шығыс бірлесіп дамыттын электр тізбектері мен электр тізбектері диэлектрлік субстратқа қолданылатын жұқа және қалың қабыршақтар негізінде жүзеге асырылады. Соңғы ретінде, мысалы, поликор - бұл Al2O3 негізіндегі материал, 9.8 рұқсат етілген. Электроткізгіштер мен MPL әртүрлі материалдардан фотолитографияны қолдану арқылы бірнеше технологиялық әдістердің көмегімен диэлектрлік қосалқы қабатқа қолданылады: алдымен (диэлектрикпен жақсырақ адгезия үшін), содан кейін мыс гальваникалық кенейту және күмістің немесе алтынның үстіне. Бірнеше қабаттан тұратын желінің жалпы қалындығы әдетте бірнеше микрометрден аспайды. Нәтижесінде диэлектрлік субстрат бетінде өткізгіш материалдың қажетті жұқа пленка үлгілері алынады. Схеманың кейбір элементтері (резисторлар мен конденсаторлар) жұқа пленка технологиясымен сәйкес материалдардан немесе дәнекерленген (дәнекерленген) жекелеген элементтерден өткізгіштерге дейін шығарылады.

Микротолқынды күшейткіштің конструкциясы коаксиалды немесе сыйықты шығыс модулі болып табылады. Модуль бір немесе бірнеше сериялы байланысты каскадты, сондай-ак бірнеше бір типті транзисторларға қосылған кезде сигнал жиынтығын қамтуы мүмкін. Микротолқынды қуат модулі 100 Вт немесе одан да көп жетуі мүмкін, пайда 30 дБ (яғни қуаттылығы 1000 есе), өткізу қабілеті 10 ... 20%.

Бір сатылы микротолқынды транзистор күшейткіш топологиясы мысалында көрсетілген. 8.12

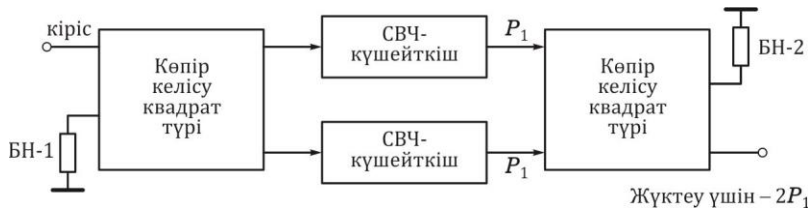


Сурет. 8.12. Микротолқынды транзистор күшейткіш топологиясының мысалы

Төмен шуыл микротолқынды транзисторлық күшейткіштер. Мұндай күшейткіштердің айрықша параметрі - олардың ішкі шу деңгейлері. Соңғысының физикалық сипаты сыртқы сигнал көзінің әсерінен электр зарядтарының реттелген қозғалысына қосымша, кез келген өткізгіштегі, резистор, микрочип, транзисторлық, диод және басқа элементтерде шуыл сигналын тудыратын элементар бөлшектердің хаотикалық қозғалысы бар. Осылайша тізбектің кез келген бөлігін кездейсок уақыт функциясымен сипатталатын шудың сигналының қарапайым көзі ретінде қарастыруға болады. Күшті күшейткіштерде осы шудың шамасы практикалық құндылыққа ие емес, ейткені ол пайдалы сигналдан миллиондаған есе аз. Дегенмен, микротолқынды қабылдағыштардың кіруіне қосылған күшейткіштерде транзистор күшейткіштің ішкі шуының шамасы 10-6 мкВ-тан төмен болуы мүмкін өте аз қабылданған сигналмен теңестіріледі. Ишкі шу деңгейі пайдалы сигналмен салыстырғанда, радио қабылдағыштардың кірісінде пайдаланылатын микротолқынды транзистор күшейткіштің сапасын анықтайды. Мұндай микротолқынды транзисторлық күшейткіштер, әдетте, арсенидті галлий сияқты төменгі шуды транзисторлар арқылы монолитті схема түрінде дайындалады.

8.4. ЖЖҚ –ТРАНЗИСТОРЛЫ БАЛАНС ГЕНЕРАТОРЫ

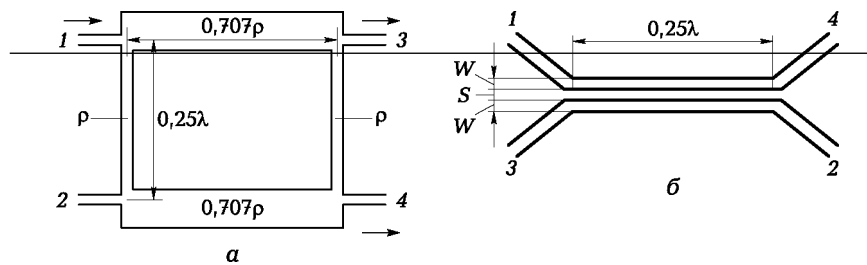
Осы түрдегі генератор, оның құрылымдық диаграммасы күріш. 8.13, екі бірдей микротолқынды күшейткіштерден және оларға қосылған балласты жүктемесі бар квадратураның екі көпір құрылғыларынан тұрады. Схемада екі бірдей транзисторлардың күші жинақталады. 1 — 2 и 3—4. байланысты шлейф және асимметриялық микрополосковыми сзықпен - - суретте ұсынылған, екі түрін бірінші микротолқынды құрылғы көпір құрылғыны қарастырайық. 8.14. Көпір құрылғының төрт кірісінің әрқайсысы екіншісіне қосылып, үштен біріне қосылды. Енгізу құрылғының біріне сигнал қорытындылайық кезде сигналдарды арасындағы нақты кезеңі қарым-қатынас қанағаттандыру үшін екі vho-dov бір мезгілде қозғау отырып, қуат бөлгіш болып табылады - олардың мүмкіндіктерін сумматор. Осылайша, суретте көрсетілген көпір құрылғыларында. өзара Болмауына 8.14, яғни екі кірістер өзара біріккен емес: 1 - 2 және 3-4 ...



Сурет. 8.13. Тендеңстірілген микротолқының күшеткіштің құрылымдық диаграммасы

Мәселен, мысалы, шілтері бар құрылғы (8.14-сурет, а) тар жолақты, байланысқан сзықтары бар (8.14, б) - кең жолақты байланыс.

Калыпты жұмыс кезінде екі сигналдар алаудың балласттық жүктемесінен тыс болып табылады, сондықтан онда таратылған қуат 0-ге тең. Бірақ егер күшеткіштердің бірі BN-2 балласты жүктемесінде орындалмаса (8.13-суретті қараңыз), қуат басталады, 0.5P1 тең. Осындай мән пайдалы жүктемедегі сигнал қуатын азайтады, ол да 0.5P1 болады. Осылайша, күшеткіштердің бірі сәтсіз болған жағдайда қалыпты жұмыс режимімен салыстырында пайдалы жүктемедегі



Сурет. 8.14. Көпір құрылышының топологиясы: а - ілмектермен; б - MPL арналған

куаттың 4 есеге төмендеуі байқалады.

БАЗА САНДЫҚ ЭЛЕМЕНТТЕК БАЗАСЫ

9.1.

ЭЛЕМЕНТТЕК БАЗАСЫНЫҢ САНДЫҚ ЖІКТЕЛУІ

Жалпыға ортақ, біз электрондық элементтер туралы сөз қозғасақ, олардың көмегімен 2, 3, 4, 8 және т.б. тең негіздегі сандық сигналдарды түрлендіреміз. (2-тарауды қараңыз). Содан кейін біз «0» және «1» сандарынан тұратын цифрлық екілік сигналға ғана катастырылғандағы қарастырамыз.

Сандық АЖ-да биполярлы және далалық әсерлі транзисторлар қолданылады. Элементтерді қанықтыру арқылы сандық элементтер интегралдық схемалар үшін қабылданған жалпы жіктеу бойынша бөлінеді (5-тарауды қараңыз).

Берілген базалық цифрлық элементтердің құрылғыны және жұмыс принципін қарастырыңыз.

9.2.

ЛОГИКАЛЫҚ ЭЛЕМЕНТТЕР

2) «-» және «

3) разряд - НЕМЕСЕ, V белгілеген;

4) біріктіруді жоққа шыгару - AND - NOT;

5) ажыратуды жою - НЕМЕСЕ - ЕМЕС. Логикалық операцияларды көрнекі түрде сипаттаудың бірі - шындық кестелер деп аталауды (кесте 9.1 ... 9.5), онда қарапайым мәлімдемелер X1 және X2 айнымалыларымен белгіленеді, және олардан туындайтын құрделі жасушалар Y белгілейді.

9.1 кесте

Бас тарту немесе инверсия (NOT)	
X	$Y = X$
0	1
1	0

9.2 кесте

Байланыстыру (И), $Y = X_1 \& X_2$		
X_1	X_2	Y
0	0	0
0	1	0
1	0	0
1	1	1

9.3 кесте

Бөлү (немесе), $Y = X_1 V X_2 \wedge$		
X_1	X_2	Y
0	0	0
0	1	1
1	0	1
1	1	1

Кесте 9.4 .

Байланыстың келенсіздігі (және — жок), $Y = X \& X_2 \wedge$		
*1	*2	Y
0	0	1
0	1	1
1	0	1
1	1	0

9.5 кесте

Бөлінуден бас тарту (НЕМЕСЕ - ЕМЕС), $Y = X_1 \vee X_2 \wedge$		
*1	*2	Y
0	0	1
0	1	0
1	0	0
1	1	0

Жоғарыдағы логикалық терминдерді түсіндірейік. Қабылданбаудың нәтижесінде, түпнұсқаға қарама-қайшы келетін жаңа мәлімдеме алынды. Байланыстағы күрделі өрнектің ақиқаты оған енгізілген қарапайым сөйлемдердің шындықымен ғана мүмкін болады. Барлық басқа жағдайларда күрделі өрнек жалған болады. Кешігу кезінде күрделі өрнек шындықтары оған енгізілген қарапайым мәлімдемелердің біреуінің шындыққа байланысты. Күрделі өрнек, егер оған енгізілген қарапайым сөйлемдер жалған болса, жалған болады.

Логикалық элемент жасау үшін, сіз екі күйі бар негізгі элементті: «жабық», ол «1» болып табылады және ашық «0» сәйкес келеді. Сандық құрылғыларды құрудың бірінші кезеңінде осындағы қосқыштар ретінде қолданылды, олардың контактілері «1», «0» ашылды. Екінші кезеңде біз электр-көлемді құрылғыларға, ал қазір жартылай өткізгіш құрылғыларға ауысты.

N - p - n типті транзисторды электронды кілт ретінде қарастырыңыз (9.1 сурет)

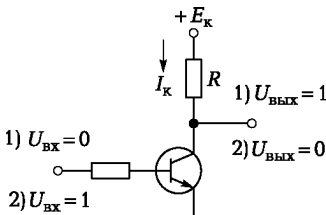
1. Транзисторлық базага сигнал жіберілмейді. Транзистор оның статикалық сипаттамаларына сәйкес (4.14 суретті қараңыз) кесу аймағында орналасқан, яғни жабық жағдайда орналасқан. Бұл жағдайда коллектордың тогы, $k = 0$, сондықтан транзистордың шығуындағы кернеу кернеуіне тең, яғни $u_k = E_k$. Транзистордың кез келген электродтарында кернеудің болмауы «0», «1» болуы керек. Сондықтан логикалық терминдерді қолданып схеманың осындай күйін жазуға ауысамыз

$$X = 0 \text{ и } Y = 1.$$

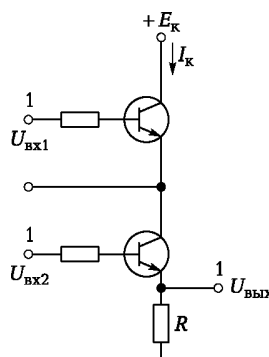
2. Тұракты кернеу транзистордың негізіне транзисторды кесу режимінен қанығу режиміне ауыстырады (4.14 суретті қараңыз). Коллекторлық тораптың кедергісі күрт төмендейді және қанықтыру гнастарының кедергісіне тең болады. 0-ге жуық болғандықтан, коллекторлық тізбектегі кедергілер, кернеудегі барлық кернеудің төмендеуі және транзистордың шығуындағы кернеудің мәні $u = 0$ (9.1-суретті қараңыз). Сондықтан логикалық терминдер көмегімен осындай жағдайды жазуға ауысамыз, бізде бар

$$X = 1 \text{ и } Y = 0 = X.$$

Осылайша, суретте көрсетілген НЕ түрінің электрондық кілттік схемасы. 9.1, шындық кестесіне сәйкес терістеу амалын орындастырын логикалық элемент болып табылады 9.1.



Сурет. 9.1. Логикалық элементтің транзисторлық схемасы - НЕ-ның инверсиясы



Сурет. 9.2. Логикалық элементтің транзисторлық тізбек бұл ЖӘНЕ

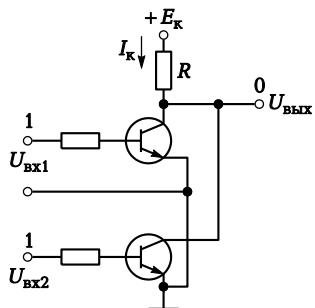
Екі басқа логикалық операцияларды орындау үшін: екі кіріс сигналдарына жауапты қажет ететін I және OR үзлісіне байланысты, күрделі логикалық элемент сұлбасы қажет.

I типті логикалық элемент үшін, p-p-n типті транзисторлар пайдаланатын осындай тізбек күріш. 9.2. Тек қана логикалық «1» логотипін ұсынғаннан кейін «1» тізбегінен шығуға болады. Эйтпесе, яғни, егер «1» сериялы жалғанған екі транзистордың біреуіне ғана қолданылса, демалыс тізбегі тоқтап қалады, сондықтан шығу сигналы «0» логикалық сәйкес келеді.

НЕМЕСЕ түрінің логикалық элементі болған жағдайда, p-n-p типті түрінің транзисторларындағы тізбек күріш көрсетілген. 9.3. Транзисторлар параллель қосылғандықтан, олардың кез келгеніне логикалық «1» берілсе, сіз сонымен қатар схеманың шығуына ұқсас «1» алуға болады. Тек транзисторлардың кірісінде логикада «0» шығу кезінде шығу сигналы «0» логикасына сәйкес келеді.

AND диаграммасы күріште көрсетілген емес. 9.4. Оның айырмашылығы мен схемасынан (9.2-суретті қараңыз), шығыс жүктемесі инверсияға мүмкіндік беретін коллекторлық тізбеге қосылады, яғни, күрішпен салыстырғанда, қарсы нәтижені қамтамасыз етеді. 9.2 (9.2 және 9.4-кестелерді салыстыру).

OR схемасы Күріш. 9.5. OR тізбегінің айырмашылығы (9.3-суретті қараңыз) шығыс жүктемесі инверсияға мүмкіндік беретін коллекторлық тізбеге қосылады; қарсы нәтиже алу (9.3 және 9.5-кестелерді салыстыру).



Сурет. 9.5. Логикалық элементтің транзисторлық схемасы - ажыратуды теріске шығару

ЕСКЕРТПЕ, ЖӘНЕ, ЖӘНЕ - НЕМЕСЕ - негізгі логикалық элементтердің бес схемасы өрісте орындалмайды

Транзисторлар. Қарастырылғандардан басқа, басқа логика да белгілі

Әртүрлі функционалдық мақсаттардағы дайын логикалық элементтерді біріктіру арқылы сандық электронды құрылғыларды құру жолымен қатар, әзірлеушіге бөлек логикалық элементтер арасындағы байланыстарды бағдарламалауға және сандық технологияның жана архитектурасын жасауға мүмкіндік беретін бағдарламаланатын логикалық интегралды схемалар (FPGA) электрондық құрылғы өз қалауы бойынша.

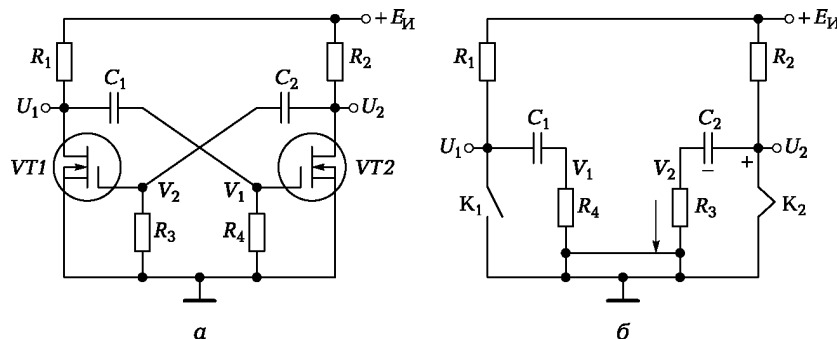
9.3.

МУЛЬТИВИБРАТОР МЕН ТРИГГЕР

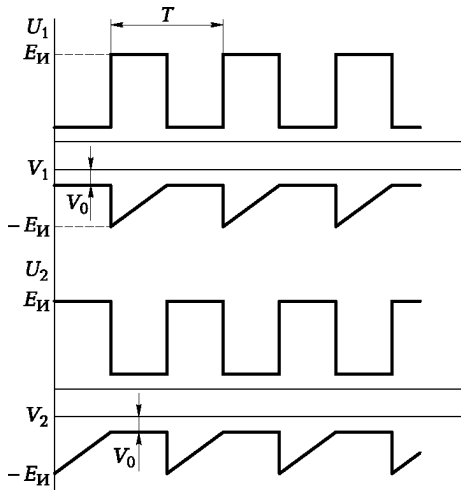
Екі қарапайым және шамасы үкес аспаптың кестені қарастырсақ, бірақ функционалдық мақсаты құрылғыларды әртүрлі мультивибратор мен триггер сандық технологияның негізгі элементтерімен байланысты.

Мерциания - электрондық құрылғы автоматты түрде, кез келген сыртқы әсер жоқ, мезгіл-мезгіл бір тұрақты мемлекет тарарапынан өтетін. Trigger – электрондық құрылғы, екілік жазылған бір танбалы санды («1» немесе «0») сақтауға жад элемент ретінде пайдалануға мүмкіндік береді сыртқы тоғынко сигналдың әсерінен бір тұрақты мемлекет тарарапынан өтетін коды.

Мультивибратор - релаксациялық тербелістердің генераторы, оның схемасы кері байланысқа кері байланыс арқылы қосылған екі транзисторды қамтиды. Релаксация кезеңдегі тербелістер деп аталады, олардың шығуындағы сигналдың өткір, дерлік өзгеруі. Релаксация тербелістерін генерациялау екі соккы электронды өзін-осцилляторда (7.20-суретті қараңыз),



Сурет. 9.6. Мультивибратор: а - схемасы; б - модель



Сурет. 9.7. Мультивибратордағы кернеу диаграммалары

сәйкес релаксация тербелістерінің симметриялық схемасында қалыптастырылған көп вибратордың кезеңінде біз

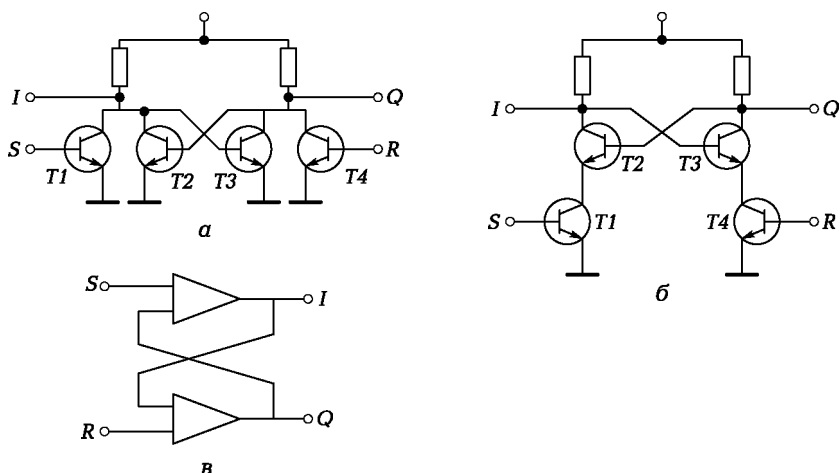
$$T = 2T_p \ln (E_i/V_0). \quad (9.2)$$

Мысалы, $E_i/V_0 = 10$ бізде $T = 4.6T_p$ болады.

Осылайша, транзисторлардың жұмысының негізгі реакциясы нәтижесінде тербеліс пайда болады, ол миант деп аталады және релаксациялық класспен байланысты. Ауытқу кезеңінің азауымен транзистордың инерциялық қасиеттерін ескеру қажет, бұл импульстің майдандарында тосқауылға және трапецидальға жақын тікбұрышты емес импульстардың пайда болуына әкеледі.

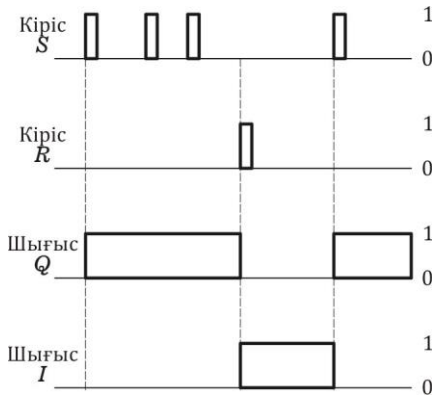
Оны «жадында» екілік кодта жазылған «1» немесе «0» санын бір санға сақтауға арналған триггердің жұмысын қарастырыңыз. Триггерлер функционалдық мүмкіндіктері, бакылау әдісі, құрылым схемасы, жұмыс режимі - асинхронды және синхронды ерекшеленеді. Сериялы түрдегі құрылғы ретінде триггер input (апарат және қосалқы) және шығу. Кіріс ақпаратының кірістері S және R (S-set, setting, R-reset), Q-direct, I-inverse әрітерімен шығатын әрітермен белгіленеді. OR-НЕ элементтерінде асинхронды RS-флип-флоптары деп аталатын қарапайым схемалардың жұмысын талдайық (Сурет 9.8, а) және элементтер - ЖӘНЕ (сурет 9.8, б). Екі схемада логикалық «1» және логикалық «0» бөлек орнатылады. Импульс түріндегі кіріс сигналы S немесе R кірулеріне беріледі. Сигналды болмауы қысынды «0», логикалық «1» болуымен белгіленеді. Схемаларда T2 және T3

транзисторлары мультивибраторлы тізбектегі рөлді орындауды - олардың көмегімен көмірсүтегі кері байланыс тізбектері арқасында тікбұрышты тербелістер пайда болады. T1 және T4 басқа екі транзисторлар тізбектерді бір жағдайдан екіншісіне ауыстыру үшін қолданылады. Суреттегі схемадан бастасақ. 9.8, а. Басталу орны: кіруде $S = 0$, $R = 0$; шығу кезінде $Q = 0$, $I = 1$. Содан кейін, t_0 сәтте кіріс сигналына қысқа импульс қолданылады. Осылайша откроется транзисторлық T1, транзисторлар T1 және T2 коллекторлар кернеу, 0 дерлік құлап болады, өз кезегінде, байланысты транзисторлық T2 Кері байланыс тізбегінің жабылуына әкеледі, ол, сондықтан оның шығу кернеу кернеу көзіне кернеу E_0 тең болады. тізбектің Қондырығыға жауапты мемлекет, яғни. жинаушы транзистора T2 «отырған», ейткені E . шығу $Q = 1$, тізбектің S кіріс мемлекет енгізіледі қанша серпін $I = 0$. Келесі, өзгерген жоқ жер «және транзистор T1 оған әсер етпейді. Схеманы қосу үшін, яғни «қалпына келтіру» операциясын орындау үшін, R енгізуіне импульсті қолдану керек, осылайша, транзисторлық



T4

Сурет. 9.8. Асинхронды RS-триггер элементтері OR - NOT (a); элементтері бойынша AND - NOT (b); функционалдық схема (c)



Сурет. 9.9. Асинхронды режимде RS- триггер операциясының уақыт диаграммалары

жүзеге асырылады және шығыс сигналдары келесі турде болады: $Q = 0, I = 1$.

Содан кейін, S енгізуіне жаңа импульс енгізу арқылы сіз $Q = 1$ тікелей шығуына қайта орнатса аласыз. Осылайша $S = 1$ үшін «орнату» операциясы $Q = 1$ сигналына сәйкес келетін тікелей шығу кезінде орындалады; $R = 1$ кезінде «reset» операциясы $Q = 0$ -ке сәйкес келеді. Демек, тек S және R кірістеріне импульстерді баламалы жеткізу тек схеманы аудыстырып косуға әкеледі, бұл күріш көрсетілген уақытша диаграммаларды көрсетеді. 9.9. Сол сияқты, функциялары және басқа тізбек екі логикалық ЖӘНЕ қақпасы тұрады, RS-флип-флоп asin-hronnogo - (.. Сурет 9.8, б) NO. Суретте көрсетілгендей trig-gera екі түрлерін функционалдық схемасы. 9.8, с.

екі аудысу тізбектердің саналады нұсқалары кестеде көрсетілген. кезекпен ол sketch-ту алгоритмі бір ғана кіріс сигналына әрекет дұрыс жұмыс қайши, өйткені екеуі де сигналдар $S = 1$ және $R = 1$ мезгілде келуі дұрыс емес енгізу S және R қолдану көрсетілген 9.6.

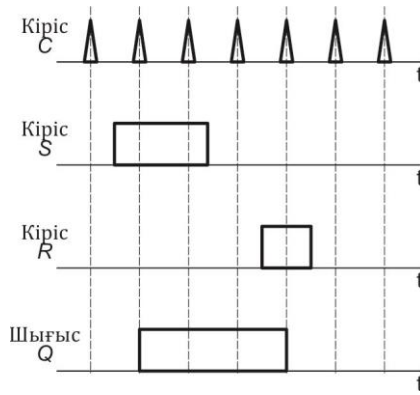
тізбектің Мұндай мемлекет отра-zheno кесте ретінде тыйым деп аталауды. 9.6. Қарастырылған екі схемадан басқа, әртүрлі функционалдық мүмкіндіктері бар биполярлық және далалық әсерлі транзисторларға бір сатылы және екі сатылы триггерлер салудың басқа нұсқалары мүмкін [15, 16].

9.6 кесте

Позиция	кіру		Схема немесе — ЖОҚ		Схема ЖӘНЕ — ЖОҚ	
	S	R	Шығу Q	Шығу I	Шығу Q	Шығу I
1	0	0	0	1	1	0
2	1	0	1	0	0	1
3	0	1	0	1	1	0
4	1	0	1	0	0	1
Тыйым	1	1	—	—	—	—

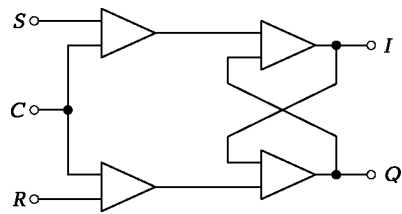
Талдау мынадай қорытынды жасауға мүмкіндік береді: екілік кодта жазылған «1» немесе «0» санының бір биті «жадында» сақтауға болатын секіріс (екі тұрақты күйі бар және екі шығу). Мультивибратормен тығыз схемаға ұқсас болғандықтан, триггер кейде екі тұрақты мультивибратор деп аталады.

Қарастырылған екі схема (9.8-суретті қараңыз) асинхронды болып табылады, кіріс сигналдарының келу сәтінде ауысады, бұл күрішдегі уақыт диаграммаларын көрсетеді. 9.9. Алайда, кейбір жағдайларда, олардың ету жолдарындағы әкпараттық сигналдардың әртүрлі уақыттық кешігүіне байланысты олар бір мезгілде іске қосу схемаларына келмейді, бұл бүкіл электронды құрылғының жұмысында ақаулыққа әкеледі. Мұндай жағдайларда триггердің жұмысын синхрондау қажет, яғни тізбегіт еркін уақыт кезеңдерінде емес, белгілі бір уақыт торына сәйкес қатаң бекітілген етіп ауыстыруды білдіреді. Ол үшін синхрондау импульсімен (басқа ат сағат болып табылады) триггерлерге жаңа сапаны беретін триггер тізбегіне басқа кіріс (C) қосылады. Синхрондау импульсінің триггерлерінің жұмысына эсер ету күріш көрсетілгендей уақыт диаграммаларын көрсетеді. 9.10. Согласно им переключение схемы происходит только, условно говоря, «в согласии» с тактовыми импульсами. Олардың айтуынша, коммутация схемасы шартты түрде «сағаттық импульспен» сәйкес келеді. Уақыттың белгілі бір қысқа уақыт аралығындағы және оның жұмысын реттеуге мүмкіндік беретін триггер күйін өзгертуге мүмкіндік беретін мұндай жұмыс режимі синхронды деп аталады. Синхронды түрдегі триггердің функционалды бейнесі күріш. 9.11.

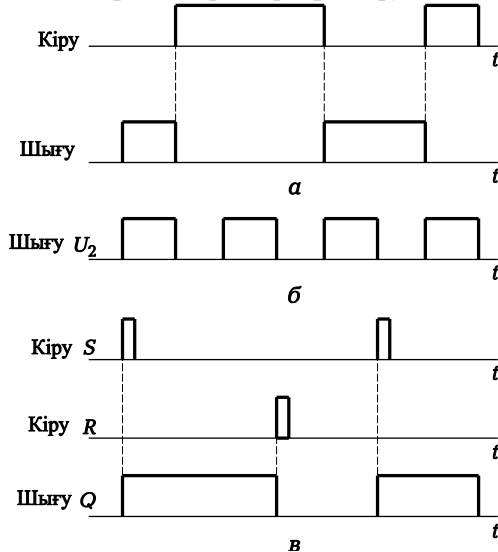


Сурет. 9.10. Синхронды режимде RS-trigger операциясының уақыт диаграммалары

Корытындылай келе, уш басты құрылғы – электрондық транзисторлық коммутатор, мультивибратор және триггерді салыстырайық. Еске салайық, логикалық схема ретінде транзисторлық электронды кілт төмендегідей жұмыс істемейді. Кіріс сигнал болмаған кезде, яғни $U_{bx} = 0$, транзисторлар жабылады, ток арқылы өтпейді, сондықтан кернеу $U_{bwy} = E_0$ шығу кернеуі болып табылады, яғни кернеу шартты «1» (9.1 суретті қараңыз). Кернеу енгізу кезінде қолданылған кезде, $U_{bx} > 0$, яғни, шартты «1», транзистор ашылады, ток арқылы ағып кетеді, карсыласу арқылы кернеудің төмендеуі коллектордағы кернеу 0-ге жақын болады, демек $uv = 0$, яғни, шартты «0». Осылайша, «0» кірісінде - «1» шығу кезінде; «1» кірісінде - «0» шығу кезінде, күріш көрсетілген уақыт диаграммасын көрсетеді. 9.12, а. Осылайша, электронды кілт НЕ-дың логикалық элементі болып табылады, оның шығуындағы сигнал кіріс сигналын үнемі қадағалап отырады, оның фазада 180° -ге аударады.



Сурет. 9.11. Синхрондың триггерлердің функционалдық диаграммасы



Сурет. 9.12. Үш тізбектің жұмысының уақыт диаграммасы - кілт; б - мультивибратор; с- триггер

Тік бұрышты импульстардың генераторы болып табылатын мультивибратордың жұмысы жоғарыда қаралады, бұл бізге мынадай қорытынды жасауға мүмкіндік береді: негізгі элементтің шығуындағы сигнал белгілі бір жиілікте «1» -дан «0» -ге дейін өзгереді (9.7 және 9.12-суреттерді қараңыз, b).

Әйтпесе, триггер жұмыс істейді: оның бірінші кірісіне қысқа импульсты (шартты «1») жібере отырып, демалыс сигналы «1» -ге тен болады және кіруде ешқандай сигнал болмаса да, шығу сигналы «1» болып қалады. Шартты түрде айтылған схема оны ауыстырган мемлекетке «есінде». Триггердің екінші кірісіне жаңа импульсты қолдану арқылы ғана тізбекті бастапкы құйге қайтаруға болады, яғни, «0» шығыс сигналына. Бірінші кіріске жаңа импульсты қолдану арқылы шығуда «1» сигналы пайда болады, ол екінші кіріске жаңа импульс пайда болғанша және т.б. өзгермей қалады. Описанный процесс отражает схема, приведенная на рис. 9.12, в. Сипатталған процесс, күріш. 9.12, б. Осылайша, триггер кіріс импульсінің командалары арқылы тек бір жағдайдан екіншісіне өтетін негізгі құрылғы болып табылады. Кіріс сигналының импульсінің арасында тізбектің қүйі өзгеріссіз қалады, ол ол «тасымалданған қүйді» «есте сақтайды». Бұл триггерді жіктеуге мүмкіндік береді құрылғылар. Электрондық кілттің және мультивибратордың триггері арасындағы айырмашылық дәл осы.

Қорытындылай келе, қарастырылған RS-триггеріне қосымша, бірнеше түрлі цифрлық электрондық құрылғыларда кеңінен қолданылатын әмбебап JK-триггері бар

9.4.

АНАЛОГТЫ-САНДЫҚ ЖӘНЕ САНДЫҚ-АНАЛОГТЫ ТҮРЛЕНДІРГІШТЕР

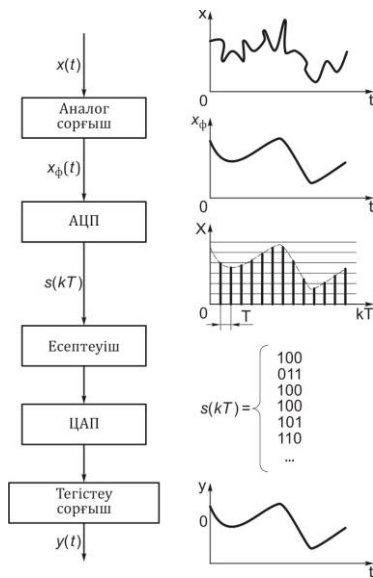
Аналогты-цифрлық түрлендіргіш (ADC) үздіксіз аналогты сигналды сандық түрге түрлендіретін құрылғы болып табылады. Бұл операция да сигналды сандық түрлендіру деп аталады. Сандық сигналды аналогтық сигналға көрі айналдыру сандық-аналогтық түрлендіргіш (DAC) арқылы жүзеге асырылады. Бұл түрлендіру процедураларын қарастырыңыз.

Кіріс аналогтық (үздіксіз) сигналды сандық және көрі тәртіпке ауыстыру сұлбасы - сандық сигналдан аналогтық сигналға дейін. 9.13. Алдымен аналогтық сигналдың жиіліктік спектрін төмен өту сүзгісінен өткізу арқылы қысыңыз. Сығымдау аналогтық сигналда

қамтылған ақпарат жоғалмай және бұрмаланған етіп жүзеге асырылуы керек. Сүзгіден кейін $x(t)$ аналогтық сигналының жиілік спектрі $0 - F_s$ жолағын алады. Содан кейін ADC көмегімен $x(t)$ сигналы сандық турдегі (kT) екі қадамда цифрланады. Бірінші саты $T = 1 / 2FB$ тең уақыт аралығы арқылы $x(t)$ функциясының үлгілерін (үлгісін) білдіретін сигналды цифrlаудан тұрады. Нәтижесінде $x(t)$ функциясы әртүрлі амплитудадан импульстардан тұратын $X(kT)$ тарақ функциясына айналады. Екінші саты $X(kT)$ функциясының әрбір импульсінің екілік жүйесін кодтау арқылы сигналды кванттаудан тұрады.

Нәтижесінде, $x(t)$ аналогтық сигналының орнына, әрқайсысы екілік сан 2^n болып табылатын, K таңбасының бірізділігі болып табылатын $s(kT)$ санын алады, мұндағы n - бір кодталған таңбаның саны немесе биттері (суретті қараңыз). 2-тарау).

Сигналдың кері түрлендіруін - сандық формасынан DAC көмегімен аналогтық және аналогтық фильтр арқылы тербелісті түзетуді қарастырайық, сол кезде $y(t)$ $x(t)$ формасында жабық сигнал. Сандық сигнал (K таңбаларының массасы) тиісті операциялармен өнделуі мүмкін.

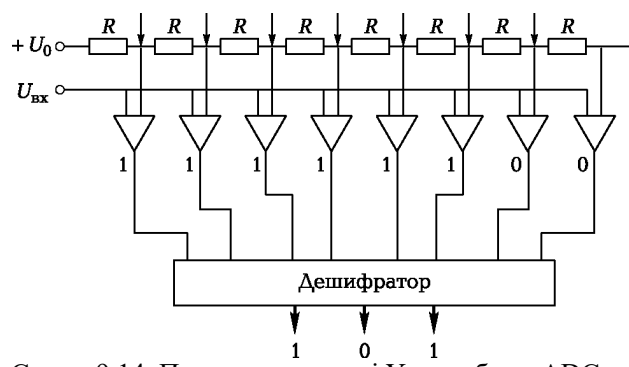


9.13 сурет

екілік сигналы бар радиокабылдағыштар - бірізділік. Бұл операцияларға мыналар жатады: сандық сигналды сүзу; басқа сигналдармен салыстыру, көбейту және бөлу; интеграция және саралау; жылдам Фурье түрлендіруі; модуляция және демодуляция және басқа да бірқатар іс-әрекеттер.

ADC параллельді және сериялық типті екі ең танымал түрін қарастырайық.

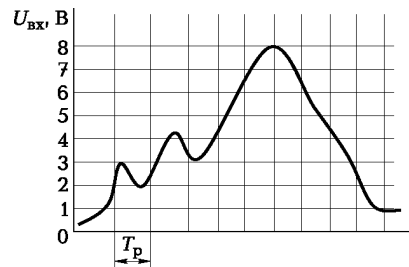
ADC параллель түрі (сурет 9.14). ADC кірісінде аналогтық кіріс сигналының іріктеу процедурасын орындайтын импульстік құрылғы іске қосылады. Осы процедураның мәні электронды кілтті қысқа түйікталу түйікталуында және осы сәтте кіріс аналогтық сигналының амплитудасы У-ны өлшеуге арналған. Кілт уақыттың бөлек уақыттарында жабылады.



Сурет. 9.14. Параллель түрдегі Үш таңбалы ADC

импульстік генератормен анықталатын Т аралығындағы интервалмен жалғасады. Қайталау кезеңі $T \ll 1 / 2F$ шартынан таңдал алынды, мұнда F - кіріс аналогтық сигнал спектрінде жоғарғы жиілік. Импульстік сигналдың ішіні, жабу және ажырату электронды кілті және осы коммутация нәтижесінде пайда болған импульстік құрылғының шығуынан алынған дискреттік сигнал суретте көрсетілген. 9.13.

Содан кейін ADC-тің нақты мысалдағы жұмысын қарастырыңыз. Аналогтық сигналды цифrlауды қажет ететін амплитудасы 0-ден 8 В-ге дейін өзгеруі керек (сурет 9.15). Сигналды түрлендіру үшін, біз әрбір үш коды бар комбинацияда үш бит бар, және $N = 2^3 = 8$ код комбинациясының жалпы саны бар (2.2 бөлімшені қаранды) Таңдалған кодқа сәйкес, аналогтық сигналдың сегіз сандары Кестеде келтірілген мәліметтер 9.7.



Сурет. 9.15. Аналогтық сигнал, цифrlанған

9.7 кесте

Аналог дыбыстық сигнал	$U_a = 1 \text{ В}$	$U_1 = 2 \text{ В}$	$U_2 = 3 \text{ В}$	$U_3 = 4 \text{ В}$	$U_4 = 5 \text{ В}$	$U_5 = 6 \text{ В}$	$U_6 = 7 \text{ В}$	$U_{\text{ex}} = 8 \text{ В}$
Сандық екілік дыбыстық сигнал	000	001	010	011	100	101	110	111

3-суретте көрсетілген параллель түрдегі ADC схемасына жүгініңіз.

9.14. Схемаға 8 дәлдік, яғни жоғары дәлдік, резисторлар және жеті компаратор кіреді. Резистордың кедергісі олардағы кернеулердің тамшылары Кестеде келтірілген аналогтық сигнал кернеуіне дәл сәйкес келетін етіп таңдалады. 9.7. Мысалы, егер көрек кернеуі $E_0 = 8\text{В}$ болғанда және әрбір резистордың кедергісі $R = 100 \text{ ом}$, онда 1-кестеде келтірілген кернеулердің мәндері резистордың тізбегі бойынша орнатылады. 9.7.

Компартатор OR типті логикалық элемент болып табылады (9.2 бөлімін қараңыз). Атап айтқанда, операциялық қүшейткішті (OA) қолдануға болады. Кернеу компаратордың кернеуі компаратордың кірістірілген кірісіне (9.14-суретті қараңыз), кернеу инвертиренбен кіріс кернеу $E < E_0$, компаратордың $E_{\text{out}} = 0$ шығысындағы кернеу және $E > E_0$ кезінде $E = 1$ мәнівых

Өлшенген аналогтық кернеу қосымша компаратордың барлық кірістірілген кірістеріне тікелей жіберіледі (9.14-суретті қараңыз). (Осылайша «Параллель типтегі DAC» атауы да кеңейтіледі.) Қайта енгізілген кірулердегі кернеулер резистор тізбегі бойымен орнатылған, яғни 1, 2, 3, 4, 5, 6, 7 V кернеу инверсияланбаған кірістегі кернеу инверттелген кірістегі кернеуден асатын, $E_{\text{out}} = 1$. Барлық басқа компараторлар $E_{\text{out}} = 0$ бойынша шығыс кернеуі. Осылайша, барлық жеті компаратордың шығуына қосылған арнайы декодордың кірісінде өлшенген кернеу мәніне байланысты сандардың белгілі бір тіркесімі құрылады. Мысалы, $E_{\text{ism}} = 6.6 \text{ В}$ өлшенген кернеуде, декодер кірісінде цифrlардың комбинациясы құріште көрсетілген.

9.14. 3,2 В кернеуде декодердің үстіңгі жағынан басталатын сандардың комбинациясы келесідей болады:

0 0 0 1 1 1.

де сандар санының комбинациясына байланысты, ол белгілі бір цифрың екілік сигналды шығарады. Мысалы, кестеде көрсетілген кернеуде 6 ... 7 В. 9.7 екілік коды 110, кернеуі 3.4 В - 011 коды шығылады. Қарастырылған мысалға байланысты, ADC-ди сипаттайтын үш параметрге жүгініңіз: бит терендігі, өлшенген аналогтық сигналдың дискреттік мәндерінің саны және

ADC жасаған екілік сигналда n биттердің санын анықтайды. Бұл жағдайда $N = 2^n$ дискретті мәндерінің саны (2.2 бөлімін қараңыз). Д ажыратылымы - ең жақын екі дискретті аналогтық сигнал мәндерінің арасындағы айырмашылық. Аналогты өлшеу кезінде 0-ден бастап Е-ға дейінгі диапазонда $A = E_m / N$ шамасы Осылайша, D ажыратылымы ADC бит сыйымдылығына байланысты аналогтық сигналдың цифрлық түрлендірілуіне болатын дәлдікті анықтайды. N және D мәндерінде $E_m = 8$ В шамасында, n сыйымдылығына байланысты кестеде келтірілген. 9.8.

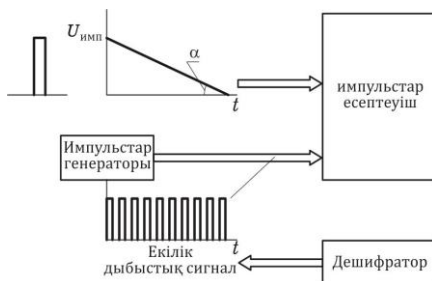
Аналогтық типті АЦП жетіспеушілігі $N-1$ -ге тең көп салыстырмалы комбинаторларды және дәлме-дәлдік резисторларының үлкен мөлшерін пайдалану қажеттілігі болып табылады. Мысалы, 12-биттік АЦП-мен компараторлар саны 4 095, ал резистор 4 096 құрайды.

Сериялық түрдегі A / D түрлендіргіші. Блок диаграммасы күріш көрсетілген. Бұл түрі ADC. 9.16, параллель типті ADC қарағанда схемалық элемент қатынасында неғұрлым үнемді.

Сериялық үлгідегі ADC келесідей жұмыс істейді. Алдыңғы жағдайда қалай болғанда, импульстік құрылғы қосылады, амплитудасы У-ны кіріс аналогтық сигналдың уақытын дискретті уақыттарда өлшейді, Тр-ге тең болады (9.15-суретті қараңыз). Импульстік құрылғының шығуына байланысты, тұрғыдан С конденсаторы,

9.8 кесте

Бит терендігі	Дискретті мәндердің саны $N = 2^n$	Рұқсат D
3	8	1 В
4	16	0,5 В
8	256	31,3 мВ
10	1 024	7,9 мВ
12	4 096	2 мВ



Сурет. 9.16. Сериялық үлгідегі ADC блоктық диаграммасы

кернеуі U_k . Содан кейін конденсатордың шығуы сызықты түрде басталады. Шығару уақытын өлшей отырып, ол зарядталған сигналдың амплитудасын анықтауға болады: $u_{им} = T_P \operatorname{tg} \alpha$. Уақытты өлшеу импульстік генератордың екінші кірісіне келетін импульстардың саны үшін арнағы есептегіш арқылы жасалады. Конденсатор С толығымен зарядталғаннан кейін импульстік генератор өшіріледі. Өлшенетін импульстардың саны M декодерге өтеді. Соңғысы енгізілген импульстар санына байланысты белгілі бір цифрлық екілік сигналды шығарады. Осылайша, сериялық-дәйекті түрлендіргіштің алгоритмі келесідей болуы мүмкін: амплитудалық уақыт-екілік код.

Корытындылай біз ADC жұмысын сипаттайтын негізгі параметрлерді тізімдейміз. Олардың үшегі жоғарыда аталған: биіктік

терендігі, өлшенген аналогтық сигналдың, ажыратымдылықтың дискреттік мәндерінің саны. Негізгі параметрлерге қосымша: өлшенген аналогтық сигналдың амплитудасының динамикалық диапазоны; Т сыныбының кезеңіне байланысты осы сигналды спектрінің жоғарғы жиілігі; Аналогтық сигналдың дәлдігі екілік кодка айналады. Ең алдымен, бұл дәлдік шешуге байланысты (9.8-кестені қараңыз). Дәлдікке әсер ететін басқа факторлар құрылғыда пайда болатын шу болып табылады және, атап айтқанда, сигнал квантациясының шуымен байланысты. Шудың ең төменгі деңгейге дейін төмендейтін өте дәл АЦП рұқсаты 24-ке жетеді.

ADC кең ауқымды әртүрлі құрылғыларда, сандық формамен сөйлеуді құрделі ғарыш аппараттарын басқару үшін кеңінен қолдануға болады.

Сандық-аналогтық түрлендіргіш. DAC - сандық сигналды аналогқа айналдыруға арналған құрылғы. DAC негізгі параметрлері: цифрлық сигнал түрлендірлетін санның сыйымдылығы, ең үлкен дискретизация жиілігі, динамикалық диапазон, құрылғыны жасай алатын ең үлкен және ең кіші сигналдардың қатынасы.

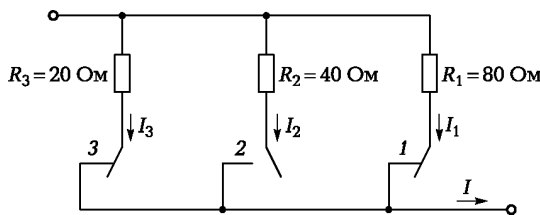
Таза ағымдардың әдісіне сәйкес DAC-дің цифрлық сигналдың 3-таңбалы кодымен жұмыс істеу принципін нақты мысалмен қарастырайық. Үш кілтті және үш резисторды қамтитын осындай DAC-ның эквиваленті сұлбасы - сандардың саны бойынша - күріш. 9.17. Резисторлардың кедергісі екілік занға сәйкес белгіленеді. Схема мәселесі сигналды ондық үтірмен байланыстыратын қатынаска (2.2) байланысты кіріс код комбинациясына байланысты демалыс сигналын алу болып табылады. Таңдалған үш таңбалы кодпен бұл өрнек пішінге ие $N_2 = M_2 2^2 + M_1 2 + M_0 2^0$, (9.3)

где $M_0, M_1, M_2, \dots, M_q$ — цифры, принимающие одно из двух значений: 0 немесе 1.

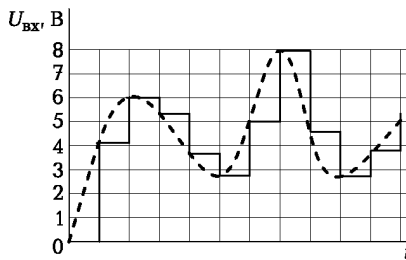
З пернесі үшінші (ең жоғары) санға жауап береді, екінші таңбаға 2 пернесі, ал бірінші үшін 1 пернесі. Біз $E_0 = 8$ В кернеуін және бинарлық занға сәйкес резисторлардың кедергісін таңдаймыз: $R_1 = 80$ Ом, $R_2 = 40$ Ом, $R_3 = 20$ Ом.

N_2 кіріс сигналы қолданылғанда, кілттер енгізу кодының тиісті биттерінің мәніне сәйкес қосылады. Кілт тиісті бит «1» болса, кілт «0» кезінде ашылады.

Жабық кілттері бар тармақтардың әрқайсысының ағымдары резистордың мәндеріне сәйкес келеді:



Сурет. 9.17. Төрт таңбалы DAC құрылымдық диаграммасы: 1 ... 3 - пернелер



Сурет. 9.18. Пerneler көмегімен тізбектегі толқынның формасын өзгерту

сандық сигнал алынады - «1» және «0» биттік тізбегі, ал цифрлар мен электронды пернелердің саны бойынша шығады (9.17-суретті қараңыз). Кернеудің жалпы көзі өте тұрақты болуы керек, кернеу оның шығуында оған байланысты жүктемелердің санына байланысты болмауы керек.

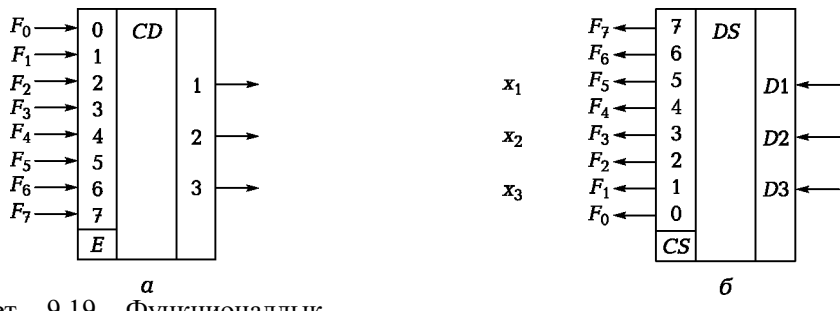
9.5. НӨМІРІ ЖӘНЕ ДЕМЕУШІСІ

Кодтауышы - кіріс сигналдарының кез келгеніне кіретін сигналды шығару кезінде n-биттік екілік код комбинациясына түрлендіретін құрылғы. Әдетте кодтауыштың m енімдері мен n шығысы бар, олардың мәндері келесі қатынастар арқылы бір-бірімен байланысты:

$$m = 2^n. \quad (9.4)$$

Мысалы, 4-биттік коды (9.4) сәйкес, яғни n = 4, кодтаушыда 16 кіріс және 4 шығу бар. Келініздер, 3-биттік кодпен шектелеміз, яғни, n = 3 және m = 8

болсын. Мұндай кодердің функционалдық сұлбасы күріш. 9.19, а. Кодекстің сегіз кірісінен 1-ге, ал қалған 0-ге берілсе кодер кодының құрамдас бөлігі кестеде жинақталған. 9.9. Кейбір координаторлар сигналдың белгілі бір уақытта алынуына мүмкіндік беретін қосымша қақпак кірісі бар. Кейбір координаторлар сигналдың белгілі бір уақытта алынуына мүмкіндік беретін қосымша қақпак кірісі бар.



Сурет. 9.19. Функционалдық схемасы: а - кодтауыш; және - декодер

Xo	X1	x2	x3	x5	x5	x6	x7	Y1	Y2	Y3
1	0	0	0	0	0	0	0	0	0	0
0	1	0	0	0	0	0	0	0	0	1
0	0	1	0	0	0	0	0	0	1	0
0	0	0	1	0	0	0	0	0	1	1
0	0	0	0	1	0	0	0	1	0	0
0	0	0	0	0	1	0	0	1	0	1
0	0	0	0	0	0	1	0	1	1	0
0	0	0	0	0	0	0	1	1	1	1

Декодер - бұл n-бит екілік сигналдың кірісін оның кірістеріне тек оның шығуының бірінде белсенді сигнал түрлендіретін құрылғы. Дегенмен,

Кодтауышта n кіруі мен қатынасы (9.4) байланысты. Декодер функционалдық схемасы үшін $m = 3$ және $n = 8$ күріш көрсетілген. 9.19, б. Осылайша, де-шифратордың атқаратын қызметтері шифрлаушы орындаған әрекеттерге қарама-қайшы. Сондықтан, 3-биттік сандық сигнал жағдайында, 9.8 декодтауга жатқызуға болады, тек Y сигналдарын және X - шығу сигналдарын ескере отырып. Декодер көмегімен, оның кірісінде кодының комбинациясына

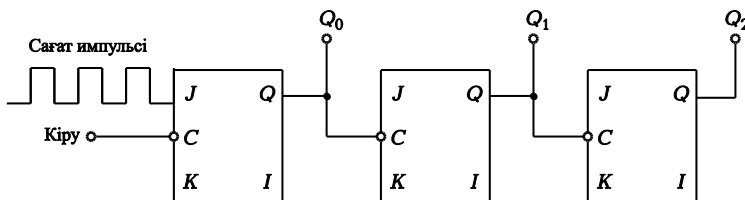
байланысты оның шығыс терминалдарына жалғанған құрылғыны қосуға болады.

Жоғарыда көрсетілген сандық сигналдарды түрлендірге және әртүрлі құрылғылармен көп өзара әрекеттесуге арналған, бұрын талқыланғаннан басқа, кодорындар мен декодерлердің күрделі функционалдық сұлбалары да мүмкін.

9.6. ЕСЕПТЕГІШ ЖӘНЕ ТІРКЕУ

Есептегіш – сандық құрылғы, ол кіріс енгізетін электр импульсінің санын есептейді. Есептегіш - белгілі бір триггерлер санының қосылуы. Байланыстың түріне қарай жүйелі, параллель және параллельді дәйекті санауыштар бар.

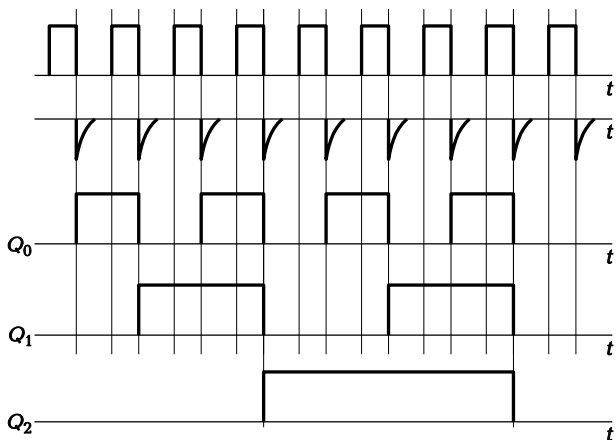
Сериялы жалғанған үш синхронды JK-триггерлердің жұмысын қарастырайық (9.2 сурет). Қосымшаға жіберілді



Сурет. 9.20. Синхронды JK негізіндегі есептегіш

Бірінші старттың кіріс сигналы – қайталау кезеңі бар тікбұрышты импульстар тізбегі (9.21-сурет). Тік бұрышты импульстарды саралаш арқылы біз өткір оң және теріс импульстардың жаңа тізбегін аламыз. Бұл сигнал алғашкы триггердің схемасында қалыптасады, оның коммуты теріс импульстік реакция ретінде пайдада болады (схема он серпінге жауап бермейді). Осылайша, бірінші флип-флоптың шығуындағы 01 сигналы кіріс сигналынан 2 есе үлкен және 2T-ге тең қайталану кезеңіне ие. Бұл сигнал екінші триггердің қосымша кірісіне берілетін болады, оның сигналды қайталаша кезеңі 2 есе артып, 4T-ге тең болады. Сол себепті үшінші триггердің шығуындағы сигналды қайталайтын период 8T-ге тең болады. Егер оның шығуындағы төртінші триггер болса, сигналды ойнату уақыты 16T болады және

т.с.с. Осылайша, әрқайсысы



Сурет. 9.21. Есептегіш схемасы

Ондық жүйеде импульстар саны	Сандар Y ₄ Y ₃ Y ₂ Y ₁	Ондық жүйеде импульстар саны	Сандар Y ₄ Y ₃ Y ₂ Y ₁
0	0000	8	1000
1	0001	9	1001
2	0010	10	1010
3	0011	11	1011
4	0100	12	1100
5	0101	13	1101
6	0110	14	1110
7	0111	15	1111

бір триггернен екіншісіне ауысқанда, импульстік қайталану кезеңі екі есе көбейді немесе басқаша айтқанда, жиілікті бөлу екі есе .

Үш триггерлердің бүкіл тізбегі үшін жалпы уақыт диаграммасы күріш көрсетілген. 9.21. Оның негізінде қойындыны жасаймыз. 9.10, оған кіріс сигналдарының Y₁, Y₂, Y₃, Y₄ сигналдарының мәндерімен құрылғының кірісінде импульстердің санын триггерлердің шығуына біркітіру (9.20 суреттің қараңыз). Соңғы 4-бит екілік сан, оның кезектілігі 0000-ден 1111-ге дейін үзіліссіз сағаттар серпінін қадағалайды.

Кестеде келтірілген мәліметтерді салыстыру. 9.10, кесте деректерімен. 2.1, есептеудің ондық және екілік жүйелеріндегі сандарды салыстырады, олардың сәйкестігін көрсетеді. Демек, күріш. 9.20, екілік сандар жүйесінде импульстарды есептеуге мүмкіндік береді.

Схемада есептелген импульстардың ең көп саны N = 2ⁿ, мұнда n - серияларға қосылған триггерлер санына тең сандар саны. N санынан асатын енгізу импульсінің саны кезде, толып кету орын алады және барлық санау циклы қайталанады.

Сонымен қатар есептегіш N импульстерінің импульстік жиілігінің бөлушісі бола алады. Бұл бөлімше, мысалы, электронды сағаттарда және тұрақты жиілік торының синтезаторларында жүзеге асырылады.

Аралық дәйектің санауышына ұқсас, параллельді түрдегі санауыш жұмыс істейді, онда импульстар бір мезгілде барлық биттердің кірістеріне қолданылады, бұл санау жылдамдығын арттырады.

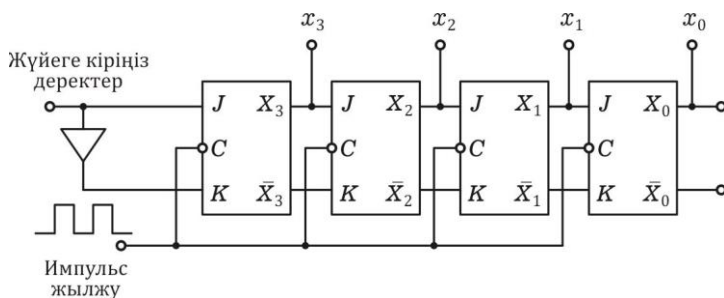
Әрбір келесі импульстен кейін, оның шығысындағы сандық код бір-біріне артады. Шегерілетін есептегіште, санауыштағы әрбір серпіннен кейін, сандық шығу коды біртіндең азаяды. Жинақтау

режимінен түсіру режиміне ауысуға болатын есептегіштер көрі деп аталады.

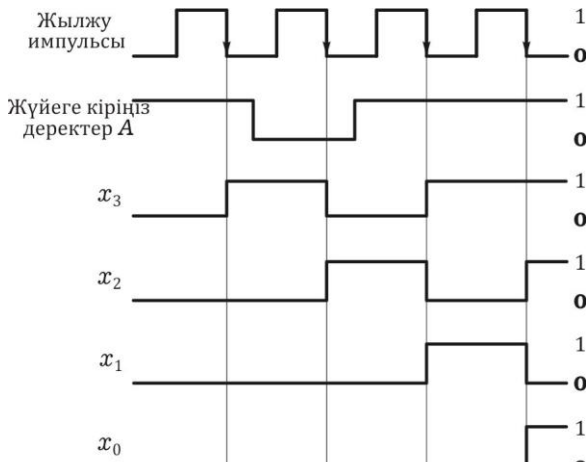
Триггерлер негізінде құрылған тағы бір құрылғы - л-биттік екілік код түрінде берілген ақпаратты қабылдау, сақтау және беру функцияларын орындайтын тізбе.

Регистрлердің негізгі жіктеу ерекшелігі - екілік коды тіркелімге және оның шығуына жазылған. Сондықтан parallel, дәйекті (ауысып) және параллель-дәйекті тіркелімдерді ажыратыңыз. Параллельді тіркелім параллель кодпен жазу әрекетін орындаиды. Сериялық регистр кезекті кодты тіркейді, ең төменгі немесе ең үлкен биттен бастап, кодты сағаттардың импульсімен жүйелі түрде ауыстырады. Параллельді тізбекті регистрлерде нөмірлік кодтың параллельді және сериялық жазбалары үшін кірулар бар. Сонымен қатар, ауыспалы тізлімдер бір және екі жақты (реверсивті) регистрлерге бөлінеді. Бір бағытты регистрлер кодты солға немесе онға жылжытады, екі жақты тіркеулер солға және онға жылжиды.

Синхронды JX-флип-флоптардағы 4-биттік сериялық жылжыту тізбегінің жұмысын қарастырайық, оның схемасы күріш. 9.22. Ауысым - флип-флоптарда сақталатын екілік сандар сағаттық сигналдың әр пульсі үшін бір флип-флоптан екіншісіне ауысатын тіркелім. Бұл процесс



9.22 сурет



Сурет. 9.23. Жылжу тіркелімінің уақытша кескіндері

кәдімгі арифметикалық калькуляторда байқауға болады, онда дисплейдегі сандар жаңа нөмірді енгізген сайын аудысады. Суретте көрсетілген схемада. 9.22, кез келген триггердің С кірісіне келу кезіндегі теріс жиілігі келгенде, олардың әрқайсысы оның сол жағында триггерлерде сақталатын мәнге ие болады. Шиналмалы импульстің теріс жиектері келу сәтінде X3-ті іске қосқан кезде, J және K-дің кіріс шарттарында анықталған мәнге ие болады.

Регистрдің жұмысын мысал ретінде қарастырайық Ширату импульстерінің пайда болуына дейін барлық триггерлер нөлдік күйде және А сигналының сигналын (9.23-сурет) флип-флеш X3-нің кірістеріне J және K-ге берілсін деп есептейміз. Қазіргі уақытта сағаттық импульстің келуінің T1, тек X3 триггері жаңа күйге түседі және барлық басқа триггерлердің жағдайы өзгеріссіз қалады. Қазіргі уақытта T2 екінші аудыстың импульстің теріс жиегінен келген кезде, тек X2 триггері жаңа күйге ие болады, ал T3 - тек X3 триггері, T4 кезінде - X4 ғана.

Осылайша, шиыршық импульсінің әрбір жағымсыз жағы келген кезде, әрбір триггердің шығысы бұрын сол жақта триггер кірісінде болған деңгейге ие болады. Және X3 триггерлері тізбегіндегі бірінші ғана кіріс сигналында анықталған деңгей келесі шиыршық импульсінің теріс жиектері пайда болғанға дейін орнатады. Әрбір келесі сағаттардың импульсінің әрекеті нәтижесінде тізілімдегі код бір санды аудыстырады.

9.7. САНДЫҚ СҮЗГІ

Фильтрдің мақсаты белгілі бір жиіліктер ауқымында сигналдарды беру және басқаларды кешіктіру болып табылады. Сүзгілер арқылы таңдаулы арнаны хабарларды қабылдау, жіберу, өндізу, пайдалы спектралды компоненттерді бөлу және зиянды заттарды басу үшін конфигурациялауға болады.

Сүзгінің негізгі сипаттамалары:

- L3 (f) сигналдық жиілігіне енгізілген демпфингтің тәуелділігі;
- Amplitude-frequency response (AFC) K (f);
- фазалық-жиілік сипаттамасы (PFC), яғни. жылжу тәуелділігі жиіліктерінде фазалық сигнал;
- уақыт сипаттамалары.

Сүзгі арқылы берілетін сигналға әлсіреу, әдетте, децибелде анықталады. Дисперсияның шамасы АФФ-ны анықтайтын кернеу арқылы сүзгі беру коэффициентіне байланысты, тәуелділік b

$$b_3(f) = 20 \log (K(f)). \quad (9.5)$$

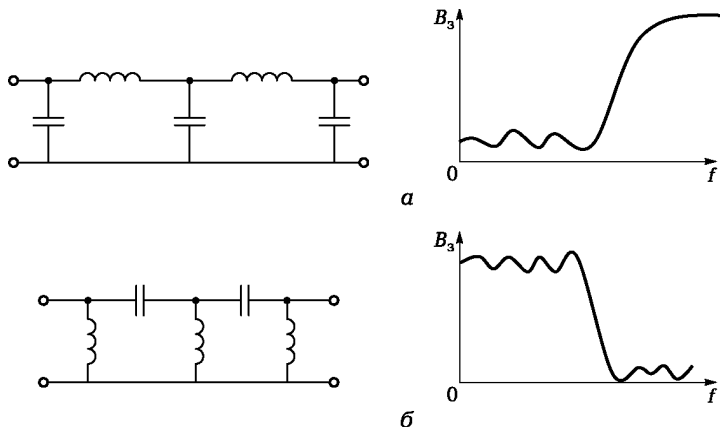
Аналогтық сүзгілердің әр түрлі түрлері белгілі, яғни аналогтық сигнал беру үшін арналған. Олардың ең қарапайымы реактивті 4-полюсте, яғни тек сыйымдылықтар мен индуктивтерді қамтитын схемаға негізделген сүзгі. Осындай төмен еткізгіштің сүзгісінің сұлбасы мен сипаттамалары күріш. 9.24 және жоғары жиіліктер күріш. 9.24, b.

Аналогтық сүзгінің дизайнын негізге ала отырып, қажетті жиілік реакциясы жатыр, яғни. сүзгі параметрлерінің сигнал жиілігіне тәуелділігі (9.24-суретті қараңыз, а). Дизайн процесінің өзін өзі сүзгі жасалатын индуктивтіліктер мен сыйымдылықтардың мәндерін анықтау үшін азаяды (9.24, b-суретті қараңыз), онда жиіліктері қажетті жауап беріледі.

Басқа әдіс сандық сүзгіні жобалау кезінде орын алады, ол жиілікте емес, бірақ сүзгі уақытының сипаттамасында. Мұндай сүзгіні жобалау мен есептеуді егжей-тегжейлі қарастырайық.

Сандық сүзгі - соңғы айырмашылықтарда келесі тендеуге сәйкес жұмыс істеу алгоритмін іске асыратын есептегіш құрылғы:

$$y(kT) = \sum_{m=0}^{M-1} a_m x((k-m)T) - \sum_{i=0}^{I-1} b_i y((k-i)T), \quad (9.6)$$



Сурет. 9.24. Аналогтық сүзгі - төмен етү; b - жоғары жиілік

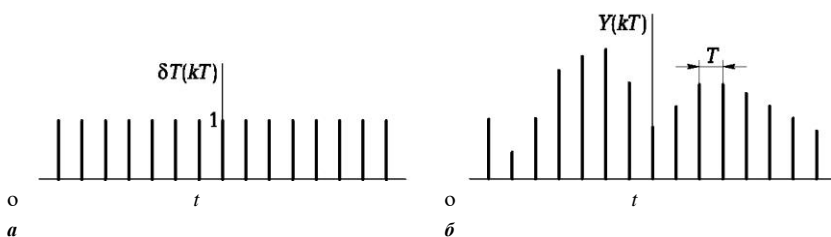
1) мұндағы x (kT) - кіріс сигналының үлгілері; y (kT) - шығыс сигналының үлгілері; ам, bf - коэффициенттер.

2) Сызықтық сандық сүзгілер екі түрге болінеді:

3) тұрақты коэффициенттері бар тұрақты параметрлері бар құрылғылар тұрақты және бұл талапқа сай келмейтін айнымалы параметрлермен;

4) сүзгілер рекурсивті емес (басқа атап қөлденен), ол үшін барлық коэффициенттер $b_i = 0$, нәтижесінде шығу сигналы тек кіріс сигналына байланысты; және рекурсивтілік үшін $b_i \neq 0$, яғни кері байланыс бар екенін белдіреді.

Тұрақты емес параметрлері бар қарапайым емес крессионалды сандық сүзгінің құрылымы мен сипаттамаларын қарастырыңыз. Тендеуде (9.6) осындай фильтр үшін соңғы айырмашылықтарда келесі тендеуді аламыз:



Сурет. 9.25. Кафедра функциясы

$$y(kT) = \sum_{m=0}^{M-1} a_m \delta((k-m)T), \quad (9.7)$$

мұнда $\delta(k - mT)$ - дискретті дельта деп аталатын топ функциясы -

$$\begin{aligned} 5((k - m)T) & \quad 1 \text{ при } k = m; \\ & \quad 0 \text{ при } k \neq m. \end{aligned} \quad (9.8)$$

функциясы (сурет 9.25, а)

Рекурсиялық цифрлық фильтрдің кешенді жиілік реакциясы үшін өрнегі бар

$$K_H(j\omega) = \sum_{m=0}^{M-1} a_m e^{-j m \omega T}, \quad (9.9)$$

мұнда T - аналогтық сигналдың іріктеу кезеңі (9.25-суретті қараңыз).

Фильтрдің амплитудалық-жиілік сипаттамалары үшін (9.7)

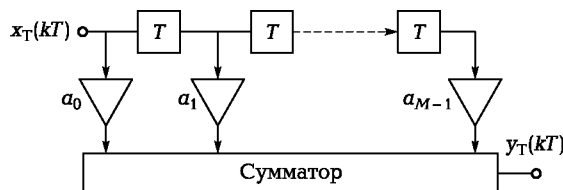
$$A_H(\omega) = |K_H(j\omega)| = \left| \sum_{m=0}^{M-1} a_m e^{-j m \omega T} \right|. \quad (9.10)$$

Фазалық-жиілік сипаттамалары үшін (9.9) бізде бар

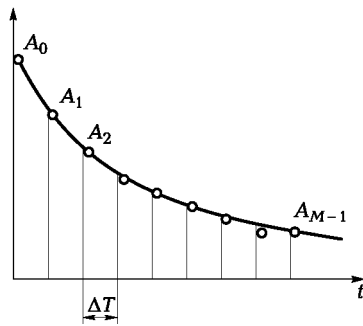
$$\Theta_H(\omega) = \arg[K_H(j\omega)] = \arg\left[\sum_{m=0}^{M-1} a_m e^{-j m \omega T}\right]. \quad (9.11)$$

Уақыт сипаттамасын жүзеге асырудың тікелей формасы (9.7) күрішке келтірілген регулярлық сандық сүзгінің құрылымына экеледі. 9.26. Суретте көрсетілген схемада. 9.26, жүлдэз T - аналогтық кіріс сигналының іріктеу уақытына тең уақыт T үшін кіріс импульсінің кешігүйін білдіреді (9.25-суретті қараңыз).

Сандық фильтрдің импульстік реакциясы - бұл бір дельта импульсіне жауап беру. Демек, өрнекпен (9.7) үқсас, келесі формула бар:



Сурет. 9.27. Сандық сүзгіні импульстік жауап h



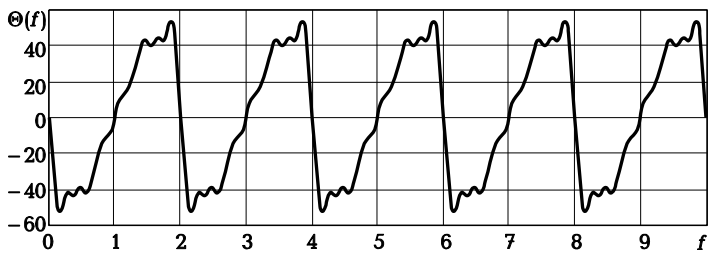
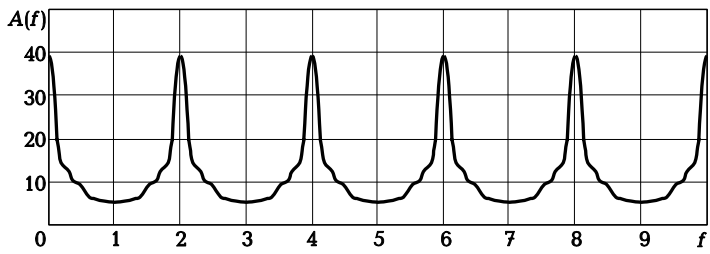
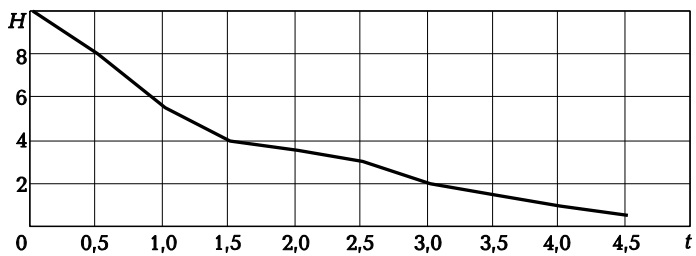
$$H_H(kT) = \sum_{m=0}^{M-1} a_m \delta((k-m)T) \quad (9.12)$$

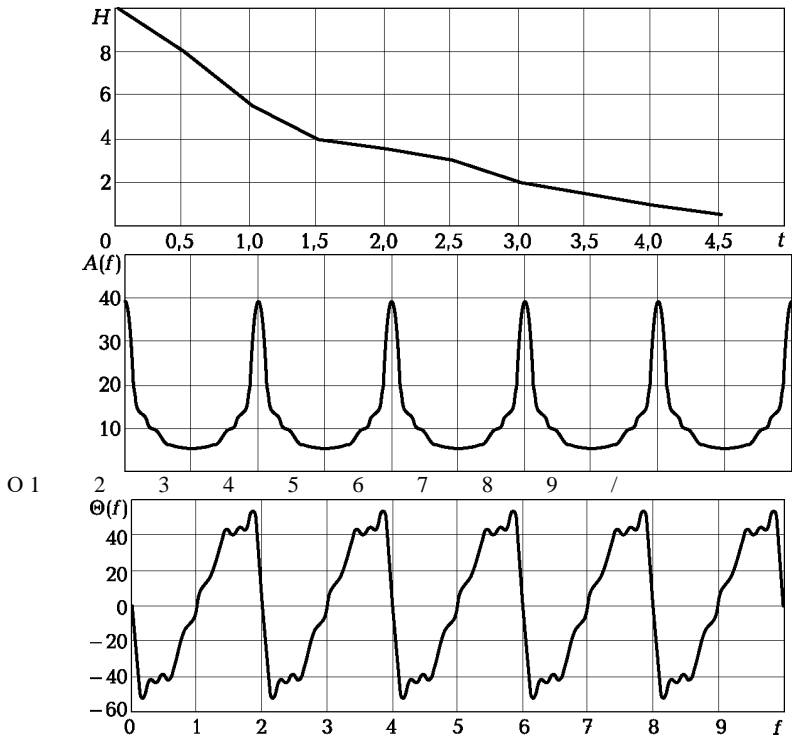
мұнда 5 м) Т - өрнек (9.8) бойынша анықталған бірлік delta импульсі.

Сандық сүзгінің импульстік жауап беруі аналогтық фильтрдің сипаттамасымен бірдей, оның a_1, a_2, \dots, a_{M-1} үлгілері үздіксіз функциясының A_1, A_2, \dots, A_{M-1} үлгілерімен сәйкес келеді, АТ аралығынан өтеді 9.27-сурет). Сондыктан үздіксіз типтегі сзызытың тізбектің импульстік реакциясын жасап, АТ уақытын таңдау уақытын таңдаپ, оған сәйкес тұрақты емес коэффициенттердің барлық жиынтығын анықтауға болады, $= a$ - вектор a жинақталған, тиісті рекурссиятивті сандық сүзгінің сілтемелері үшін жиналған ADT (9.27-суретті қараңыз).

$A_0, a_1, a_2, \dots, a_{M-1}$ коэффициенттерінің берілген мәндері үшін импульсті (9.12), амплитудалық-жайлік сипаттамасын (9.10) және жайлілікке жауап берудің (9.11) рекурсивті емес цифрлық сүзгісін есептеудің бағдарламасын ұсынамыз дискретизации Т:

$$\begin{aligned} a := & \left\{ \begin{array}{c} 10 \\ 8 \\ 5.5 \\ 4 \\ 3.5 \\ 3 \\ 2 \\ 1.5 \\ 1 \end{array} \right\} j := \sqrt{-1} \quad T := 0.5 \quad M := 10 \quad M1 := M - 1 \\ & m := 0..M1 \quad t_m := m \cdot T \quad H_m := a_m \\ K(f) := & \sum_{m=0}^{M-1} a_m \cdot e^{-j \cdot m \cdot 2\pi \cdot f \cdot T} \quad A(f) := |K(f)| \quad \Theta(f) := \arg(K(f)) \cdot \frac{180}{\pi} \end{aligned}$$





Сурет. 9.28. Рекурсиялық сандық сүзгінің сипаттамасы

Бағдарламада жоғарыдағы формулалардағыдан белгілер колданылады.

Дискретті сигнал спектрі сиякты бейцирussиялық фильтрдің жиілік реакциясы $F = 1 / T$ қайталану жиілігі бар мерзімді функция болып табылады. Ең жиілік жиілігі $f_m = mF$ жиілік мәндеріне сәйкес келеді, мұнда m бүтін сан болып табылады. Амплитудалық-жиілік сипаттамасының және ПФФ формасы вектор a -ға жиналған коэффициенттердің комбинациясына байланысты. $M = 10$ болатын сандық сүзгінің үш сипаттамасының бағдарламасына сәйкес есептеу мысалы мысалда көрсетілген. 9.28. Бұрынғыдан, уақыт өлшемі [с, мс, мс] жиілігі [Гц, кГц, МГц] кезінде өлшенеді.

Осылайша, аналогтық фильтрді жобалау үшін негіз оның жиіліктік әрекеті болып табылады (9.24-суретті қараңыз), сандық импульс, яғни уақыт (9.27-суретті қараңыз). Себебі бұл сипаттамалар бар

(6.2-бөлімшені қараңыз), онда әрбір аналогтық фильтрке балама сандық сүзгі сәйкес келеді. Сүзгілер арасындағы айырмашылық - аналогтық сүзгінің сипаттамасы біртұтас, сандық - кезеңдік.

9.8. МУЛЬТИПЛЕКСОР

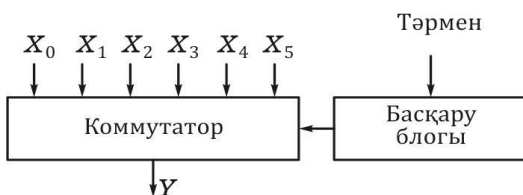
Мультиплексор цифранған сигналдардың ансамблінен кіретін қажетті комбинацияны таңдайтын және оны шыгаруға жіберетін құрылғы. Мультиплексордың функционалдық схемасы К кірістерімен және бір шығысымен көп позициялық қосқыш ретінде ұсынылуы мүмкін, және пәрмен бойынша қажетті арнаны таңдайтын және оны шығысқа қосатын басқару құрылғысы (9.29-сурет). Аналогтық сигналдар арқылы жіберілетін арналарды ауыстырған кезде мультиплексорды ADC-мен біріктіруге болады. Арналарды ауыстырудан басқа, мультиплексорлар параллель екілік кодты кейінгі екілік кодқа түрлендіру үшін де пайдалануға болады.

9.9. ЕСТЕ САҚТАУ ҚҰРЫЛҒЫЛАРЫ

Жад құрылғысының (жады) мақсаты – сандық түрдегі ақпаратты жазуға, сақтауға және окуға арналған forme,
Көбінесе екілік кодта - «1» немесе «0».

Жадтың негізгі параметрлері: ЗУ:
мегабайт, гигабайты, гигабайты (1 Кбит = 1010 байт == 1020 Мбит = 1030 Кбайт = 1040 байт);

- Ақпараттық сыйымдылық, байтпен, килобайтпен өлшенеді



Сурет. 9.29. Мультиплексордың функционалдық схемасы

■ жылдамдығы - белгілі бір ақпаратты жазуға немесе оқуға қажетті уақыт;

■ энергияны тұтыну - ақпараттың белгілі бір көлемін оку мен сақтау процесінде тұтынылатын электр энергиясының мөлшері.

Функционалды мақсаттар үшін келесі құрылғылар бөлінеді:

■ екілік ақпаратты сақтау режимдерінде жұмыс істейтін, орындалатын бағдарламалардың кодын қоса алғанда, жедел деректерді («1» және «0») жылдам жазуға және оқуға арналған жедел жады (RAM);

■ Жи қолданылатын ақпаратты сақтау және оны оқу режимдерінде жұмыс істейтін тұрақты естеліктер (ROM);

■ Ақпаратты электронды түрде өшіру және басқа жазбаны жазу арқылы қайта бағдарламаланатын оқуға арналған естеліктер (ЭПРОМ).

Операцияның физикалық қағидасына сәйкес, келесі жады түрлері бөлінеді: жартылай өткізгіш, магниттік жазба (қатты және жұмсақ магниттік дискілер) және оптикалық (CD, DVD).

Жадтың үлкейтілген құрылымдық схемасы күріш. 9.30. Ол мынадай элементтерден тұрады: аккумулятор - матрицада біріктірілген үяшықтарды есте ұстайтын массив; әрбір үяшықтың декодердің код мекенжайы; ақпараттық жазба бірлігі; ақпараттық оқылым блогы; құрылғы басқару блогы. Қажетті жад үяшығын таңдау үшін жол және баған декодері қолданылады.

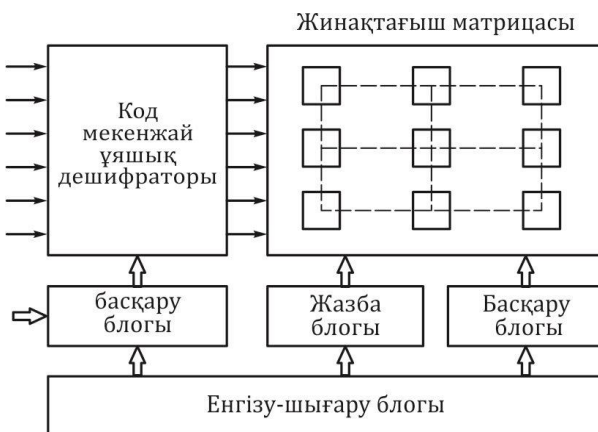


Рис. 9.30. Структурная схема запоминающего устройства

Сақтау құрылғысы жады клеткалары орналасқан түйіндерде, адреске және ағызатын автобустарға қосылған матрица болып табылады. Әрбір жад ұяшығы екілік кодта 1 бит ақпаратты сақтайды - «1» немесе «0». Жетектің матрицасы жолдардың (олардың саны) және бағандардың (олардың саны k) қызылысында орналасқан жады элементтері $n = mxk$ тұрады. Қажетті жадтың ұяшығын таңдау үшін ұяшықтың командаларында командалық жолға және бағанға арналған декодер қолданылады және оған «1» немесе «0» жазылады немесе оқылады.

RAM арнайы LSI пайдаланғандықтан, олар статикалық және динамикалық болып бөлінеді. Статикалық жадта жады элементі биполярлы немесе өріс тиімді транзисторлардағы триггер болып табылады; Динамикалық RAM-да - далалық әсерлі транзистордың қақпасы ретінде пайдаланылатын конденсатор.

Ақпаратты ROM чиптерінде жазу арнайы құрылғы - бағдарламашы арқылы жүзеге асырылады. Алдын-ала жазылған ақпаратты PC-да қайта бағдарламалау кезінде ультракүлгін сөүле немесе электр сигналы арқылы жүзеге асырылады. Мұндай ROM дискінің сыйымдылығы әдетте кемінде 100 Кбайт болады, қайта бағдарламалаудың рұқсат етілген көлемі - 100.

БАҚЫЛАУ СҮРАҚТАРЫ

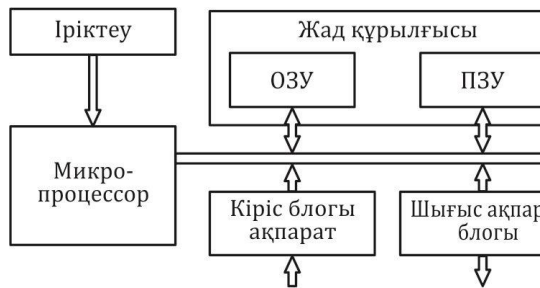
1. Сандық базалық элементтердің негізгі түрлерін көрсетіңіз. Олардың қысқаша сипаттамасын беріңіз.
2. ЖӘНЕ ЕСКЕРТПЕ логикалық сұлба мен ЖӘНЕ НЕМЕСЕ логикалық схемасы OR арасындағы айырмашылық қандай? Осы диаграммаларды сызыңыз.
3. Электрондық кілтті, мультивибраторды және триггерді салыстырыңыз.
4. Аналогтық сұзгі мен сандық сұзгі арасындағы айырмашылық қандай?
5. Сақтау құрылғыларының негізгі түрлері қандай?

ЖАЛПЫ ҚОЛДАНУ ҮШИН САНДЫҚ ҚҰРЫЛҒЫЛАР

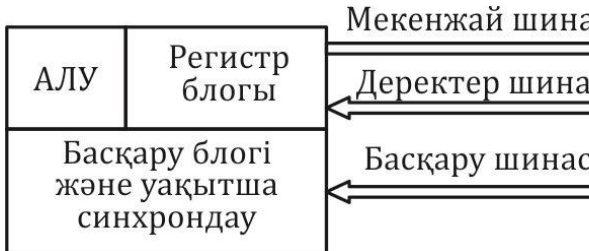
10.1.

Микропроцессор – аналогтық және цифрлы ақпарат пен деректермен есептеулерді өндеуге және орындауға арналған сандық электрондық құрылғы.

Микропроцессор автоматтандырылған басқару және түрлі техникалық объектілер мен жүйелердің жұмысын бақылауға арналған құрылғыларда қолданылады. Бұл функцияны жақсырақ түсіну үшін алдымен микропроцессорлық құрылым диаграммасына (10.1-сурет) аудисамыз, онда микропроцессор негізгі рөл атқарады. ЖЖҚ (9.30-суретті қараңыз) компьютердің жұмысы кезінде жиі өзгеретін бағдарламалар мен деректерді, сондай-ақ есептеулердің аралық және түпкілікті нәтижелерін сактайды. Бірнеше чиптерді қамтитын ROM, жұмыс кезінде өзгермейтін және компьютер өшірілгеннен кейін өзгермейтін пәрмендер мен деректерді сактайды. Кіріс және шығыс ақпарат блоктар



Сурет. 10.1. Микрокомпьютердің блок-схемасы:
RAM - кездейсоқ қол жады; ROM - тек оқуға арналған есте сақтау



Сурет. 10.2. Микропроцессорлық блок схемасы барлық компьютерлік блоктары бар перифериялық құрылғылардың байланысын және интерфейсін беретін интерфейс деп аталатын техникалық және бағдарламалық құралдар мен ережелерді қамтиды.

Микрокомпьютерге енгізілген ақпарат және оның жадында сақталған деректер микропроцессор арқылы белгілі бір алгоритм бойынша логикалық және арифметикалық операцияларды орындау арқылы өндөледі, нәтижесінде оңтайлы шешім жасалады. Есептеулердің нәтижелері ЖЖҚ-ға ауыстырылды.

Микропроцессордың функционалдық диаграммасы, күріш. 10.2, мынадай негізгі блоктарды қамтиды:

- басқару және уақытты үндестіру қондырғысы (BMSC);
- регистрлер блогы;
- арифметикалық-логикалық құрылғы (ALU). Микропроцессор басқа құрылғылармен байланыска шығатын үш байланыс арнасы арқылы байланысады: мекенжайлар, деректер және басқару.

Аналогтық сигналдармен жұмыс істеуге арналған сигнал микропроцессоры ADC-ті қамтиды (9.4 бөлімін қараңыз). ВWA-мен орындалатын негізгі функциялар сыртқы жад құрылғыларынан таңдауға және командалық кодтарды декодтауға, содан кейін оку пәрмендерін орындау және сыртқы құрылғылармен өзара әрекеттесу үшін басқа микропроцессорлық блокқа жіберілген қажетті уақыт пен басқару сигналдарын генерациялау болып табылады.

Тіркеу блогы оперативті немесе тұрақты жадтан алғынған ақпаратты өндеуге қызмет етеді. Бұл блокқа мыналар кіреді: олардың орындалуын қажетті тәртіпте қадағалайтын командалық есептегіш; декодталған нұсқаулықтардың кодтарын сақтау нұсқаулығының парагы; есеп айырысу нәтижелері сақталатын тіркелім-аккумулятор; жадтан оқылатын деректердің мекен-жайларын сақтау үшін тіркелу.

ALU алғынған деректермен арифметикалық операцияларды белгілі бір ретпен орындаиды, қосу, алу, көбейту және бөлу сиякты; AND, NOT, OR нысанын логикалық операциялары, деректерді ауыстыру (9.2 бөлімін қараңыз). ALU есептеулерінің нәтижелері ЖЖҚ-ға

ауыстырылады. Микропроцессордағы жекелеген бөліктер арасындағы байланыс сымдардың үлкен санынан тұратын автобустар (тростар) деп аталады. Мекен-жайлардың, деректер мен бірлескен командалардың автобусы бар.

Казіргі уақытта бірнеше түрлі микропроцессорлар шығарылады, олар BIS, 50 мың немесе одан да көп транзисторлар бар бір чип. Негізгі параметры микропроцессора:

- аналогтық сигналдың іріктеу кезеңін анықтайтын жиілік (бірнеше жүз мегагерцке дейін);

- Аналогтық сигналдың динамикалық диапазонын анықтайтын деректердің ені (мысалы, бит жылдамдығы 24 бит болса, динамикалық ауқым - 144 дБ);

- мекен-жайлардың саны;

- кіріс ақпаратының өндеу уақытын және басқару сигналын қалыптастыру уақытымен анықталған жылдамдық;

- мүмкін шеткі туралы ақпарат;

- Қолданудың қолайлы облысы. Микропроцессордың көмегімен әртүрлі объектілердің жұмыс режимі белгіленеді: әртүрлі деректерді беру және қабылдау уақытына байланысты олардың циклі; әртүрлі агрегаттағы уақытты басқару және басқару командалары; сандық дисплей басқару; түрлі сенсорлардың жұмысын бақылау және басқа да көптеген функциялар. Микропроцессор әртүрлі объектілердің бейне бақылау жүйесін, кез келген модульді қыздыруға және термостабилизацияға арналған құрылғы, көлік қозғалысы жылдамдығын басқара алады және көптеген басқа операцияларды орындай алады

Белгілі бір алгоритм бойынша нысандарды басқару функциясына қосымша, микропроцессор сигналдарды сандық сұзу және спектральды талдау, дифференциалдық тендеулерді шешу, кодтау және декодтау сигналдарын қолдану үшін қолданылады.

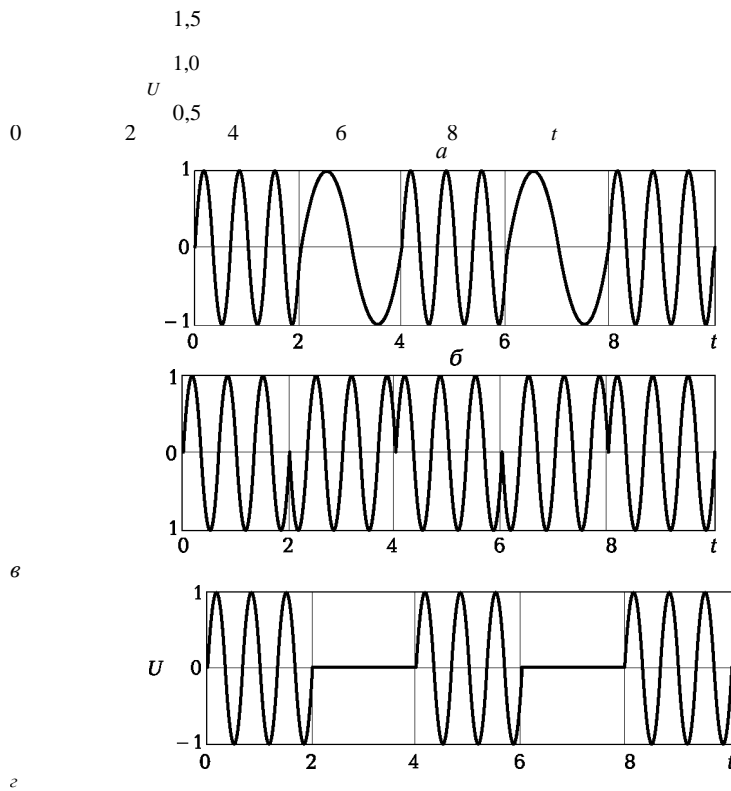
10.2.

«Модем» сөзі екі құрылғы қысқартылған атауы - модулятор және демодулятор. Осы екі терминнің мазмұнын ашып көрейік.

Хабарларды сымды және радиохабарларға беру тасымалдаушы тербелістерінде бастапқы хабарламаны енгізу жолымен жүзеге асырылады. Бұл процесс тербеліс модуляциясы деп аталады, және оны орындайтын құрылғы модулятор болып табылады.

Алынған тасымалдағыш тербелістерінен жіберілген хабарламаны шығарумен байланысты кері үрдіс дезодуляция деп аталады және оны

іске асыратын құрылғы демодулятор болып табылады. Хабарларды радиоарнаға жіберу үшін пайдаланылатын модем радио модем деп аталауды. Көп жағдайларда модемдер сандық хабар алмасу үшін арналған. Модуляцияның үш ықтимал түрі: амплитуда (AM), жиілік (FM) және фаза (PM) мүмкін. Сандық таратылатын хабардың түрі



Сурет. 10.3. Сандық сигнал модуляциясы:

а - бірізділік; б - FM-да сигнал; с - FM-да сигнал; д - AM сигналы бар

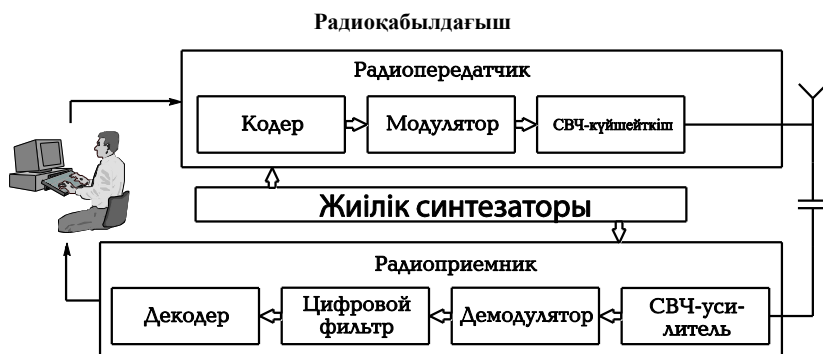
және модуляцияланған тербелістердің үш түрі (FM, FM және AM) күріш. 10.3.

Модемді пайдалану арқылы компьютер қол жетімділік нұктелері деп аталағын байланыс арқылы телефон және радио арналары арқылы интернетке қосылған. Бірінші жағдайда сандық деректерді беру жылдамдығы 112,5 Кбит / с-тан аспайды, екіншісінде секундына бірнеше мегабиттен асуы мүмкін.

Компьютерлерді интернетке қосудан басқа, модемдер әртүрлі датчиктерден, мемлекеттік қызметте, қауіпсіздік және өрт дабылы жүйелерінен және басқа да жағдайлардан ақпарат алу үшін өнеркәсіптік кәсіпорындарда қолданылады. Осылайша, модемдердің ауқымы өте кең және әртүрлі.

Құрылымдық схемасы күріште көрсетілген радио модем. 10.4 - радиохабарлағыш, радио қабылдағыш, жиілік синтезаторы және электрмен жабдықтауды қоса алғанда, автоматтандырылған радиостанция. Осы схемаға сәйкес, компьютерден алынған цифрлық ақпарат координаторға кіреді, онда деректер биты модуляция коды сигналдарына айналады. Сонда сигнал жиілікке немесе фазалық модуляторға келеді.

Модулингік хабарламалар осциллятордағы тасымалдаушыға тасымалдаушы тербелістеріне және микротолқынды күшейткіште күшетуге қолданылғаннан кейін қалыптасқан радио сигнал антеннамен шығарылады. Желіден алынған микротолқынды сигнал демодулирленеді, сандық сүзгі арқылы кедеріден «тазартылады» және декодер екілік сигналды қалпына келтіргеннен кейін, экранда алынған ақпарат көрсетілетін компьютерге кіреді. Тұрақты сигналдарды генерациялайтын жиіліктегі синтезатор таратқыш, қабылдағыш және радио модульдің барлық сандық бірліктері үшін сағат генераторы ретінде қолданылады.



Сурет. 10.4. Радио модемнің функционалдық диаграммасы

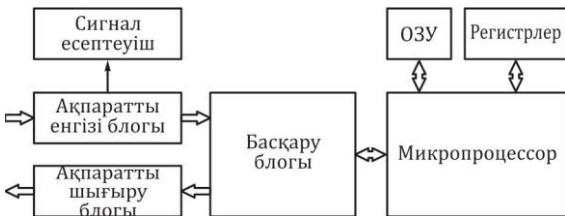
Радиожиілктер үшін 2 ... 5 ГГц аралығындағы микротолқынды диапазондағы жиілік бөліктері анықталған. Радио-модемге ұксас, қарапайым модем де ұйымдастырылған, онда тек микротолқынды каскадтар жоқ. Ш. Модельдері 14 радио модемдерді қолдану мысалдарын көрсетеді.

10.3.

Контроллер объектінің жұмысын автоматты түрде басқаруға арналған құрылғы. Арнайы топ өнеркәсіптік жабдықтарды, мысалы, газ турбиналық электр генераторын, су қоймасындағы бөгет қақпасын, роликті фабриканы, электровозды немесе автокөлікті басқару үшін өнеркәсіптік контроллерлерді пайдаланады. Қазіргі уақытта белгілі бір бағдарламаға сәйкес автоматтандырылған тәртіпте контроллермен басқарылатын көптеген объектілер қазіргі әлемде шексіз үлкен. Салыстырмалы түрде шағын өнеркәсіптік қондырығы контроллерінің көмегімен құрылғыны және жұмыс принципін қарастырыңыз. Мұндай контроллер келесі функцияларды орындауы керек:

- нысанның жұмысын бақылайтын аналогтық, сандық және релелік сенсорлардан алғынған деректерді тіркеу және талдау;
- төтенше жағдайларды және авариялық-құтқару жағдайларын және объектінің қалыпты жұмыс режимінен ауытқуын анықтау;
- объектілер тобын басқару және басқару үшін басқару орталығына деректерді беру;
- Автоматты түрде нысанның параметрын реттеу;
- Өндірістік контроллердің жұмысы төмендегілермен анықталады
- негізгі техникалық параметрлері
 - кіріс порттарына қосылған сенсорлардың ең көп саны;
 - кіріс деректерін өндіріс және талдау жылдамдығына және басқару командаларын қалыптастыру жылдамдығына байланысты жылдамдық; желілік интерфейстің бір түрі, яғни перифериялық құрылғымен байланыс

Салыстырмалы аз сенсорлар мен қарапайым жұмыс алгоритмімен контроллер тізбектік логика негізінде орындалуы мүмкін. Мысалы, бұл мүмкін



Сурет. 10.5. Контроллердің функционалды диаграммасы

түнгі уақытта жарықтандыру желісін автоматты түрде қосу үшін контроллер. Фотодиодтың негізінде жасалған сенсор сигнал шығарады, ол контроллерге жарық көздеріне келесі командаларды құруға мүмкіндік береді.

Басқарылатын объектіні басқарудың құрделі алгоритмімен контроллер микропроцессорды қамтуы керек. Осындау бағдарламаланатын индустримальды контроллердің құрылымдық схемасы күріш. 10.5. Осы схемаға сәйкес контроллерге мыналар кіреді: қажетті есептеулерді жүргізетін микропроцессор; ЖЖК; кіріс сигналдарының есептегіші; Есептердің нәтижелері шоғырланған тізілімдер; басқару блогын, объектті басқару үшін командаларды беру, енгізу және шығару құрылғылары.

Контроллерге бағдарламаланған бағдарлама барлық сенсорларды дәйекті түрде тексеріп, кіретін деректерді талдайды және олардың негізінде объектіні басқару және оның оңтайлы өнімділігін қамтамасыз ету үшін командаларды әзірлейді.

Егер объектінің жұмысында төтенше жағдайлар мен апattyқ-құтқару жағдайларының сенсорларынан алынған көрсеткіштерге сәйкес анықталса, контроллер басқару бөлмесіне дабыл сигналын жібереді. Ш. 13-де өнеркәсіптік контроллерлерді қолдану мысалдары көрсетілген.

БАҚЫЛАУ СҮРАҚТАРЫ

1. Микропроцессордың мақсаты қандай?
2. Модемнің мақсаты қандай?

3. Контроллердің мақсаты қандай?
4. Модем мен радио модемнің арасындағы айырмашылық неде?
5. Микропроцессор, модем және контроллерді колдану мысалдарын көлтіріңіз

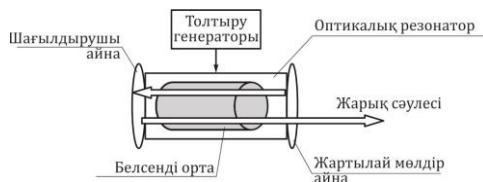
ОПТОЭЛЕКТРОНИКА

11.1. ЖҰМЫС ІСТЕУ ПРИНЦИПІ ЖӘНЕ ЛАЗЕРЛЕРДІҢ КЛАССИФИКАЦИЯСЫ

Оптоэлектроника – электромагниттік сәулелену құбылыстарын жоғары қуаттылықты және оптикалық диапазондағы тар бағыттылықтан көгеренттің тербелістен және оптикалық сәулеленудің әр түрлі физикалық өрістермен өзара әрекеттесуіне негізделген электрондық құрылғылардың жұмысын зерттейтін электроника саласы.

Оптикалық диапазонға 0,01 ... 100 мкм толқын ұзындығы бар электромагниттік сәулелену кіреді, ол төрт суббильге бөлінеді:

- 1) ультрафиолет - 0,01 .0,38 микрон;
- 2) 1) көрінетін - 0,38-0,77 микрон;
- 3) 2) инфрақызыл - 0,77,10,0 мкм;
- 4) 3) субмиллиметр - 0,40,100,0 мкм.



10.1 сурет

Оптоэлектрониканың негізі - лазер - оптикалық кванттық генератор (ОКГ). Оны түсіндіретін лазерлік құрылғы жұмыс суретте көрсетілген. 11.1. Лазер үш басты бөліктен тұрады: сорғы генераторы, белсенді орта және оптикалық резонатор. Сорғы генераторы жарықтың, электрлік, жылу немесе химиялық энергияның қуатты көздерімен пайдаланылуы мүмкін; Белсенді, жұмыс ортасы - заттардың агрессивті қүйлері: қатты, сұйық, газ тәрізді және плазма. Ең қарапайым жағдайда оптикалық резонатор екі айнадан тұрады: мөлдір, толық жарықтандыратын жарық сәулесі және мөлдір, ішінара шағылыстыратын және осы сәулені ішінара еткізіп жіберу.

Лазердің физикалық жұмысы сыртқы энергия көзінің әсерінен көптеген атомдар мен молекулалардың бір мезгілде электромагниттік толқындардың эмиссиясы мен мезгілде эмиссиясы нәтижесінде пайда болатын ынталандырылған немесе индуцирленген радиацияның феноменіне негізделген, оның рөлі сорғы генераторы. Мұндай сәулелену когерентті деп аталады, яғни уақытқа сәйкес келетін тербелістер жиынтығы.

Біріншіден, өздігінен, ягни, өздігінен эмиссия, лазердің белсенді ортасында пайда болады, ол бірнеше рет айналардан атомдардың пайда болуына себеп болады. Осында жолмен жарық түсіретін монохромды тар сәуле пайда болады, ол арқылы мөлдір айналар бағытталады, сыртқы ортага түседі. Лазермен шығарылатын толқын ұзындығы резонатордың оптикалық ұзындығы L , мкм бойымен жиналған жарты толқындардың саны бойынша анықталады:

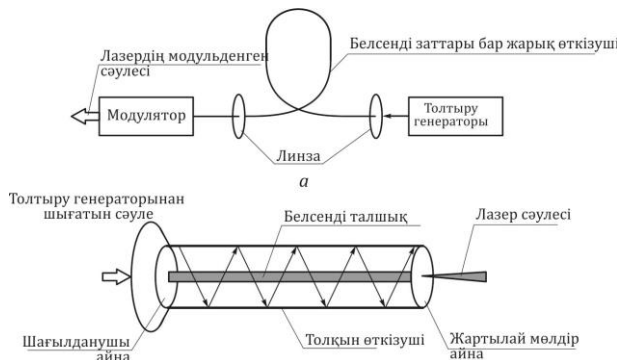
$$X = 2L/n.$$

Осылайша, лазерде сорғы генераторының энергиясы оптикалық диапазонның когерентті, электромагниттік сәулеленуіне айналады. Бұл радиация үздіксіз немесе импульстік болуы мүмкін. Екінші жағдайда, фемтосекундтық импульстар пайда болғанда ($1 \text{ fs} = 10^{-15} \text{ s}$), олардың күші бірнеше гигаваттқа дейін үлкен мәндерге жетеді.

Мысалы, талшықты-оптикалық фемтосекундтық лазердің құрылғыны карастырайық, оның функционалдық схемасы және формасы күріш. 11.2. Мұндай лазер $10 \dots 100 \text{ МГц}$ жиілігімен $50 \dots 500 \text{ фт}$ ұзактығы импульстарды шығарады.

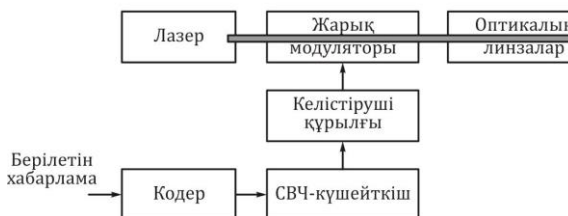
Лазерлер бірнеше өлшемдерге сәйкес жіктеледі:

■толқын ұзындығы диапазонына байланысты: ультракүлгін, инфрақызыл және көрінетін сәулелену;



Сурет. 11.2. Талшықты фемтосекундтты лазер: а - функционалдық схема ; б-құрылғы

- жұмыс режимі: үздіксіз және импульстік сәулелену;
 - белсенді ортанды жиынтық күйінде: газ, қатты, сұйық, бояғыш, талшық, жартылай өткізгіш;
 - сорғы едісімен: электрлік, женіл, химиялық, жылу және басқа қозу әдістерімен.
- Лазерлер келесі құрылғыларда көптеген мақсаттарда қолданылады:
- ғарышта оптикалық байланыс жүйесі;
 - лазерлік сәуленің оптикалық талшық бойымен таралатын талшықты-оптикалық байланыс желілері
 - Қашықтықта дәл өлшеу үшін құрылғылар;
 - оптикалық ақпаратты өндеду жүйелері; жарық қондырғылары;
 - накты қару ретінде.



Сурет. 11.3. Оптикалық таратқыштың құрылымдық диаграммасы

Мысал ретінде, оптикалық диапазондағы радиожиілік түрлендіргіште лазердің қолданылуын қарастырайық. Құрылымдық диаграммасы күріш көрсетілген. 11.3, радиоэлектрондық және оптикалық элементтер мен блоктар жиынтығы. Таратқыштың оптикалық бөлігі мыналарды қамтиды: лазер, жеңіл модулятор және оптикалық линзалар, жарық сәулесіне фокустау және бағдарлау

- қажетті бағытта; радиотехникалық бөлімде - микротолқынды күштейткіш; модулятордың кірісін күштейткіштің шығуна қосатын сәйкес құрылғы және жіберілген хабарды кодтау үшін қызмет ететін кодтаушы.
- Оптикалық таратқыштың артықшылығы:
- цифрлық (10 бит / с және одан да жоғары) және аналогтық (он гигахертс) жоғары жылдамдықпен өте үлкен көлемде ақпарат беру мүмкіндігі;
- таратқыштың қуатын едәуір азайтуға мүмкіндік беретін жоғары көгеранттылық және өткір радиациялық бағыттылығын;
- жоғары шудың иммунитеті, әсіресе оптикалық талшықтарды пайдалану кезінде

11.2. ЖАРЫҚ МОДУЛЯТОРЫ

Жоғарыдағы физикалық әсерлерді егжей-тегжейлі қарастырайық. Сыртқы жарық модуляторының жұмысы бақыланатын оптикалық қасиеттері бар ортага когерентті сәулеленудің өзара әрекеттесуіне негізделген: жарық толқынының фазалық жылдамдығына әсер ететін сыну көрсеткіші немесе берілетін жарықтың қарқындылығын анықтайтын сіңіру коэффициенті. Раушаның фазасы кристалдануы арқылы мөлшерге ауысты

$$\Delta\varphi_{np} = 2\pi \frac{1}{\lambda} \beta, \quad (11.1)$$

мұнда λ - вакуумдағы жарықтың толқын ұзындығы, мкм; 1 - кристалды ұзындығы, мкм; с - ортаны сыну индексі.

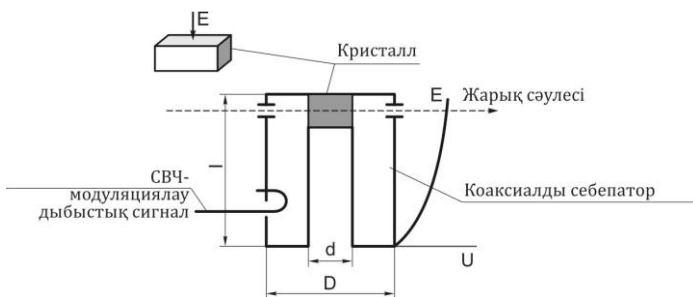
Егер в мәнін бақылау мүмкін болса, жарық толқынының фазалық модуляциясын жүзеге асыра отырып, оны амплитудаға айналдыруға болады. В мәніндегі мұндай өзгеріс электро-оптикалық, магниттік-оптикалық және акусто-оптикалық әсерлер негізінде жүзеге асырылады

(12-тарауды қаралыз).

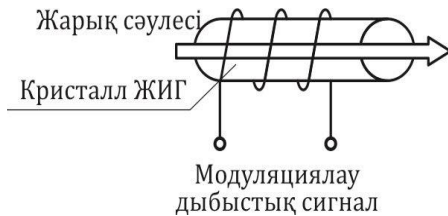
Электро-оптикалық әсер кейбір кристалды түрлердегі сұну көрсеткішінің (мысалы, CMR) сыртқы электр өрсінің күшіне тәуелділігінен тұрады.

$B = kE$ сыйыктық тәуелділігі бар кристалдар бар, бұл жеңіл модуляторлар үшін жақсырақ. Осындай кристалды микротолқынды сигналымен қозғалатын коаксиалды резонатордың бос орынына орналастыру арқылы жарық сәулесін модуляциялауға болады. Электро-оптикалық жарық модулятордың нұсқаларының бірі сур. 11.4.

Магнитофотикалық әсер кристалдардың кейбір түрлеріне сұну индексінің тәуелділігінен (мысалы, YIG)



Сурет. 11.4. Электро-оптикалық жарық модуляторы



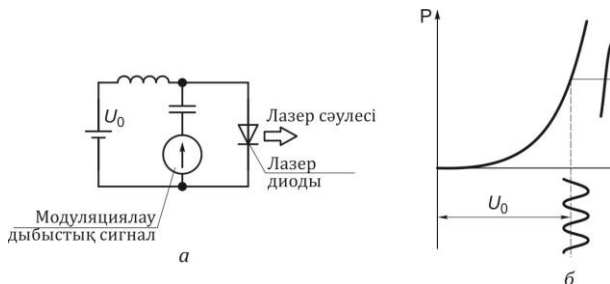
Сурет. 11.5. Сыртқы магнит өрісінің күші H нұрының магнитопикалық модуляторы (сурет 11.5).

Осындай кристалдан жарық беру арқылы және соленоидпен сыртқы магнит өрісін басқару арқылы сіз магнитофотикалық жарық модуляторын жасай аласыз.

11.3. ЖАРТЫЛАЙ ӨТКІЗГІШ ЛАЗЕР

Төмен қуатты лазерлік сәулелену көздері белгілі бір технологиямен жасалған жартылай өткізгіш құрылымдар болуы мүмкін. Бұл өте кішкентай және жоғары сенімділікті қамтамасыз ететін лазерлі диодтың p-n-қосылыстары оптикалық IC және талшықты-оптикалық құрылғыларда қолдану үшін жарамды.

АМ лазерлік диодтың принципі күріш. 11.6. Лазерлі диодқа тұрақты тұрақты кернеу мен модуляциялы жоғары жиілікті сигнал қолданылады (Сурет 11.6, a). Диодтың лазерлік сәулелену қарқындылығының тәуелділігі $P = \Phi$ (1) диафрагманың тогымен байланысты. 11.6, b. Сәйкес

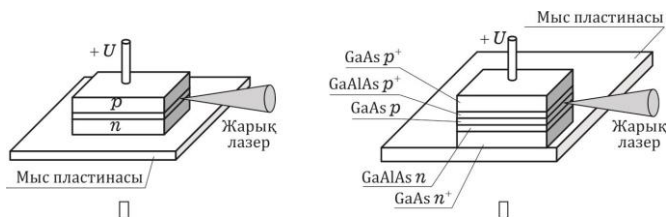


Сурет. 11.6. Лазердің амплитудалық модуляциясы: a - тізбек; b - тән

модуляциялы сигнал заңымен лазер сәулесінің қарқындылығы өзгереді, яғни амплитудалық модуляция жүреді. Суретте көрсетілген схема. 11.6, а, 100 МГц-ге дейінгі модуляциялы сигнал жиілігі үшін жарамды. Микротолқынды-модуляциялы сигналда лазер диод резонаторда орналасады немесе микро желілермен байланысады. Мұндай жартылай өткізгіш лазердің құрылышының нобайы сурет. 11.7.

Галий арсенитінен жасалған алғашқы лазерлік диодтар құріш көрсетілген. 11.8, а. Мұндай диодтарда тығыздықтың жоғарылауы ағып жатқан кезде, рп түйісүнің шекарасында орналасқан бірнеше микрометрлердің қалындығының белсенді аймағы лазерлік сәуле көзі болған, ал параллель параллель айна беттер резонатор ретінде әрекет етті.

Кейінірек лазерлік сәуле көзі ретінде қызмет ететін белсенді қабаттың қалындығы 1 мкм аспайтын қос гетероструктураға негізделген алдынғы қатарлы лазерлік диодтар жасалды (11.8-сурет, б). (Гетеро - бұл контакт



Сурет. 11.8. Лазерлік диод:
а - әдеттегі түрі; б - қос
гетероструктура негізінде

химиялық құрамы бар екі түрлі жартылай өткізгіштер арасында, олар бірдей және әр түрлі өткізгіштер түрінде болуы мүмкін.)

11.4. ГАЗ ЛАЗЕРІМЕН

Газды төгу қондырғылары, басқаша айтқанда плазма деп аталатын құрылғылар, газ тәрізді ортаға электр разрядына негізделген. Газды ағызу, шығарылған газдың тығыздалған контейнерде иондалуы және катодты және анод арасында кернеу ағу үшін жеткілікті болғанда орын алады. Құрылғылар дуга, жылтырылыш, ұшқын және короникалық разрядтарды пайдаланады.

Электр тізбегінің кернеуі Пасхен қисық деп аталатын тәуелділікпен

сипатталады:

$$U_{np} = \Phi(x),$$

мұнда $x = pd$. Мұнда p - қысым, мм Hg. c - электродтар арасындағы қашықтық, мм.

Сутегіне арналған Пачъен қисығы (H_2) күріш. 11.9. Қолданылған кернеудің әсерінен электр зарядталатын газ тәрізді электрондар электр өрісі арқылы жеделдетіледі, үлкен энергияға ие болады және молекулалармен соқтығысқанда, олардан электрондарды жояды, олардың зарядталған иондарға айналдырады (ионизацияция феномені). Электронды жыртылған электрондар өз кезегінде ион-электрондардың жаңа жұптарын жасайды, соның салдарынан бүкіл электр разряды үрдісі ақбөкенге үксастана.

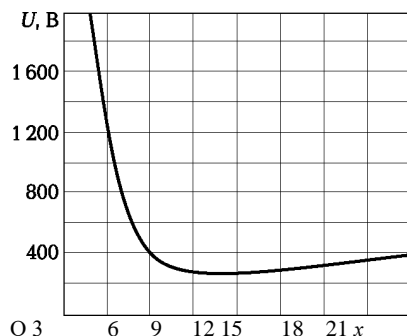
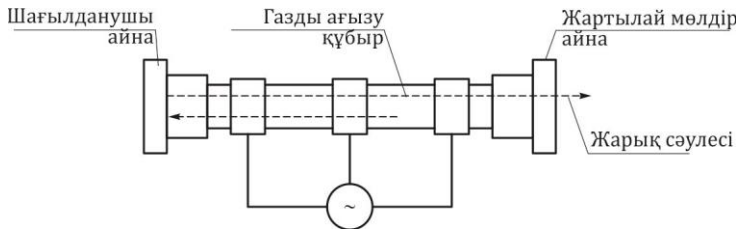


Рис. 11.9. Кривая Пашена для водорода



Сурет. 11.10. Газ лазерінің функционалдық диаграммасы

Нейтралды атомдардан (немесе молекулалардан) және зарядталған бөлшектерден (иондар мен электрондардан) пайда болған ішінәра немесе толық иондалған газ плазма деп аталады. Плазманың ең маңызды ерекшелігі оның қалыптасатын оң және теріс зарядталған бөлшектердің көлемді тығыздығы бірдей болып табылады, сондықтан толық электрлік заряд нөлге жақын. Еркін электр зарядтарының болуы плазманың жоғары электротөзгіштігін құрайды, бұл магнит және электр ерістерімен материяның басқа жиынтық қүйлеріне қарағанда айтарлықтай көп өзара әрекеттесуіне және улкен ағымды 10 кА немесе одан да көпге дейін жеткізу мүмкіндігін тудырады. Сондықтан плазма кейде төртінші (қатты, сұйық және газ тәрізді) заттардың жиынтық қүйі деп аталады. Газды ағызу кезінде плазманың пайда болуы газды ағызыңындағы плазмадағы атауына өзгерілді.

Газдық лазер – оптикалық резонаторға орналастырылған белсенді газы бар түтік (сурет 11.10). Қолданылатын газ түріне қарай аргон, криpton, гелий-неон, ксенон, көміртегі диоксиді, азот лазерлері бар. Электр разрядының нәтижесінде индукцияланған жарық сәулесі параллельде орналасқан екі айнадан тұратын оптикалық резонаторда газбен түтікке шығады. Резонаторда резонанстағы толқындардың жартысы бар тұрақты жарық толқыны орнатылған, бұл лазермен қалыптасқан жарық толқыны үшін келесі өрнек жазуға мүмкіндік береді:

$$\lambda = 2L/n,$$

онда λ - толқын ұзындығы, мкм; L - резонатор ұзындығы, мкм; n - бүтін сан.

Резонатордың айналарының бірі (11.10 суретте сол жақта) жарықты толығымен көрсетеді, ал екіншісі (11.10 суретте оң жақта) жартылай мөлдір болып, жарық толқынына ішінәра шағылысып, ішінәра жінішке жарық түрінде өтеді радиация. Газ лазеріндегі электр қуатының бұзылуының басталуы үшін қажетті импульстік кернеу ондаған киловольтке жетуі мүмкін. Бұл жағдайда сәулелену импульстік қуаты жүздеген киловаттмен өлшеннеді.

11.5. ТАЛШЫҚТЫ-ОПТИКАЛЫҚ БАЙЛАНЫС ЖЕЛЕСІ

Оптикалық диапазондағы сигналдарды беру радиотолқындар арқылы немесе микротолқынды диапазондағы радиобайланыс секілді арнағы антенналар арқылы немесе сәулелену көзін ақпаратты қабылдау нүктесіне жалғайтын талшықты-оптикалық кабельдер арқылы жүзеге асырылады.

6-суретте көрсетілген талшықты-оптикалық байланыстың күрүлымдық схемасына сәйкес. 11.11 байланыс желісінің таратуши соңындағы жабдыққа мыналар жатады: хабардың көзі (мысалы, факсимильді күрүлғы); Сандақ сигналды кодтайтын және қысатын кодер; сигналдарды генерациялайтын модулятор; когерентті жарық көзі - жарық диоды немесе лазер, оның модуляцияланған жарық сигналы байланыс желісіне енеді.

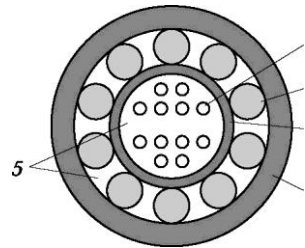
Байланыс желісін қабылдау соңында: фотодизод, қабылданған сигналды сөндіру; қабылданатын хабарламаны декодтаушы; түрлендіргіш, алынған хабарламаны қажетті формаға беру. Конвертер, мысалы, алынған хабарды басып шығаратын принтер. Көп жағдайларда кодек, модулятор-демодулятор (модем) және хабар түрлендіргішінің көзі бір аппаратта біріктіріледі.



Сурет. 11.11. Талшықты-оптикалық байланыспен оптикалық байланыс желісі

Сурет. 11.12. Талшықты-оптикалық кабель бөлімде:

1 - оптикалық талшық; 2 - сымдардың броньдары; 3 - құбырлы ядро; 4 - сыртқы қабығы; 5 - Құрам



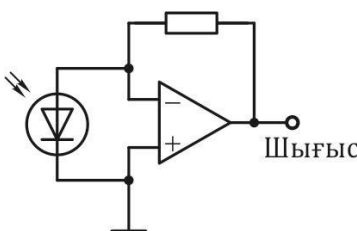
Талшықты-оптикалық кабельдің секциясы күріш. 11.12. Мұндай кабель өте төмен деңгейге ие, ол үлкен қашықтыққа көп ақпарат беру үшін пайдалануға мүмкіндік береді. Кабель арқылы таралатын жарық толқындарының траекториясы сурет. 11.13.

Кіші ұзындықтағы талшықты-оптикалық байланыс тізбектерінде таратушы жағында лазердің орнына жарықты тарататын жартылай өткізгіш диодтың диод (LED) пайдаланылады, онда сәулө ағым ток өтетін инфрақызыл, көрінетін немесе ультракүлгін аймақта тасымалданады.

Жарық диодты схемасы күріш. 11.14. Талшықты-оптикалық байланыс желісінің байланыс желісінің қабылдау жағында фотодод қосылып, жарық сигналын электрлік сигналға түрлендіреді. Фотодиод - электронды тесік, жарықтандыру кезінде өтпелі ток тоғының бағытымен сәйкес келетін ток пайда болады. Фотодиодқа арналған бір схема күріш көрсетілген. 11.15.



Сурет. 11.13. Кабель арқылы таралатын жарық толқыннының траекториясы



Сурет. 11.14. Жарық диодты жарықтандыру схемасы

Талшықты-оптикалық байланыс көмегімен интернеттегі компьютерлер арасында 1000 Мбит / с дейінгі жылдамдықпен ақпарат алмасуға, көптеген телаарналардың берілуіне және көп арналы телефон байланысына ақпарат алмасуға болады. Қазіргі уақытта бүкіл әлемді талшықты-оптикалық байланыс желілерімен кеңейту және судың ағып кетуіне жол бермеу жұмыстары жүргізілуде.

БАҚЫЛАУ СҰРАҚТАРЫ

1. Қандай суббендер жарық эмиссиясы бөлінеді?
2. Жартылай өткізгіш лазердің ерекшеліктері қандай?
3. Электро-оптикалық әсер мен магнитофотикалық әсер арасындағы айырмашылық қандай?
4. Пасхеннің кисық сзығын сипаттайтын не?
5. Хабарламалар ТОБЖ-да қаншалықты жылдам болуы мүмкін?

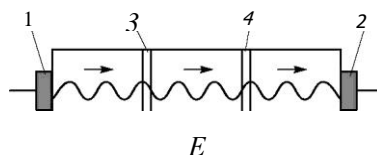
АКУСТОЭЛЕКТРОНИКА

12.1. ЖЕР ҮСТІ АКУСТИКАЛЫҚ ТОЛҚЫНДАРЫ

Металл және жартылай өткізгіш күрүлымдарда 107 ... 1013 Гц жиілігімен ультрадыбыстық толқындардың әсерінен электрлік тербелістер пайда болады. Осы жолмен жүретін электрлік және акустикалық тербелістердің өзара әрекеті акустоэлектрондық әсер деп аталады. Бұл әсері туралы көрнекі ұсыныс сурет . 12.1. Ол электродтың 1-ден электродтаған 2-ге дейінгі ультрадыбыстық толқындардың пьезо жартылай өткізгіші арқылы өту кезінде электродтар арасында 3 және 4 электродтар арасында әмф қалай жүретінін көрсетеді.

Қатты, акустикалық толқындардың ұзындығынан аспайтын қатты дененің жіңішке беткі қабатында таралатын қатты, беткі акустикалық толқындарда (ШЖК) таралуы мүмкін серпімді толқындардың барлық түрлерінің барынша тәжірибелік қолданылуы бар. Кейбір қозғаумен SAW пьезоэлектрлік кристалдарда таралады.

Жер үсті активті заттардың маңызды қасиеттері қатты жерде ультрадыбыстық толқынның салыстырмалы түрде төмен таралмау жылдамдығы



Сурет. 12.1. Кристалл арқылы ультрадыбыстық толқынның өтуі: 1 ... 4 - электродтар

(1,6 ... 4,0 км / с) және дыбыстық сымның бетінде орналасқан қабықшалар түрліндегі планарлы құрылымдармен өзара әрекеттесу мүмкіндігі. Ультрадыбыстық толқынның тарапу жылдамдығы электромагниттік толқындарға қарағанда шамамен 105 есе аз болғандықтан, микротолқынды акустоэлектрондық құрылғылардың миниатюризациясы қажет, бұл технология бойынша белгілі бір артықшылықты қамтамасыз етеді.

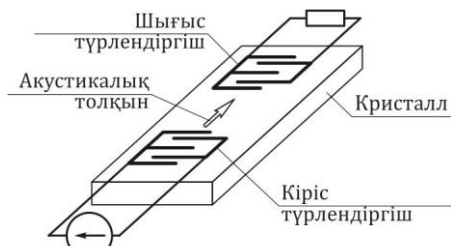
Уақытқа арналған кешігу сзығын құру мысалын келтірейік $t = 1 \text{ fs} = 10\text{-}15 \text{ с}$. Электр магнитті толқындардың тарапу жылдамдығын ескере отырып, микростатикалық сзығқа (MPL) негізделген кешіктірілу сзығының ұзындығы $y = 3\text{-}108 \text{ м} / \text{с} = 3 \cdot 10^{14} \text{ мкм} / \text{с}$:

$$l = TV = 10^{-15} \text{ с} \cdot 3 \cdot 10^{14} \text{ мкм/с} = 0,3 \text{ мкм.}$$

Мұндай микроскопиялық ұзындығы жоғары дәлдікпен MPL кешіктіріп беру сзығын жасау өте қыын. Беткі акустикалық толқындардың тарапу жылдамдығы 105 есе аз болғандықтан, SAW кешігу сзығының ұзындығы 105 есе асады және 30 мм-ге тең болады, бұл оны жоғары дәлдікпен орындауға мүмкіндік береді.

Беттік-белсенді заттар бар құрылғыларда сигналды екі рет түрлендіру жүзеге асырылады. Құрылғының енгізілудің электр сигналы қатты денеде тарапатын акустикалық толқындарға айналдырылады - дыбыс желісі, шығу кезінде - кері дыбыстық сигнал - электр сигналына ауысады. Бұл тікелей және кері әрекет беттік активті заттарды қолданатын барлық акустоэлектрондық құрылғылардың негізгі элементі болып табылатын түрлендіргіш деп аталатын элементтің көмегімен жүзеге асырылады.

Ең қарапайым - жұқа пленкалы метал электродтарының екі қалындығы 0,1,5,5 мкм болатын бір-біріне салынған және кристалдардың бетінде орналасқан жұқа табанның түрлендіргіші.



Сурет. 12.2.жер усті белсенді заттардың түрлендіргіштері

акустикалық толқын үшін акустикалық толқын. Мұндай ЖҮБ конвертері сурет . 12.2.

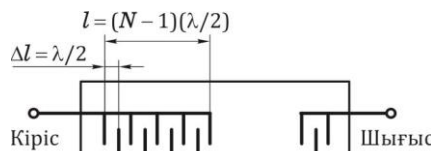
Жер үсті активті заттардың маңызды қасиеті - акустикалық толқынның таралу бағытын өзгерту, оның көрінісі, қүшейтуі және әлсіреуі сияқты процестерді басқару мүмкіндігі. Беттік белсенді заттардың көмегімен сигналдардың уақытты, жиілігін, фазалық және амплитудалық түрлендірулерін және фильтрлерді, кодерлерді және декодерді, кешігу сзықтарын, модуляторларды және генераторларды жасау мүмкін.

12.2. ЖИЕКТІ ФИЛЬТР НЕГІЗІНДЕГІ ББЗ

Жер үсті-белсенді фильтрлерде дыбыс беру желісі ретінде пьезокварц, литий ниобаты, галий арсенид және басқа параметрлер түрақты параметрлері және шағын температура коэффициенті сияқты материалдар пайдаланылады. Мұндай материалдардың пластинканың мұкият жылтыратылған бетінде фотолитография әдісімен өндірілген, контрпиндикалық типті жұка металды пленкалардың екі электромеханикалық түрлендіргіштері орналасқан. Генераторға қосылған кіріс түрлендіргіші дыбыс жолындағы акустикалық толқынды қоздырады. Шығару түрлендіргіші бұл толқынды жүктеме берілген электр сигналына айналдырады (12.3-сурет).

SAW негізіндеңі сузгілердің негізгі параметрлері: кірістіруді жоғалту, кіріс және шығыс импеданс, жиіліктең селективтілік, жиіліктердің өткізу қабілеттілігі. Резонантты тізбек болып табылатын интердигитальды түрлендіргіштердің геометриялық өлшемдері мен формасы осы сипаттамаларды және сузгі параметрлерін анықтайды.

Өте жоғары жиілікті диапазондағы өте төмен шығындармен пьезоэлектрлік кристалдардың қолданылуына байланысты сузгі



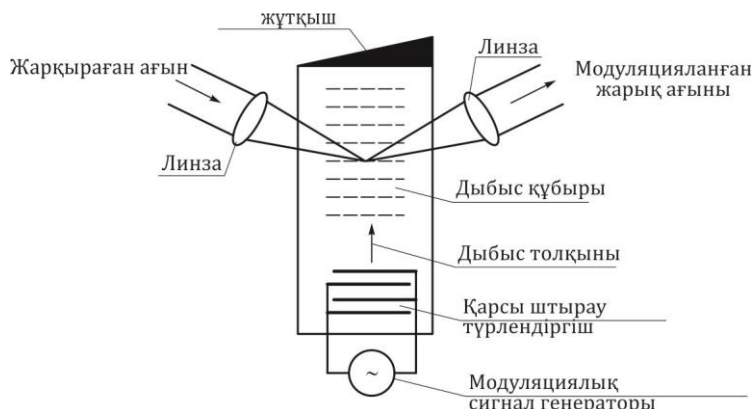
Сурет. 12.3 .ББЗ сузгісі

ББЗ может иметь потери в 1...2 дБ в полосе пропускания и до 50...60 дБ в полосе заграждения.

Кешенді және жиіліктік модуляцияланған сигналдарды өндөу және қалыптастыру үшін SAW сұзгілерінің әртүрлі түрлері пайдаланылады. ББЗ сұзгілері бірнеше мегахетрден бірнеше гигахертке дейінгі жиілік диапазонына шығарылады және радиоэлектрондық құралдарда кеңінен қолданылады. ББЗ технологиясын қолданып, кешіктірілу сызықтары мен полофилді сұзгілерден басқа, акустоэлектрондық типтегі түрлі сенсорларды коса алғанда, басқа құрылғылар дайындалады. Соңғысының жұмысы дыбыстық беру жүйесінің қасиеттеріне механикалық құштердің әсер етуіне және оның температурасына тәуелділігіне негізделеді.

12.3. ИНТЕГРАЛДЫ ТИПТІ ДУЛЯТОРДКУСТО ОПТИКАЛЫҚ МОДУЛЯТОРЫ

Абсорбер Мүмкін интегралдық акустика-оптикалық модуляторлардың бірінің құрылышы күріш. 12.4. Акустофиялық модулятордың материалы ретінде оптикалық шыны қолданылған. Дыбыс жолында беттік-белсенді заттардың қозғалысы бір-біріне салынған планарлы, ашқөз микроэлектрондардың жүйесі арқылы контрапиндистік түрлендіргіш көмегімен жүзеге асырылады. Пьезоэлектрлік әсердің арқасында, ауыспалы трансивердің ең жақын электродтары арасындағы ықтимал ауыспалы айырмашылық ауыспалы серпімді кернеу жасайды, бұл себеп



Сурет. 12.4. Акустофиялық модулятордың функционалдық схемасы

акустикалық толқындардың оятуы 103 ... 104 м / с жылдамдықта дыбыс тарату желісінің беті бойынша таралады. Акустикалық толқындардың таралуының салыстырмалы тәмен жылдамдығы олардың оптикалық сәулеленуімен өзара әрекеттесу уақытын ұлғайтуға және модулятордың шағын өлшемдері үшін жарық ағынын модуляциялауға мүмкіндік береді. Линзамен дыбыстық желіге бағытталған инфрақызыл диапазондағы жарық ағыны жоғары жиілікті сигналмен модульден шығады. Мұндай модуляторда жарық дифракциясының тиімділігі 20,80% құрайды, акустикалық сигнал қуаты 1,5 Вт 40,250 МГц жиілікте.

БАҚЫЛАУ СҰРАҚТАРЫ

1. Жарық жылдамдығы қаншалықты қатты ультрадыбыстық жылдамдығынан асады?
2. Электр және беткі акустикалық тербелістердің өзара әрекеті қалай?
3. Беттік активті түрлендіргіш қалай құрастырылады?
4. Беттік активті заттар үшін жолақ сұзгісінің артықшылықтары қандай?
5. Акустикалық модулятордың интегралды түрі қандай?

АҚПАРАТТЫ ЖӘНЕ БАҚЫЛАУ ЖҮЙЕЛЕРИНДЕГІ ЭЛЕКТРОНДЫҚ ҚҰРЫЛҒЫЛАР

13.1.

БАСҚАРУ ӨНДІРІСТЕР МЕН ТИПТІ ЭЛЕКТРОНДЫҚ АҚПАРАТТЫҚ ҚАМТАМАСЫЗ ЕТУ ЖҮЙЕСІ

Жүйенің мақсаты, негізгі функциялары және құрылымы. Заманауи өндірістер үшін жан-жақты ақпараттық қызмет олардың тиімді жұмыс істеуі және кірістіліктің артуы үшін қажет. «Ақпараттық қызмет» тұжырымдамасы келесі функциялардың орындалуын білдіреді: технологиялық процестердің ағынын бақылау, әртүрлі қондырғылар мен қондырғыларды қашықтан басқару, авариялық жағдай туралы жедел хабарлау және өндірістік циклдің барлық бөліктерінде төтенше жағдайларға алдын-алу жағдайлары, қашықтан дыбыс сигналы, алмасу мүмкіндігі өндірістік процеске қатысушылар арасында ақпарат, компьютерлік ақпаратты беру.

Әсіресе, бұл мәселені дисперсиялы саланың салалары үшін оңтайлы шешүге болады, олардың жекелеген участкерлері мен объектілері бір-бірінен айтарлықтай қашықтықта - жүздеген және тіпті мың километр қашықтықта бөлінген кезде және өндірістік процестер үздіксіз технологиялық цикл режимінде жүреді. Мұндай өндірістердің мысалдары мыналар:

- мұнай мен газды айдауға арналған газ және мұнай кеніштері мен құбырлары;
- сумен жабдықтау және көріз жүйесі;
- Тау-кен компаниялары: көмір, алтын, алмаз және т.б., көптеген шахталар мен карьерлер;
- Үлкен аумақта орналасқан шағын және шағын гидро- және жел электр станцияларының орталықтандырылған басқаруымен саябақтар;
 - кең құрылымы және кен байыту зауыттары;
 - тасымалданатын жүктерді олардың өтуінің бүкіл бағыты

бойынша үздіксіз мониторингке мұқтаж көлік кәсіпорындары;

■ экологиялық және метеорологиялық бақылау датчиктерінен автоматтандырылған деректерді жинау арқылы экологиялық мониторинг;

■ Электр, газ және су датчиктерінен автоматтандырылған деректерді жинау;

■ коммуналдық қызметтер және т.б.

Барлық листингтік кәсіпорындарда объектілердің әрқайсысында өндіріс процесі өздігінен де, ішкі циклде де, объектілер арасындағы қарым-қатынастарда да тікелей немесе ақпараттық арналар арқылы жүзеге асырылады. Бұл жүйедегі барлық процестерді бақылайтын барлық объектілер мен орталық басқару бөлмесі арасындағы ақпарат алмасудың оңтайлы және үнемді әдісін таңдау мәселесін көтереді.

Дисперсті түрдегі салалардың барлық алуан түрлерімен ақпараттық аспектілерде орын алатын үрдістер келесі функцияларға дейін төмendetілуі мүмкін:

■ Аналогтық, сандық және релелік сенсорлардан оқылымды оқып, объектілердің күйін және параметрлерін бақылау;

■ әртүрлі қондырығылар мен машиналарды басқару: оларды қосу / өшіру немесе жұмыс тәртібін дискретті өзгерту;

■ бақылау әрекетін немесе жұмыстың сыртын жағдайларын өзгерту кезінде объектінің параметрлерін автоматты түрде түзету;

■ қашықтықтан ескерту арқылы қауіпсіздік сигнализациясы;

■ объектіге және басқару бөлмесіне қызмет көрсететін персоналдың арасында мәтін немесе дауыстық ақпарат алмасу; компьютерлік ақпарат алмасу; объектінің жай-күйіне бейнебақылау;

■ Фарышта қозғалатын объектінің географиялық координаттары белгілі бір дәлдікпен анықтау

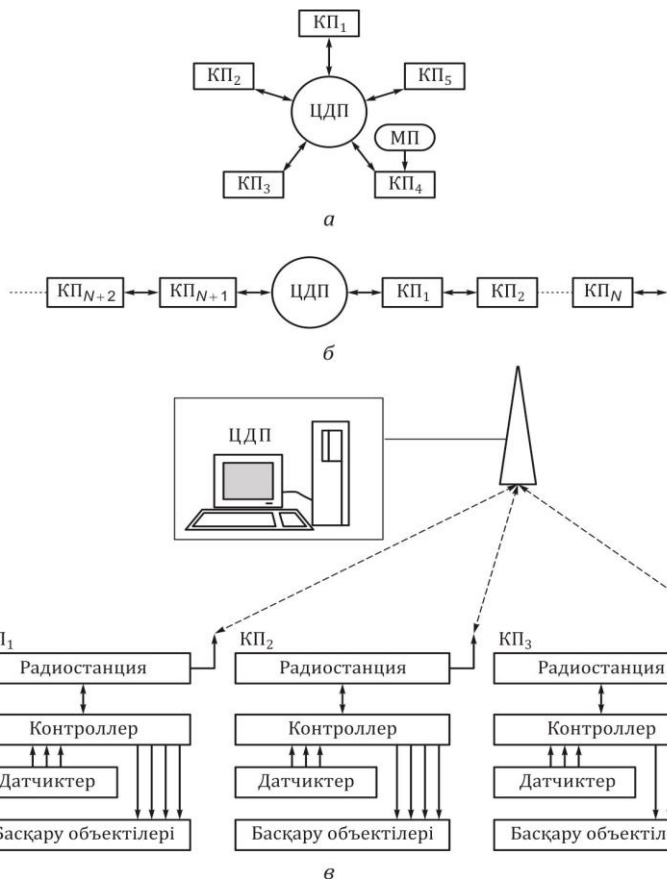
Көп жағдайда аталған функциялардың толық жиынтығын орындаудың қажеті жоқ. Мысалы, экологиялық бақылау жүйесінде сенсорлардың оқылуын оқумен байланысты бірінші функция қажет. Көлік құралдарын ұзақ қашықтықта тасымалдауға арналған басқару жүйесінде жүргізуімен дауыстық немесе факсимильдік байланыс жасау және автокөліктің географиялық координаттарын анықтау екі функцияны орындау қажет. Гидроэлектр станцияларының радио паркін басқару жүйесінде бес функция іске асырылуға тиіс: телекөпір, телесигнализация, телекоммуникация, тележегерация және байланыс. Мысалдар жалғастырылуы мүмкін. Біз әрбір нақты жағдайда қызмет көрсететін ақпараттық жүйені дұрыс таңдауды алдын ала анықтайдын өндірістің толық функционалды функцияларын белгілеу маңызды.

Аталған функциялардың талдауы дисперсті түрдегі заманауи өндірісті қамтамасыз ететін ақпараттық басқару жүйелерін

қанағаттандыратын жалпы талаптарды қалыптастыруға мүмкіндік береді:

- барлық шашыранқы өндірістердің жұмысын бақылау және оларды басқару бірыңгай орталық диспетчерлік орталықтан (КҚЖ) жүзеге асырылуға тиіс;
- бұл бақыланбайтын технологиядағы сервистік өндірісте үздіксіз, тәулік бойы жұмыс істеуді үйімдастыруға мүмкіндік беретін автоматты режимде жүзеге асырылуы тиіс;
- жүйенің барлық ағымдағы технологиялық процестері барлық өндірістік нысандардан қажетті ақпарат шығуы тиіс ҚКП құрамдас болігі болып табылатын компьютердің «бақылауымен» болуы тиіс;
- Жоғарыда аталған ақпараттық функцияларды орындау (телекоммуникация, теле-сигнализация, телекоммуникация, телеконализация, байланыс және т.б.) бірыңгай мамандандырылған жұмыс бағдарламасы шеңберінде өзара байланысты болуы керек;
- ЦДП және басқару және басқару объектілері арасындағы сенімді байланыс қызметін белгілі бір мөлшерде қажетті ақпаратты беру мүмкіндігімен қамтамасыз ету. Құрастырылған талаптарды ақпараттық басқару жүйесін және оған кіретін құрылғыларды жобалау үшін негіз ретінде пайдалануға болады.
- Дисперсті типтегі салаларда, радиостанциялар орнатылған үш нысанды ажыратуға болады:
- барлық объектілердің барлық ақпараты ағылып жатқан DSC;
- 1 деңгейдегі бақыланатын пункттер (КП): DTP-ке тікелей байланысы бар стационарлық және мобильді өндірістік нысандар;
- 2-денгейдегі (МР) бақыланатын, шартты «кішігірім» нүктелер (МР): бұл жағдайда СРС-нің біреуі арқылы СРД-мен байланыс орнатқан өндірістік құрылғылар, бұл жағдайда репитердің рөлін атқарады.

ББО және КР арасындағы ақпараттық коммуникациялық схемаға сәйкес, құрылымдардың үш түрі бөлінеді: радиалды, сзызықты және радиалды-сзызықты (13.1-сурет). Радиалды құрылыммен барлық КР ББО -мен тікелей байланысты (сурет 13.1, а, с); желілік кезде ББО -мен байланыс «тізбектің» көмегімен жүзеге асырылады: бір КП-тан екіншісіне, радиорелелік байланыс желілеріндегі сиякты (13.1, б); Радаралды-сзызықты жағдайда, қосылыстың екі түрі де пайдаланылады (13.1-сурет, с). Барлық үш жағдайда КР-ның әрқайсысында



Сурет. 13.1. Ақпараттық жүйелердің түрлері: а - радиалды; б - сзызықтық; с - радиалды

қосымша «кішігірім» МБ басқару объектілерінің белгілі бір саны байланысты болуы мүмкін. ОДП мен КП арасында байланыс әдетте екі жақты, КР және МР арасында бір жақты. Радиалды жүйенің мысалы белгілі бір аймақта экологиялық ақпаратты жинау жүйесі болуы мүмкін; желілік жүйенің үлгісі - теміржол көлігі объектілеріне қызмет көрсету жүйесі.

ОДП радиостанцияны және компьютерді қамтуы тиіс, оның әрқайсысы КР - радиостанция және бақылау датчиктері мен басқару объектілері қосылған контроллер (13.1, с-суретті қараңыз). Қөптеген өндірістік процестерді талдау көбінесе КК-дан ККЖ объектілерінің мәртебесін үздіксіз хабарлаудың қажеті жоқ екенін көрсетеді. ОДП бөлігіндегі бұл бақылау барлық технологиялық үдерістің қалыпты бағыты бойынша бірнеше сағаттық бірнеше сағатқа дейін кезеңділікпен дискретті болуы мүмкін. Ал объектілерде төтенше жағдай немесе төтенше жағдайлар орын алған жағдайда ғана, ТЖ-дан ОДП -ге ақпарат дереу жедел жәрдемді басқару орталығының бастамасымен алынуы керек. Бұдан басқа, КП мен ККД қызметкерлері арасында қызметтік ақпараттармен алмасуды қамтамасыз ету және бір мезгілде ОДП -нен директиваның барлық КК-ға немесе басқа жалпыға ортақ ақпаратқа көшіру қажет. Осылайша, көп функциялы жүйеде төрт жұмыс режимі қамтамасыз етілуі керек:

автоматты циклдік, онда ақпарат сұралады және ОДП -ге берілген барлық ырғағдардан берілген ырғакта беріледі;

1) бақылау орталығындағы апарттың сипаты туралы ақпаратты қамтитын сигнал дереу орталық ақпаратқа жіберілетін төтенше жағдай;

2) дөңгелек, онда мәтіндік ақпарат (телетайпалық хабар) ОДП -ден бір мезгілде барлық КК-ға жіберіледі;

3) ОДП және е КР жүйесіндегі телетайп турнирі апаратының апараты. Жүйенің жаңа параметрлері. Қысқа талдау

Өндірістің бөлінген түрін басқарудың автоматтандырылған жүйесінің жұмысы жүйенің радиотехникалық бөлігінің параметрлеріне қойылатын талаптарды әзірлеуге мүмкіндік береді.

Толқындар формасы. Жүйе жұмыс істеудің 5 режимін (телесигнализация, телеметрия, телекоммуникация, телеметрия, байланыс) қамтамасыз ететіндіктен, сигналдың нысанын алдын ала анықтайды: сандық N-бит кодтаған сигнал. Жіберілген әріптерді, сандарды және командалық нұсқауларды кодтаудың ықтимал әдістері, мысалы, ASCII халықаралық стандартының 8-биттік екілік коды.

Таратқыштың қуаты. Радиоқабылдағыштың қуаты радио байланысын есептеу кезінде анықталады және әдетте 50 Вт аспайды.

Жиілік диапазоны. Үлттық экономикалық жүйе үшін VHF диапазонында келесі жиілік диапазондары бөлінген: 27 ... 58, 74 ... 76,

146.174, 300.344, 440.470 МГц. Жерсеріктік-ғарыштық радиобайланыс жүйелерінің көмегімен жүйені басқару кезінде төмендегілер пайдаланылады: L-диапазоны (1.452.1.5 ГГц және 1.61.1.71 ГГц); S-ауқымы (1.93.2.7 ГГц); С-диапазоны (3.4.5.25 ГГц); X-диапазоны (7,25,7,75 және 7,9,8,4 ГГц) және 10 ГГц-ден жоғары К-жолақтар.

Модуляция әдісі. Жүйе термалды тұрақтандыру болмаған кездеңі мән 10-5 ретінде қабылдануы мүмкін тасымалдаушы тербелістерінің жиілігінің салыстырмалы төмен тұрақтылығында жоғары иммунитетті қамтамасыз етуі керек. Бұл жағдайда, радиоқабылдағыштың детекторынан кейінгі тар жиілік аринасына ие болуга мүмкіндік беретін, екі кезеңдік модуляцияны ең қолайлы пайдалану, ол ақпаратты беру жүйесінің шуды иммунитетін арттырады. Осы модуляциямен бірінші кезеңде субкассы сигналы бастапқы хабардың берілген код комбинациясымен модулирленеді, екінші кезеңде субкассы сигналы тасымалдағыш сигналын модуляциялайды. Модуляцияның әртүрлі әдістерінің ықтимал комбинацияларының ішінде екі түрді ұсынуға болады:

- екі кезеңде де сандық телеграфтық сигналдарды беру кезінде шақырылатын жиілік модуляциясы орындалады (ЧТ-ЧТ қыскартылған);
- 1) жиіліктегі модуляция бір кезеңде жүзеге асырылады, ал екінші кезеңде фазалық модуляция (СТ-FT ретінде қыскартылады) орындалады.

Радиостанция арқылы СР-ден DTP-ге мерзімді түрде келіп түсетін ақпарат төмендегі байттар саны бар жұмыс ауқымы түрінде беріледі: вызывной сигнал (2 байт);

- номер пункта (1 или 2 байт);
- длина сообщения (до 10 байт и более);
- код телеметрического или текстового сообщения (1 байт);
- число групп дискретных датчиков (1 байт);
- число аналоговых датчиков (1 байт);
- число цифровых датчиков (1 байт);
- показания дискретных датчиков (1 байт на 8 датчиков);
- показания аналоговых датчиков (1 или 2 байт на один датчик);
- показания цифровых датчиков (1 или 2 байт на один датчик);
- контрольная сумма (2 байт). ■ элементтің номірі (1 немесе 2 байт);
- хабарламаның ұзындығы (10 байтқа дейін немесе одан көп);
- телеметрия немесе мәтіндік хабар коды (1 байт);
- дискретті сенсорлардың топтарының саны (1 байт);
- аналогты сенсорлардың саны (1 байт);
- сандық сенсорлардың саны (1 байт);
- дискретті сенсорлардың көрсеткіштері (8 сенсор үшін 1 байт);

- аналогты сенсорлардың көрсеткіштері (сенсорға 1 немесе 2 байт);
- сандық сенсорлардың көрсеткіштері (сенсорға 1 немесе 2 байт);
- бақылау сомасы (2 байт).

Осылайша, СР - ОДП шеңберінде технологиялық сипаттағы (мәтіндік ақпаратты қоспағанда) берілетін ақпарат көлемі байт болып табылады:

- S, байт хабары;
- 2M, байтты аналогты датчиктерді оку;
- сандық сенсорлардың окуы 2K, байт;

Дискретті сенсорлардың индикациясы $N / 8$, байт. $A = S + M + K + N/8$ немесе $A = S + 2 \cdot M + 2 \cdot K + N/8$,

мұнда $S = 11 \dots 12$ - сервистік байт саны; M - аналогты датчиктердің саны; K - сандық сенсорлардың саны; N - дискретті сенсорлардың саны.

$$Хабардың бір жақтауының, s, T = 8A/V.$$

Мұнда V - ақпаратты беру жылдамдығы, бит / с; 8 саны бір байтта биттердің санын анықтайды.

Мысал 13.1. Бақыланатын элементте келесі деректер бар: $M = 8$ (әр байт), $K = 5$ (әрбір 2 байт), $N = 8$, тарату жылдамдығы $V = 2\,000$ бит / с. Нәтижесінде біз аламыз

$$A = 11 + 8 + 2 \cdot 5 + 8/8 = 30 \text{ байт, время } T = 8 \cdot 30/2\,000 = 120 \text{ мс.}$$

Датчиктердің санына қарай, олардан алғынған көрсеткіштердің байттар көлемі, перифериялық объектілерді басқаруға арналған сигналдарға қойылатын талаптар, КП-да радиостанцияға қосылған контролер үшін бағдарлама дайындалады. Сол сияқты, хабарламаның құрылымы ОДП-КП желісінде және ОДП радиосы жұмыс істейтін компьютердің бағдарламасына қойылатын талаптар анықталған.

13.2. ЭЛЕКТРОНДЫҚ ҚҰРЫЛҒЫЛАР ЖЕЛІСІНДЕГІ СЫМСЫЗ ҚАТЫНАУ

Ең көп тараған сымсыз қатынау желілерінің бірі Wi-Fi. Бұл аббревиатура, яғни қыскартылған атау, «сымсыз деректерді берудің жоғары дәлдігі» деп аударылатын «Wireless Fidelity» ағылшын тіліндегі сөйлемнен келеді. Wi-Fi жүйесі екі сегменттен тұрады, олардың бірінде сандық хабарлар талшықта тасымалданады

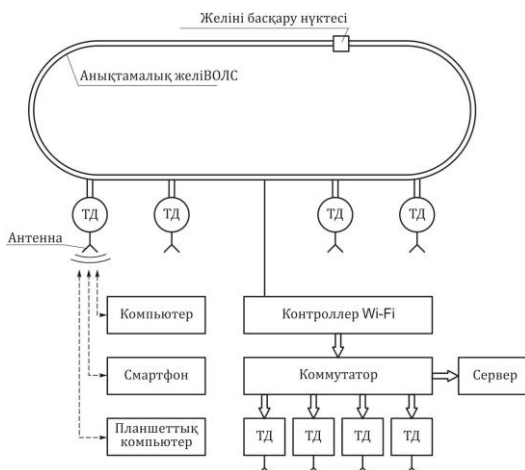
оптикалық кабель, ал екінші жағынан - радиоканал арқылы 1 км немесе бір ғимараттың ішінде қашықтықта. Жүйе көптеген компьютерлер мен мобилді құрылғыларға Интернетке және электрондық поштада жылдам қатынауды қамтамасыз етеді.

Субъекттінде талшықты-оптикалық байланыс бар тізбекті пайдалану принципі қарастырылған. 11.5. Сымсыз қатынау желісінің кеңейтілген блоктық схемасы құріш. 13.2. Оған магистральдық желінің оптикалық кабелінен, әдетте, 1 км-ден артық емес радиолокациялық таратқыштар деп аталатын кіру нұктелері деп аталады.

Сұрақ туындаиды: неге бізге бұрынғы сұрақтар қажет? тікелей талшықты-оптикалық кабелі ақпаратты өндіру құрделі және қымбат аралықты талап бүл факт. Ал қатынау нұктелерінің саны абоненттер үлкен санын қосу үшін радио арқылы шектеулі, және тек оларға болуы мүмкін. Өйткені

Желіні басқару нұктесі

абонент пен кіру нұктесінің арасындағы қашықтық аз, ал олардың арасында радио байланысына қарапайым құрылғылар қажет - төмен қуатты радио таратқыш және төмен сезгіштігі бар радио қабылдағыш. Нәтижесінде, осы екі деңгейлі дизайн арқасында қарапайым абоненттік жабдықтармен, компьютермен немесе ұялы телефонмен орнатылған көптеген пайдаланушыларға хабарламалар жіберуге болады.



Сурет. 13.2. Сымсыз қатынау желісінің құрылымы: АР
- кіру нүктесі

Мұндай хабарлау жүйелері сымсыз деп аталады, бірақ шын мәнінде олар сымсыз байланыс болып табылады, онда қалааралық хабарлар талшықты-оптикалық кабель арқылы беріледі, ал соңғы қашықтық сигналды өлшейді, бейнелеп айтқанда, радиоканал арқылы өтеді. Осындай сымсыз жүйелердің бірнеше түрі әзірленіп, жұмыс істейді, олардың ең танымалсы Wi-Fi деп аталады. Осындай жүйенің көмегімен интернеттегі компьютерлер арасында 100 Мбит / с дейін жоғары жылдамдықпен ақпарат алmasу, көптеген телеарналарды беру, көп арналы телефон байланысы жүзеге асырылады. Қазіргі уақытта бүкіл әлемді талшықты-оптикалық байланыс желілерімен қамту және сымды, коаксиалды байланыс желілерін ауыстыру бойынша жұмыстар жүргізілуде.

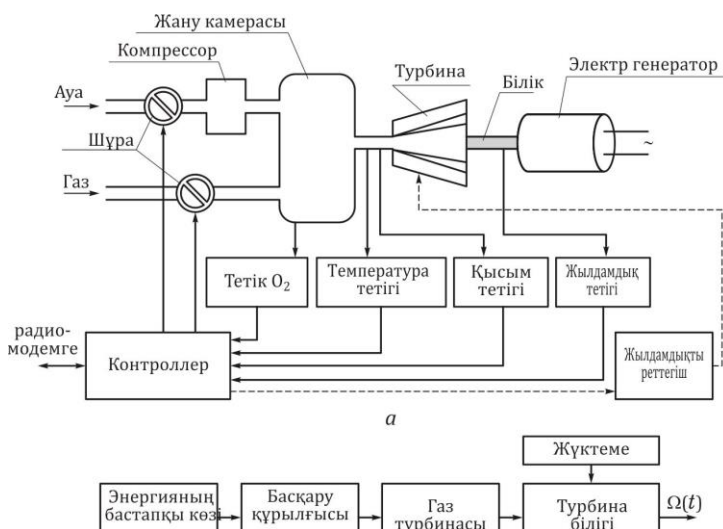
Бекітілген абоненттік терминалдары бар жүйенің жұмысын қарастырыңыз, оның үлкейтілген құрылымдық диаграммасы күріш. 13.2. Бірінші сегменттен бастап кеңжолақты ақпарат ғимаратта орналасқан контроллерге кіреді, содан кейін коммутатордың көмегімен ол Wi-Fi маршрутизаторлары деп аталатын радио-модемдер болып табылатын кіру нүктелері арқылы бағытталады. Орталықтандырылған Wi-Fi желісін басқаруды басқаратын басқарушы бағдарламалық жасақтамасы бар LAN сервері қосқышқа қосылады. 2.4 немесе 5 ГГц диапазонындағы радио арнасындағы қол жеткізу нүктелері компьютерде немесе ұялы телефонда бар абоненттермен байланысты.

Көптеген Интернет желісіне және электрондық пошта желісіне мұндай сымсыз қол жеткізудің артықшылығы шығындарды үнемдеу болып табылады, ойткені абоненттердің әрқайсысына кабельді бағыттаудың қажеті жоқ және оны белгілі бір аумаққа еркін көшіруге болады. Сонымен қатар радио-модем, контроллер мен коммутатор сияқты электронды цифровық құрылғылар Wi-Fi сияқты сымсыз желінің негізін құрайды, бұл көптеген кабельді қосуға қосымша ақпаратсыз көптеген ақпараттық қызметтерді ұсынады.

13.3. ЭЛЕКТР ГЕНЕРАТОРДЫ ГАЗТУРБИНАЛАРЫМЕН БАСҚАРУ

Үлкен өндірістік обьектіні автоматтандырылған басқару мысалын қарастырайық - күрылымдық диаграммасы күріште көрсетілген газ турбиналық генератор. 13.3. а.

Газ турбинасы қозғалтқыш болып табылады, ол механикалық энергияға айналатын роторлы жүздерден ағып жатқан газ ағынының энергиясын түрлендіреді. Компрессордың көмегімен қозғалтқышқа түсетең ауа алдын ала қысылады, бұл оның өткір жылытытуна экеледі. Осылайша жылытылатын ауа арнайы камерада жанып тұрған газ тәрізді отынмен арапасады. Жану нәтижесінде қыздырылған газдар турбина турбинасының дөңгелегіне кіреді, онда кеңейіп, жылдам жұмыс істейді



а

Сурет. 13.3. Газ генераторларын генераторларын басқару:
а - функционалдық; және - құрылымдық

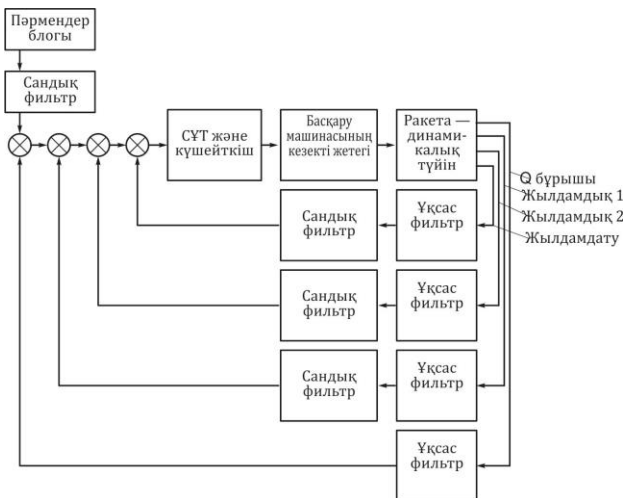
ротордың айналуы. Сол білікке айналмалы қозғалыстың энергиясын электр энергиясына айналдыратын электр генераторының компрессор дөңгелегі мен роторы орналастырылған. Объектіні автоматты түрде басқару пайдаланылған газдардың температурасын және қысымын бақылайтын контроллер арқылы жүзеге асырылады және ауа мен газ жеткізілетін құбырларға қосылатын екі клапанның көмегімен қозғалтқыштың айналу жылдамдығын реттейді. Газ турбиналық генератордың қашықтан басқару пультіне радиоқабылдағыштан контроллерге қажетті командалар келеді.

Газ турбиналық генераторды автоматтандырылған басқарудың кеңейтілген құрылымдық схемасы күріш. 13.3, б. Радио жүйесі арқылы белгілі бір ауданға таратылған осындай электр генераторларының тобын қашықтан басқару Sub-тармағында белгіленген қағидаттарға сәйкес жүзеге асырылуы мүмкін. 13.1.

13.4. ЗЫМЫРАН БАСҚАРУ ЖҮЙЕСІНДЕГІ ЭЛЕКТРОНДЫҚ ҚҰРЫЛҒЫЛАР

Зымырандық басқарудың үш түрі бар: автономды, радио басқару және гоминг. Автономды бақылау кезінде үшудың бастапқы нүктесінен ұшу нүктесіне дейінгі ұшу жолы орнатылады. Бұл жағдайда басқарудың мақсаты зымыранның орталық компьютерін еске түсіру бағдарламасына сәйкес жүзеге асырылатын, қозғалтқыштар мен рульдік басқару құралдарына қозғалысты басқару және бұйрық беру туралы деректерден зымыран қозғалысының нақты траекториясының ауытқуын барынша азайтуға азаяды. Радио бақылауда зымыран радиохабар арқылы жер бетіндегі есептелген траектория бойынша жылжитын ракетаға арнап жіберілген ракетаға арналған командаларды құрайтын жердегі командалық-өлшеу кешенін үнемі радио байқауында. Ракетаны өз бетімен орынданай отырып, мақсатқа байланысты қажетті басқару пәрмендерін қалыптастырады және іске асырады.

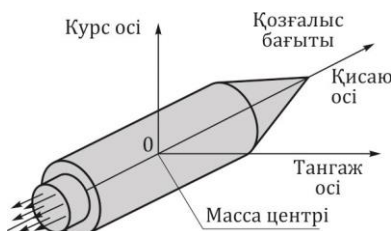
Зымырандық бақылаудың барлық түрлерінің техникалық іске асырылуы жоғары сенімді электронды құрылғыларды пайдалануға негізделген. Ракета бақылауында олардың рөлін түсіну үшін келесі мысалды қарастырайық: ракетаның ұшу траекториясының бұрыштық бұрышын тұрақтандыру үшін автоматты басқару жүйесінің құрылымдық схемасы. 13.4. Бұрыш бұрышы - қатты бұрыш, өлшенеді



Сурет. 13.4. Зымырандық басқарудың құрылымдық диаграммасы

зымыранның зымыранның басқа екі осі секілді көрінетін осьтің айналасында айналуына қатысты. 13.5.

Схеманың келесі параметрлері үшін төрт кері байланыс арнасы бар: бұрыштық бұрыш, екі ось бойымен бұрыштық жылдамдық және бүйірлік жеделдеу. Алғашқы үш арналар тек зымыранның ұшу жолын түрақтандыру мақсатында ғана пайдаланылады, төртінші бөлігі тек қана үлкен көлемді азайту үшін



Сурет. 13.5. Ракетаның ұшуын сипаттайтын үш ос ракетаның дизайны бойынша үш жүктеме .

Бұрыштық жылдамдық пен көлденең жеделдегу сигналдарын жіберетін арналардың басында күшті жоғары жиілікті сыртқы кедергілерді жою үшін аналогтық сұзгілер бар. Барлық төрт арнада аналогтық сигнал дискретті пішінге айналады, содан кейін реттелетін цифрлық сұзгілер орнатылады.

Бұл сұзгілердің параметрлері - өткізу қабілеттілігі мен азаю коэффициенті - траекторияның барлық бөлімдерінде автоматты басқару жүйелерінің тұрактылығының қамтамасыз ету үшін зымыранның ұшу кезінде түзетіледі. Осылайша, тұтастай алғанда, тұрактандыру жүйесінің параметрлері (13.4 суретті қаранды) зымыранның сипаттамаларының қатаң дене ретінде өзгеруімен байланысты және ракетаның жылдамдықпен жүретін серпімді тербелістері себебінен өзгеретін жұмыс жағдайына бейімделеді. Жалпы алғанда, ракета сатысының басқару жүйесі компьютерлік пәрменмен реттелетін 90 сандық сұзгіні қамтиды. Тек осы бір ғана көрсеткіш ұшу кезінде зымырандарды басқару мәселесінің күрделілігін және ол негізделген электрондық құрылғылардың маңыздылығын көрсетеді.

Контрольные вопросы

1. Өндірістік ақпараттық жүйelerde қолданылатын датчиктердің түрлерін көлтіріңіз.
2. Бір жолда бір хабарды беру кадрын қанша байт қамтуы мүмкін?
3. Өндірістік нысандардың автоматтандырылған басқару жүйелерінде контроллер қандай функцияларды орындаиды?
4. Wi-Fi сияқты сымсыз желі деңгөніңіз не?
5. Хабар сымсыз қатынау желісіне қаншалықты алыс болуы мүмкін?

14 Тарay

ҒАРЫШ ЖҮЙЕЛЕРІНДЕГІ ЭЛЕКТРОНДЫҚ ҚҰРЫЛҒЫЛАР МОНИТОРИНГ

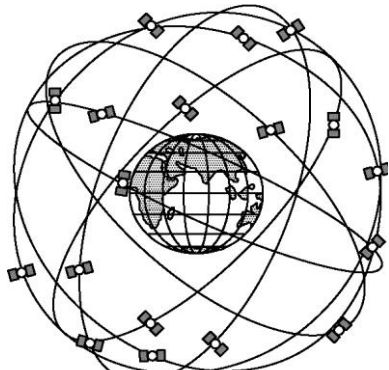
14.1. АВТОКӨЛІК ЖҮЙЕСІНІҢ СПУТНИКТІК МОНИТОРИНГІСІ

Қалада қогамдық көліктік бақылау жүйесінің жұмысын түсіну үшін алдымен спутниктік радионавигациялық жүйенің жұмыс істеу принципін қарастырайық. Бұл жүйеде жалпы қолданыстағы жүйеге біріктірілген және бір орталықтан бақыланатын спутниктерге орналастырылған радиотолқындар пайдаланылады. Қазіргі уақытта дүние жүзінде спутниктік радионавигацияның екі жаһандық жүйесі - американцы GPS (Global Positioning System) және ресейлік GLONASS (Global Navigation Satellite System) жүйесі жұмыс істейді. Еуропалық Одақ таяу болашақта жұмыс істей бастауы тиіс Фалилея деп аталатын осындай белгілеудің үшінші жүйесін дамытуды аяқтайды.

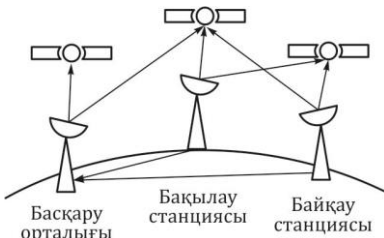
Спутниктік радионавигация жүйесі қатаң белгіленген орбиталарда ұшатын жер серігі тобын қамтиды және Жерге жіберілген радио сигналдарын ұздіксіз кодтайды (14.1-сурет). Олардың көмегімен арнайы қабылдағышпен жабдықталған, жердегі, теңіздеңі немесе әлемнің кез-келген жерінде орналасқан объекті оның координаттары мен қозгалыс жылдамдығын анықтай алады.

Спутниктік радионавигация жүйесі үш сегменттен тұрады: ғарыштық сегмент - спутниктердің топтамасы, жерге басқару кешені және пайдаланушылар. Мысал ретінде GPS жүйесін пайдалана отырып, осы сегменттердің құрамы мен олардың өзара әрекетін егжей-тегжейлі қарастырайық.

Гарыш сегменті бір-бірінен 60° аралығындағы алты орбиталық жазықтықта біркелкі бөлінген 24 спутникті қамтиды. Сателлиттер өз орбиталарында қозгалады, осылайша сервис орындарын үнемі өзгереді. Орбиталь құрылымының таңдалған конфигурациясы қамтамасыз етіледі



Сурет. 14.1. Спутниктік навигациялық жүйе



Сурет. 14.2. Радионавигация жүйесінің жерусті кешені

кез-келген уақытта жердегі бақылаушының төрт жерсерігімен байланыс. Әрбір спутниктің айналмалы орбитасының биіктігі шамамен 20 мың км.

Жерасты кешені мыналарды қамтиды: негізгі бақылау орталығы және бүкіл әлем бойынша таратылатын мониторинг, бақылау және бақылау станциялары желісі (14.2-сурет). Жер телімінің көмегімен телеметриялық ақпарат жиналады, өндөледі және барлық спутниктерден сақталады; спутниктердің бақылау орбиталары және олардың өзгерістерін болжау; спутниктерге жіберілеттін басқару пәрмендерін және навигациялық деректерді қалыптастыру; Борттық уақыт ауқымдарын синхрондау; тұтастай жүйенің және оның барлық бөліктерінің жұмысқа қабілеттілігін бақылау. Барлық жердегі станциялардың барлық ақпараты жүйенің басқару орталығына түседі.

Басқару станциялары спутниктерден навигациялық ақпаратты алады және оны басқару орталығына талдау үшін жібереді. Бақылау станциялары болжау және ықтимал түзету мақсатында спутниктер орбиталарын бақылайды. Қажетті командалар басқару станцияларынан спутникті таратады.

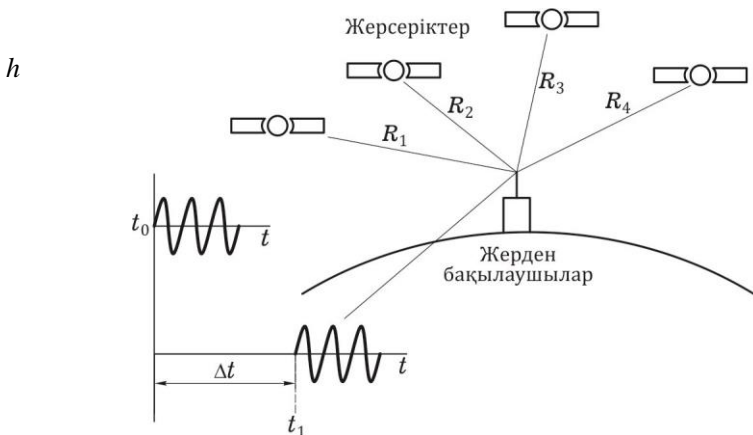
Спутник келесі негізгі жабдықтарды қамтиды: навигация, бақылау, бағдарлау және тұрақтандыру, орбиталарды түзету, жылу реттеу және электрмен жабдықтау. Навигациялық жабдыққа радиоқабылдағыш және навигациялық ақпараты, борттық компьютері және басқа да құрылғылары бар кодталған сигналдардың радио таратқышы кіреді.

Содан кейін жер үсті комплексінен спутникті енгізген қабылданған және өнделген навигациялық ақпарат Жер бетіне шығарылады. Сателлиттер екі типтегі навигациялық сигналдарды үздіксіз шығарады: стандартты және жоғары дәлдік L-диапазонында (1,200 және 1,600 МГц) жоғары тұрақты жиіліктер көздерін пайдалану арқылы. Стандартты сигнал жүйенің барлық пайдаланушыларына қол жетімді, жоғары дәлдікте - әскери және арнайы қызметтерге ғана беріледі.

Кеңістіктік координаттарын, жылдамдығын және нақты уақытын анықтау үшін жеке пайдаланушы қабылдағышы төрт жерсеріктен навигациялық сигналдарды қабылдауды және өңдеуі керек (14.3-суретті қараңыз). Алынған сигналдар спутниктің орбитасының параметрлері туралы ақпарат және оның орналасу орны, сондай-ақ допpler жиілігінің ауысуы туралы деректер және нақты уақыт.

Анықтау жүйенің қашықтық өлшеу әдісі үйлестіру және төмөндегідей болып табылады жалпы принципке сәйкес келеді. Жүйелі уақыт сигналын айналымын арқылы синхрондалған барлық нысандарды пайдалану. Нәтижесінде, спутниктің сигнал сәуле t_0 уақыт біле отырып, дәл жерүсті пайдаланушы T_1 оның келу v_{te} -түа өлшеуге болады, $t_1 = At$ айырмашылықты есептей - t_0 жылжиды және Маяк (спутник) және бақылаушы $R =$ мысық, C арасындағы қашықтық - жарық жылдамдығы. Осылайша, кезінде ауқымы $R = 20,000$ км уақытта $= R / c = (20 \cdot 10^6) / (3 \cdot 10^8)$ [м] / [м / с] = 66,66 [мс].

Осындай өлшеулерді төрт спутниктің көмегімен байқауышының әрекет ету ауқымында және төрт жарысты анықтады



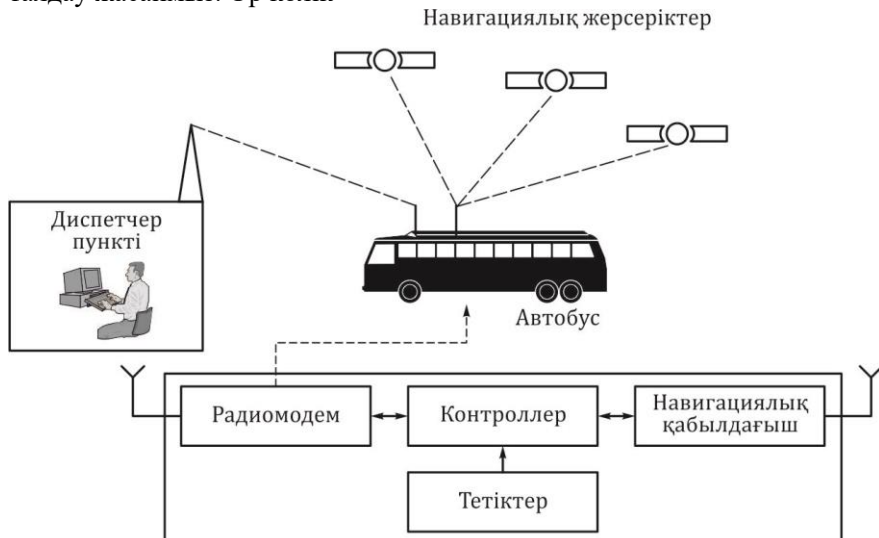
Жет. 14.3. Абоненттің координаттарын анықтау

Тұрақты R_t , R_2 , R_3 және R_4 , қашықтықты өлшеу әдісіне сәйкес бақылаушы координаттарын анықтауға болады. Барлық өндөу Алынған сигналдың операторлары және қажетті есептеулер қабылдағышқа салынған ықшам компьютер арқылы жүзеге асырылады. Объектінің координаттарын компьютерлік есептеу кезінде алынған сигналдың Doppler жиілігінің ауысуы, радио толқынының таралу жылдамдығына атмосфераның әсері және басқа факторлар ескеріледі. Фарышты анықтаудың дәлдігі стандартты режимде бірнеше ондаған метрден аспайды және бірнеше метрмен дәл келеді. Қашықтықты өлшеу қателігі уақытты өлшеу дәлдігіне байланысты. Мысалы, $At = 0.1$ микросекундта, қашықтықтың өлшеу қателігі

$$\Delta L = At c = (0.1 \cdot 10^{-6}) [c] (3 \cdot 10^8) [\text{м}/\text{с}] = 30 [\text{м}].$$

GPS және ГЛОНАСС жүйесін пайдаланушылар барлық стратегиялық және тактикалық қарулардың әскери құрылымдары болып табылады; жер, теңіз, өзен және әуе көлігі; өз қызметі бойынша Жердегі және жеке азаматтардағы координаттарын дұрыс білуді талап ететін кәсіпорындар.

Спутниктік навигациялық жүйенің жұмысымен танысып, қаланың айналасында жүретін қоғамдық көліктердің мониторинг жүйесіне талдау жасаймыз. Әр көлік



Сурет. 14.4. Спутниктік бақылау жүйесі

құралдар - автокөлік немесе автотасымалдаушы жүйе, электронды жабдықтардың жиынтығымен жабдықталған, соның ішінде: радио навигациялық қабылдағыш, контроллер және радио модем (14.4-сурет). Қабылдағыштың көмегімен көлік құралының координаттары автоматты түрде белгілі аралықта анықталады (мысалы, әр 5 минут сайын). Бұл ақпарат, сондай-ақ көлік құралының саны мен жылдамдығы контроллерге енеді, өндөледі және кодталады, содан кейін радио модем арқылы таратылады. Барлық көлік құралдарының радио сигналдары жоғары антенна орталық басқару бөлмесі арқылы қабылданып, өндөлген және үлкен дисплей экранында көрсетіледі (14.4-суретті қараңыз). Осылайша, диспетчер барлық көлік құралдарының он-лайн қозғалысын бақылай алады. Авария немесе басқа да қалыпты жағдайлар болған жағдайда, көлік құралының жүргізушісі радио-модем арқылы деруе диспетчермен байланысуға мүмкіндік алады.

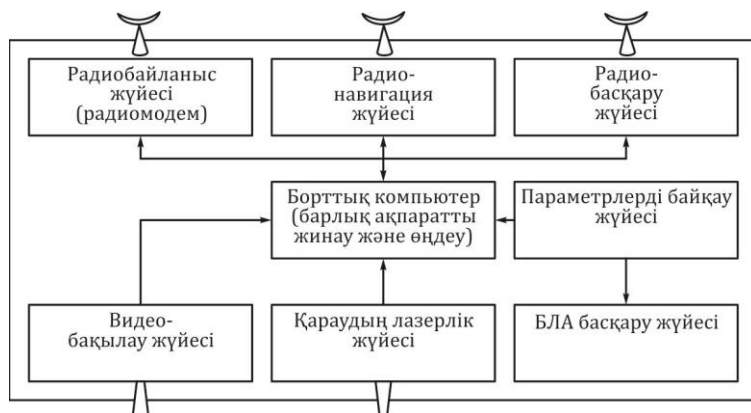
14.2. ПИЛОТСЫЗ ҰШУ АППАРАТТАРЫНДАҒЫ ЭЛЕКТРОНДЫҚ ЖҮЙЕ

Әскери және азаматтық міндеттерді шешуге барған сайын кеңінен қолдану - радионавигациялық ұшу аппараттарымен, ұшу аппараттары немесе ұшақтардың ұшқыштары ретінде қысқартылған, қашықтан басқарылатын адамдар. Ұшқыш және басқа қызметкерлер әуе кемесінің бортында емес, оны жер үсті бақылау станциясының маманымен радиоканал арқылы бақылайды, онда ұшу кезінде жиналған барлық ақпарат келіп түседі (14.5-сурет).

Ақпаратты жинау, байланыс және қашықтан басқару екі спутниктік-ғарыштық жүйелермен өзара әрекеттесу арқылы жүзеге асырылады: GPS-ГЛОНАСС навигациясы (14.1 бөлімін қараңыз) және қашықтықтан ғарыштық радиобайланыс жүйесі. ІЖА шешуші негізгі міндеттері:

- белгілі бір обьектілерді анықтау үшін жерді көрнекі іздестіру;
- картографиялық мақсаттар үшін аэрофотосъемка;
- белгілі бір аумақтағы экологиялық жағдайды бақылау;
- мұнай және газ құбырларын салу, орман трактаттары мен мұздықтардың жай-күйін бақылау және жетуге қыын аудандардағы басқа да үқсас іс-шаралар.

Әскери мақсаттағы УАЖ-ға қауіп-қатер тудыратын обьектілерді іздеу және обьектілердің жойылуы қосылады.



ІАЖ бортында электрондық жүйелердің мүмкін болатын үлкейтілген құрылымдық схемасы сурет .

14.6. Олардың мақсаты мен жұмыс принципін қарастырыңыз.

Радионавигация жүйесі. Ұшак бортында антенна және GPS қабылдағышы спутникten радио сигнал алады

GPS-GLONASS навигациялық жүйесінің (14.1 бөлімін қараңыз). Осылайша, нақты уақыт режимінде ЖКО координаттарын қадағалауға болады.

Бейнебакылау жүйесі. Ұшак бортында әуе кемелерінің үстінен ұшып келе жатқан аймақтың бейне бақылауына, сондай-ақ әрі қарай картага түсіру үшін жер телімдерін іздестіруге мүмкіндік беретін сандық сигналды өндеду мүмкіндігі бар жоғары ажыратымдылықтағы бейне камера орнатылған.

Параметрді қадағалау жүйесі. БЖ-да орнатылған электронды датчиктердің көмегімен қозғалтқыштың және рульдік басқарудың жұмысын қадағалау үшін ұшактың биіктігі мен жылдамдығын объектінің жұмыс істеуі туралы барлық мәліметтер алуға болады.

Радиобайланыс жүйесі. Жоғарыда аталған үш жүйенің ақпараты өндөлөтін контроллерге енеді, егер мүмкін болса, шығарылған сигналдың жолағын азайту үшін қысқарады және кодталады. Содан кейін кодталған сигнал антенна геостационарлық орбитада орналасқан және қашықтағы ғарыштық радиобайланыс жүйесінің бір бөлігі болып табылатын спутникті бағытталған радио модемге кіреді.

Бұл жүйе туралы қысқаша ақпарат береміз. Ғарыштық радиобайланыс жүйелерінің негізгі жіктеу сипаттамаларының бірі - жүйеге кіретін спутниктердің радио сигналын қайталағыштарымен және олардың антенналарымен жүретін орбитаның түрі. Геостационарлық және геостационарлық емес жердегі орбиталардың екі негізгі түрі бар. Геостационарлық орбитада экватордың жазықтықта орналасқан шамамен 36 000 км биіктікте орналасқан және өз осінің айналасындағы Жер айналу жылдамдығымен қозғалатын жер серігі жер бетіндегі белгілі бір нүктеден асып түседі. Мұндай жер серігінің антеннасы жердегі бақылаушыға қатысты стационар құннің барлық 24 сағатында үздіксіз «жерді» бір және сол аймақты «жарықтандырады». Сондықтан, антеннаның «спот» аймағында орналасқан жүйенің пайдаланушысы бір аймақта орналасқан басқа абонентпен үздіксіз, жиырма төрт сағаттық радио байланысына ие болуы мүмкін. Геостационарлық орбитада бір-бірімен байланыс желілері бар үш спутникті орналастырганнан кейін солтүстік және онтүстік поляр шеңберлерінің артында орналасқан аумактарды қоспағанда, бүкіл жерді радиобайланыспен қамтуға болады.

Мұндай геостационарлық спутниктің көмегімен алынған ақпарат жердегі бақылау бекетінде алынып отырады, ол мыңдан астам шақырымдық ұшак пен, тіпті басқа континентте де болуы мүмкін. Алынған сигнал демодулирленеді, декодталған, қайта өндөледі және бейнеленетін үлкен бейнебет экранында көрсетіледі, ол БЖА-ның ұшу жолын және алынған бейне ақпаратын және бақыланатын аумақтың мониторингінен басқа ақпаратты көрсетеді.

Радио бақылау жүйесі. Алынған және өңделген ақпараттарды талдау негізінде ұшу лидері келесі әрекеттерді шешеді: объектінің бағыты мен биіктігі, басқа аумақты тексеру және бейнебақылау шарты. Бастың нұсқауын орындайтын инженердің жұмыс орны пилоттың кабинасы ретінде жабдықталған. Тек инженер ұшақтың кокпитінде ғана емес, сонымен қатар жердегі бұрылыс тренажерінің кабинасында және оның барлық әрекеттерін арнағы электронды жүйемен бақылап, кодталған басқару пәрмендеріне ауыстырады. Бұдан басқа, стационарлық спутниктің көмегімен алыс гарыштық радиобайланыс арнасындағы бақылау сигналдары әуе кемесінен алынып, демодуландырылған, декодталған және басқару блогына жіберіліп, әуе кемесінің биіктігін, жылдамдығын және бағытын өзгеретін атқарушы механизмдер үшін командаларды қалыптастырады.

Әскери мақсаттағы ИАЖ тек жедел-іздестіру іс-шараларын жүргізу үшін ғана емес, сонымен қатар ұрыс қымылдарына қатысуға арналған болса, қару-жарақ, әдетте, оның тақтасында лазерлік бағыттау жүйесімен жоғары дәлдікті мақсатты зымырандармен орналастырылады. Ұшудың басы ұшуды бастау туралы шешімнің мақсатын және таңдауын қабылдайды. Оның бүйрыймен басқарушы арна арқылы тиісті команда жіберіледі, бұл бір немесе бірнеше зымырандар тобын іске қосуға алып келеді.

Ұшақ аппаратын қашықтан басқару пульті сияқты осындағы курделі кешенді құру және пайдалану өте сенімді электрондық құрылғылар мен жүйелердің көмегімен ғана мүмкін болады.

БАҚЫЛАУ СҮРАҚТАРЫ

1. Спутниктік бақылау жүйесін тағайындау туралы бізге айтып беріңіз.
3. Спутниктік радионавигация жүйесінде қандай құрылғылар енгізілген?
3. Спутниктік радионавигациялық жүйеде объектінің орналасқан жерінің координаттарын қалай анықтау керек?
4. ОАА-да қандай электрондық жүйелер қолданылады?
5. Берілген ақпаратты кодтау әдісі қалай және қалай жүзеге асырылады?

1. Бронштейн, И.Н. Математика анықтамалығы / Н.Н.Бренштейн, К.А. Семендиев. - М. : Ғылым, 1981 ж.
2. Горошков Б.Э. Электроника / Б.Горошков, А.Борошков. - М.:Изд. «Академия» орталығы, 2012ж.
3. Каганов В.И. Радио хабарларын тарату құрылғылары / В.И. Каганов. - М.:Изд. «Академия» орталығы, 2002 ж.
4. . Каганов, VI радиотехникалық схемалар және сигналдар / В. Каганов. - М.:Изд. «Академия» орталығы, 2003 ж.
5. Каганов, VI радиотехника / В.И. Каганов. - М.:Изд. «Академия» орталығы, 2006 ж
6. . Каганов В.И. Радиотехникалық схемалар және сигналдар. Зертханалық-компьютерлік тәжірибелік жұмыс / В.И. Каганов. - М. : Ыстық желі - Телеком, 2003.
7. Каганов В.И. Радиотехника + компьютер + Mathcad / VI Каганов. - М. : Ыстық желі - Телеком, 2001.
8. Калашников В.И. электроника және микропроцессорлық техника / В.И. Калашников. - М.:Изд. «Академия» орталығы, 2012ж.
9. . Карлашчук В. И. IBM PC / В. Карлашчук бойынша электрондық зертхана. - М. : Солон Р, 2000.
- 10.. Кузин А.В. Микропроцессорлық техника / А.В. Кузина. - М.:Изд. «Академия» орталығы, 2012ж.
11. Новожилов О.П. Электротехника және электроника / О.П. Новожилов. - М. : Юрайт, 2013 ж.
12. Новожилов, О. Цифрлық технология негіздері / ОП Новожилов. - М. : RadioSoft, 2004.
13. Уграмов Е.П. сандық схемасы / Е.П. Угрюмов. - Санкт-Петербург. : BHV-Peterburg, 2010
14. .Щука А. А. Электроника / А.А.Щука. — СПб. : БХВ-Петербург, 2008.
15. Электроника. Анықтама / ed. А.Быстрова. - Санкт-Петербург. : Энергоатомиздат, 1996.
16. Якубовский С.В. Сандық және аналогтық интегралды схемалар. Анықтамалық / С.В.Якубовский. - М. : Радио және байланыс, 1990 жыл.

Алғы сөз.....	4
Kіріспе	6
1-тарау. Ғылымның мәні «электроника».....	9
1.1. Электрониканың тарихы туралы қысқаша ессе.....	9
1.2. Электрондық құрылғылар мен құрылғылардың класификациясы	14
1.3. Қазіргі заманғы технологияның ажырамас бөлігі ретінде гі электроника	17
1.4. Электр және магнит өрісі.....	18
1.5. Электрондық құрылғыларды пайдаланудың жалпы принципі----- 29	
2-тарау. Хабарлама және сигнал	32
2.1. Сандық хабарлар параметрлері	32
2.2. Аналогтық сигналды сандық сигнал түрлендіру.....	37
2.3. Мерзімді сигналдардың спектралды талдау	40
2.4. Электронды сигналдарды пайдаланатын сигналдарды түрлендіру аспаптар.....	45
3-тарау. Электрқұрылғылардың құрылғылары	50
3.1. Электрондық шам	50
3.2. Ультрахралы жүйлікті электровакуумдық құрылғылар	52
4-тарау. Жартылай өткізгіш электрондық құрылғылар.....	58
4.1. Электронды тесік торабы.....	58
4.2. Жартылай өткізгіш диодтар.....	61
4.3. Биполярлық транзисторлар	64
4.4. Өріс эффектісінің транзисторлары	71
5-тарау. Микроэлектроника.....	77
5.1. Біріктірілген тізбектер	77
5.2. Интегралдық сұлбаларды дайындау технологиясы	79

6-тарау. Аналогтық сзықты электрондық құрылғылар.....	82
6.1. Аналогтық құрылғылардың жіктелуі	82
6.2. Талдаудың екі түрі және сипаттамалардың екі түрі желілік құрылғылар.....	85
6.2. Әртүрлі сілтемелер және сигналды интеграциялау.....	90
6.2. Операциялық күшейткіштер.....	103
6.3. Көп сатылы сзықты электронды талдау құрылғылар	111
7-тарау. Аналогты сзықты емес электрондыққұрылғылар.....	113
Сызықсыз құрылғылардың сипаттамасы.....	113
Графикалық талдау әдісі.....	115
Гармоникалық линеаризация әдісі.....	116
Спектрлік талдау әдісі.....	118
Сыртқы қозғаушы генератор.....	120
Автогенераторлар.....	123
Қуат көздері.....	133
8-тарау. Микротолқынды электронды құрылғылар.....	138
8.1. Желілік микротолқынды пештерді талдау әдісі.....	138
8.2. Гибридті микротолқынды пештер және микрострип электр беру желілері.....	141
8.2. Сыртқы қозғалыстағы микротолқынды транзистор генераторы.....	144
8.3. Тенденстірілген типті микротолқынды транзисторлық генератор	149
9-тарау. Сандық элементтің базасы.....	152

9.1.	Сандық элементтің базасын жіктеу	152
9.2.	Логикалық элементтер	153
9.3.	Мультивибратор және триггер	158
9.4.	Аналогты-цифрлық және сандық-аналогтық түрлендіргіштер ..	166
9.4.	Кодты және декодер	174
9.5.	Есептеуіш және тіркелу	175
9.6.	Сандық сұзгі	
180		
9.7.	Мультиплексор	185
9.8.	ЕСте сақтау құрылғылары	185
10-тарау. Жалпы пайдаланылатын сандық құрылғылар	188	
10.1	Микропроцессор.....	188
10.2	Модем.....	190
10.3	Контроллер.....	193
11-тарау. Оптоэлектроника.....	195	
11.1.	Лазерлерді пайдалану және класификациялау принципі ..	195
11.2	Жарықтың модуляторлары.....	198
11.3	Жартылай өткізгіш лазер.....	200
11.4	Газдық лазер.....	202
11.5	Талшықты-оптикалық байланыс желісі.....	204
12-тарау. Акустоэлектроника.....	207	
12.1.	Жер үсті акустикалық толқындар	207
12.2.	Жер үсті белсенді заттарға негізделген жолақты сұзгі	209
12.3	Интегралдық типтегі акустофиялық модулятор.....	210

13 тарау. Трансмиссиялық жүйелердегі электрондық ақпарат және басқару құрылғылар	212
13.1. Электрондық ақпараттық жүйе және таратылған типтегі өндірісті басқару.....	212
13.2. Сымсыз қатынау желісіндегі электрондық құрылғылар.....	218
13.3 Газ турбиналышының генераторларын басқару.....	221
13.3 Зымырандық басқару жүйесіндегі электрондық құрылғылар.....	222
14-тарау. Жүйелердегі электрондық құрылғылар ғарыштық мониторинг	225
14.1 Спутниктік бақылау жүйесі.....	225
14.2. Инициализацияланбаған әуе көліктеріндегі электрондық жүйелер аппаратура.....	229
Әдебиеттер тізімі.....	233

Оқу басылымы

Каганов Вильям Ильич

Қолданбалы электроника

Оқулық

Редактор Н. Е. Овчаренко, Э.Шапауов

Техникалық редактор Е. Ф. Коржуева

Компьютер орналасуы: Р.Ю.Волкова

Түзеткіштер А. П. Сизова, Е. О. Беркутова

Бас. № 101116974. Баспасөзге қол қойылды 13.11.2014. Формат 60 х 90/16.

Гарнитура Балтика. Қағаздар. №1. Офсетті басып шығару. Шарт.басп.табақ 15.0.

Таралымы 1000 дана. Тапсырыс №

«Академия» баспа орталығы». www.academia-moscow.ru 129085, Москва,

Бейбітшілік даңғылы, 101Б, 1 бет.

Тел./факс: (495) 648-0507, 616-00-29.

Санитарлық-эпидемиологиялық қорытынды № РОСС RU. AE51. Н 16592 от 29.04.2014.

Баспа үйі ұсынатын электронды бұқаралық ақпарат құралдарынан басылған Саратов

полиграфиялық кешені. www.sarpk.ru 410004, Саратов, ул. Чернышевский, 59.

Магнит қозғалысына байланысты, түйік тізбектегі ток көзіне, яғни электр өрісінің пайда болуына алып келеді.

Математикалық формуламен сипатталған бұл құбылыс электромагниттік индукция заңы деп аталды. Осы заңға сәйкес магниттік өрістегі ашық сымның жарылысы болған кезде электр қозғалтқыш күші (ЕМК) оған енгізілген кернеу магниттік ағынның осы айналыммен шектелген беті арқылы өзгеру жылдамдығына сандық түрде тең және керінше болады (1.6-сурет) :

$$- - \frac{d\Phi}{dt}$$

мұнда Φ - бұрылысқа магнит ағыны, $\Phi = BHS$, B ; H - бұрылыс жазықтығына қатысты Bn - $Bcos\alpha$, T ; S - айналымның көлденең қимасы, m^2 .

(1.5) сәйкес, магнит өрісі өзгерген кезде, туынды $d\Phi / dt$ $\Phi = 0$ кезде электр өрісі пайда болады. Магнит өрісіне N айналымның спиральлары болған жағдайда, emf кернеуі

(1.5) форманы қабылдайды

1. Ондық жүйеде 111000111 нөмірін жазыңыз.
2. Екілік жүйеде 999 нөмірін жазыңыз.
3. Периодтық сигналдың спектрі қандай?
4. $T = 10$ мс қайталау кезеңімен $m = 1$ мс ұзактығы бар тікбұрышты импульстардың спектралдық компоненттерінің амплитудасы қандай?
5. 1 Мб-да қанша бит бар?¹

$$f(u) = \frac{1}{2n L_K(C_k + C_B(u))} \quad (4.3)$$

онда b_k - схеманың индуктивтілігі, μH ; C_k - контурдың сыйымдылығы, Φ ; S_v - varicap сыйымдылығы, F ; және - варикапта қолданылатын кері кернеу, B .

Мысал 4.3. Негізгі элемент - жасанды сзығы бар импульстік модулятор схемасында тиристорды пайдалану (4.8-сурет). Импульстік сигналды қалыптастыратын тізбектегі электрондық кілттің рөлін тиристор - жартылай өткізгіш диод,

1. Биполярлық транзистор мен далалық транзистордың арасындағы

айырмашылық неде?

2. Биполярлы транзистордың үш шекаралық жиілігі қандай?
 3. n-p-n транзисторы мен p-n-p транзисторының арасындағы айырмашылық қандай?
 4. Көп эмитенттің транзисторы дегеніміз не?
 5. Күшті транзистордың негізгі параметрлерін атаңыз.
1. «микроэлектроника» ұғымын анықтаңыз.
 2. АЖ қандай?
 3. Жартылай өткізгіш материалға неге қоспалар қосылады?
 4. IMS өндірісінде қандай операциялар қолданылады?
5. Қандай схемалар BIS деп аталады?
Мінсіз интегралданған байланыс:
$$T = \int x \, dy \text{ или } y = \int x \, dt, \quad dt = T$$

мұнда E уақытша тұрақты; 1

$$\kappa(0) = \frac{1}{T}; A(\infty) = 0; \Phi(\infty) = 0i$$

$$\kappa(p) = -\frac{1}{T} \Phi(t) = \frac{1}{T}; h(t) =$$

$pT \quad T \quad T$, ең кең тараған схемаларының бірі көпірлер түрі көрсетілген. 6.18. Дифференциалдық қүшейткіштің айырықша ерекшелігі - екі кіріс пен бір шығудың болуы. Шығыс сигналы кіріс сигналдарының айырмашылығына пропорционалды.

ДҮ ерекшелігі:

жоғары кернеуді арттыру, 106 дейін, яғни 120 дБ;

■ жоғары кіріс кедергісі, сондықтан кіріс тізбектерінде нөлдік ток мәнінен жақын;

■ төменгі шығыс кедергісі, сондықтан өзгеру жүктемесі кезінде өзгеріссіз шығу кернеуді;

■ кең жиіліктер белдеуінің өткізу қабілеті, сондықтан тікелей және жоғары жиілікті сигналдарды қүшету мүмкіндігі;

■ кіріс кернеулерінің арасындағы нөлдік айырмашылық.

Сыртқы кері байланыс болмаған жағдайда оп амптың шығуындағы кернеу

$$Ишығу = К_у (u_{BХ}2 - U_{BХ}I), \quad (6.16)$$

онда и кір1 және и кір 2 - күшейткіштің шығуындағы кернеу; К_у - кернеудің коэффициенті.

Оп-амптың екеуі үшін амплитудалық сипаттамалар қаныққан кернеуге дейін сзықтық болып табылады (6.19-сурет):

Сзықтық элементтен кейін кіріс сигналының жиілігіне тең резонанстық жиілігі бар параллель осцилляторлы тізбек қосылады, f_P = f. Мұндай схема амплитудалық сипаттамаға ие болғандыктан, күріш. 7.5, сигналдың бірінші гармониясы ғана өтеді. Демек, құрылғының шығуындағы сигнал, мысалы, кірісінде, синусоидальды нысанын алады. Жалпы алғанда, мұндай құрылғы квазилинар деп аталады, яғни сзықты бірдей. Бұл гармоника амплитудасының амплитудасының амплитудасының кіріс кернеуіне қатынасы: ср = m - сигналдың бірінші гармониясы немесе сзықтық емес элементтің бірінші гармоникасына қатысты беріктік коэффициентімен сипатталады. (7.4) сәйкес, косинол толқынының импульсі болған жағдайда

$$s_1 \text{ср} = 0,5 \cdot \hat{\mathcal{W}}_{BХ} \text{Щ.}$$

Сигнал сұзгісі бар сзықты емес құрылғының жұмысын сипаттайтын

тендеулер сигналдың алғашкы гармоникасына қатысты жасалған, бұл талдауды айтарлықтай жеңілдете ді.

Автохолияциялық жүйе жағдайында гармоникалық линеаризация әдісі гармоникалық теңгерім деп аталады (7.6-тармақты қараңыз).

кернеу мен жүктеме, шығыс кернеуінің рұқсат етілген толқыны, бастапқы тізбектегі қуат тұтынуы, U_0 (I_0) жүктеме сипаттамасы, мұндағы U_0 -

I_0 - жүктеме тізбегіндегі тұрақты ток (Сурет 7.23, б).

Төмен кернеулі қуат көздері екі үлкен топқа бөлінеді: трансформатор диодтардағы және импульстегі редукторлармен.

Трансформаторды электрмен жабдықтау. Осы түрдегі қуат көзінің екі тізбегі (жарты толқын және көпір) күріш. 7.24. Екі схема U_0 (I_0) жүктемесінің (вольт-ампер) сипаттамасын сипаттайды (7.23-суретті қараңыз, б). Осы сипаттамаға сәйкес, жүктеме токіндегі рұқсат етілген өзгерісті бағалауға болады.

Ректификатордан кейін пульсацийлерді тегістеу үшін жүктемеге параллель С сыйымдылығы қосылады, оның құны келесі теңсіздікті

байқау арқылы таңдауға болады:

$$CR_H F > 100, \quad (7.22)$$

мұнда AH - жүктің төзімділігі, $AH = U_0 / I_0$; $F = 50$ Гц. Мысалы, $R = 100 \Omega$ үшін (7.22), $C = 0.02 \mu F$. $\Phi = 2 \cdot 104 \mu F$. С сыйымдылығының шамасы неғұрлым үлкен болса, соғұрлым тәменірек деңгейдің төмендеуі.

$U_0 = 0.45 U_{23}$ бір жарым циклдік тізбектің шығуындағы түзетілген кернеудің орташа мәні (, $U_0 = 0.9U_{23}$

1 кірісіне берілетін сигнал 3 және 4 кірістері арасында тең бөлінеді. Ал кіріс 3-де фаза 90° -ке ауысады және кіруде

4 - кіріс сигналына қатысты 180° -ге дейін. Фазалық ауысудың айырмашылығы 90° және құрылғының атауын квадрат ретінде анықтайды. Фазада 90° ауысқан P1 тең қуаттың екі тең сигналы 1 және 2 кірулеріне қолданылады, 2 немесе 3 кірулерінде 2P1 қуатының жалпы сигналы пайда болады. Bridge құрылғысы жатады

сигнал берілген сигналдың санын өзгерту кезінде оның қасиеттерін сактауды білдіретін өзара түрдегі тізбектер.

Суретте көрсетілген схемада. 8.13, күшейткіштердің кірісіндегі көпір құрылышы сигналды қуат бөлгіші ретінде 2 рет, шығу кезінде - екі сигналды қабылдағыш ретінде пайдаланылады. Кесу транзисторлардың кірісінде орын алғанда, көрсетілген сигналдар BN-1 балласты жүктемесіне түседі. Бұл сипат, сондай-ақ микротолқынды күшейткіштердің өздігінен жұмыс істеуі радиотолқындардың толқынды күшетту жолының бүкіл тұрақтылығын арттырады.

Көпірлердің құрылғылары белгілі бір жиілік диапазонында өз қасиеттерін сақтайды. Тар және кең жолакты құрылғыларды бөліп алыңыз.

1. Орттің анықтамасын берініз және фидерлік желіде таралатын толқындарды көрсетіңіз. Бұл толқындар қалай байланысты?
2. Жұктің қарсылығын және рефлекторация коэффициенті қалай байланысты?
4. Асимметриялық MPL симметриялық MPL арасындағы айырмашылық қандай?
5. Қандай технологияда микротолқынды транзисторлар өндіріледі? генераторы?

6. Тендерестірілген түрдегі транзисторлық күштейткіштің қандай артықшылығы бар?

Сандық электронды құрылғылар - әдетте интеграцияланған технологияны қолдана отырып дайындалған цифрлық базалық элементтердің белгілі бір ережелеріне сәйкес қосылу. Бұл құрылғылар үш негізгі сипаттамаға сәйкес бөлінеді: функционалды мақсаты, транзисторлардың түрі және элементтердің қанықтылығы.

Функционалды мақсат үшін келесі элементтер бөлінеді:

полиция:

- Логикалық-алгебралық және арифметикалық операцияларды орындайтын логикалық элементтер;
- төртбұрышты импульстарды қалыптастыруды жүзеге асыратын мультивибраторлар;
- «жадында» сақтауға арналған триггерлер екілік кодта жазылған «1» немесе «0» санын білдіреді;
- Кіріс сигналын 1-биттік екілік код комбинациясына шығаруға түрлендіргіштер және декодер,
- қарсы операцияны орындау;
- кірісіне кіретін электрлік импульстар санын есептейтін есептегіштер;

- л-биттік екілік код түрінде ұсынылған ақпаратты алуға, сақтауға және беруге арналған тізілімдер;
- цифранған сигналдар ансамбліден керекті комбинацияны тандайтын мультиплексорлар және оны шығу үшін беру;
- ақпаратты цифрлық нысанда жазатын, сақтайтын және оқитын естеліктер (жад күрылғылары).

онда оң нәтиже беретін кері байланыспен гармоникалық тербелістер релаксациялық ауытқуларға нұқсан келтіреді.

Екі өріс тиімді транзисторлары бар симметриялық типті мультивибратор схемасы 9.6, а суретінде көрсетілген. Конденсатор конденсаторының $C1 = C2$ тізбегіндегі кедергілер $R1 = R2, R3 = R4$.

Транзисторлар идеалды кілттер екендігін болжай отырып, суретте бейнеленген схеманы елеестетіп көрейік. транзисторлар кілттермен ауыстырылатын эквиваленттік схема түрінде (9.6, б). Суретте көрсетілген схема. 9.6, келесідей жұмыс істейді. VT1 және VT2 транзисторлары немесе K1 және K2 тиісті пернелер кезекпен ашылады және жабады. K2 пернесін t0 уақытында жабыңыз.

Сондықтан К2 кернеуі V2 = -EI транзистордың VT1 қақпасына күрт қолданылатын болады, оның нәтижесінде ол жабылады, яғни K1 пернесі ашық болады. Конденсатор C2 бойынша кернеу экспоненталық түрде бұзыла бастайды
 $V2(t) = -E_u \exp(-t / T_p)$, (9A) мұндағы $T_p = R_3 C_2$ - конденсатордың шығыс контурының уақытша тұрақты мәні.

V2 (t) кернеуі транзистордың V0 толқын кернеуіне жеткенде, VT1 құрылғысы немесе, сәйкесінше, K1 пернесі ашылады, ал керісінше транзистор VT2 немесе K2 пернесі керісінше жабылады, өйткені теріс кернеу - EI - транзистордың қақпасына күрт секіреді.
Осылайша бір транзистор кезекпен ашылады, ал екіншісі жабылады.
Сызбадағы әртурлі нұктелердегі ағындық процестің кернеулер диаграммасы суретте көрсетілген. 9.7.

$$I_1 = E_0/R_1 = 8/80 = 0,1 \text{ A}; I_2 = E_0/R_2 = 8/40 = 0,2 \text{ A};$$

$$I_3 = E/R_3 = 8/20 = 0,4 \text{ A}$$

Жалғастырылған жалпы бөлімде үш жабық кілттері бар, екілік код комбинациясының 111 сәйкес келеді:

$$I = I_1 + I_2 + I_3 = 0,1 + 0,2 + 0,4 = 0,7 \text{A.}$$

Басқа екілік кодының комбинациясы бойынша, мысалы 101 (бұл оқиға 9,17-суретте көрсетілген), екінші кілт ашық, содан кейін жалпы бөлімдегі ток болады.